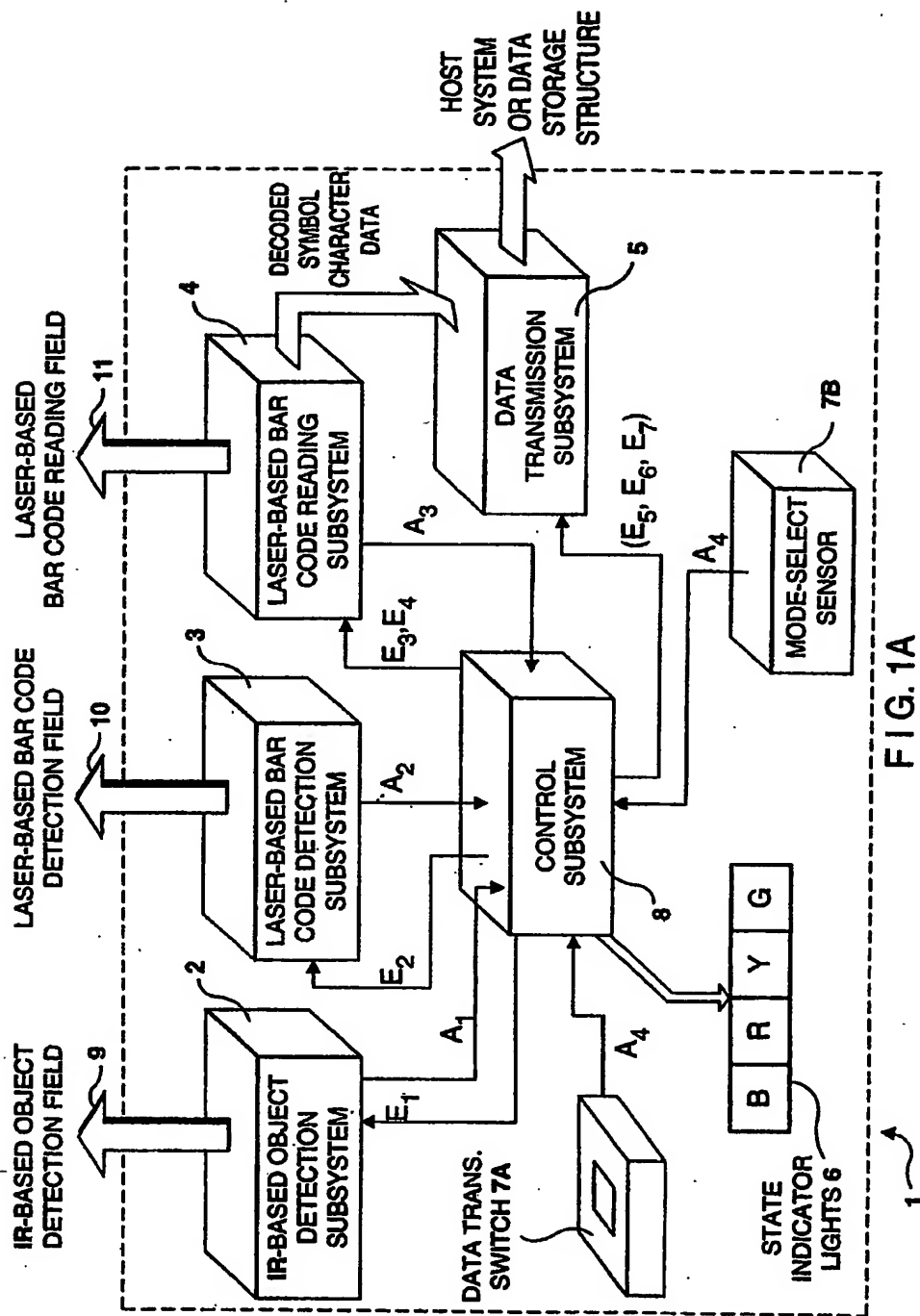
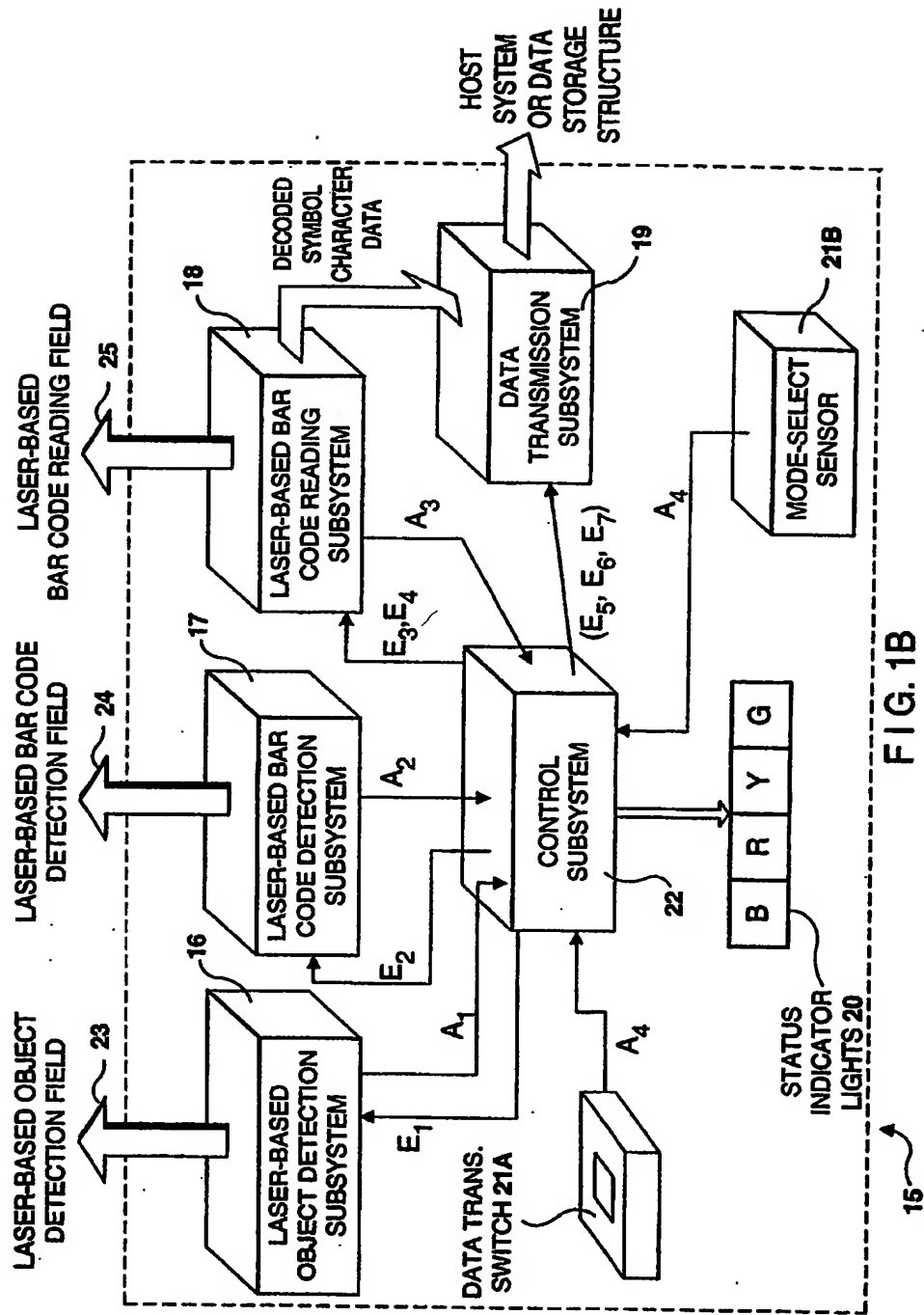


FIG. 1





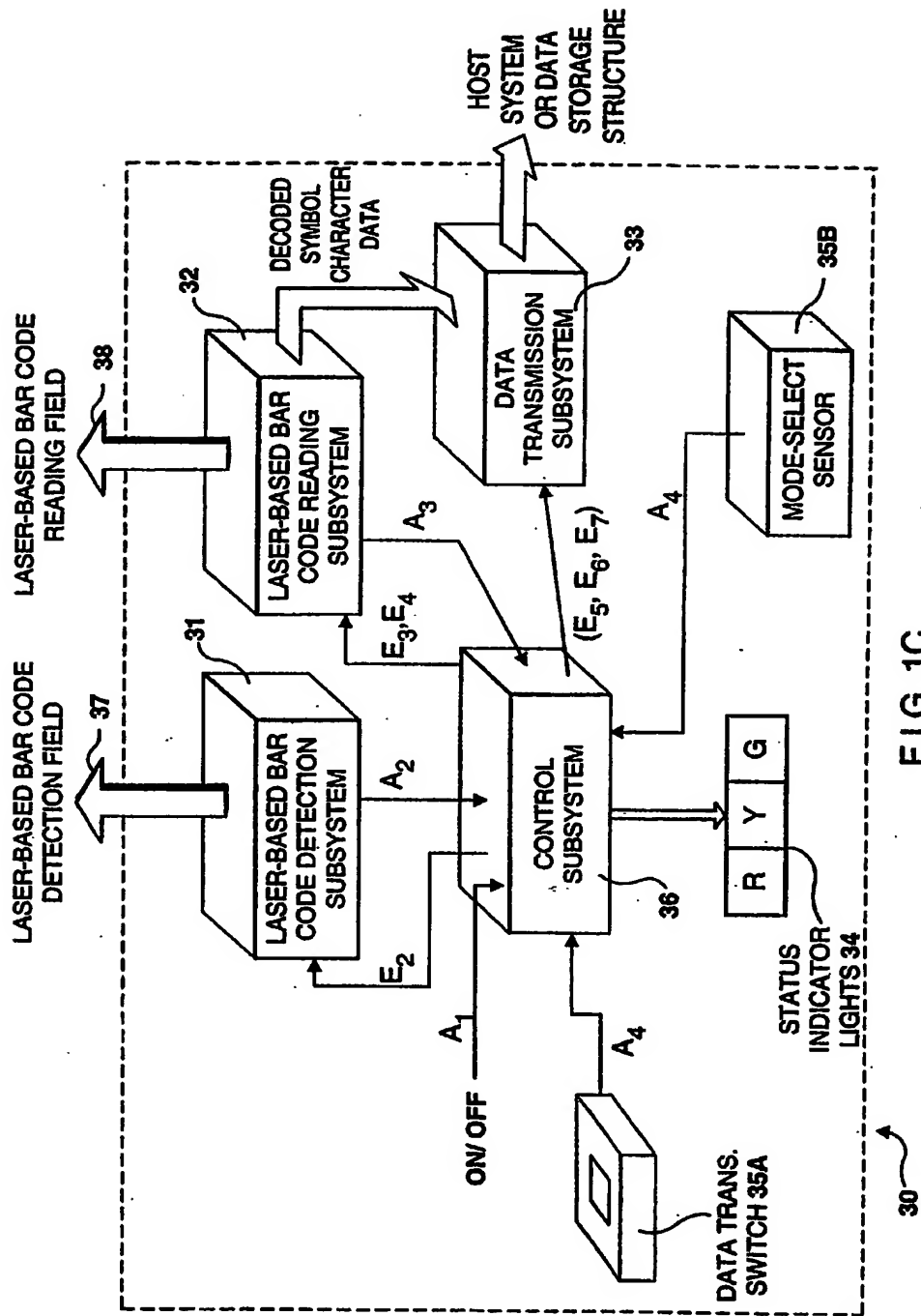
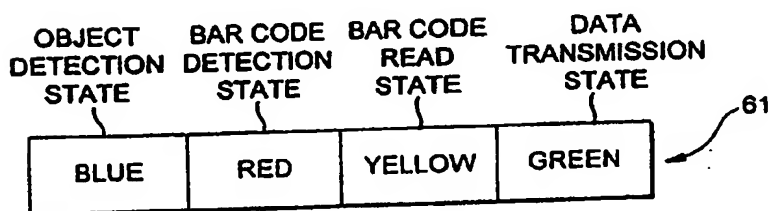
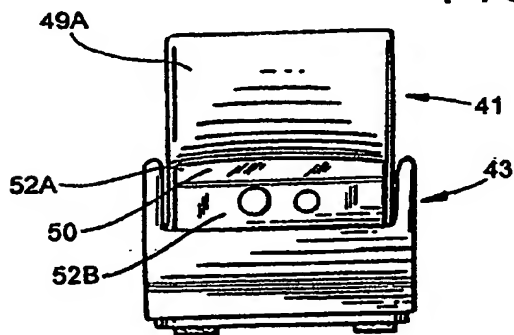
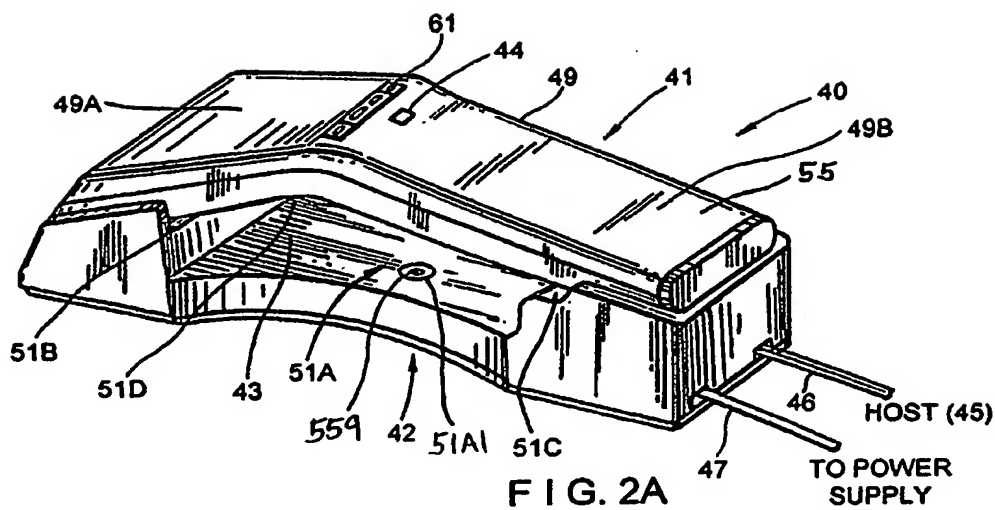
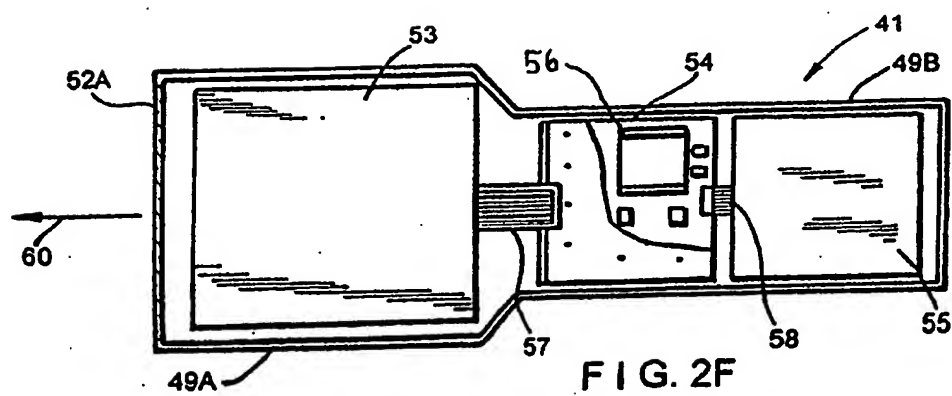
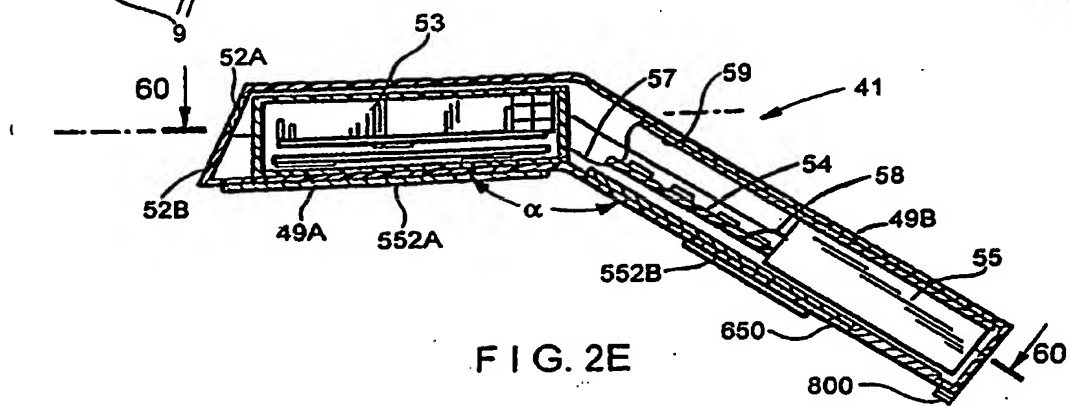
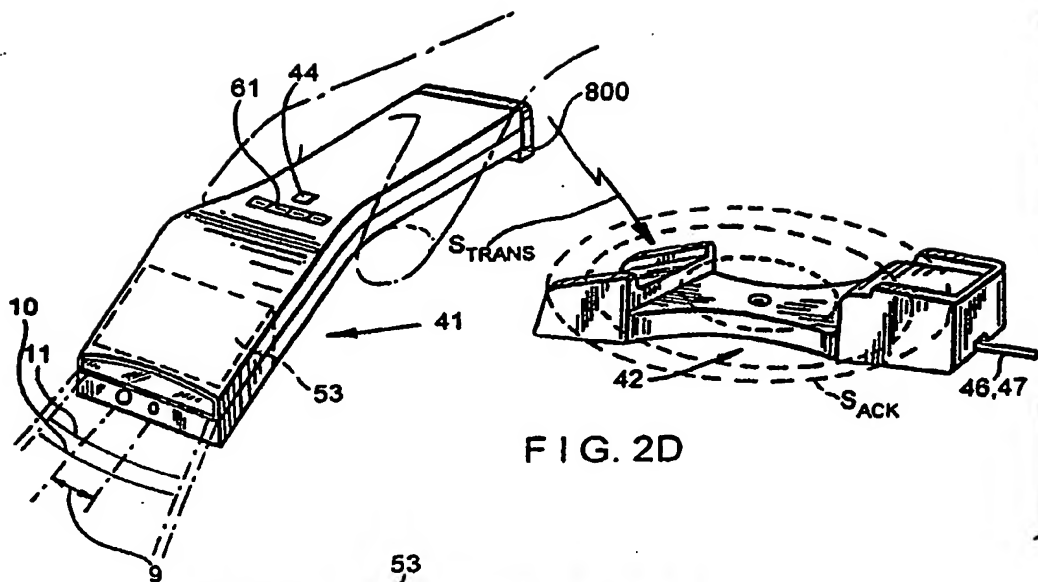


FIG. 1C





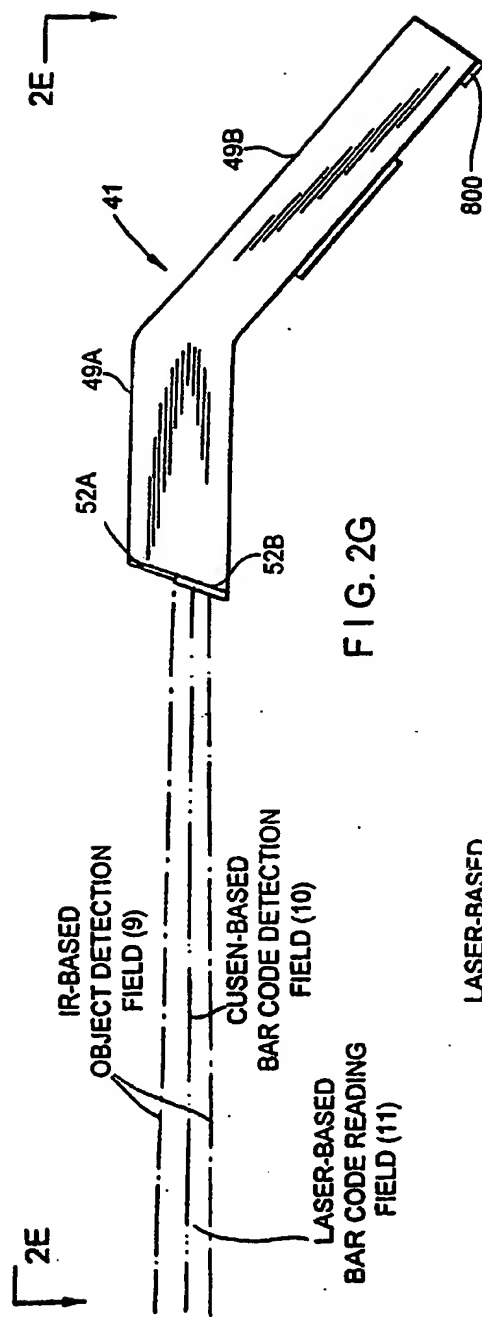


FIG. 2G

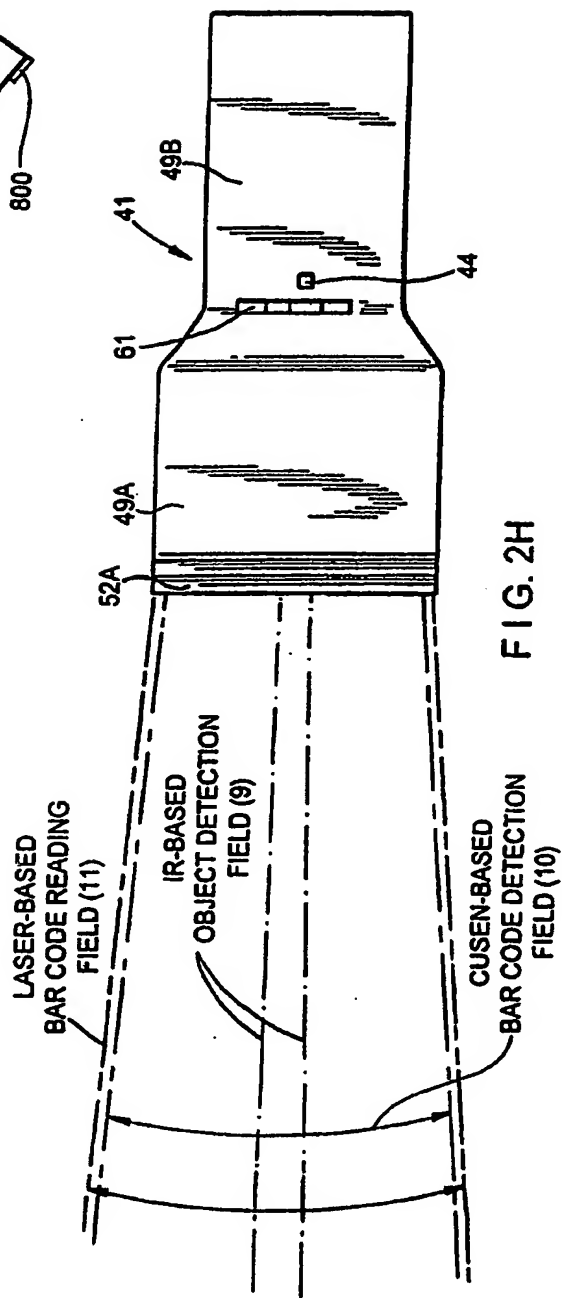
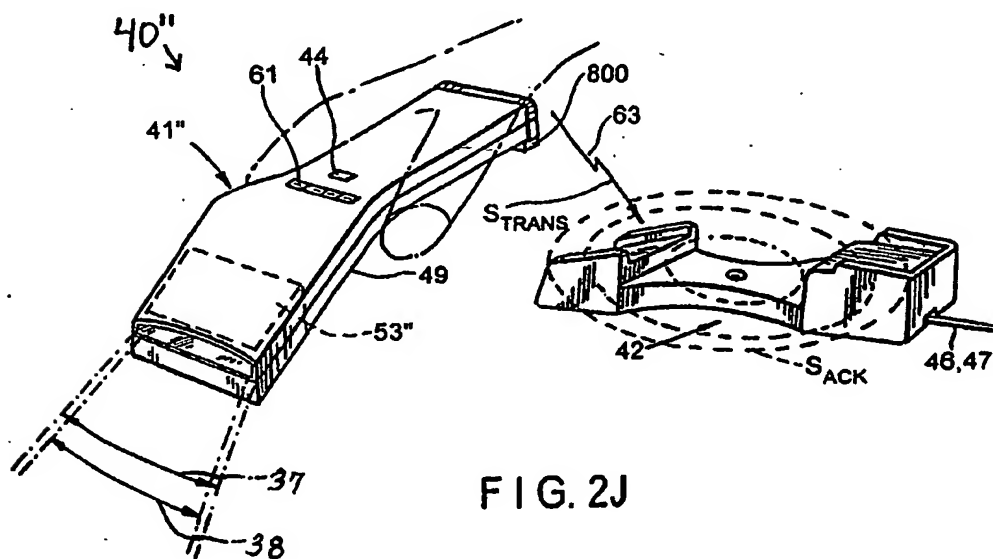
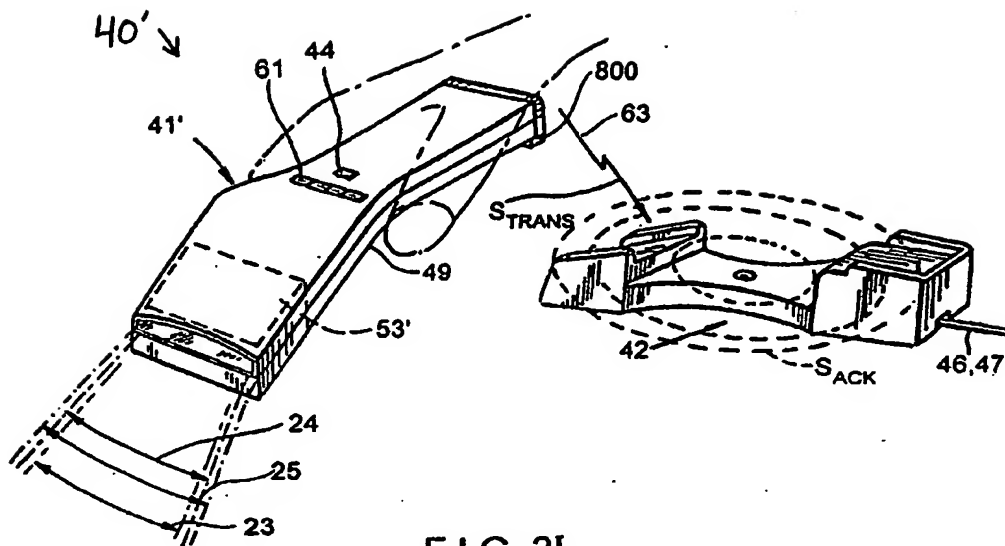
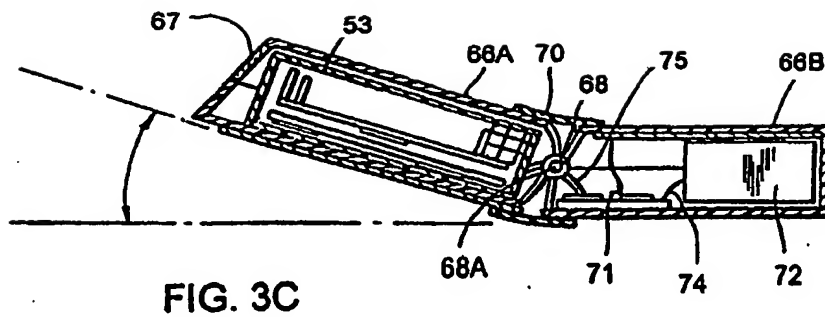
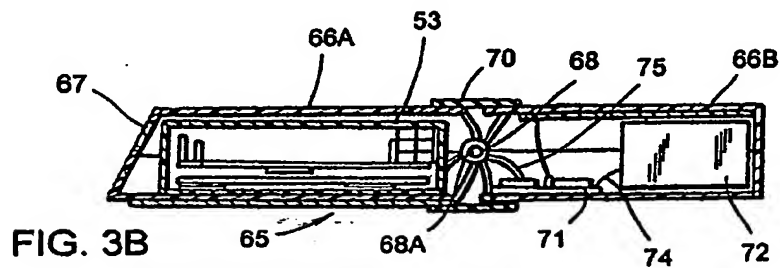
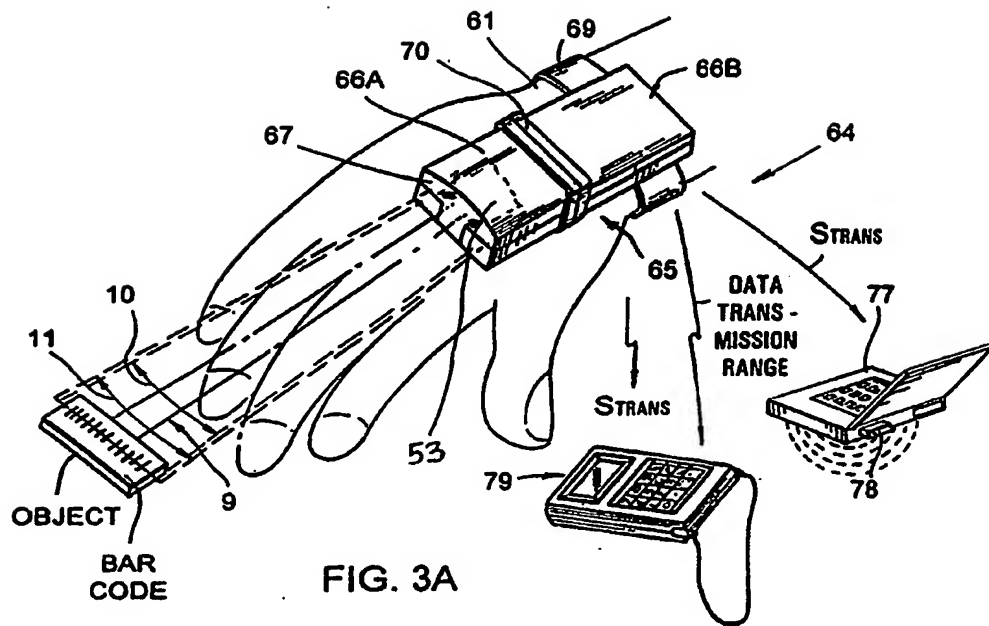


FIG. 2H







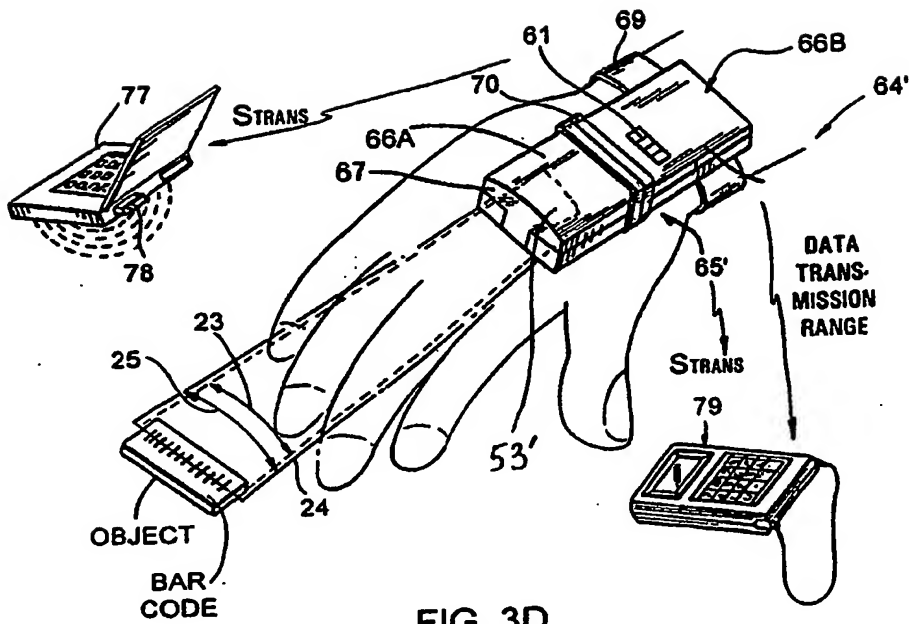


FIG. 3D

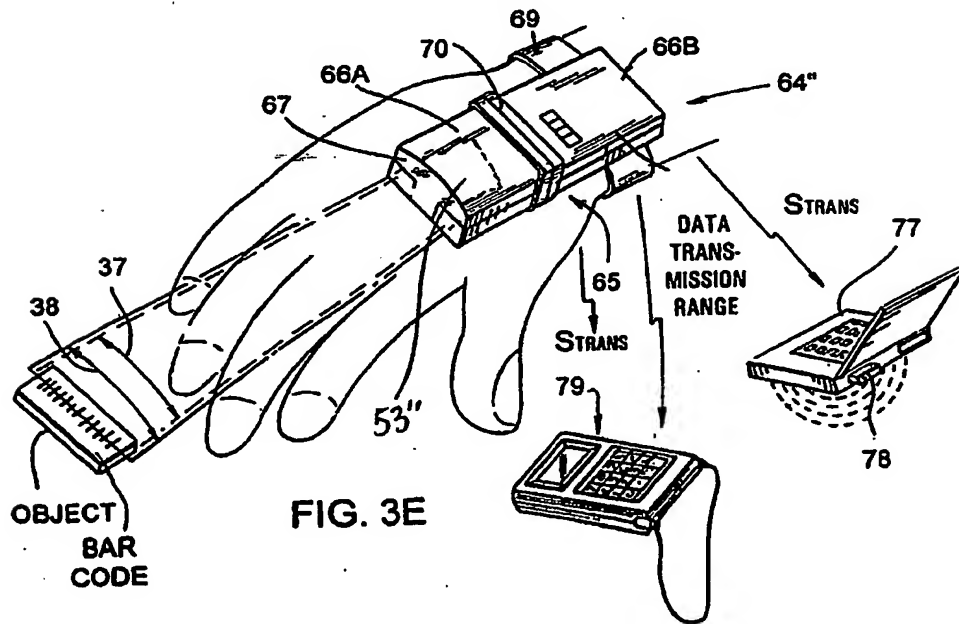
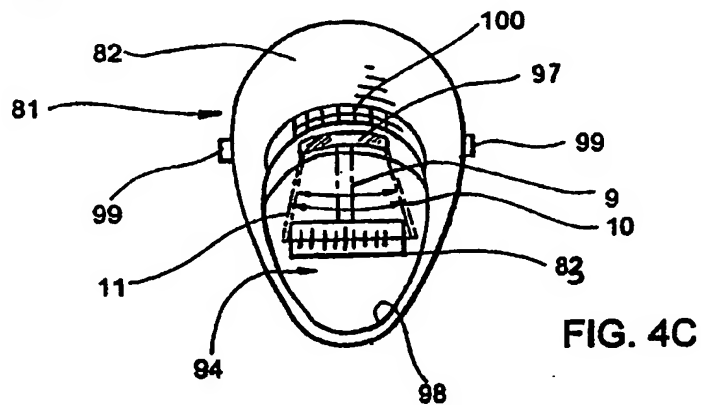
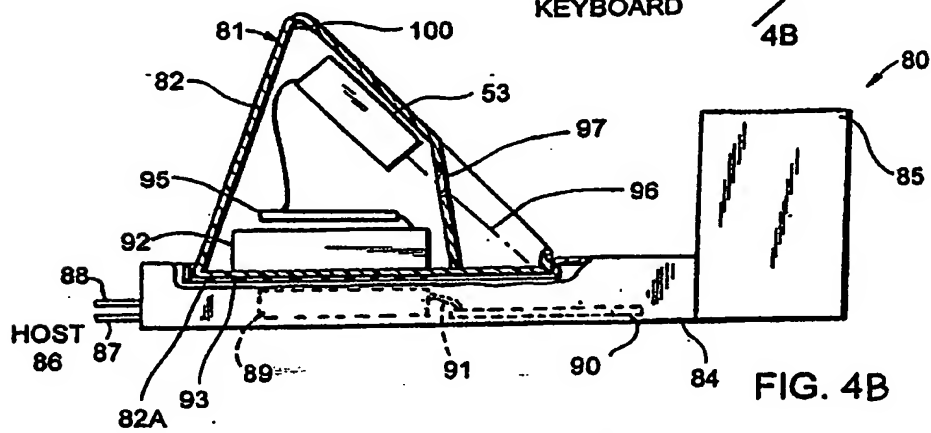
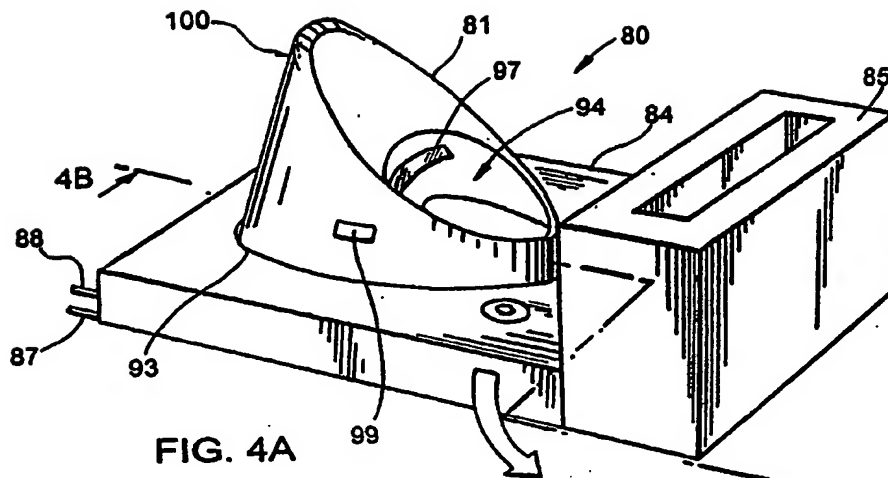
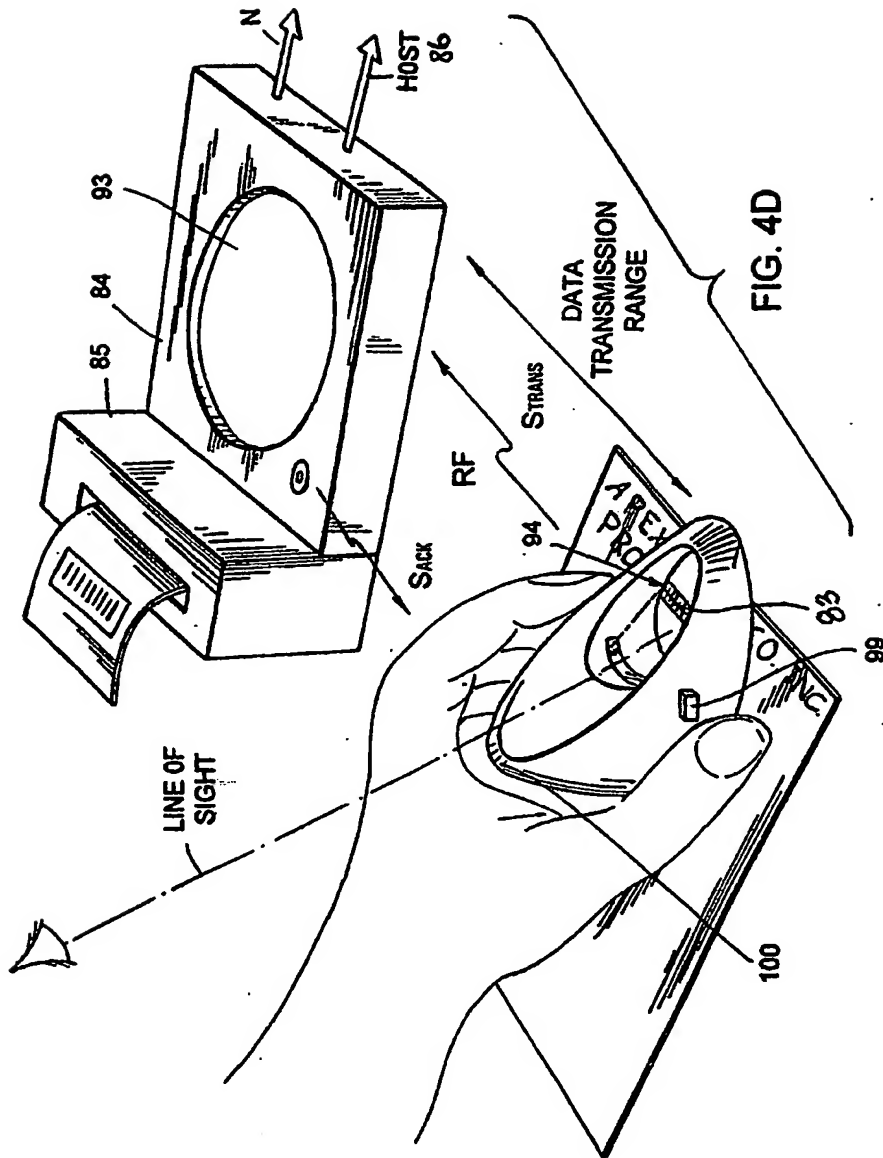


FIG. 3E





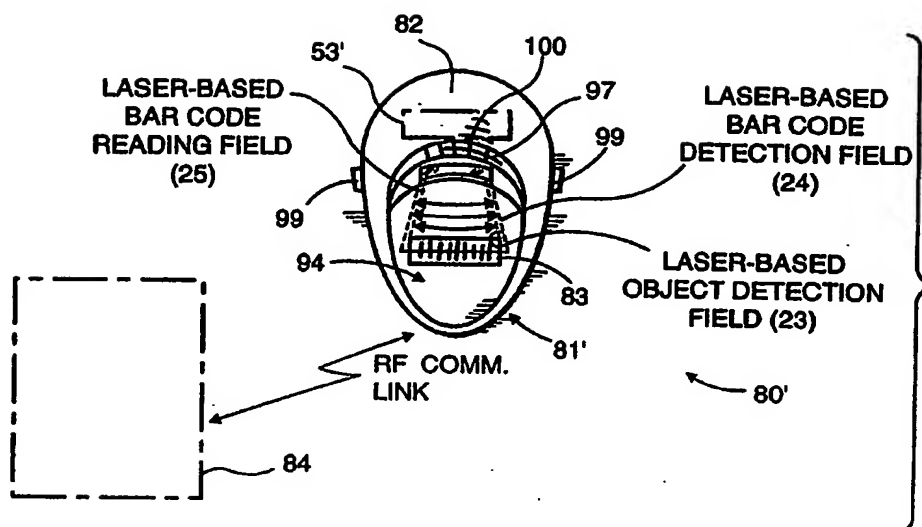


FIG. 4E

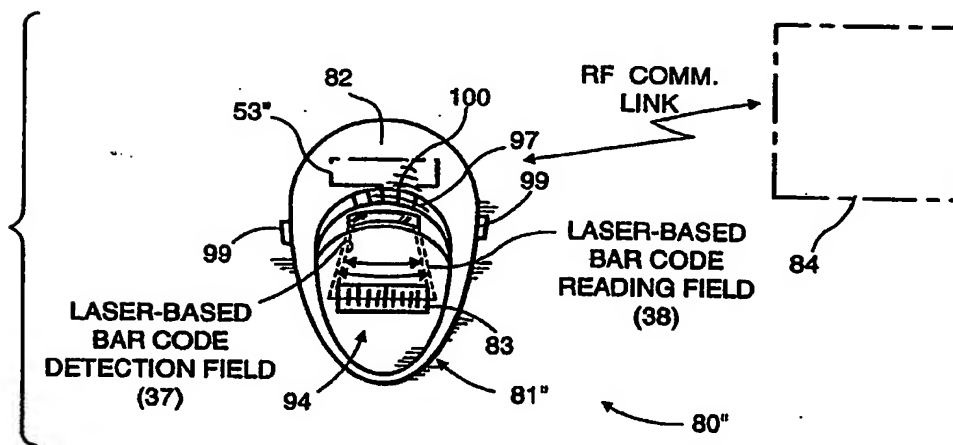


FIG. 4F

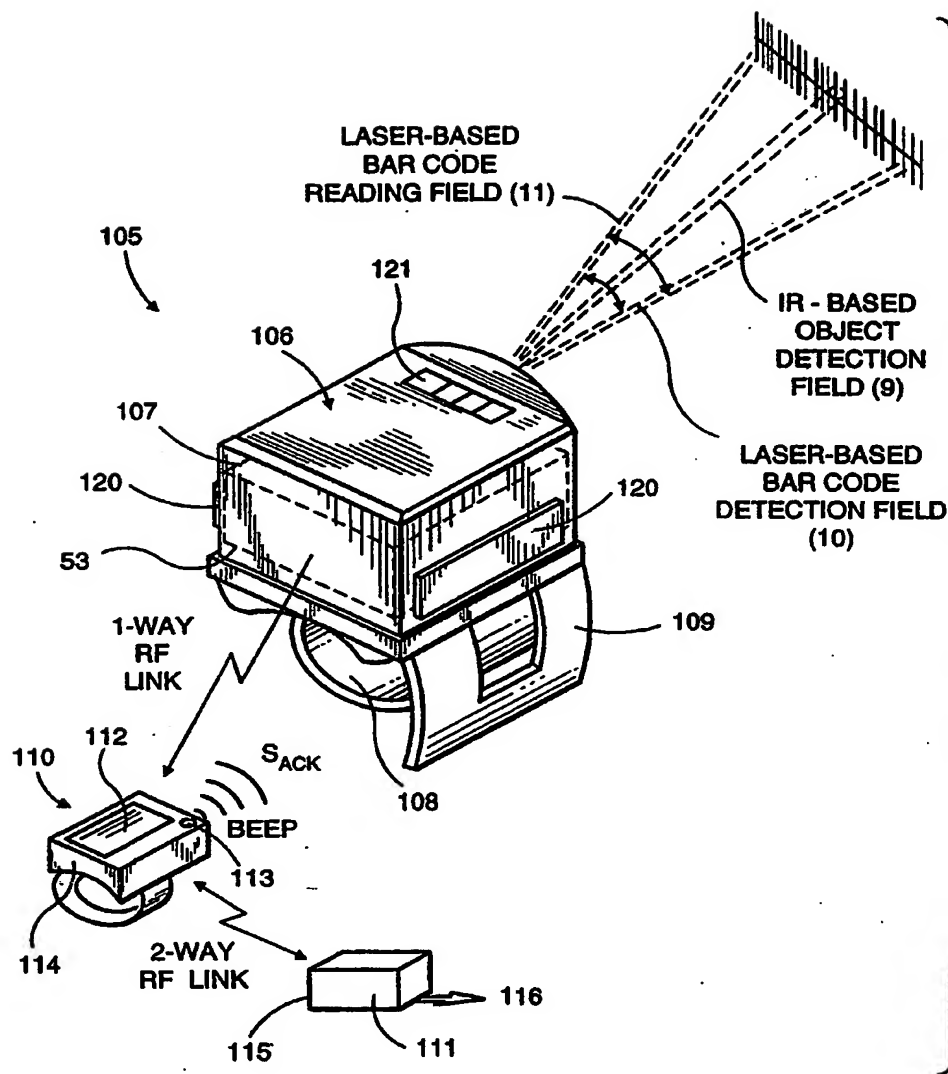


FIG. 5A

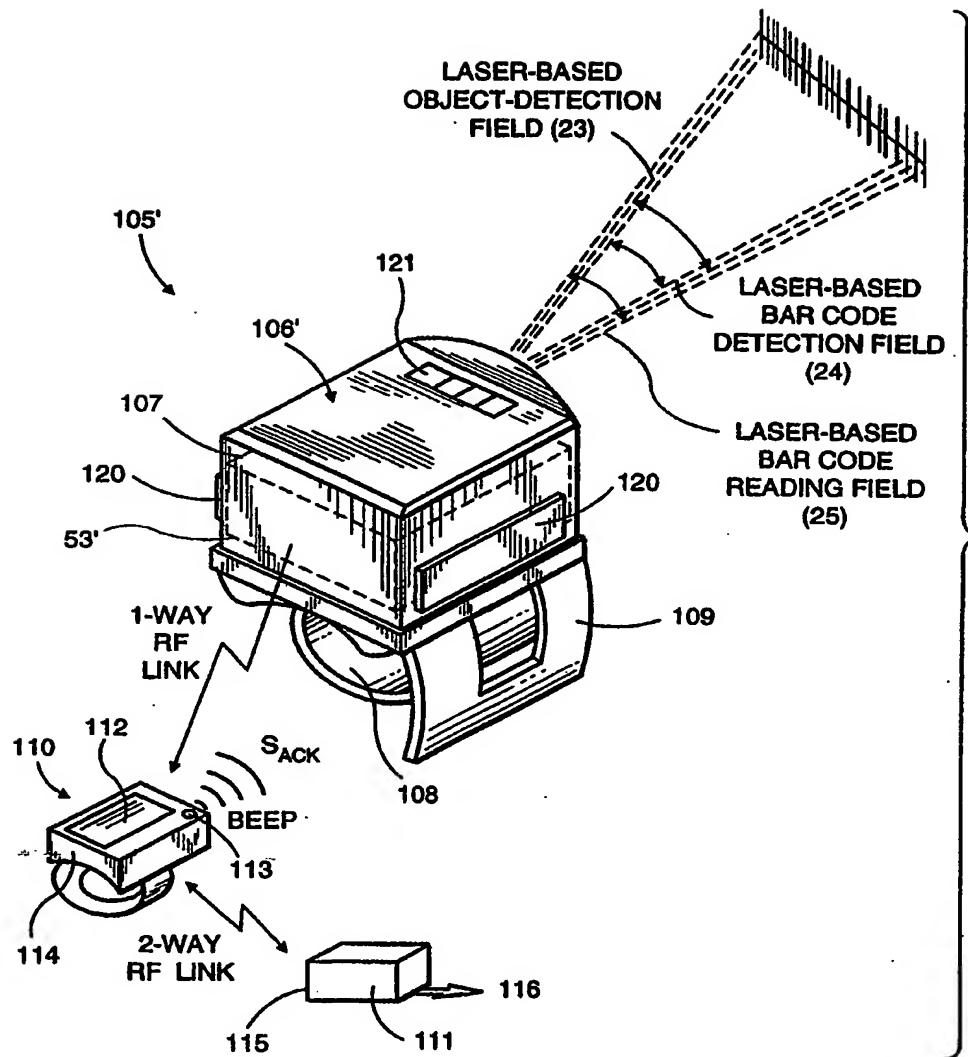


FIG. 5B

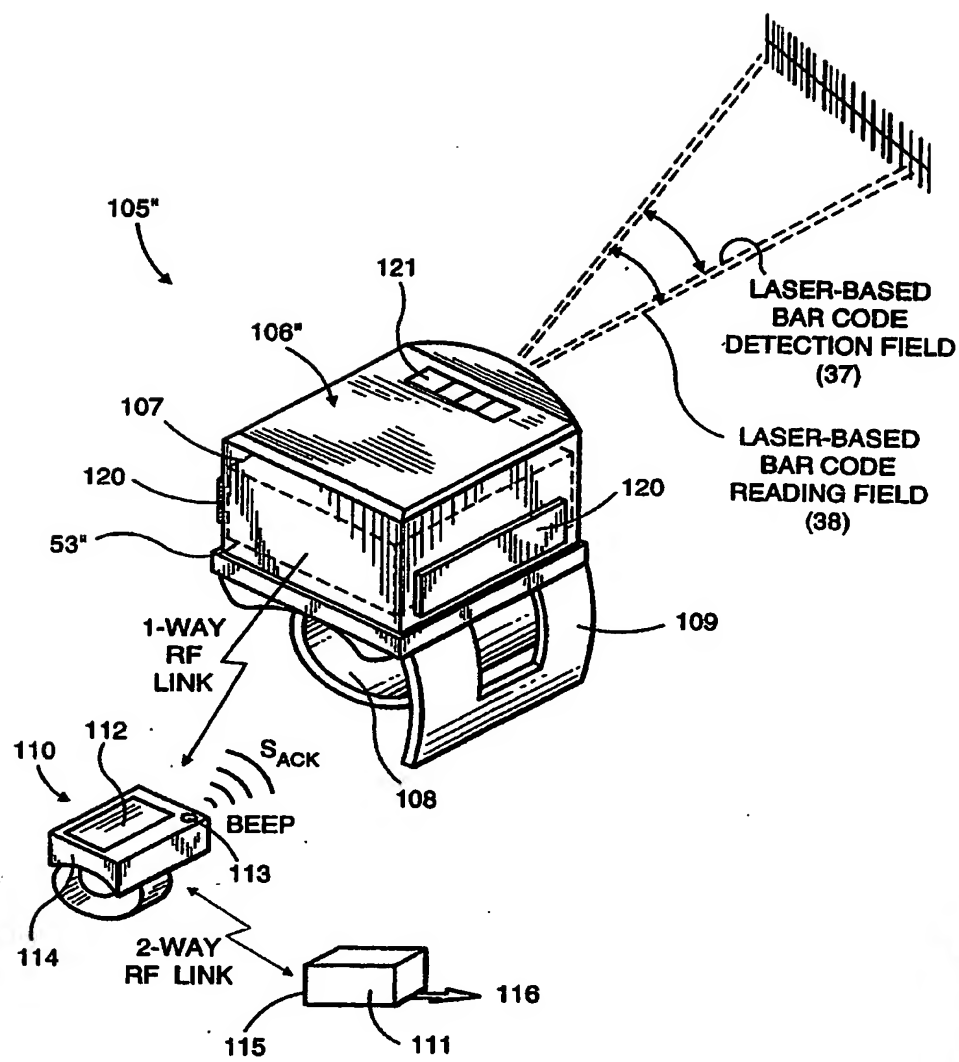


FIG. 5C



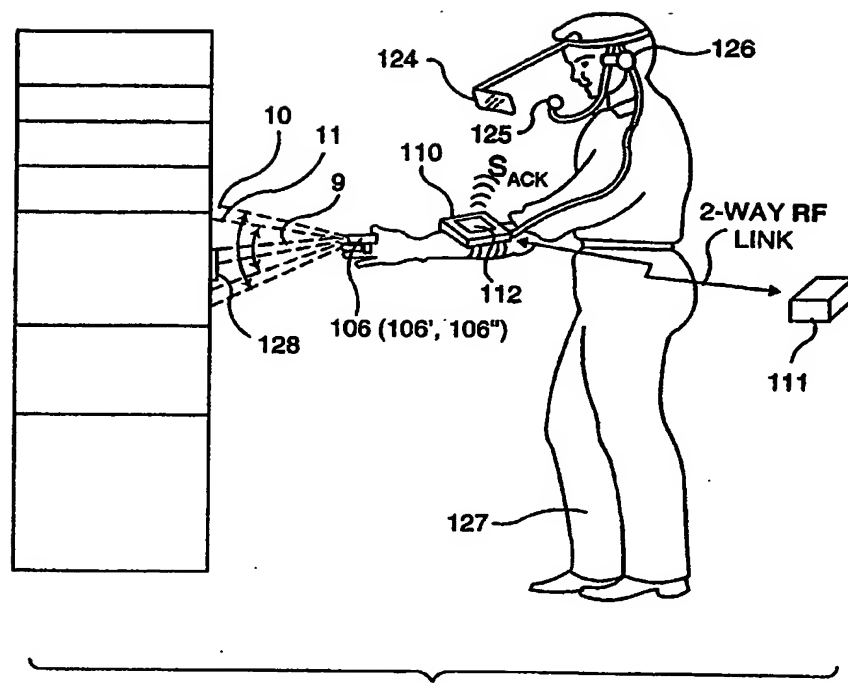


FIG. 5D

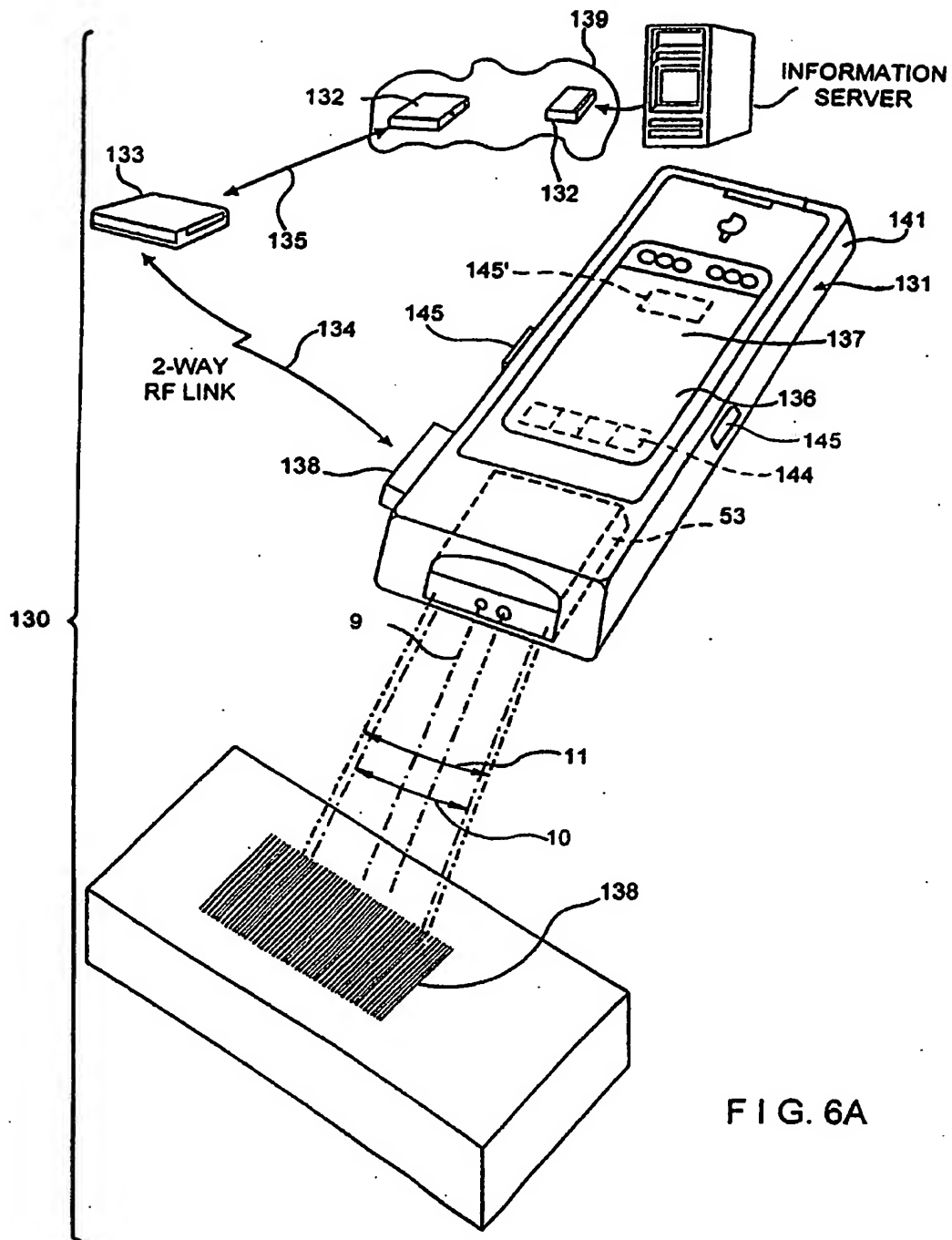


FIG. 6A

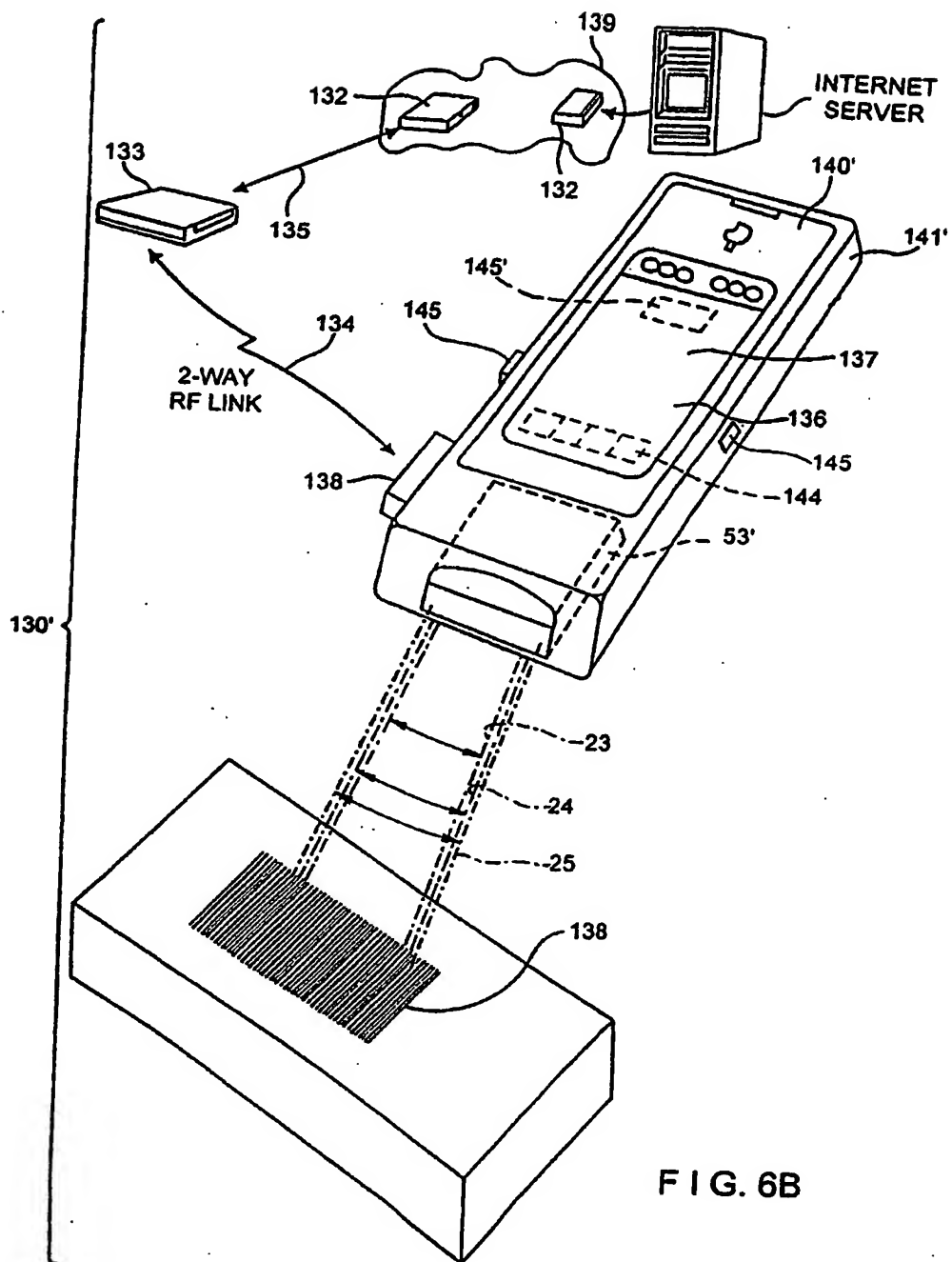


FIG. 6B

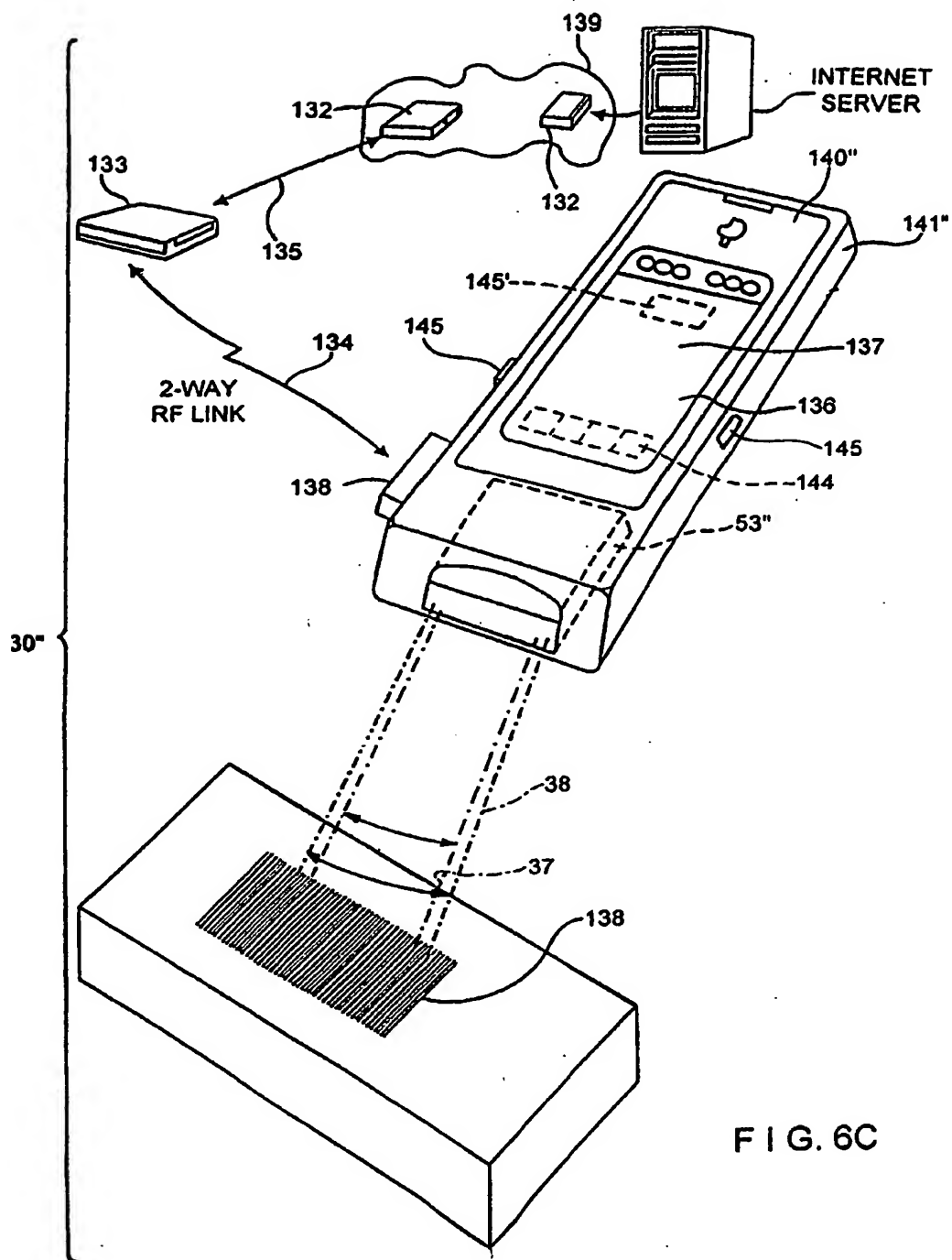


FIG. 6C

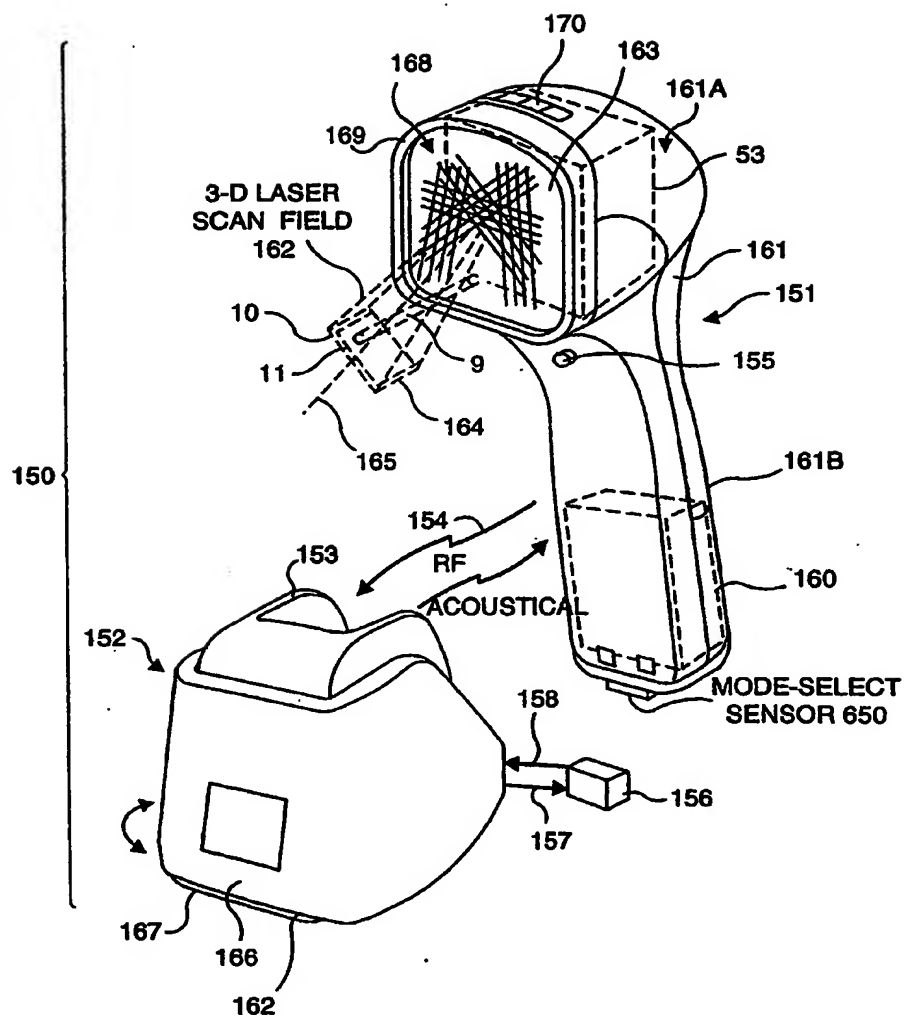


FIG. 7A

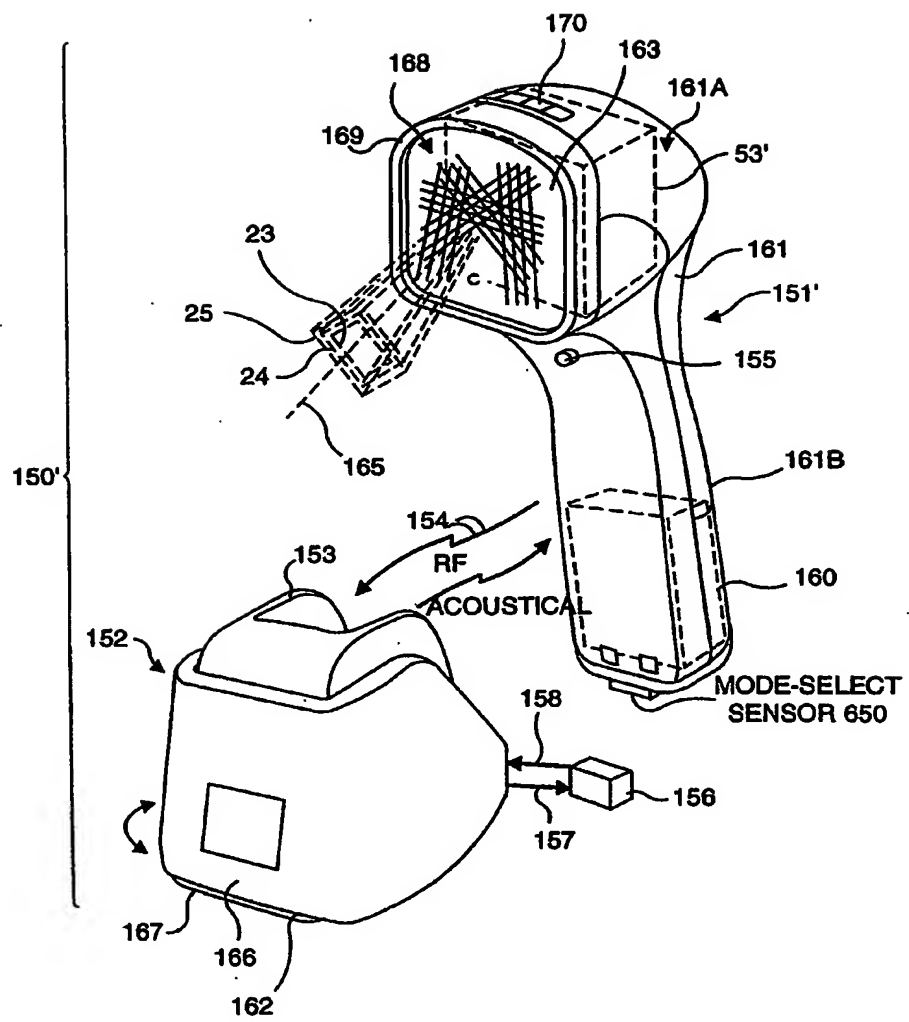


FIG. 7B

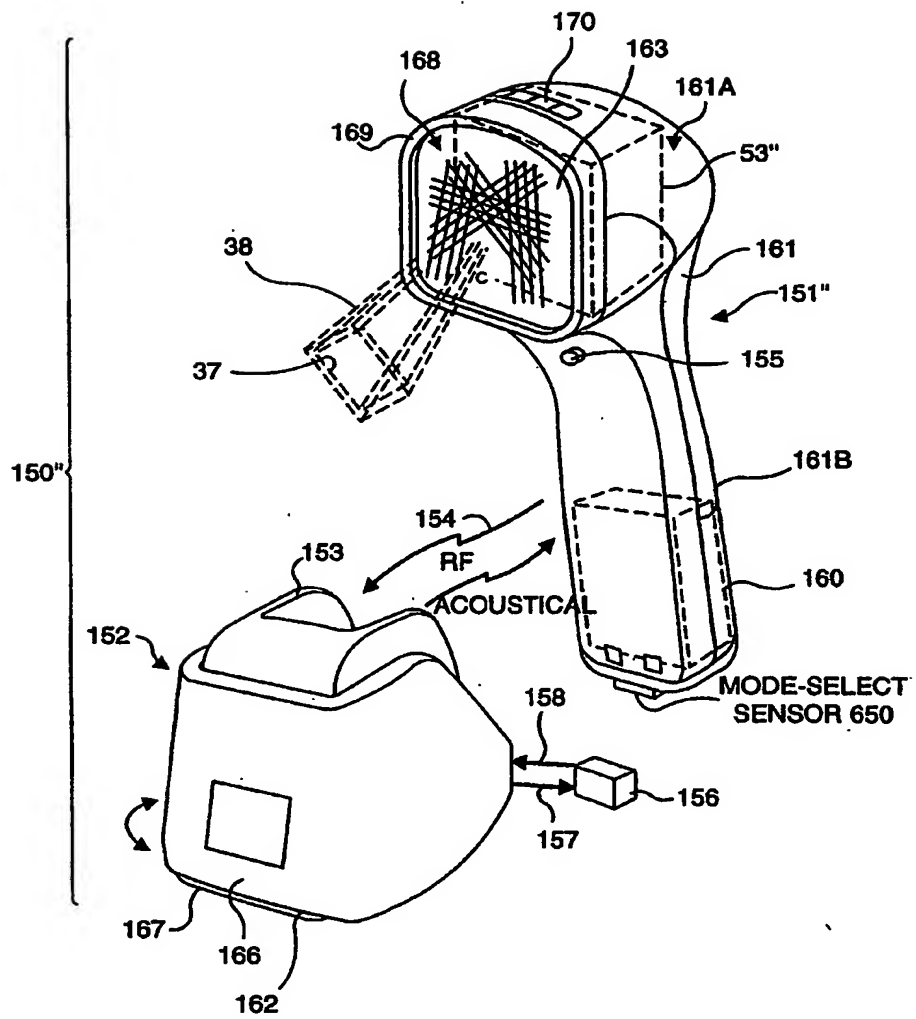


FIG. 7C

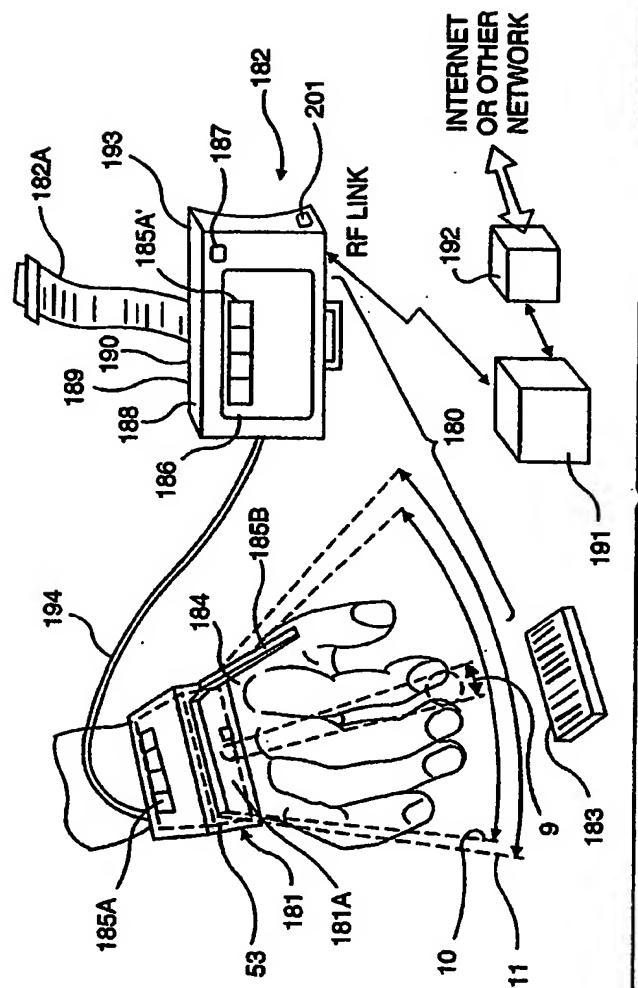


FIG. 8A



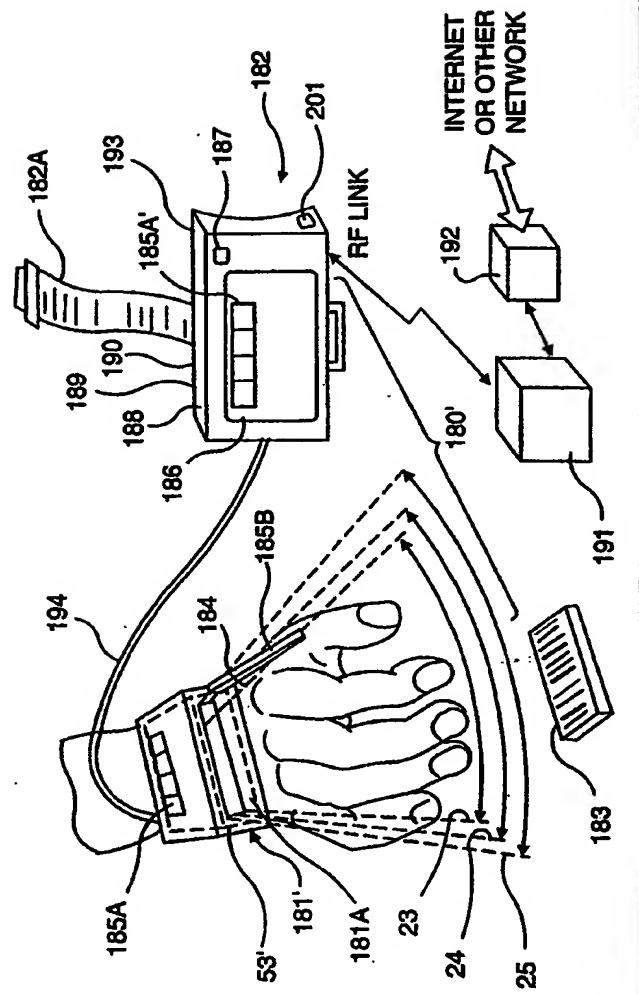


FIG. 8B

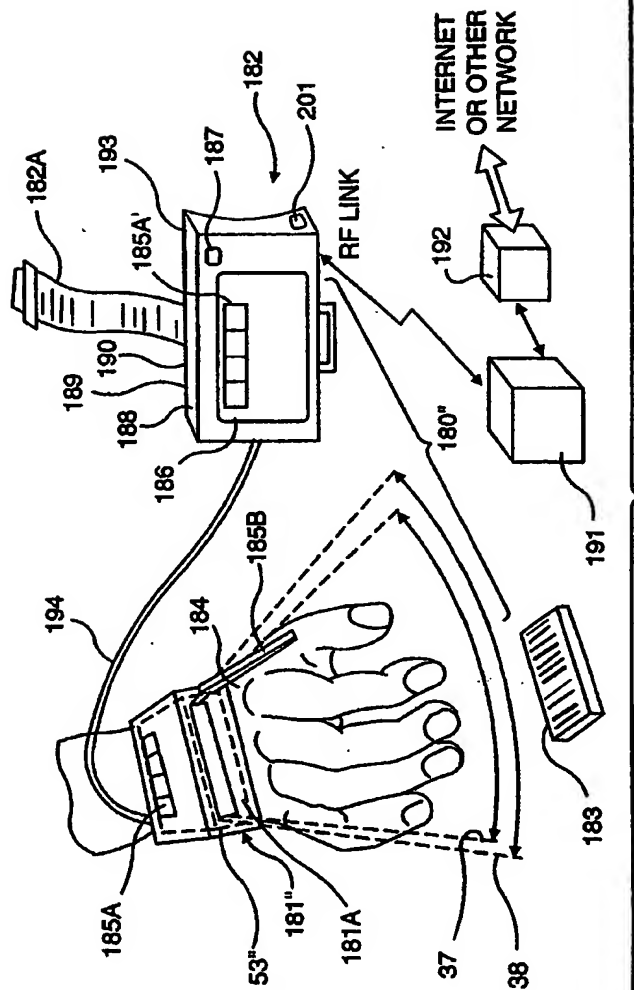


FIG. 8C

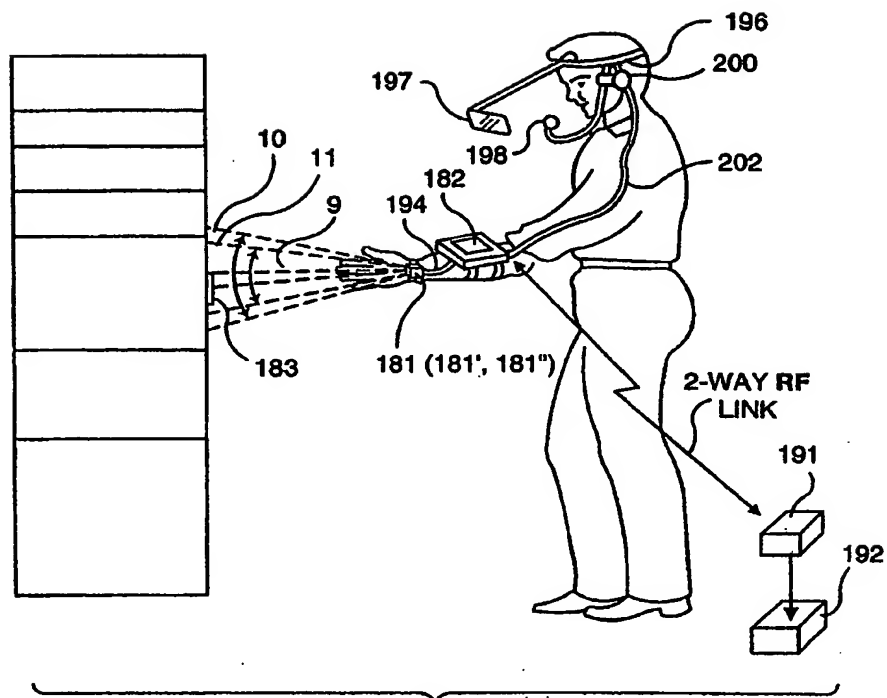


FIG. 8D

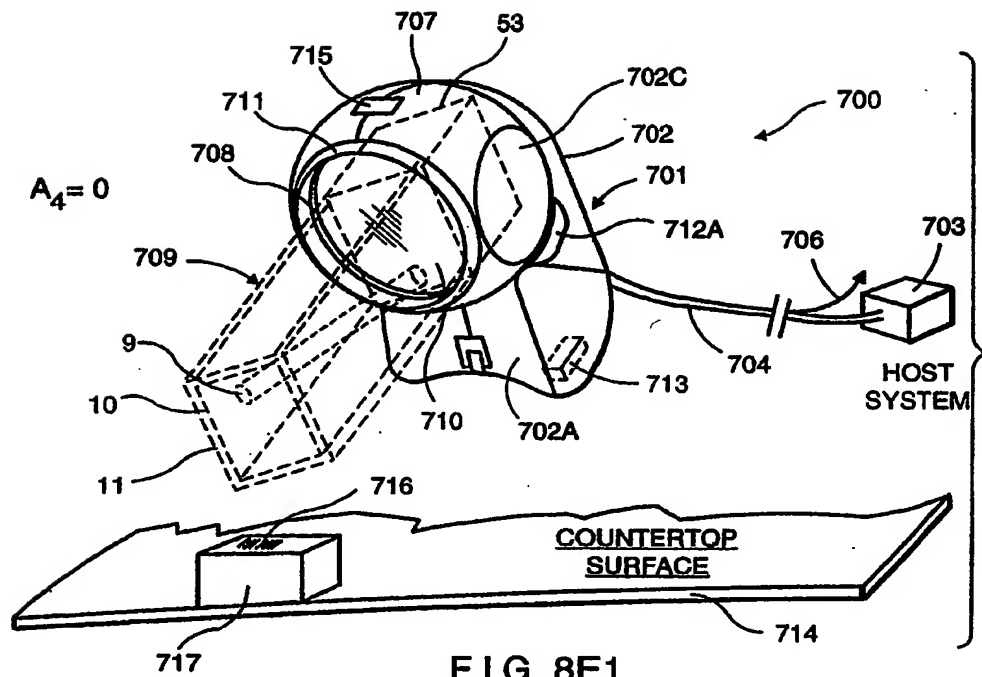


FIG. 8E1

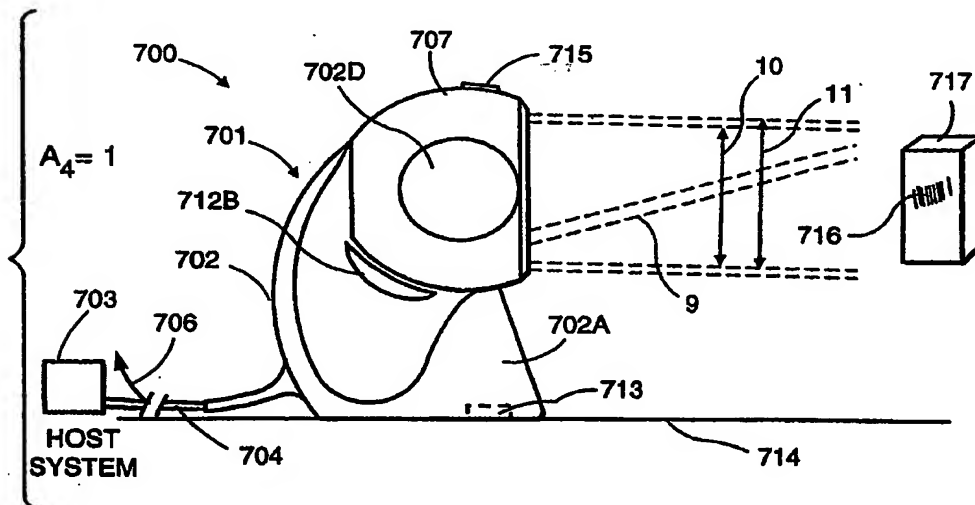


FIG. 8E2

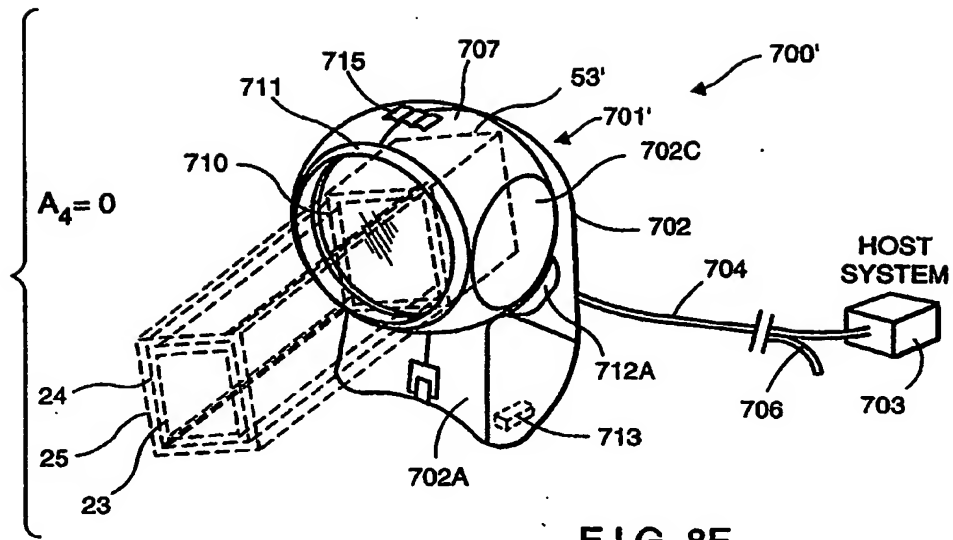


FIG. 8F

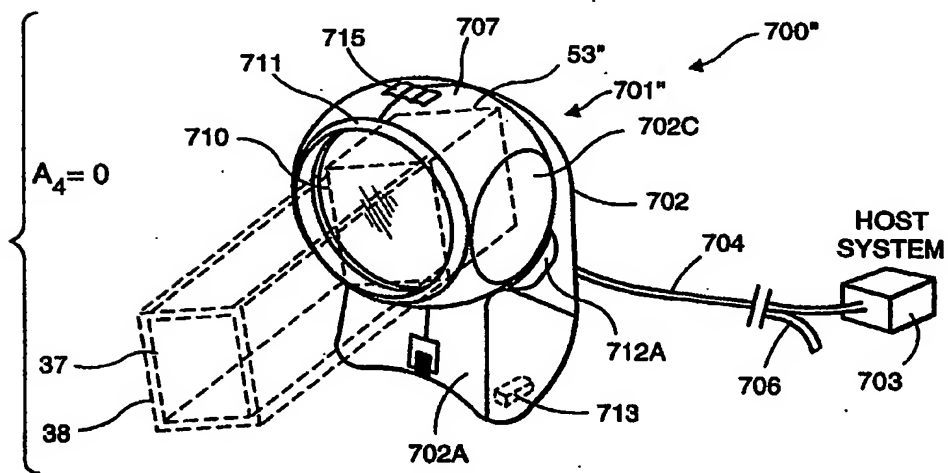


FIG. 8G

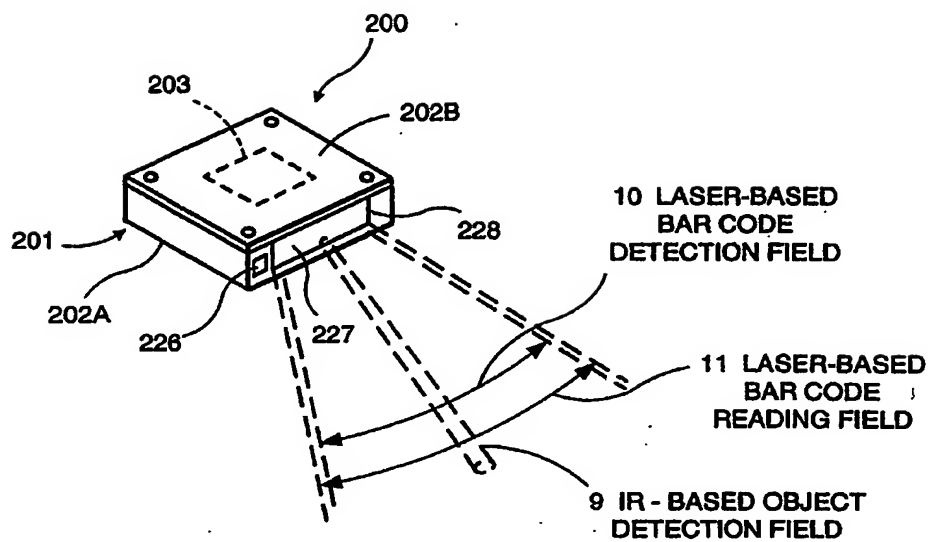


FIG. 9A

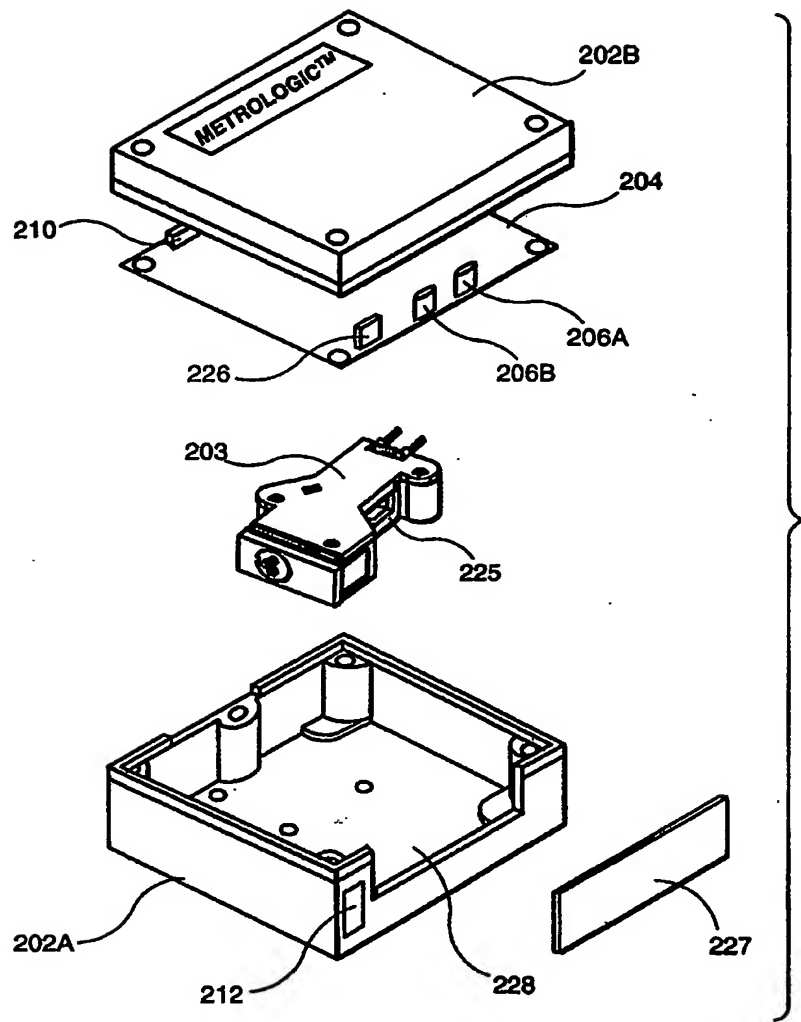


FIG. 9B

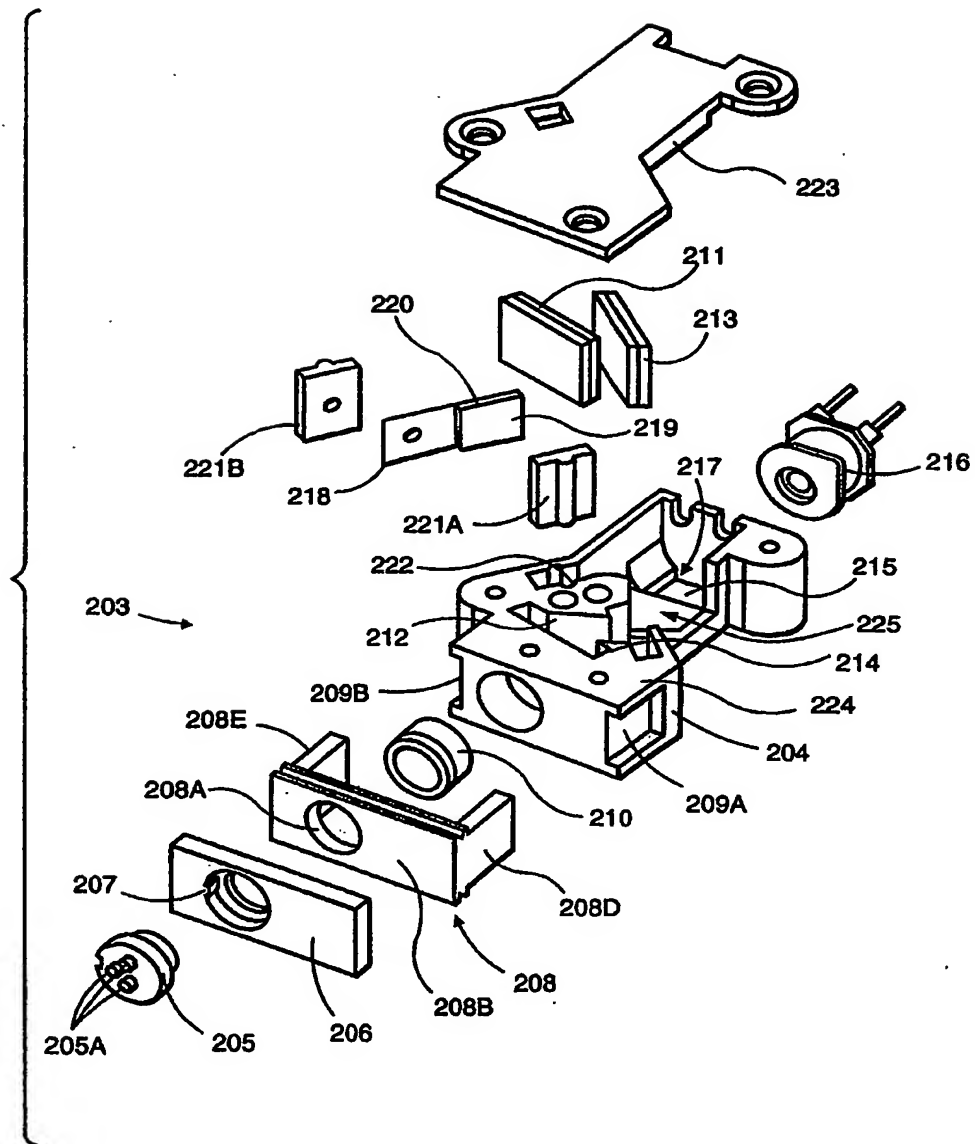


FIG. 9C



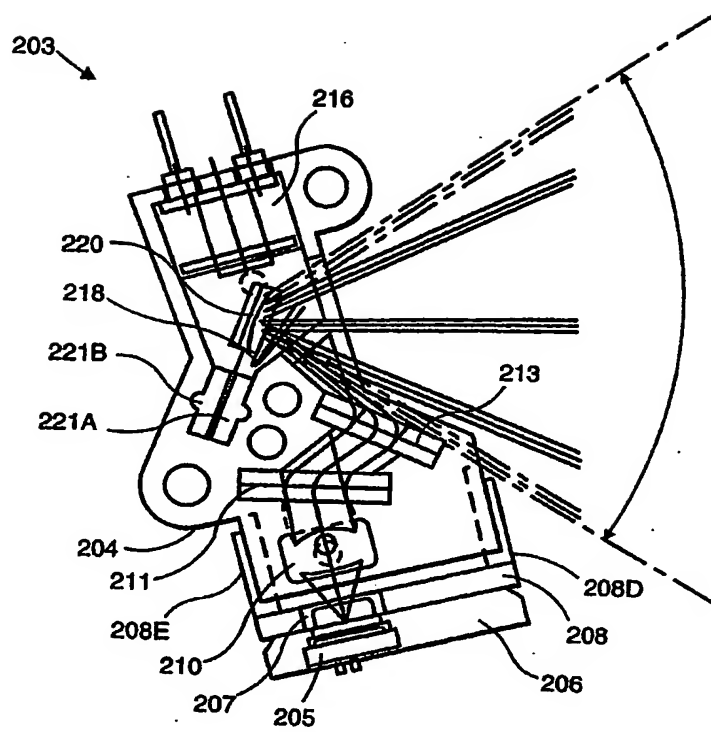


FIG. 9D

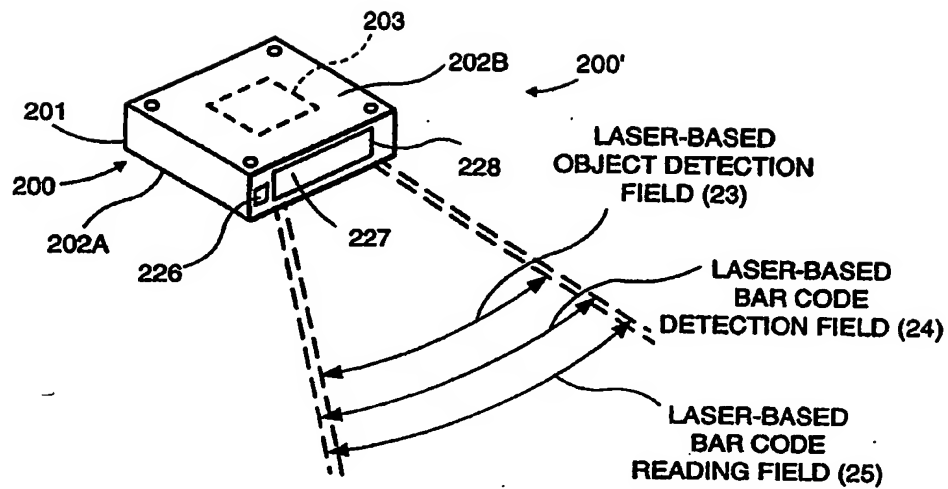


FIG. 9E

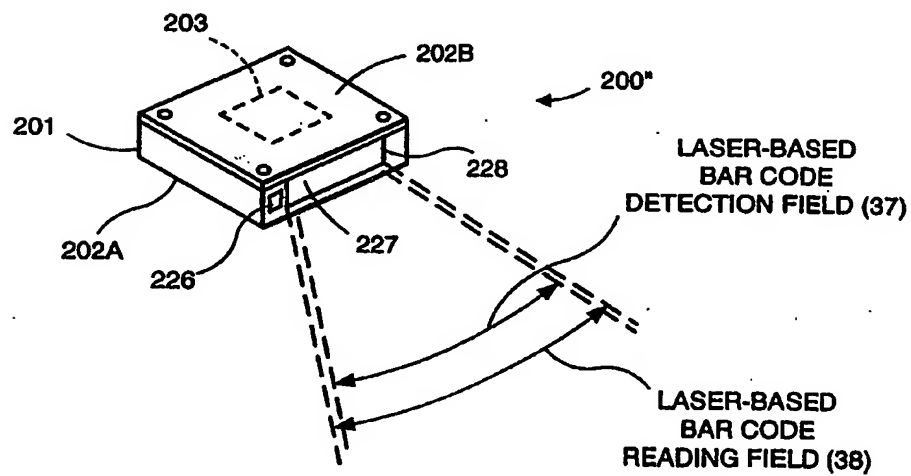


FIG. 9F

FIG. 10A

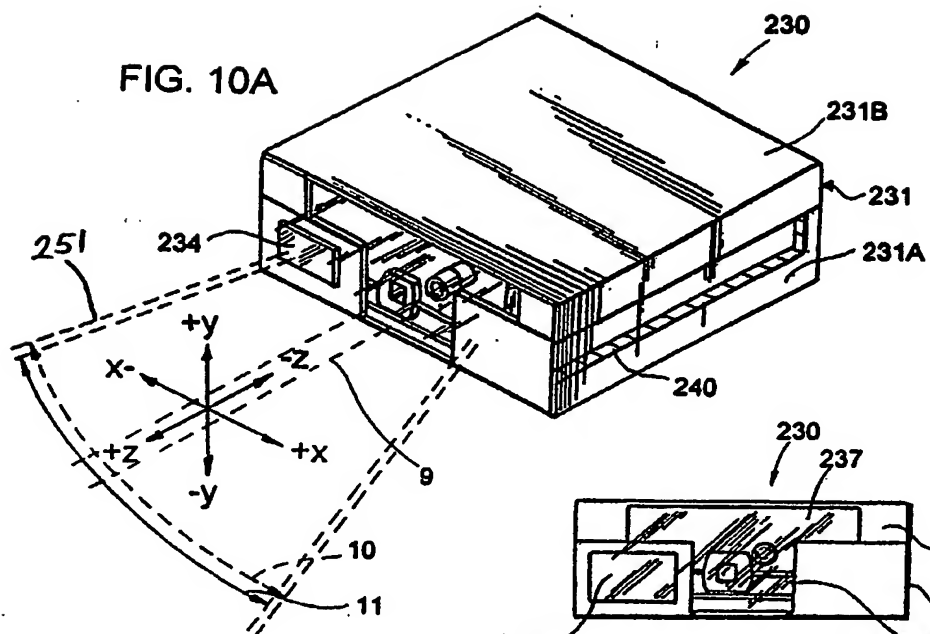


FIG. 10B

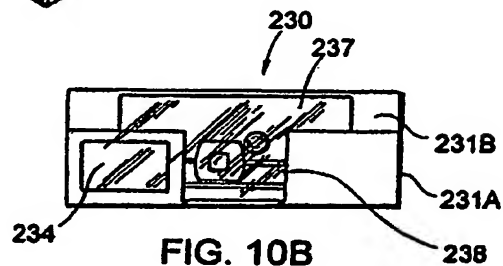


FIG. 10C

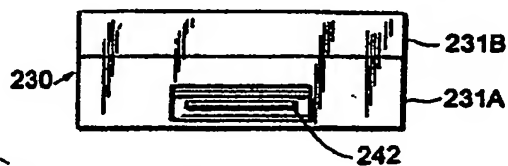


FIG. 10D

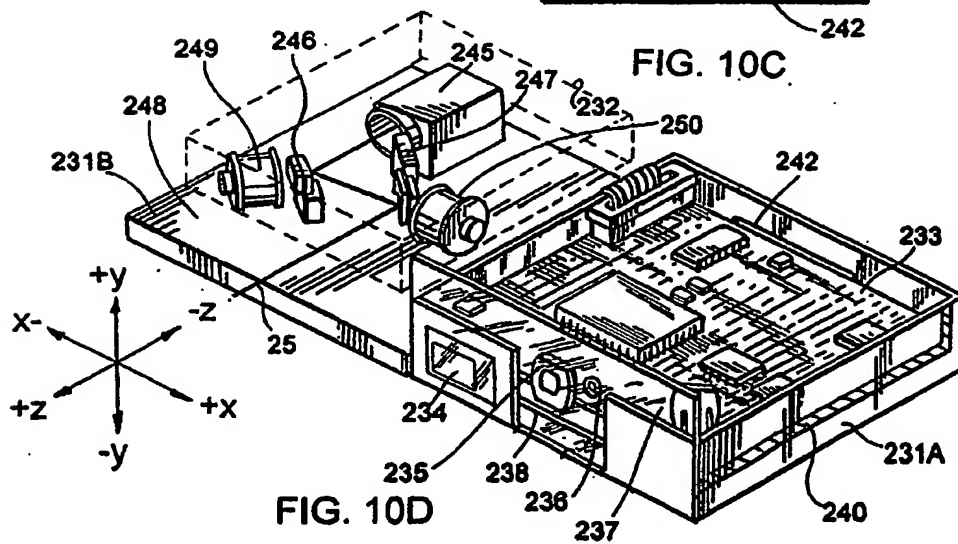


FIG. 10E

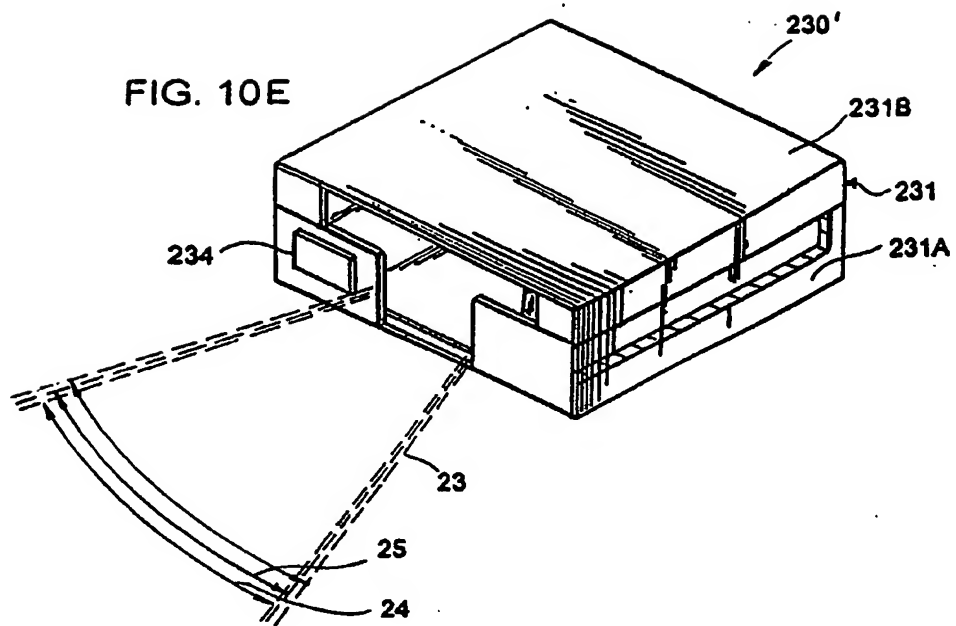
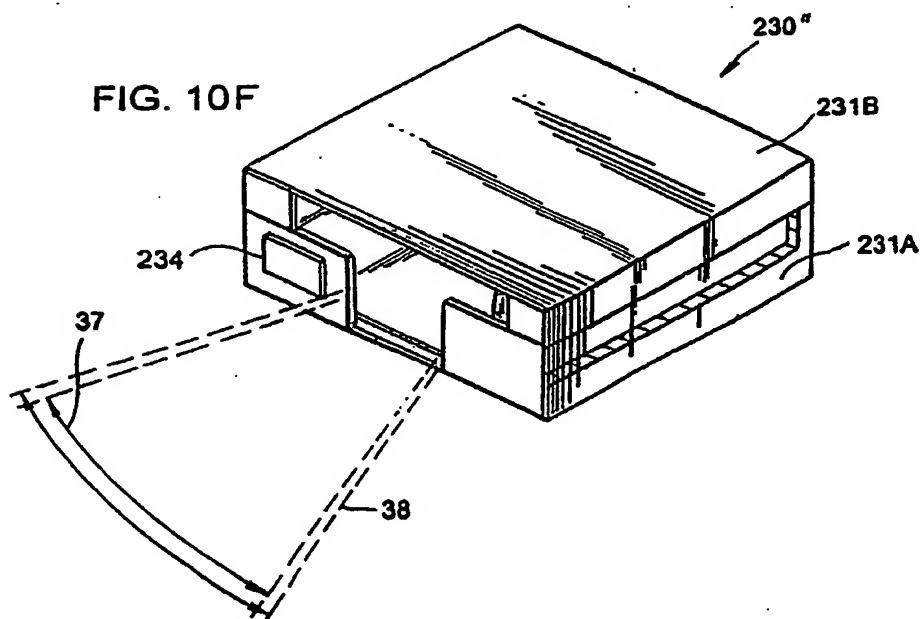


FIG. 10F



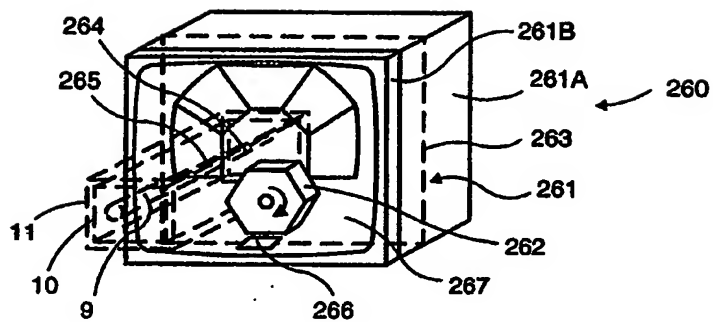


FIG. 11A

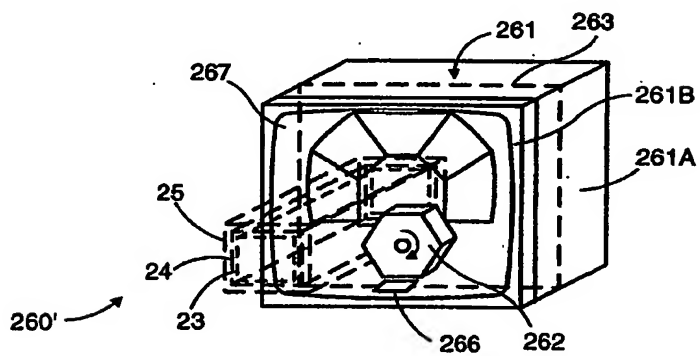


FIG. 11B

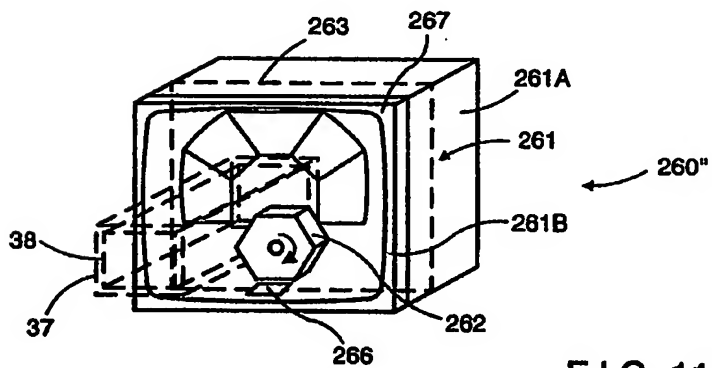


FIG. 11C

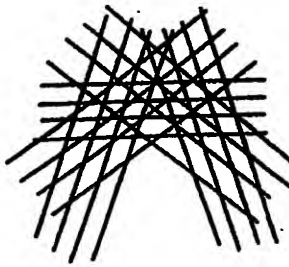


FIG. 12A

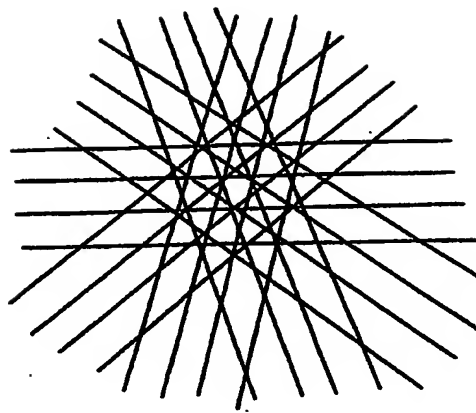
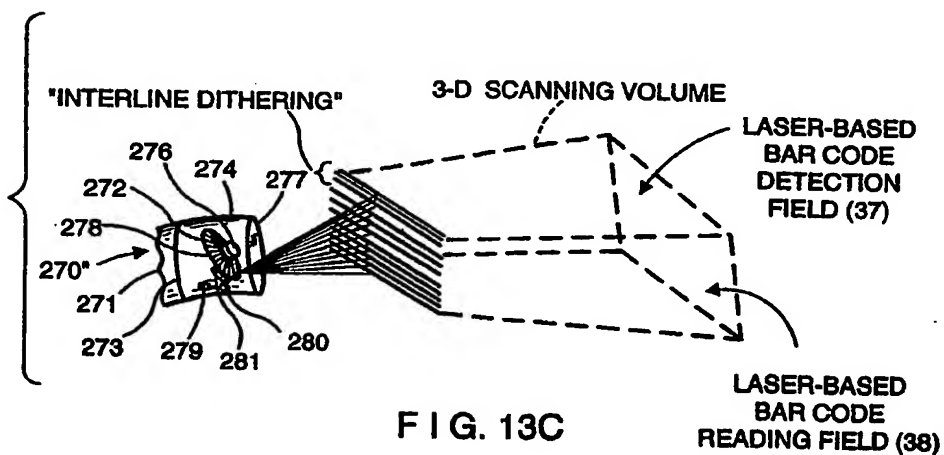
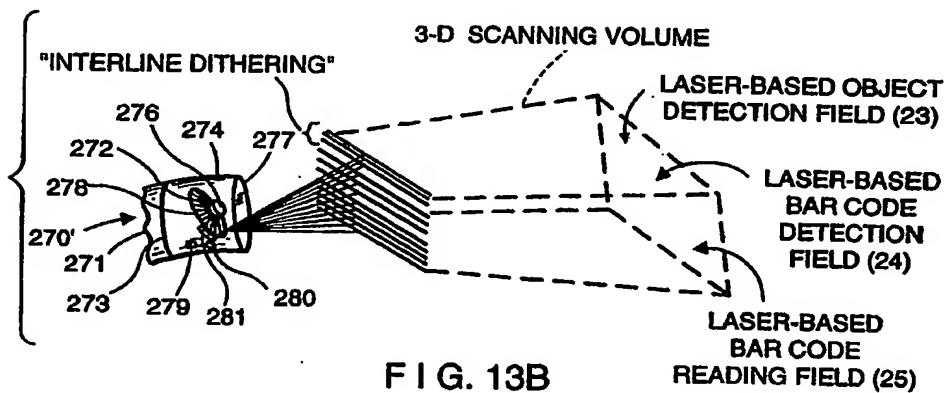
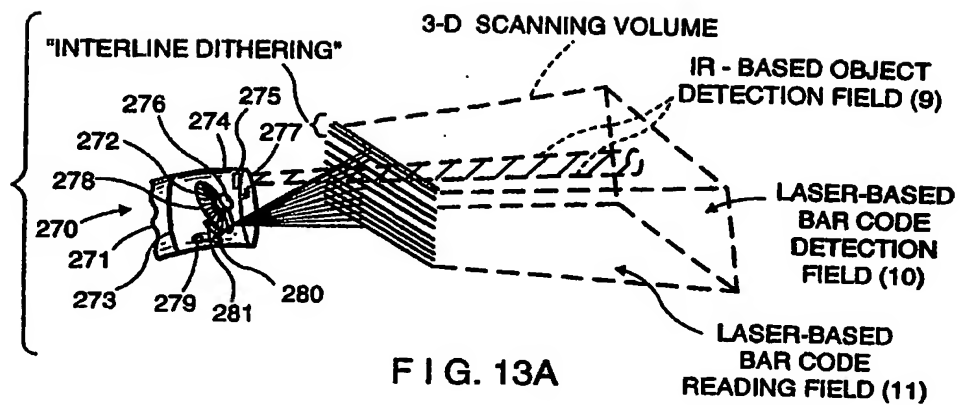
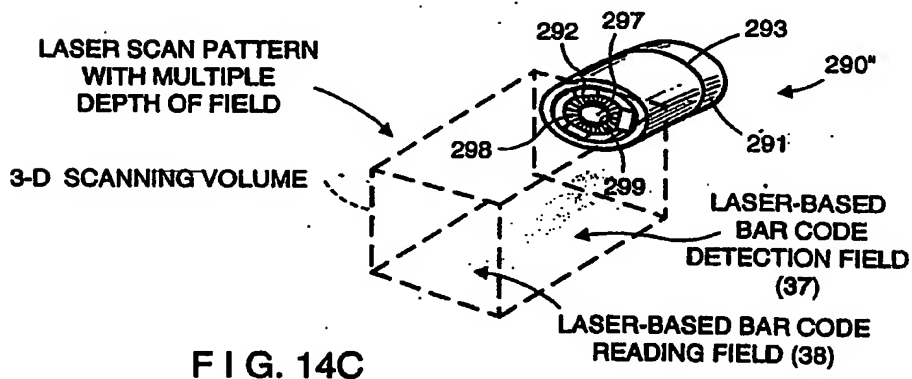
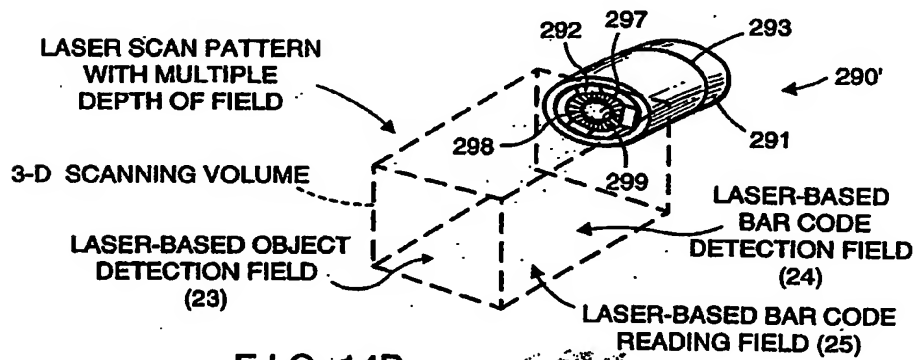
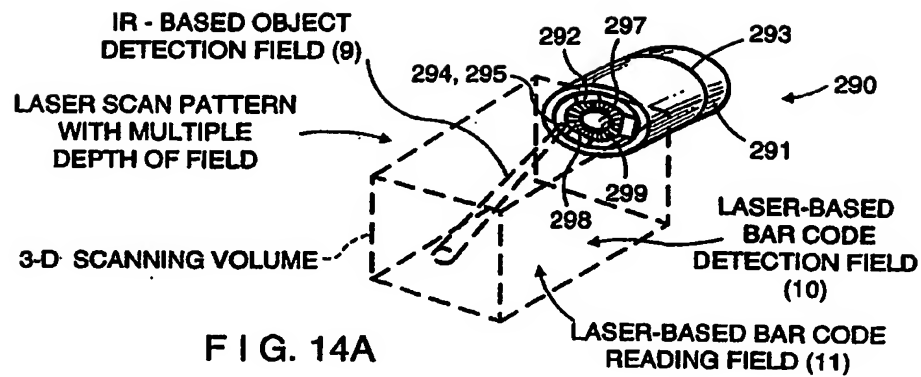


FIG. 12B







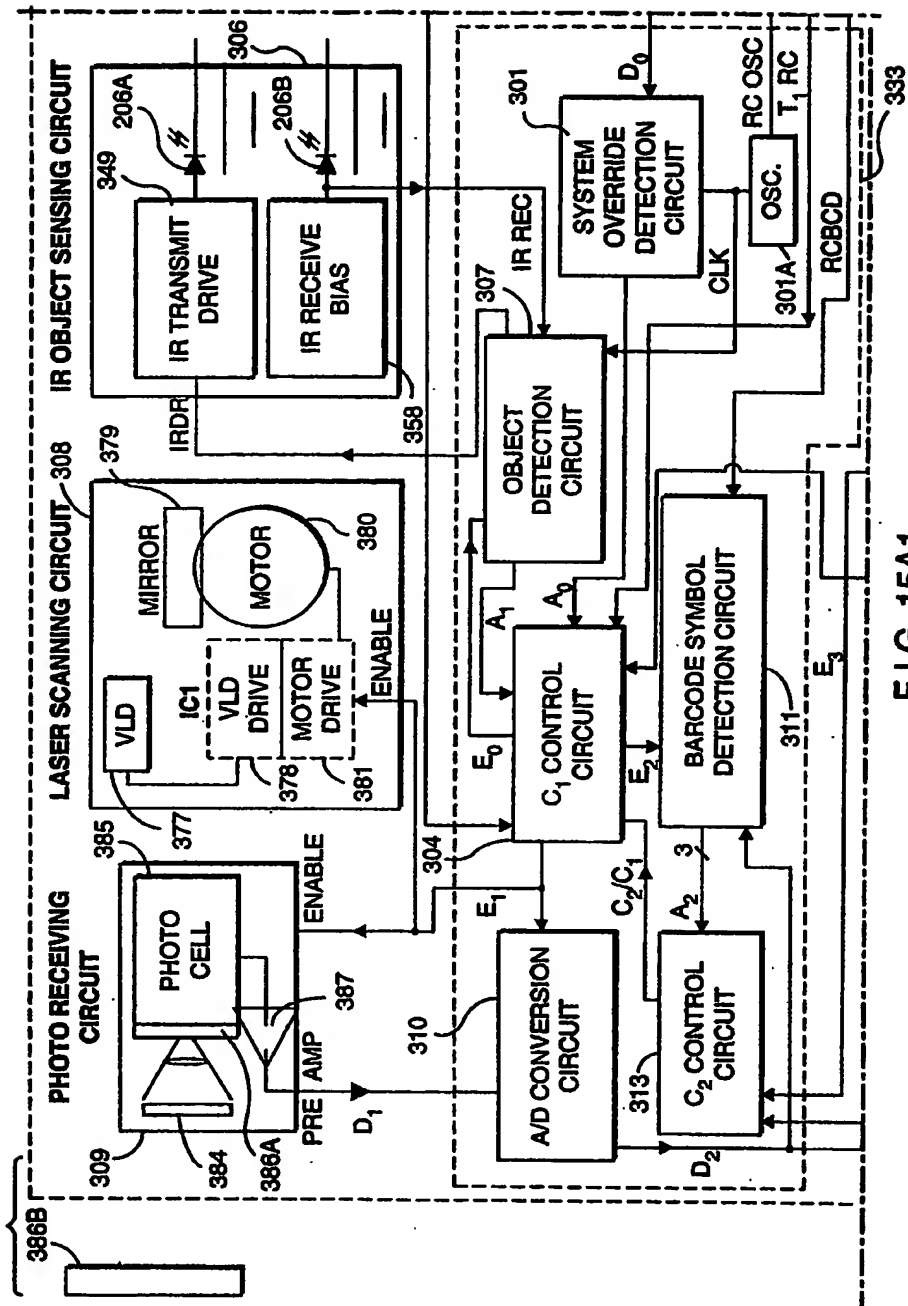


FIG. 15A1

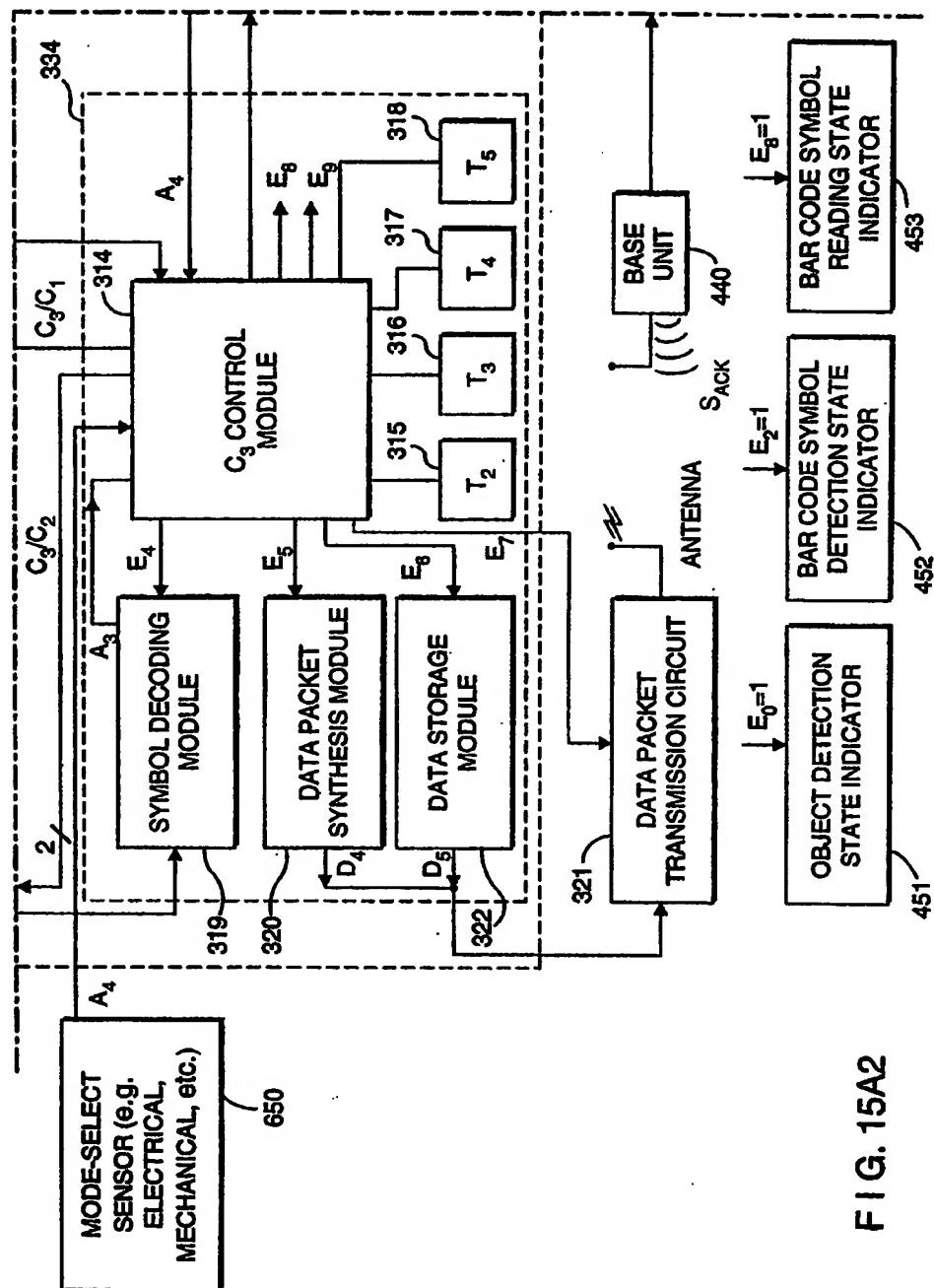


FIG. 15A2

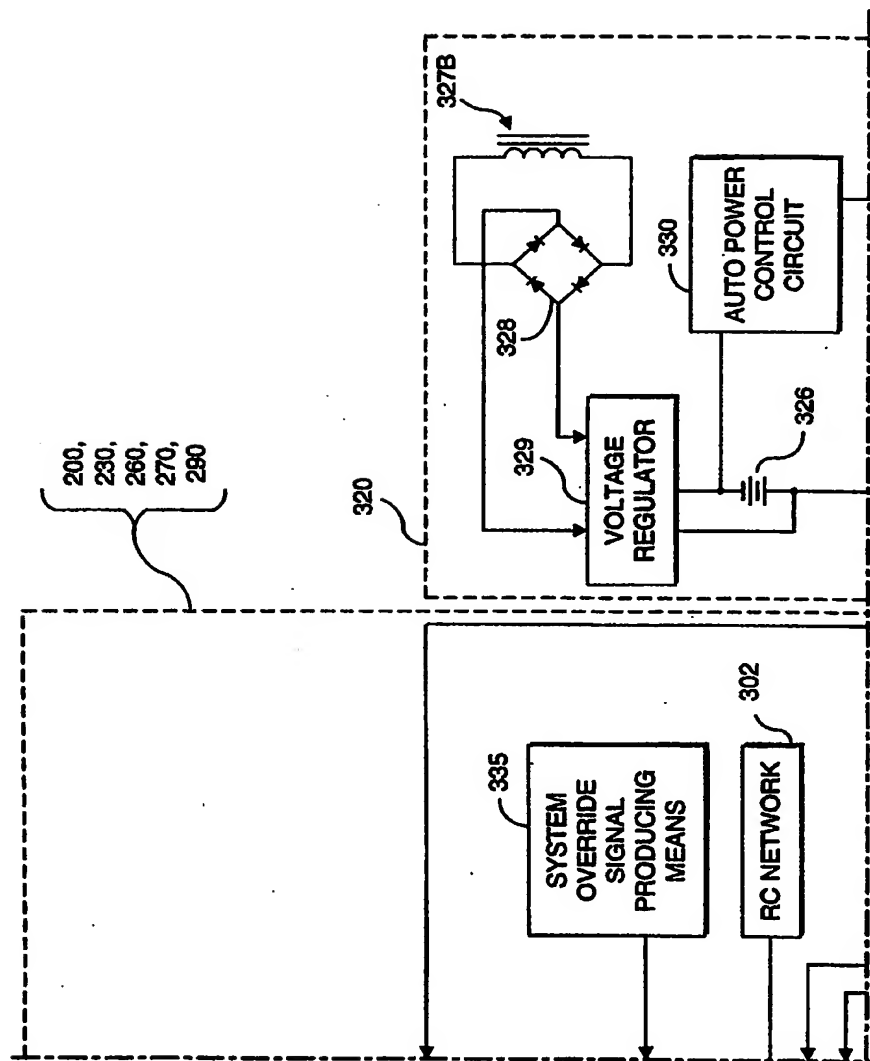


FIG. 15A3

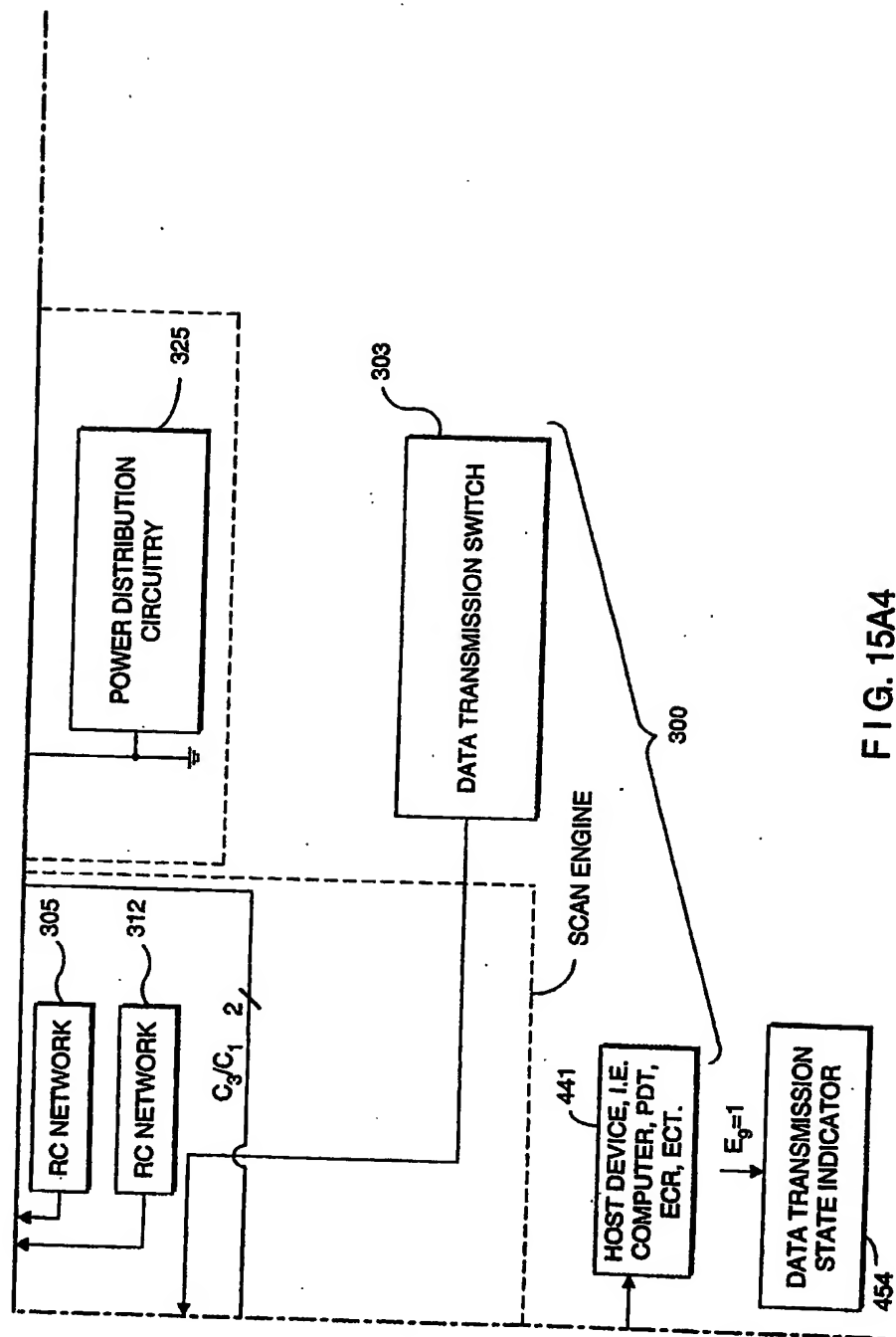


FIG. 15A4

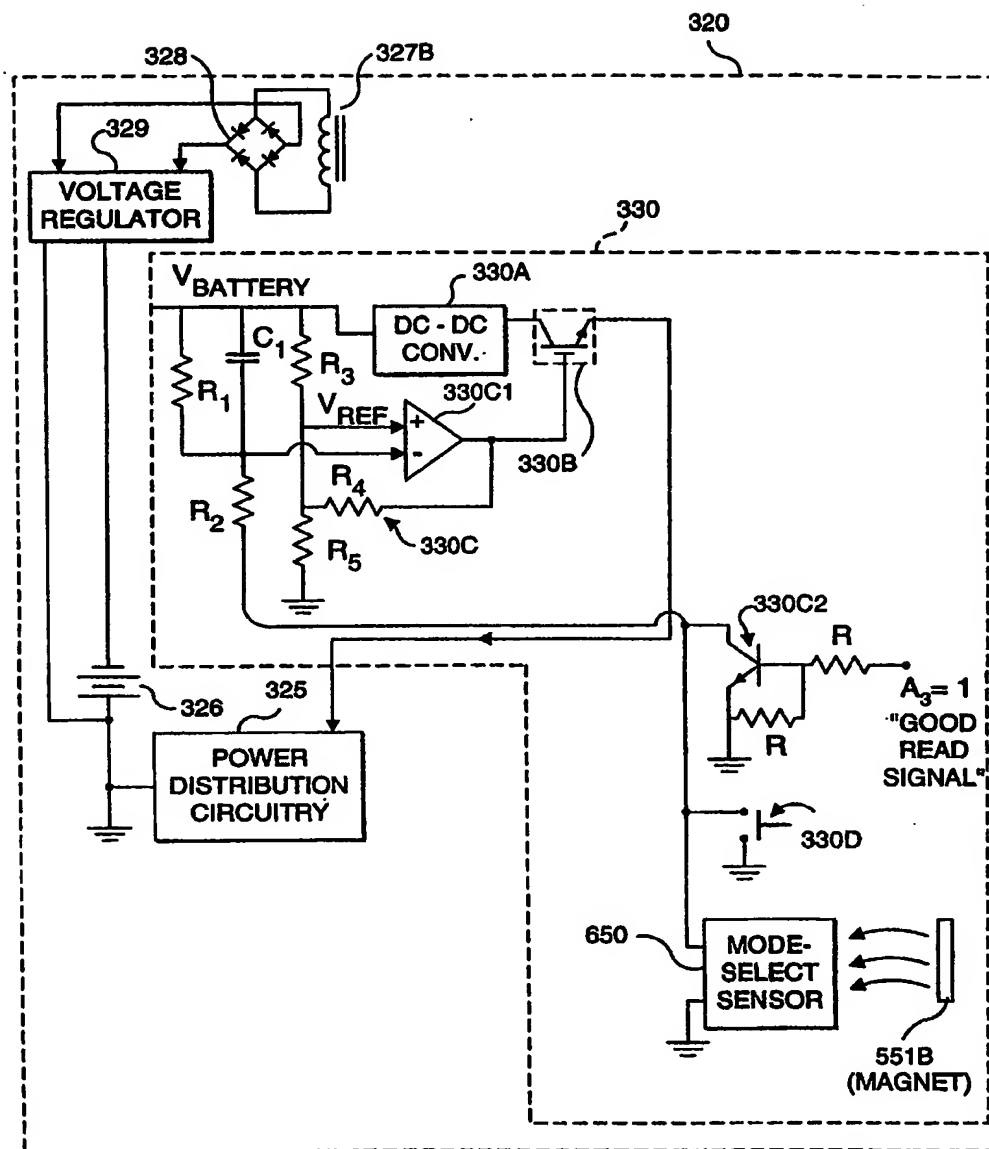
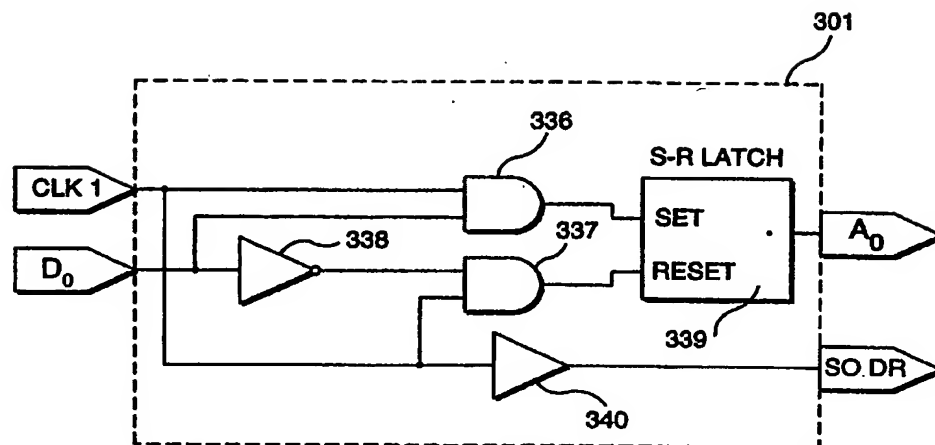
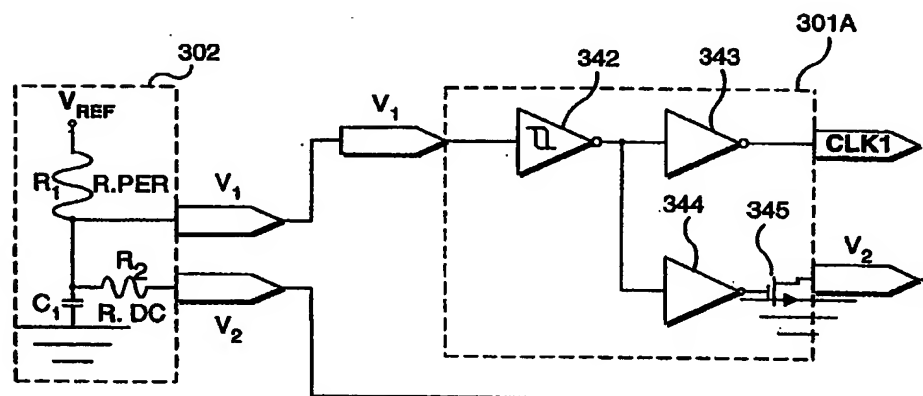


FIG. 15B1



**FIG. 15B2**



**FIG. 15C**

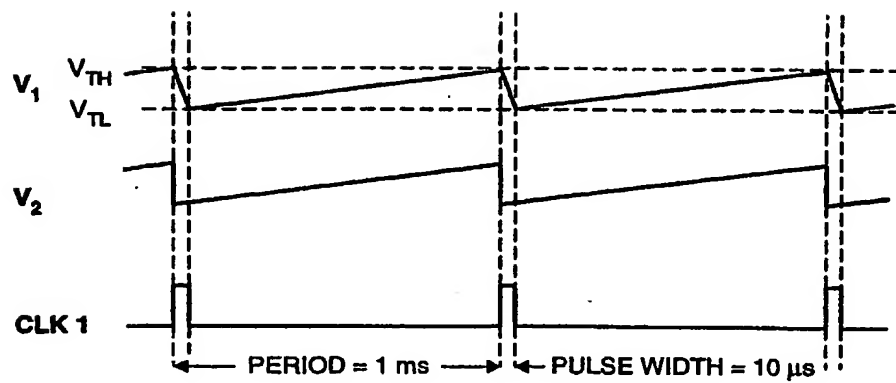


FIG. 15D

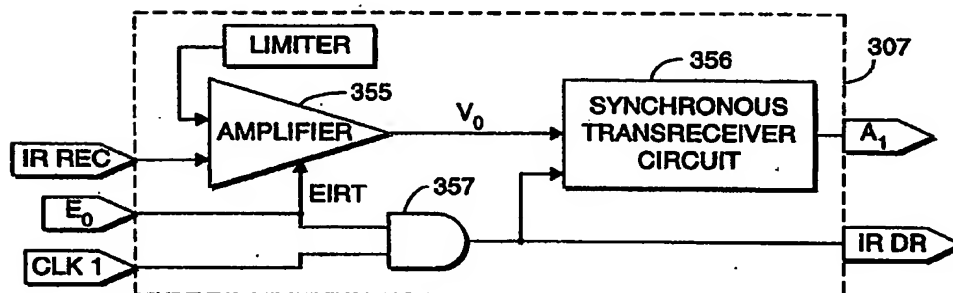


FIG. 15E

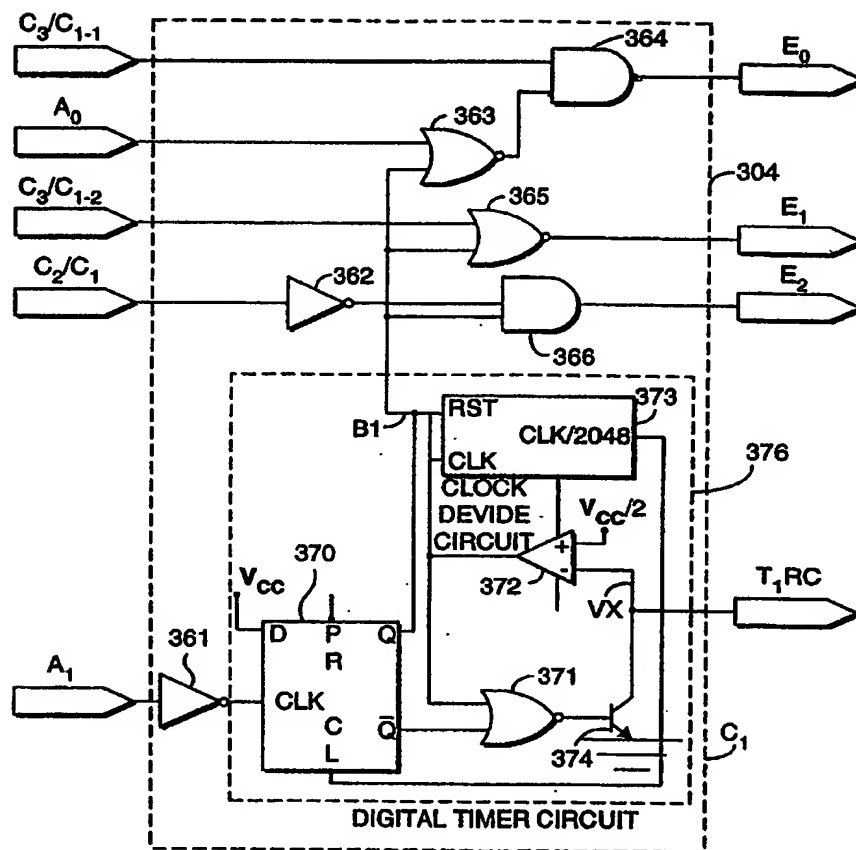


FIG. 15F



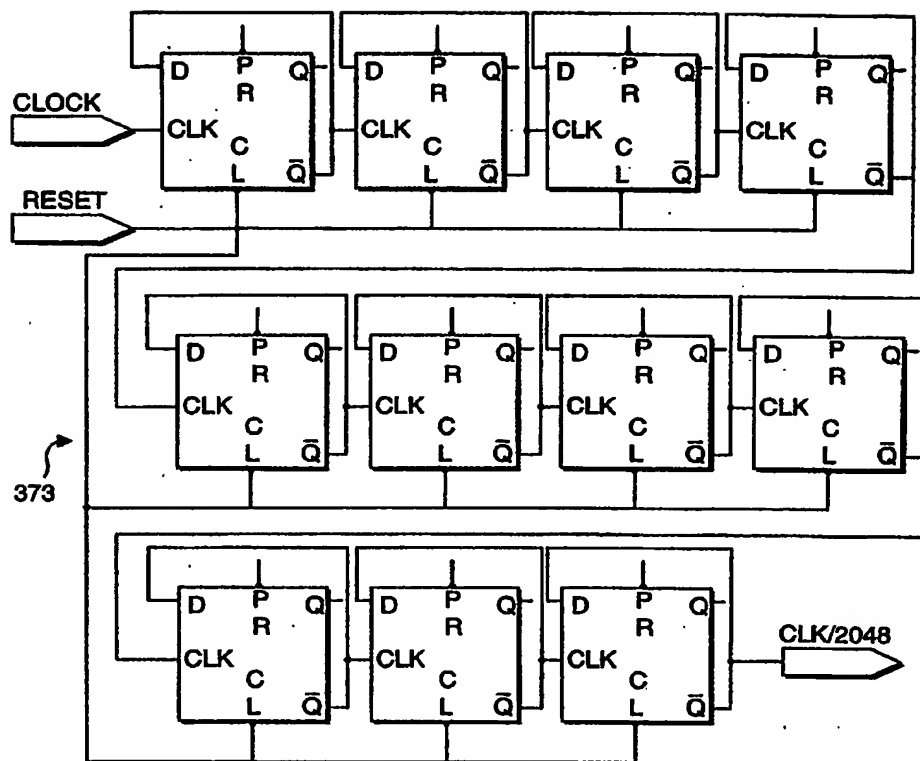


FIG. 15G

$$\left. \begin{aligned} E_0 &= (B_1 + A_0) (C_3 / C_{1-1}) \\ E_1 &= (C_3 / C_{1-2}) + B_1 \\ E_2 &= (C_2 / C_1) (T_1) \end{aligned} \right\}$$

FIG. 15H

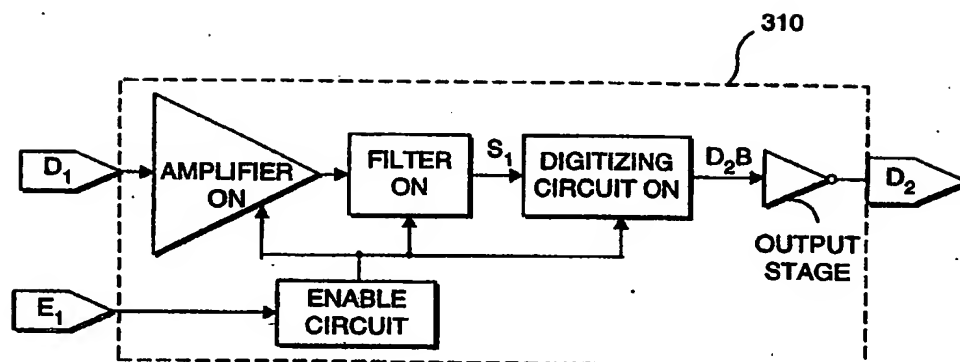


FIG. 15I

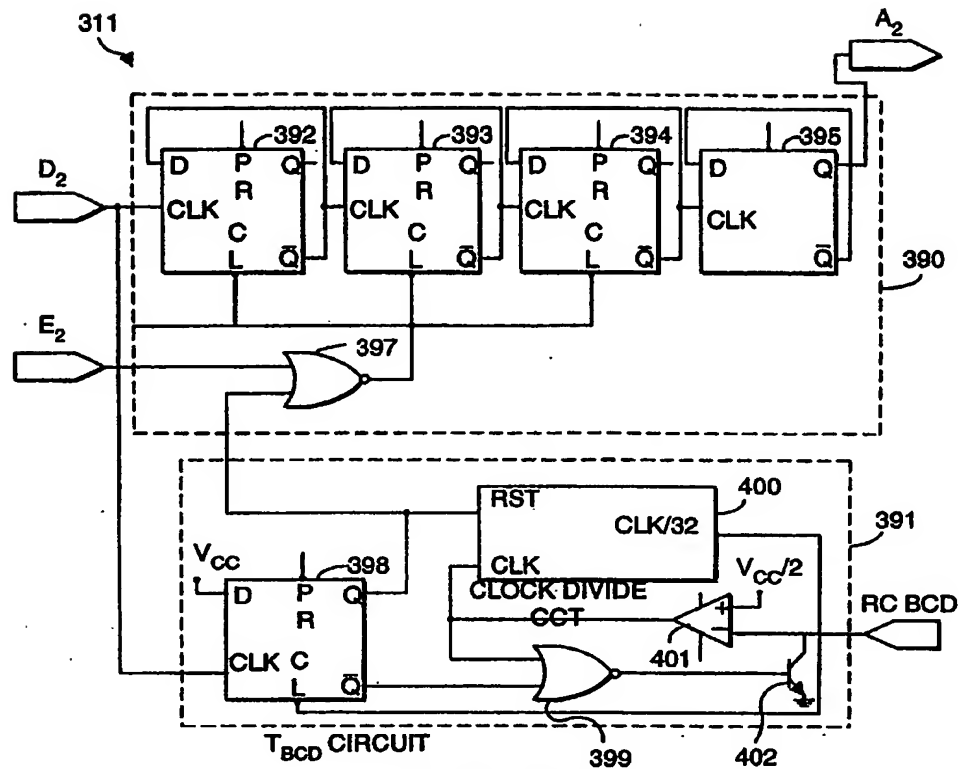


FIG. 15J

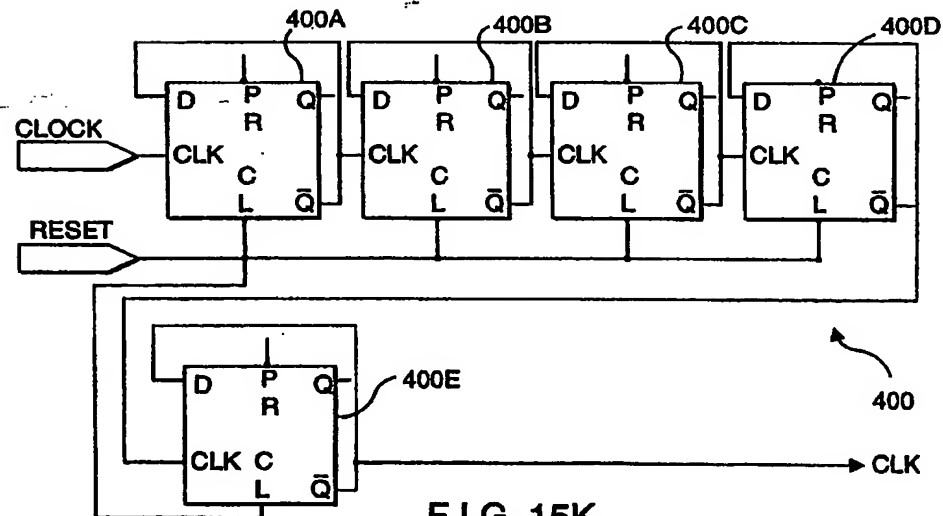


FIG. 15K

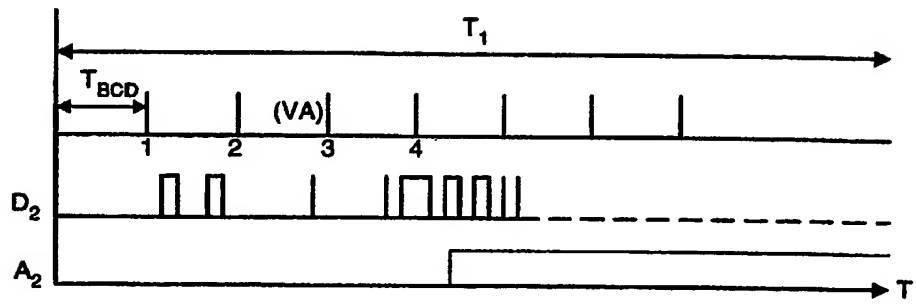


FIG. 15L

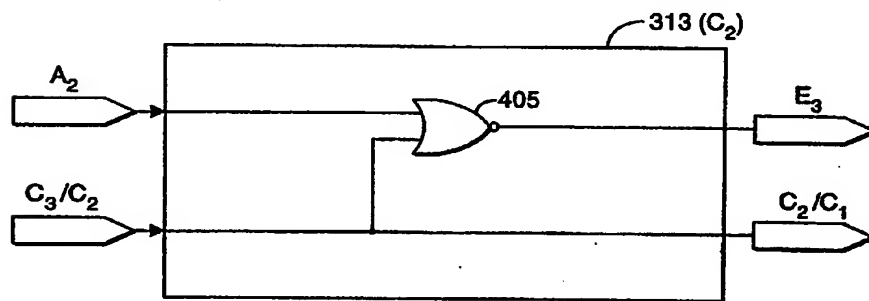


FIG. 15M

$C_3/C_2$	$A_2$	$E_3$	$C_2/C_1$
0	0	0	0
0	1	1	0
1	X	1	1

X: DONT CARE (I.E.  $C_3/C_2$  OVERRIDES  $A_2$ )

FIG. 15N

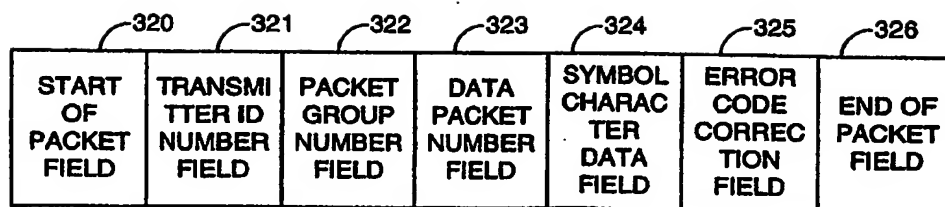


FIG. 150

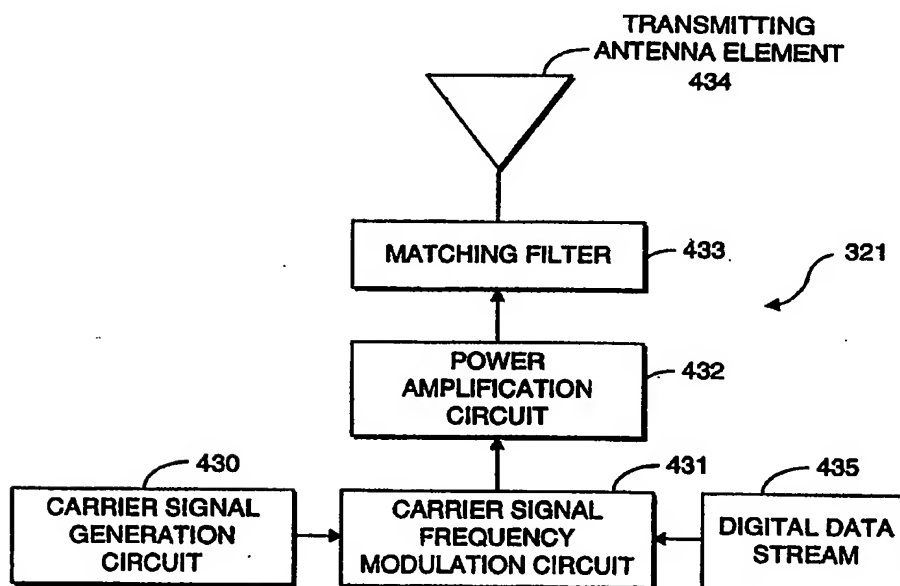


FIG. 16

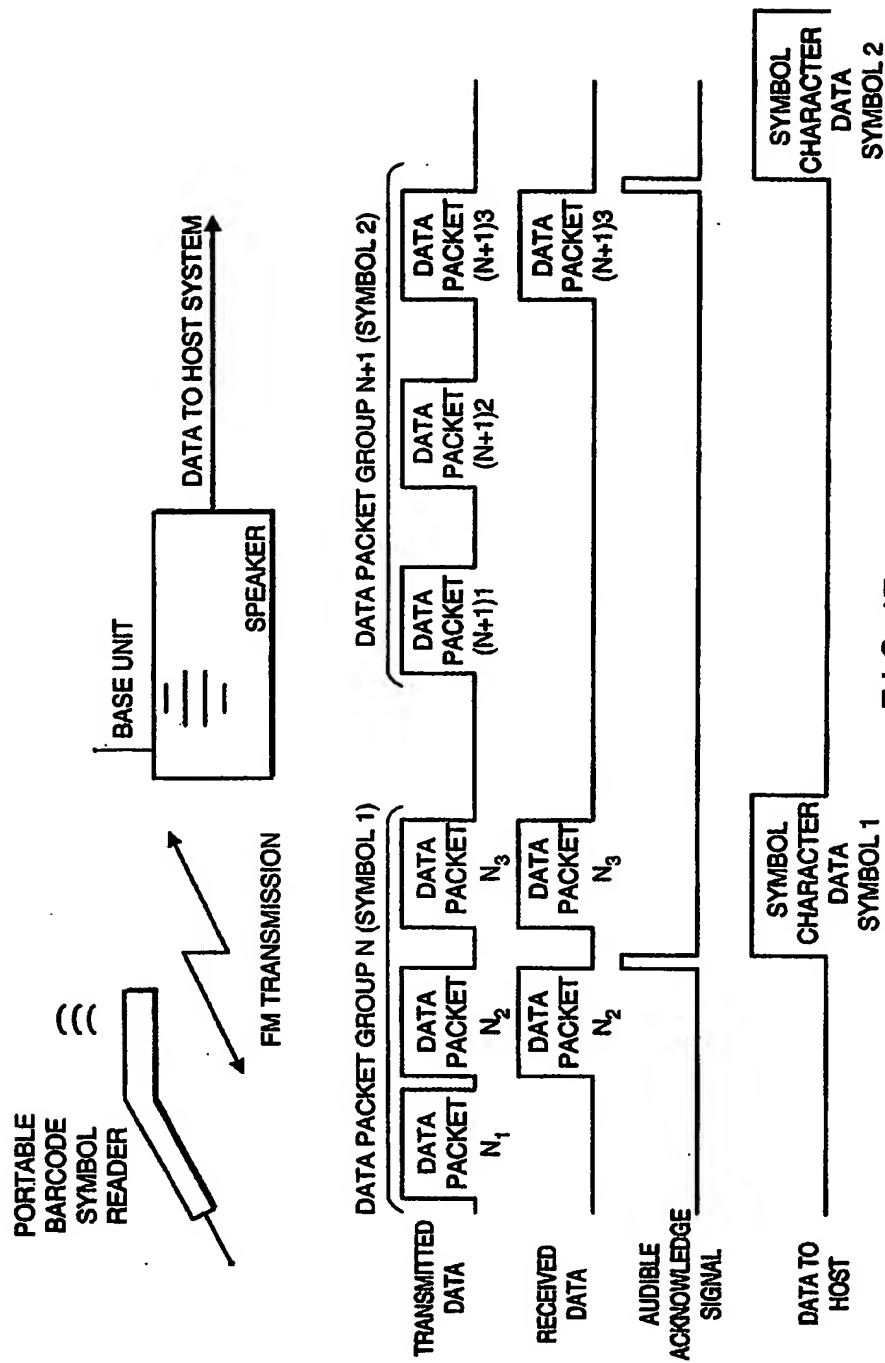


FIG. 17

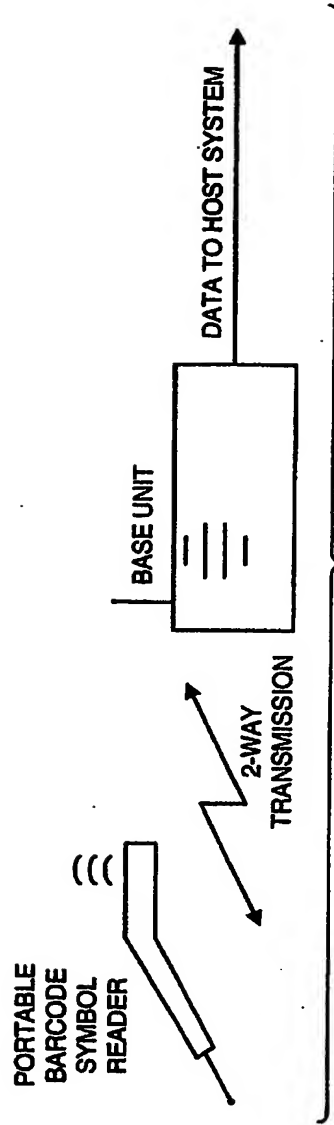


FIG. 18

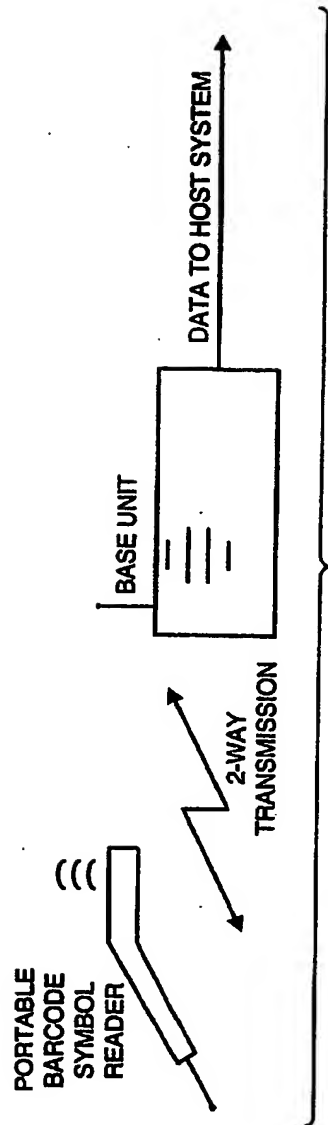


FIG. 19

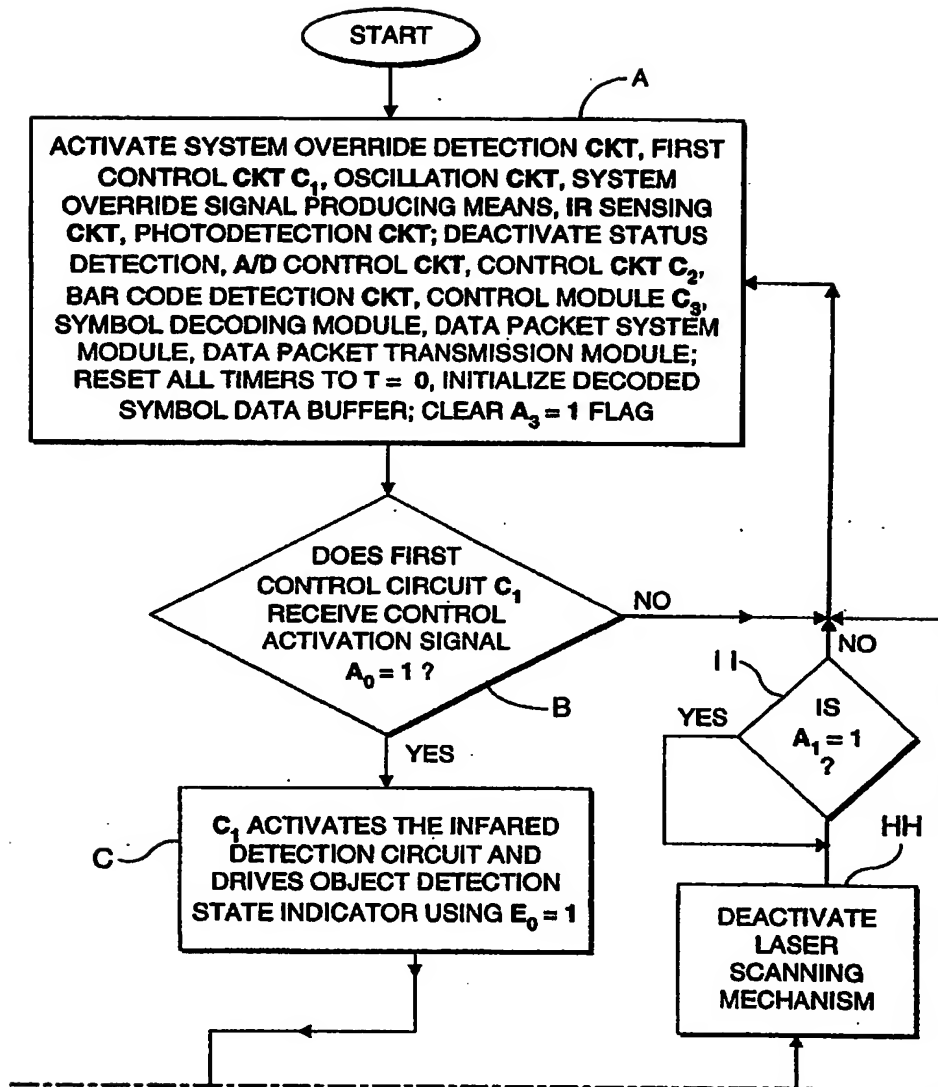
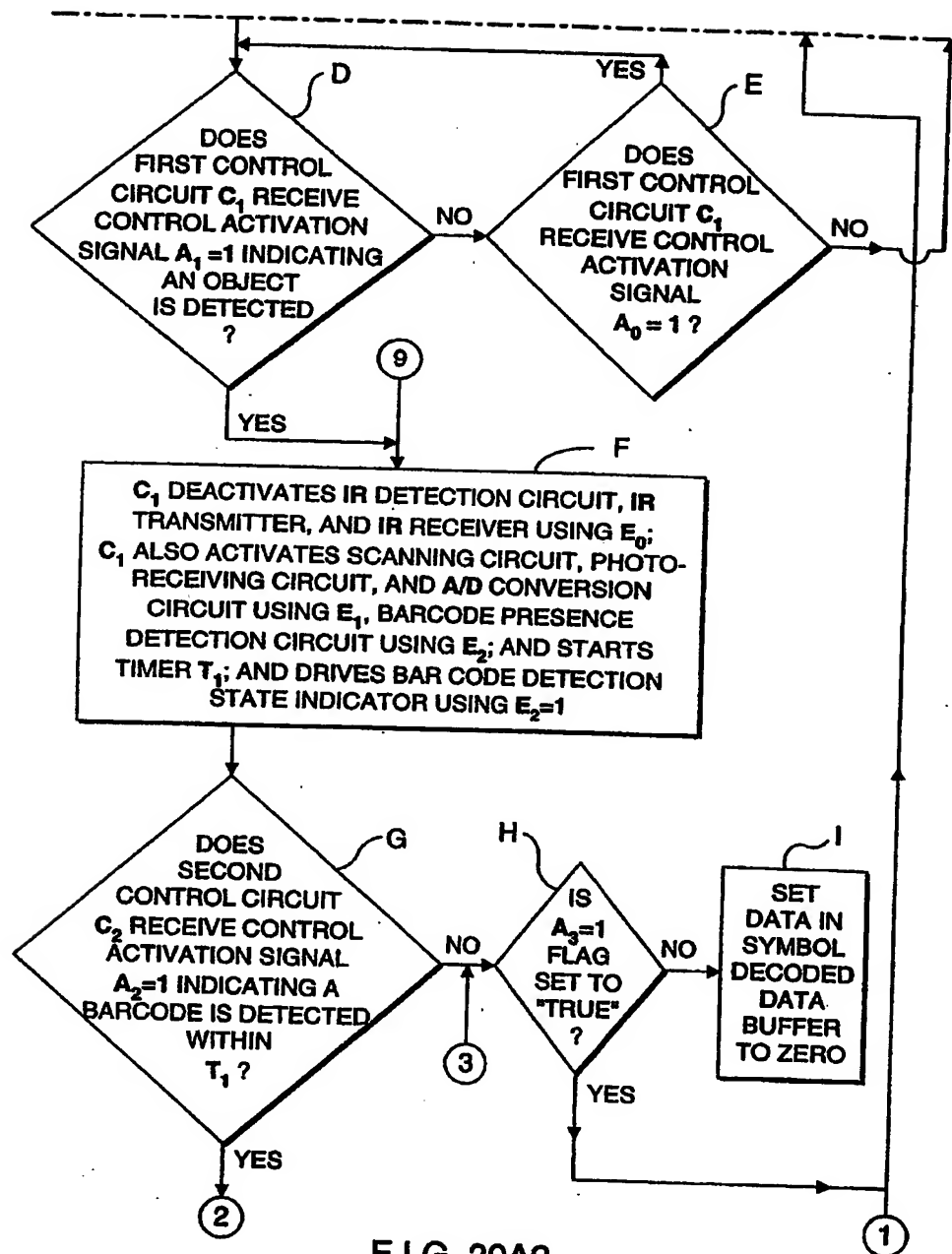


FIG. 20A1





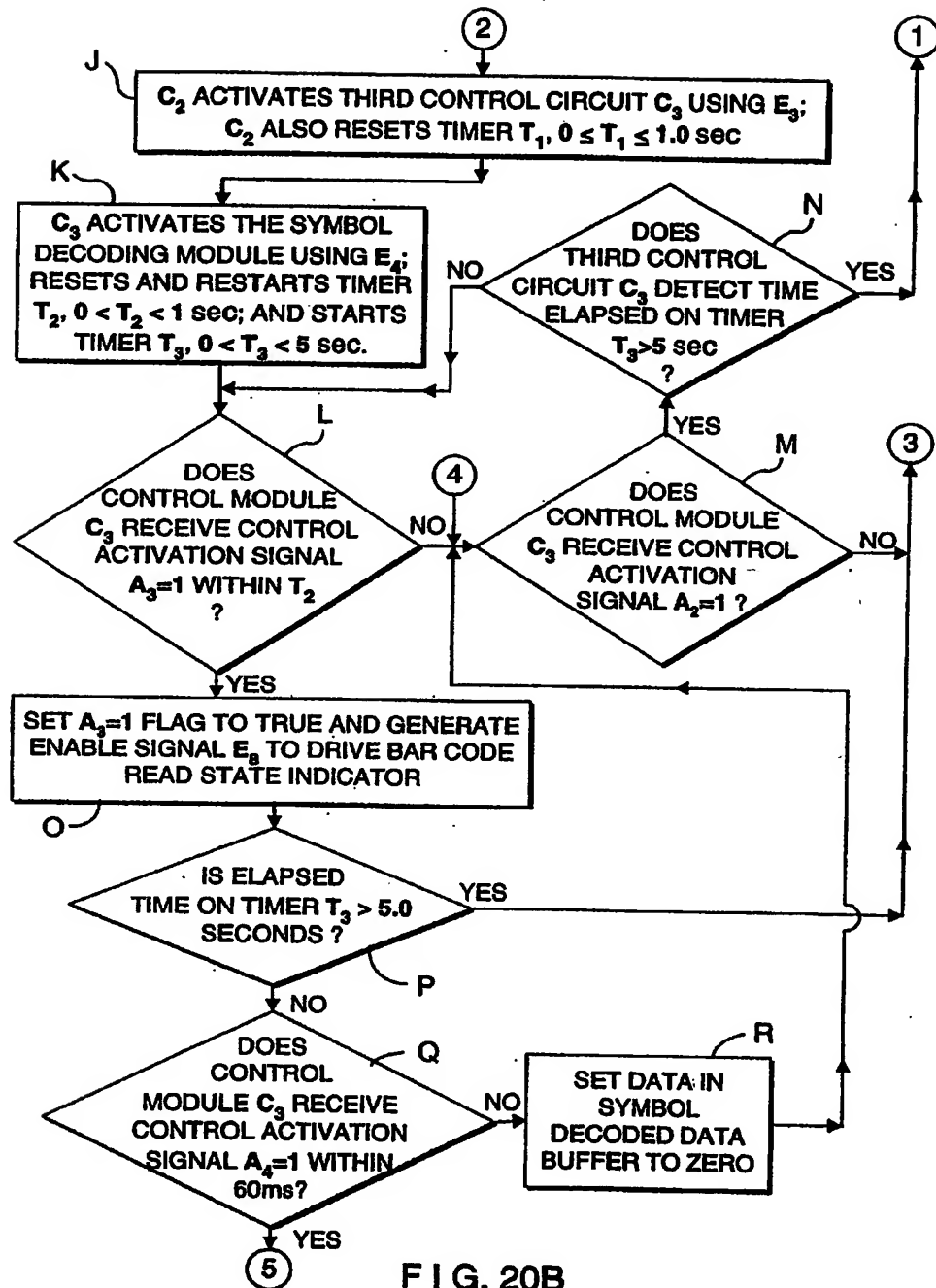


FIG. 20B

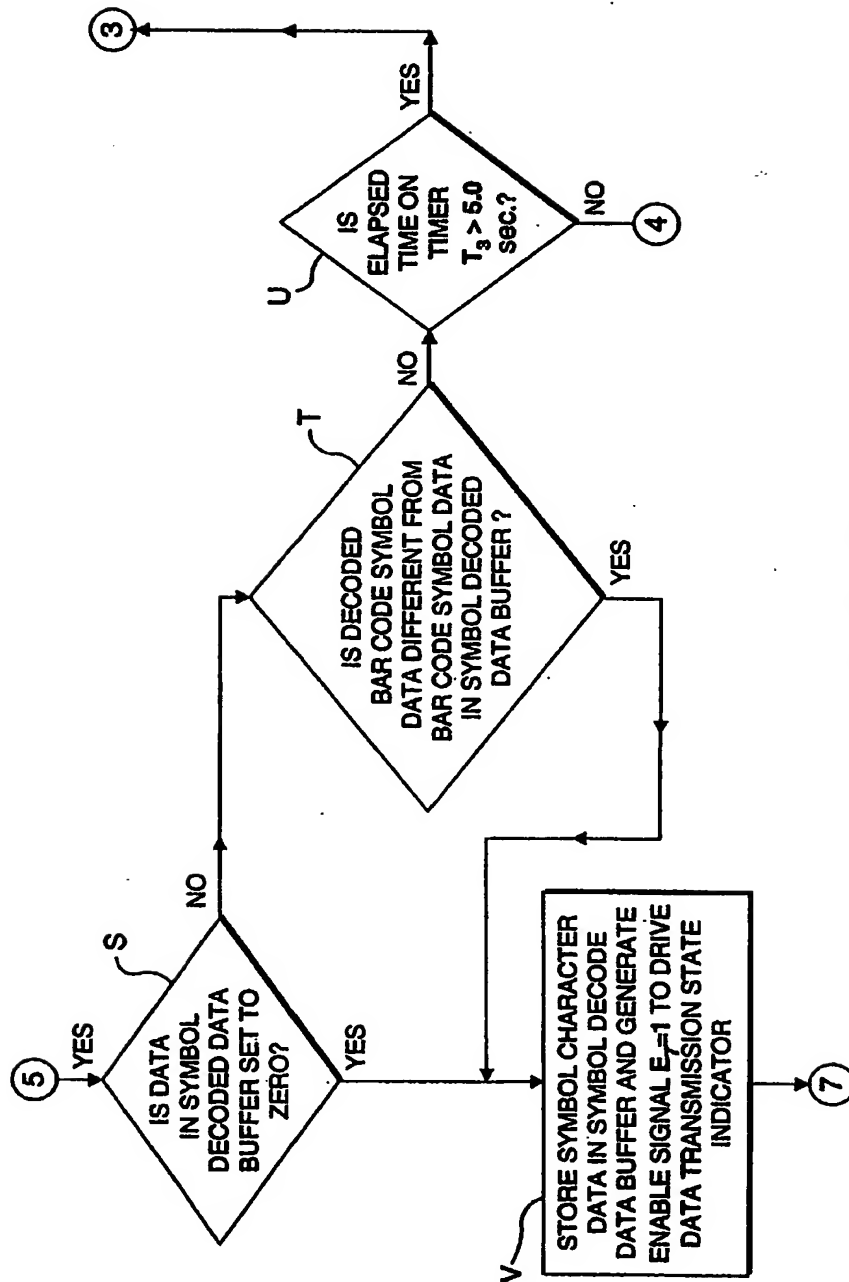


FIG. 20C

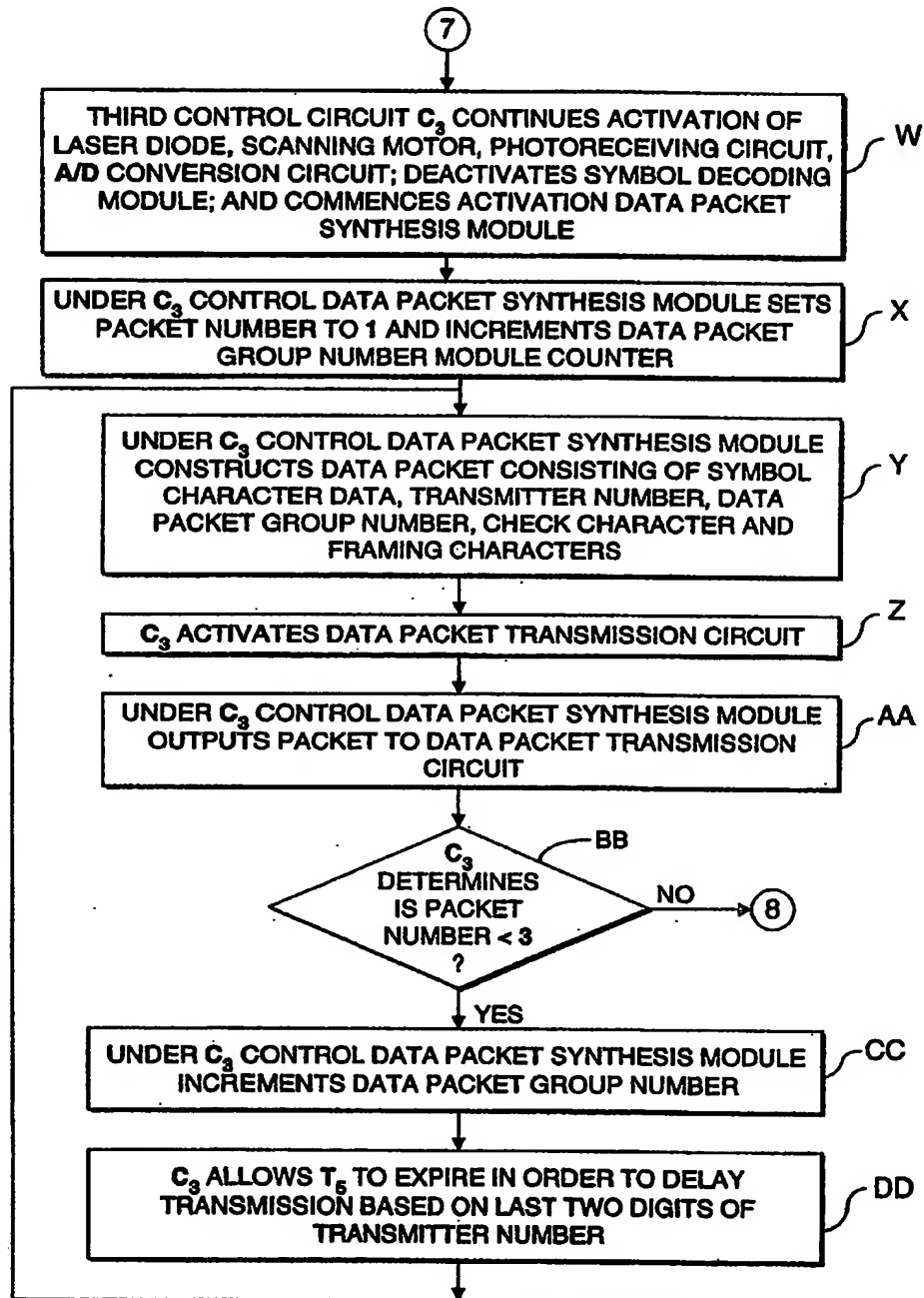


FIG. 20D

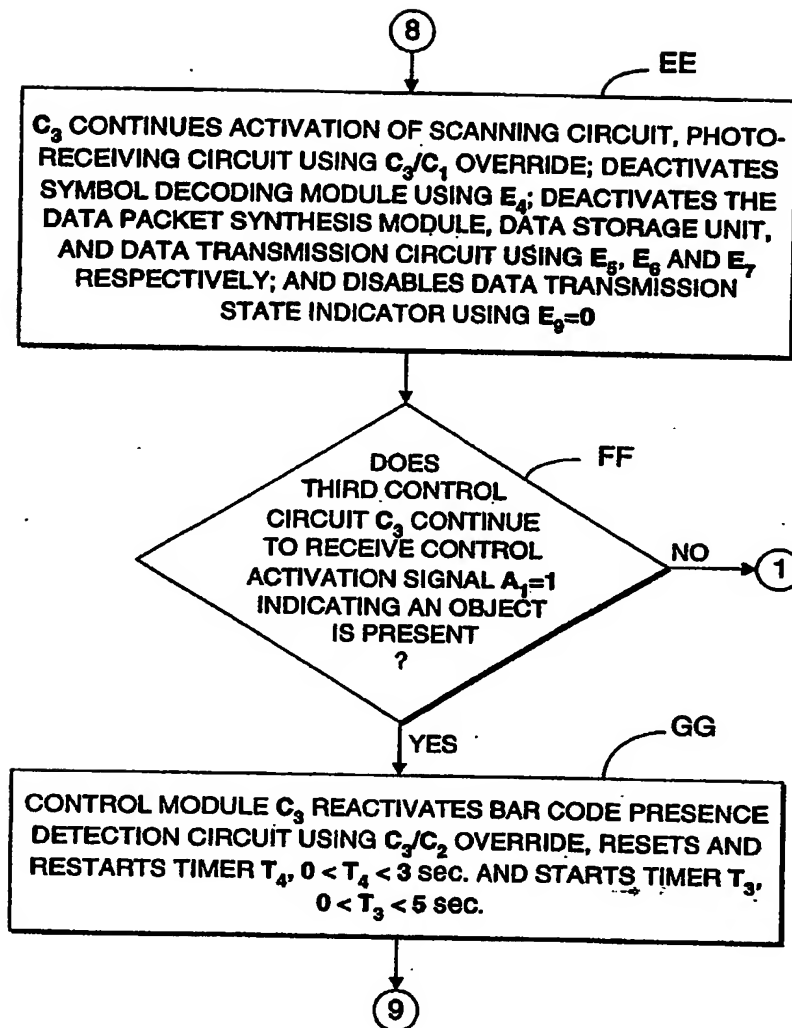


FIG. 20E

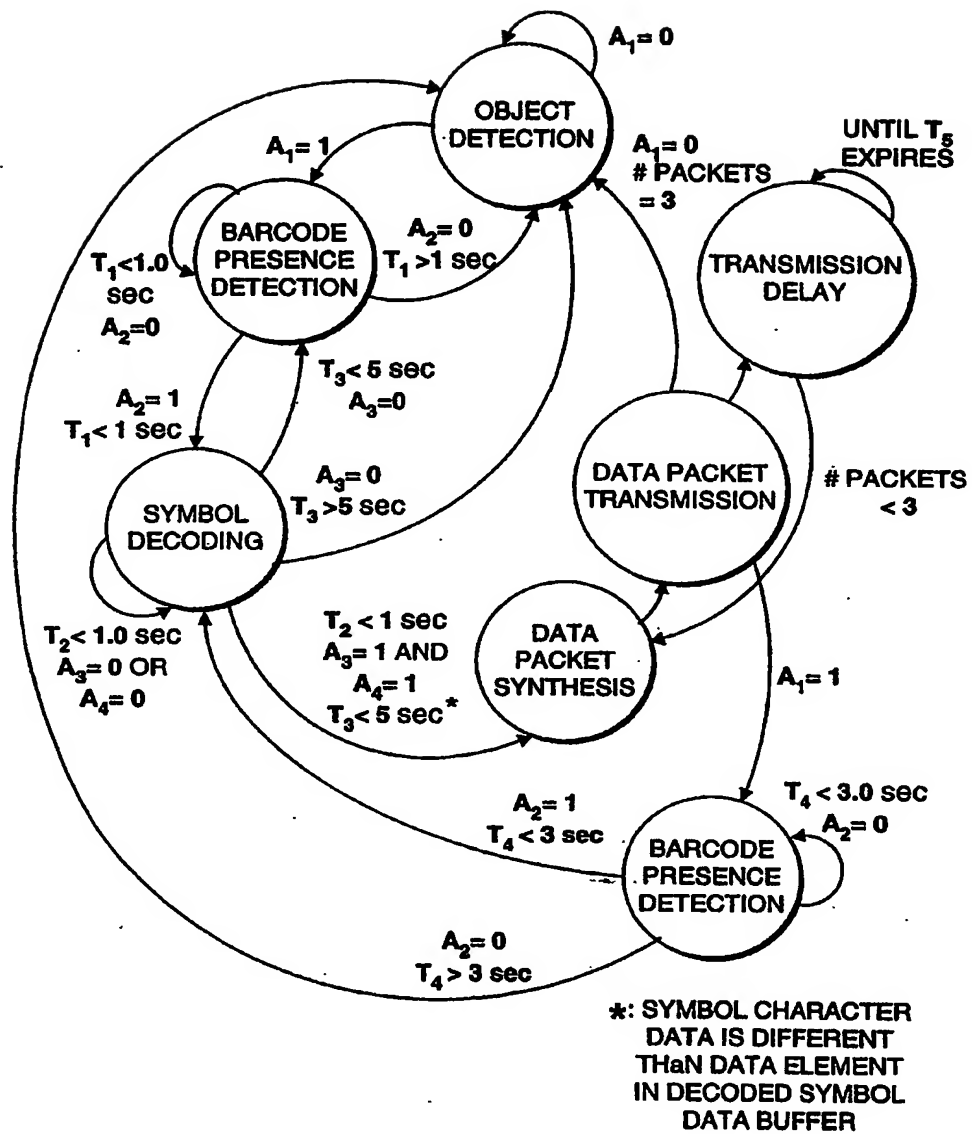


FIG. 21

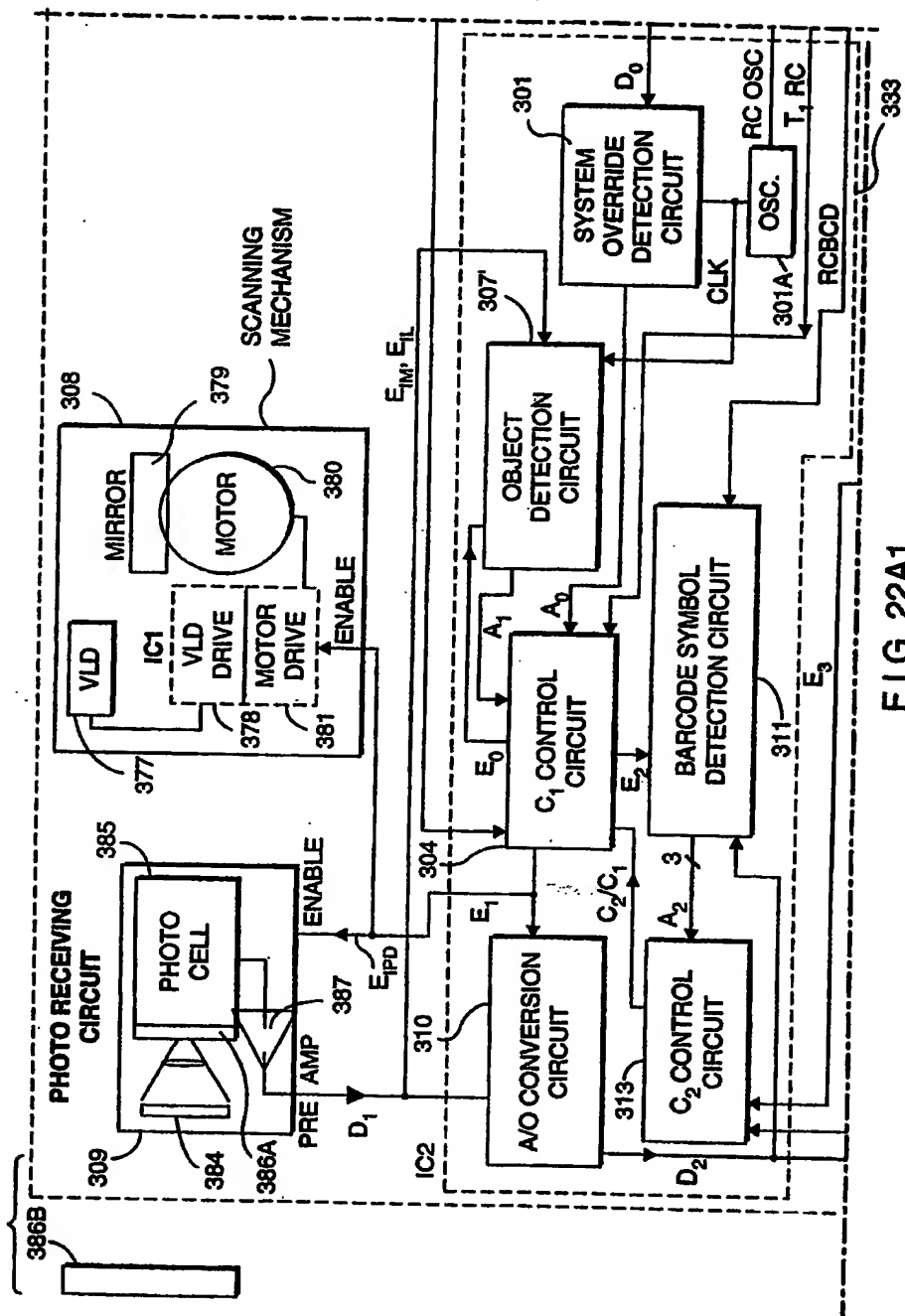


FIG. 22A1

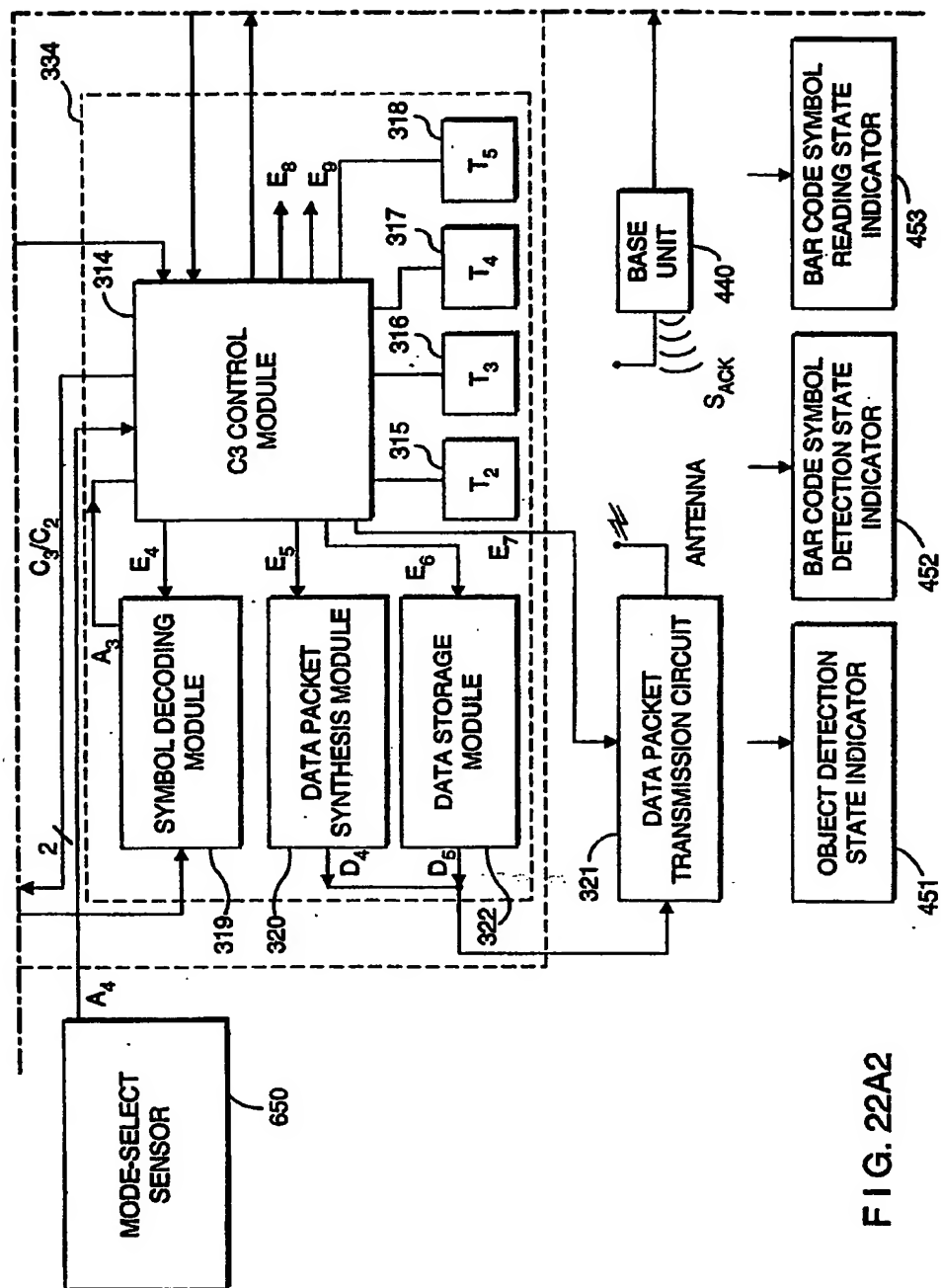


FIG. 22A2



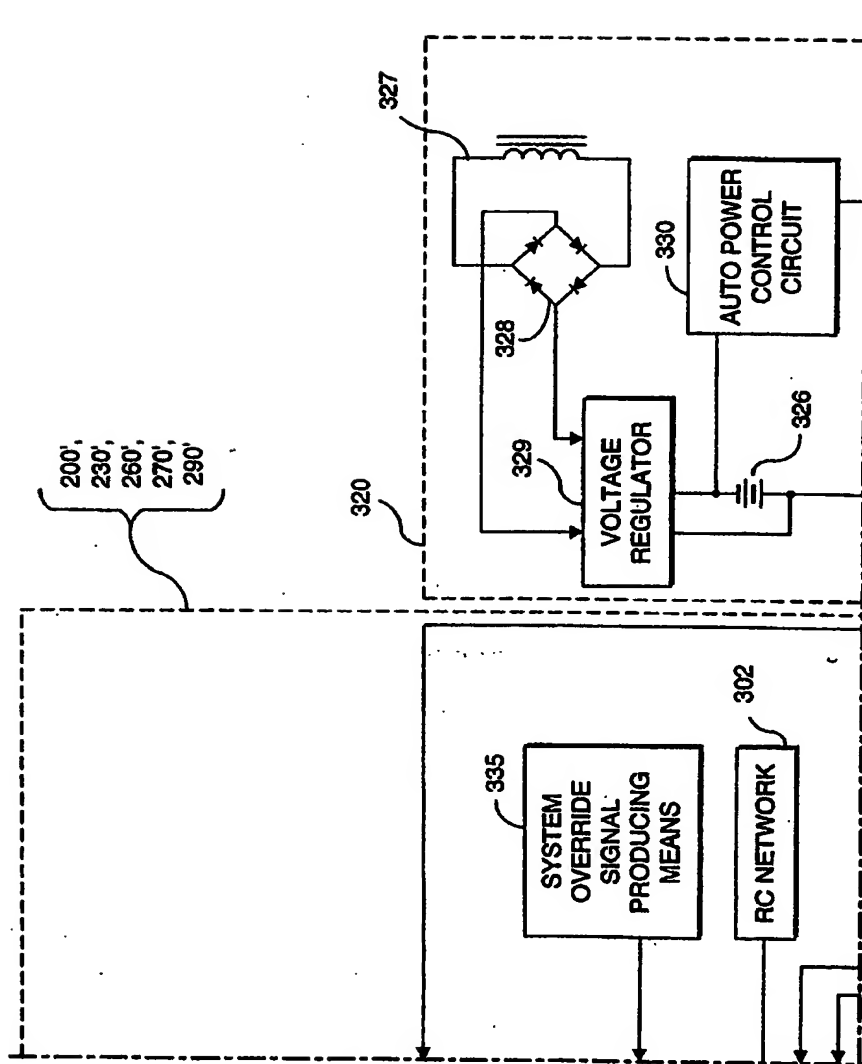


FIG. 22A3

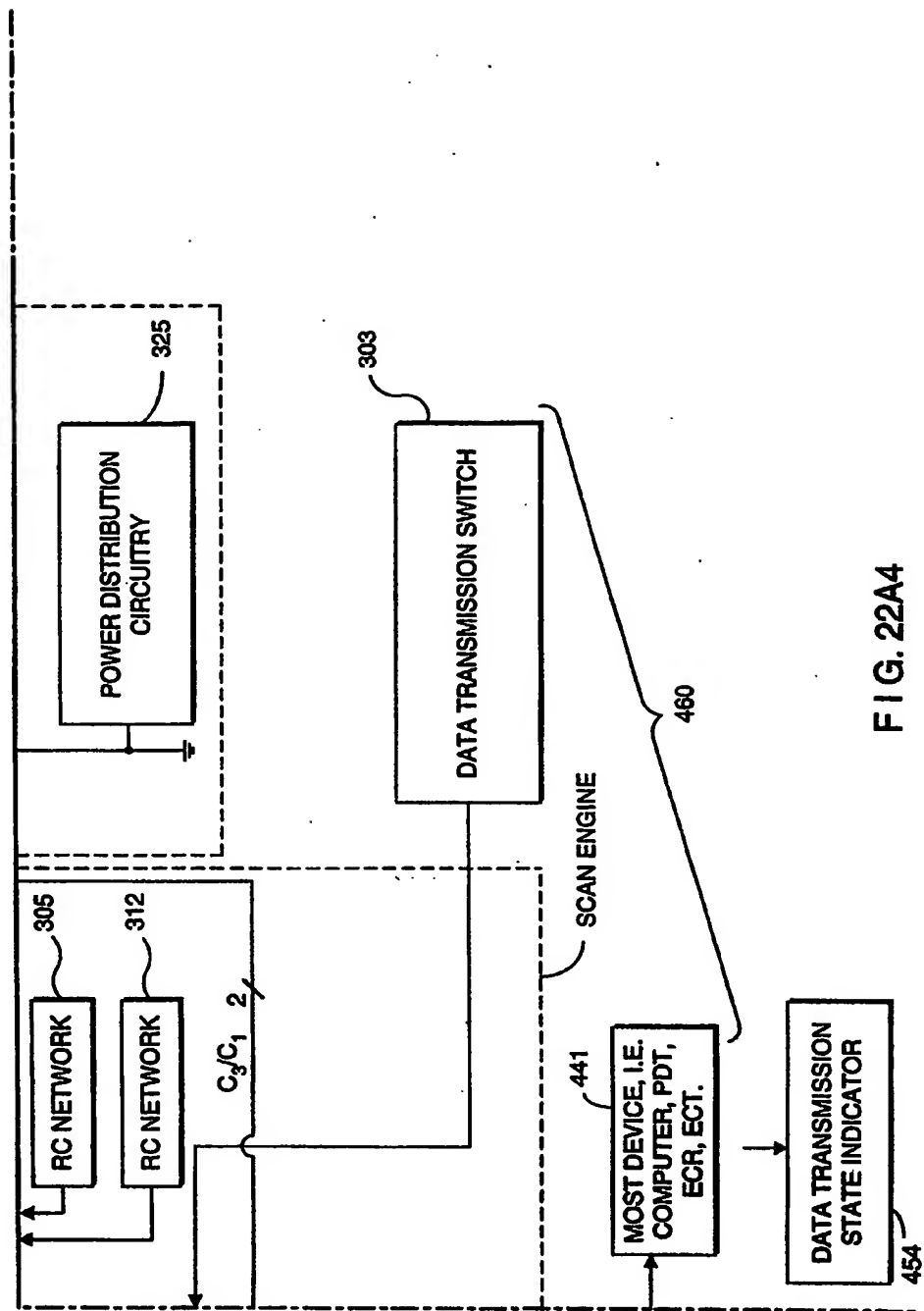


FIG. 22A4

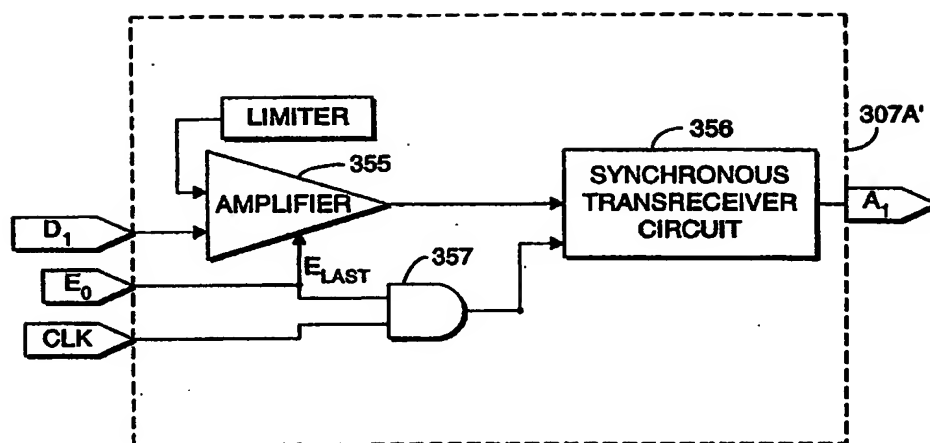


FIG. 22B

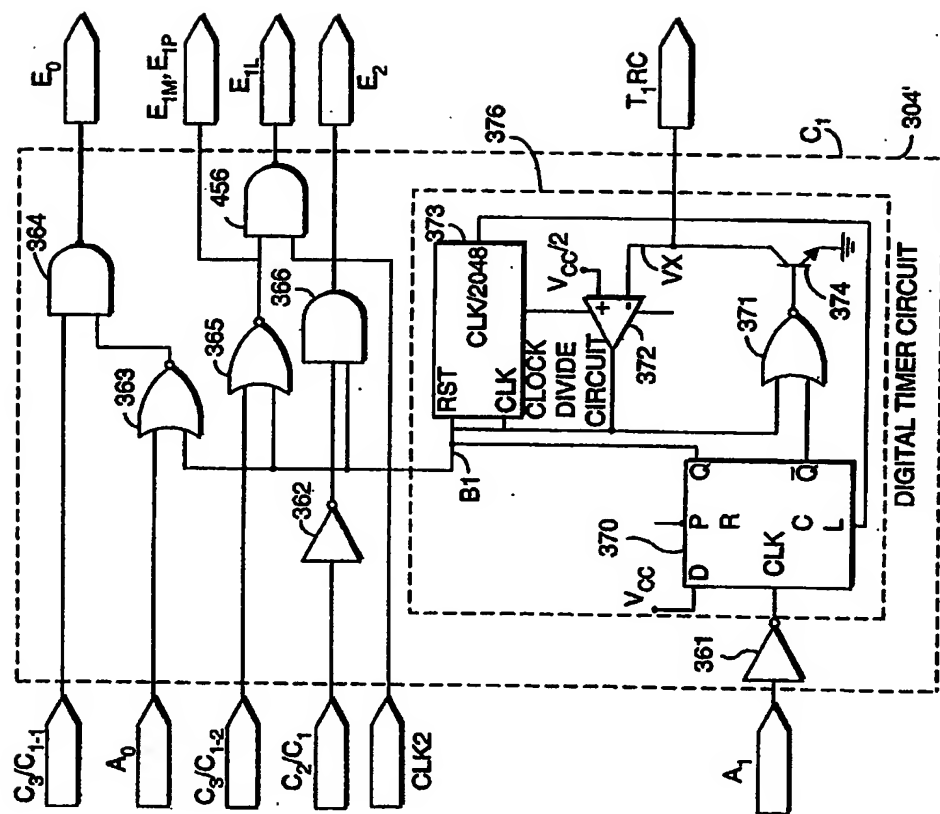


FIG. 22C

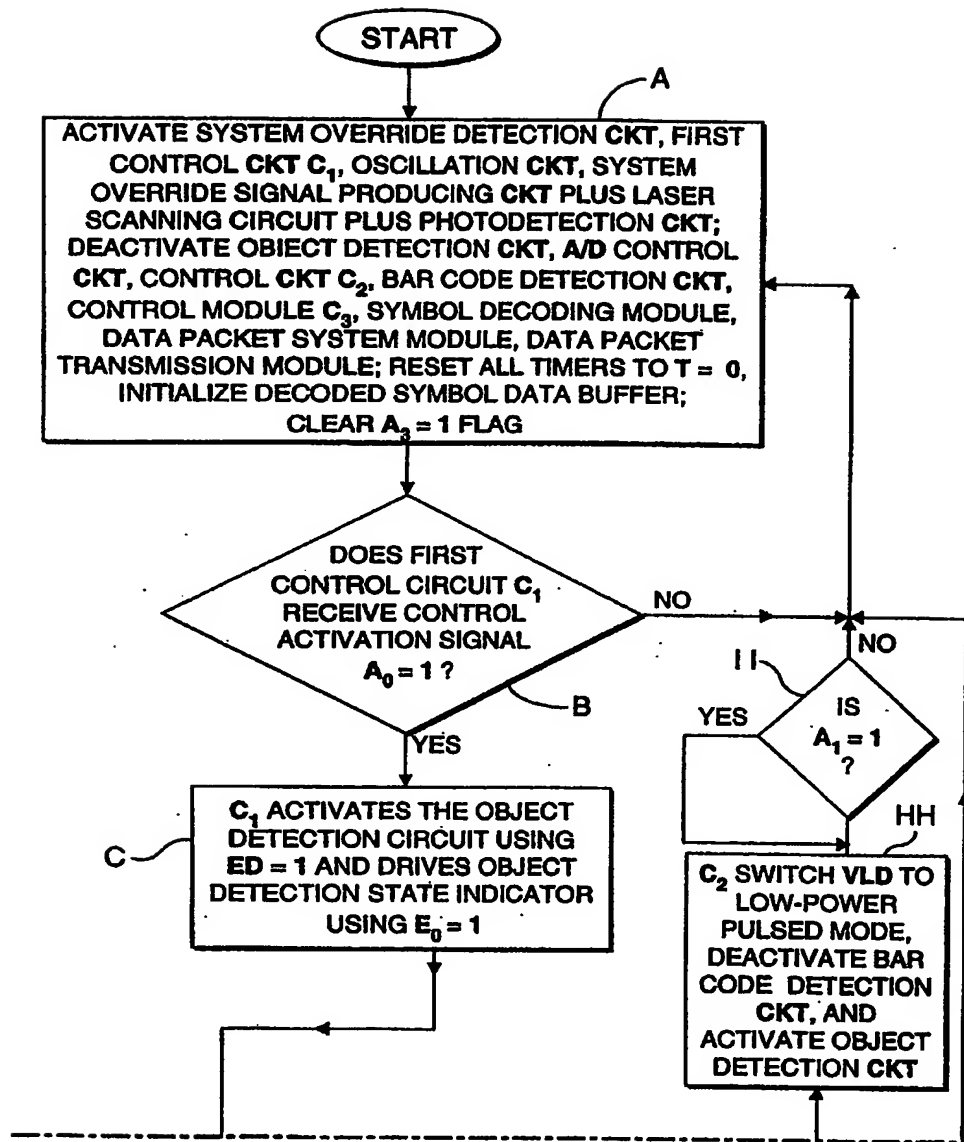


FIG. 23A1

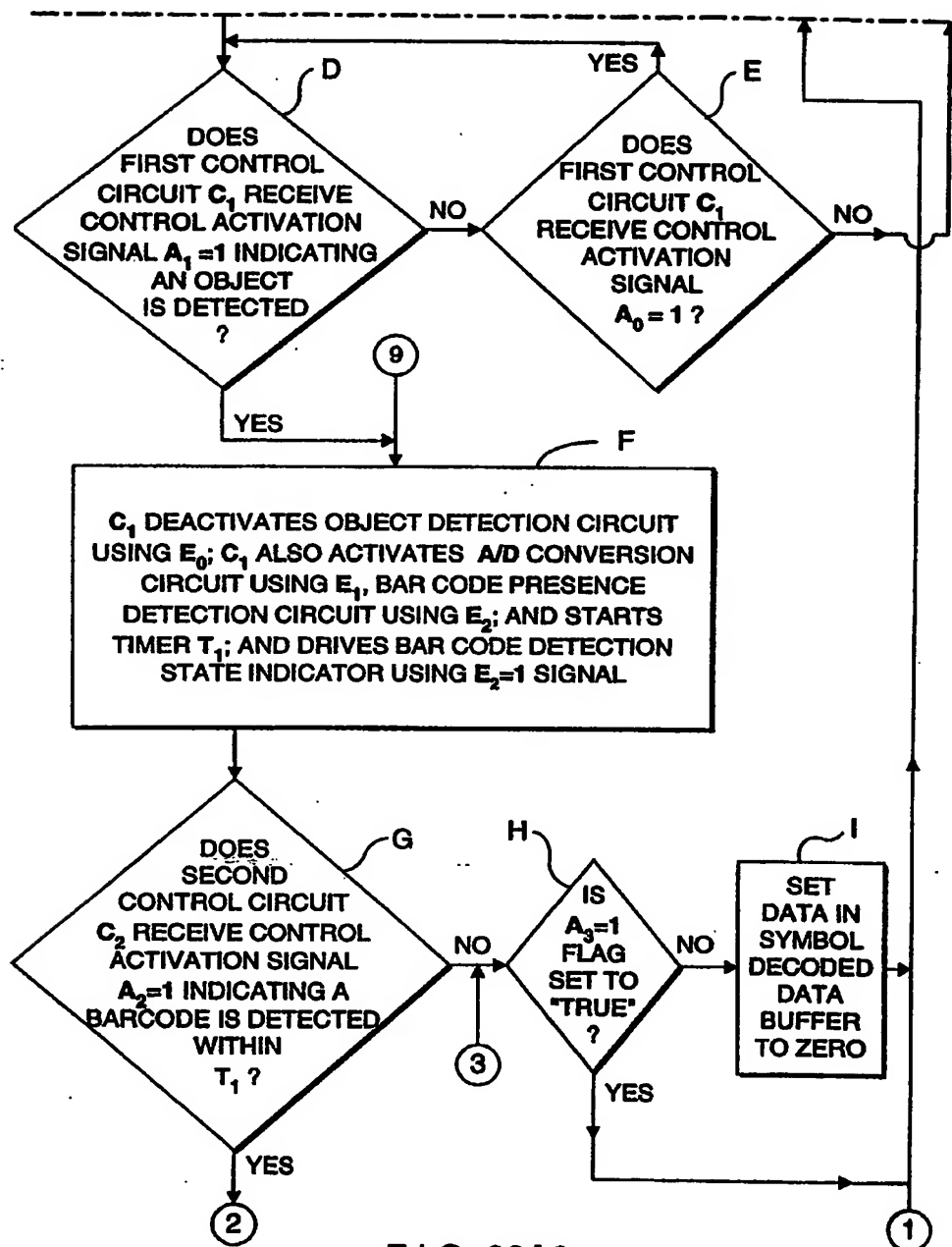


FIG. 23A2

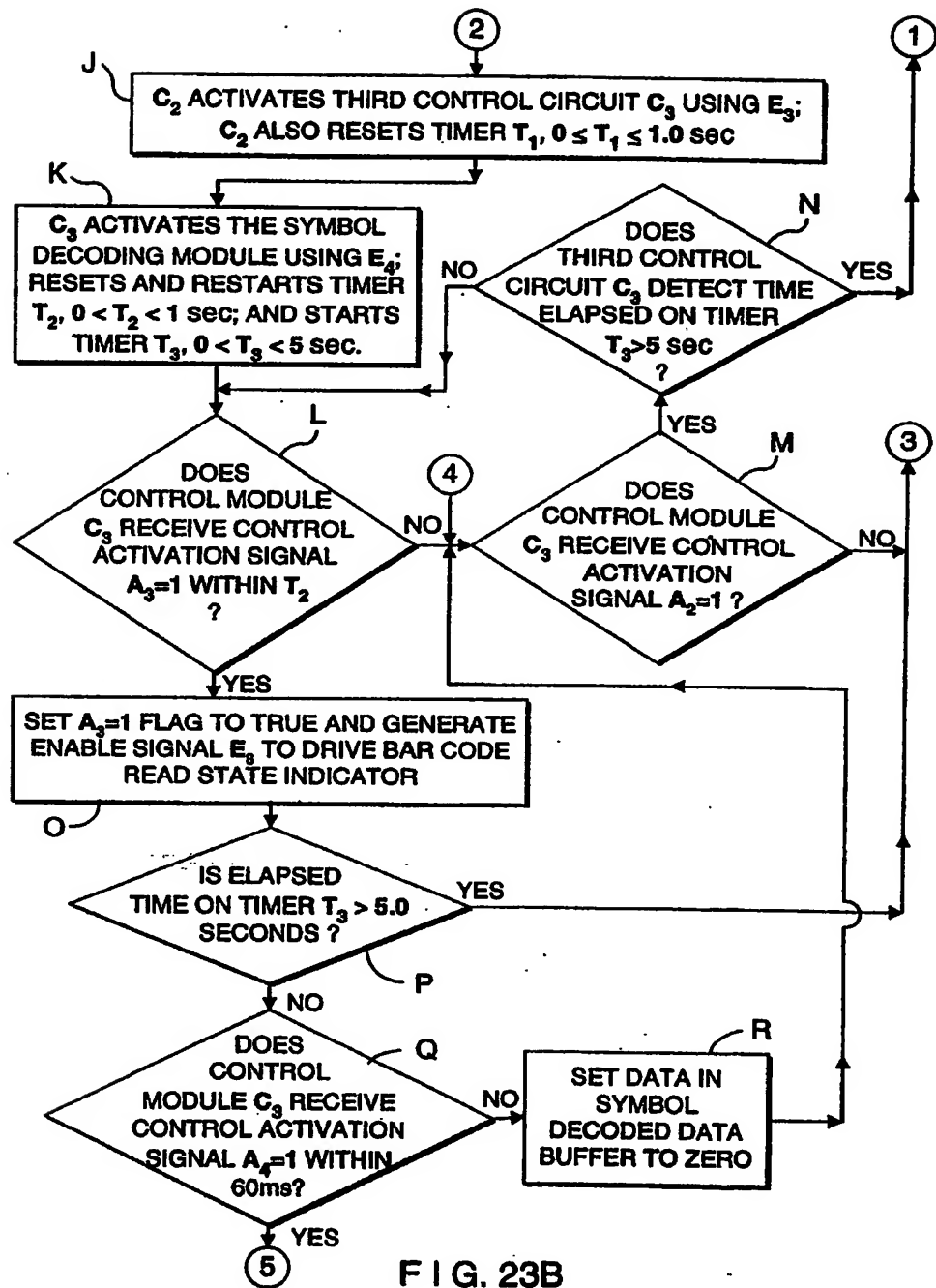


FIG. 23B

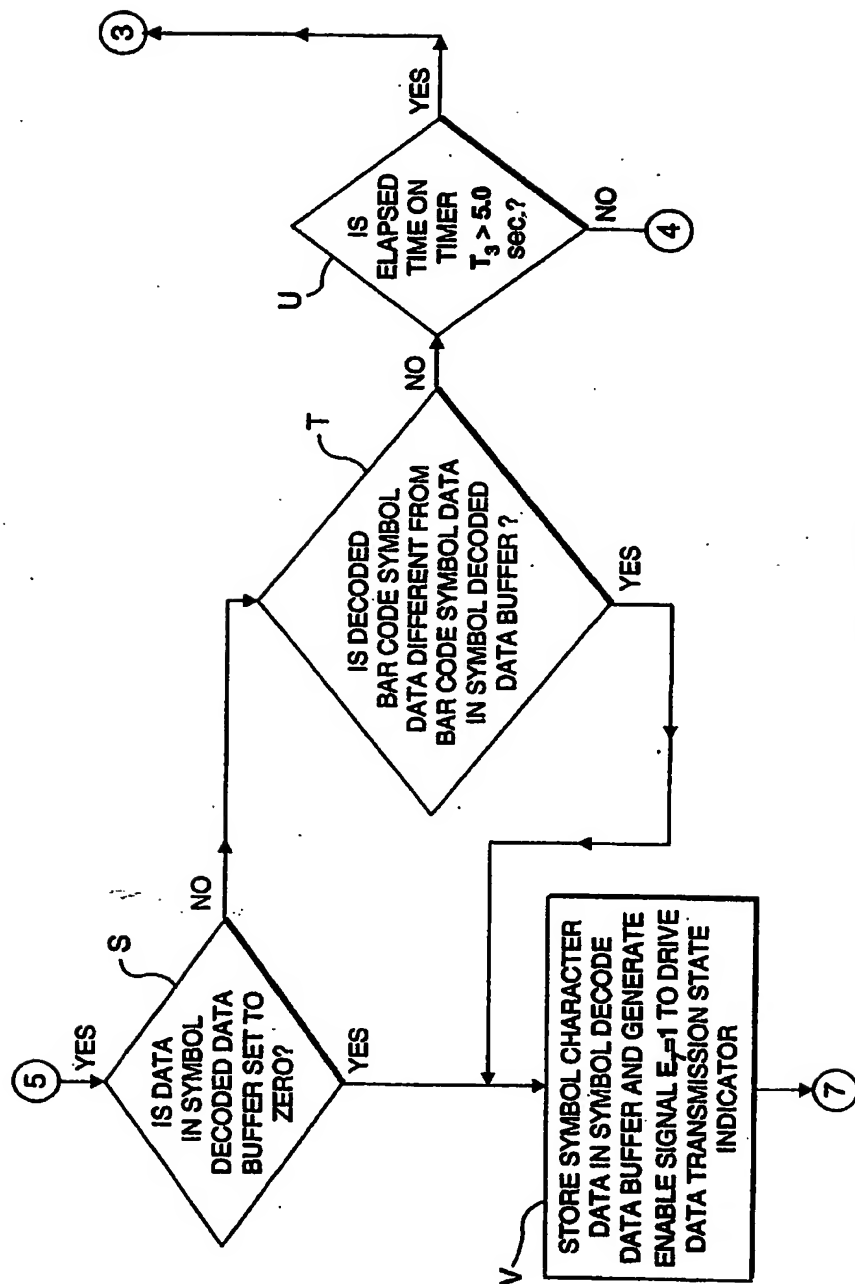


FIG. 23C



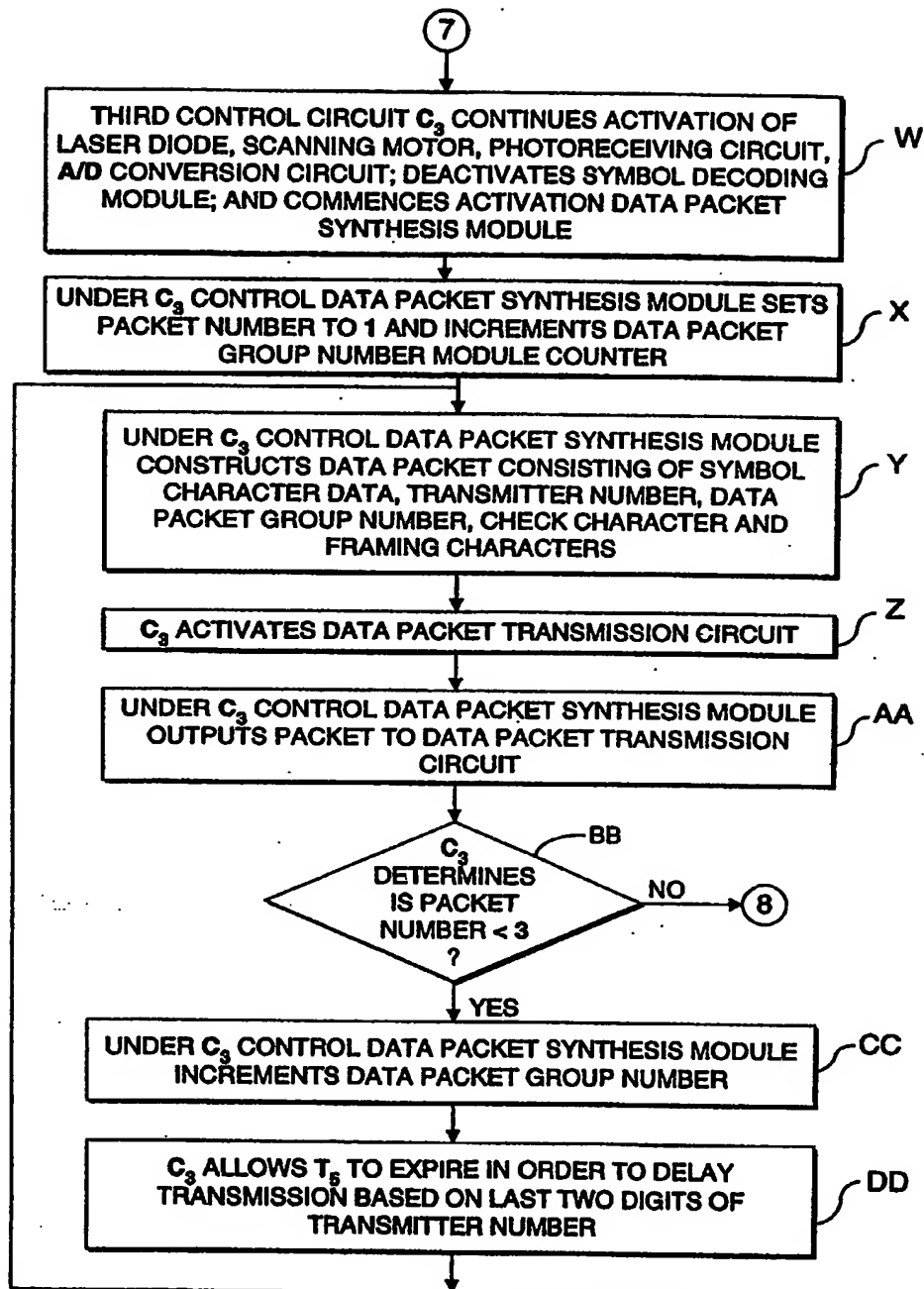


FIG. 23D

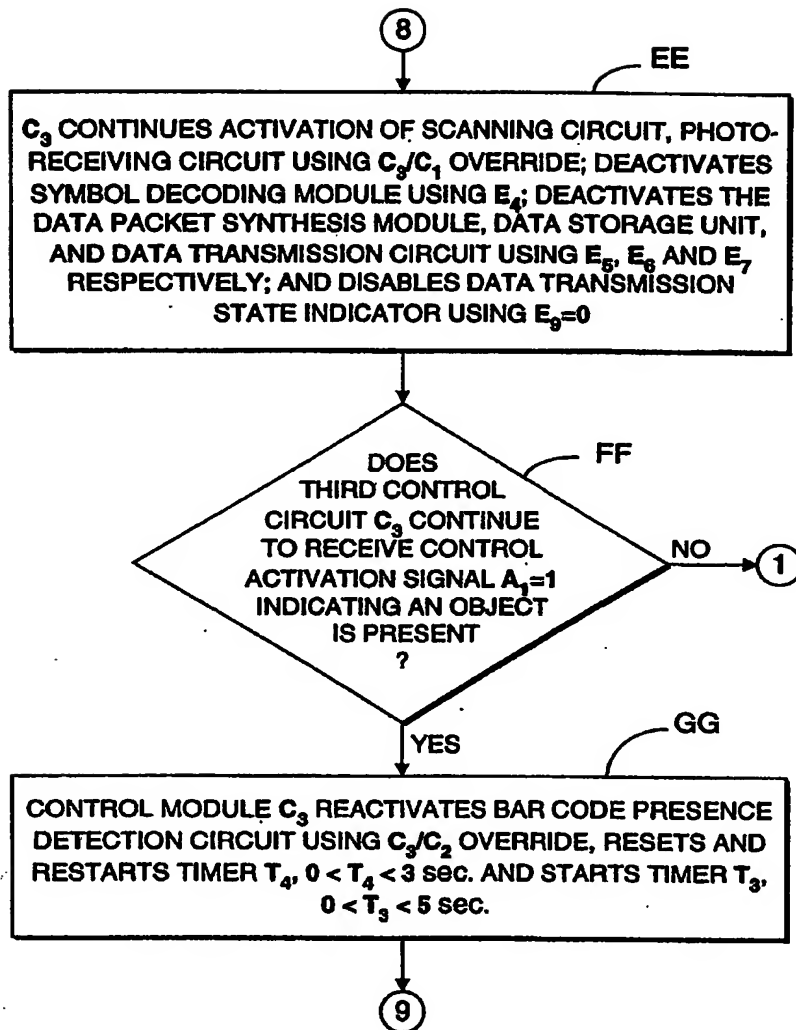


FIG. 23E

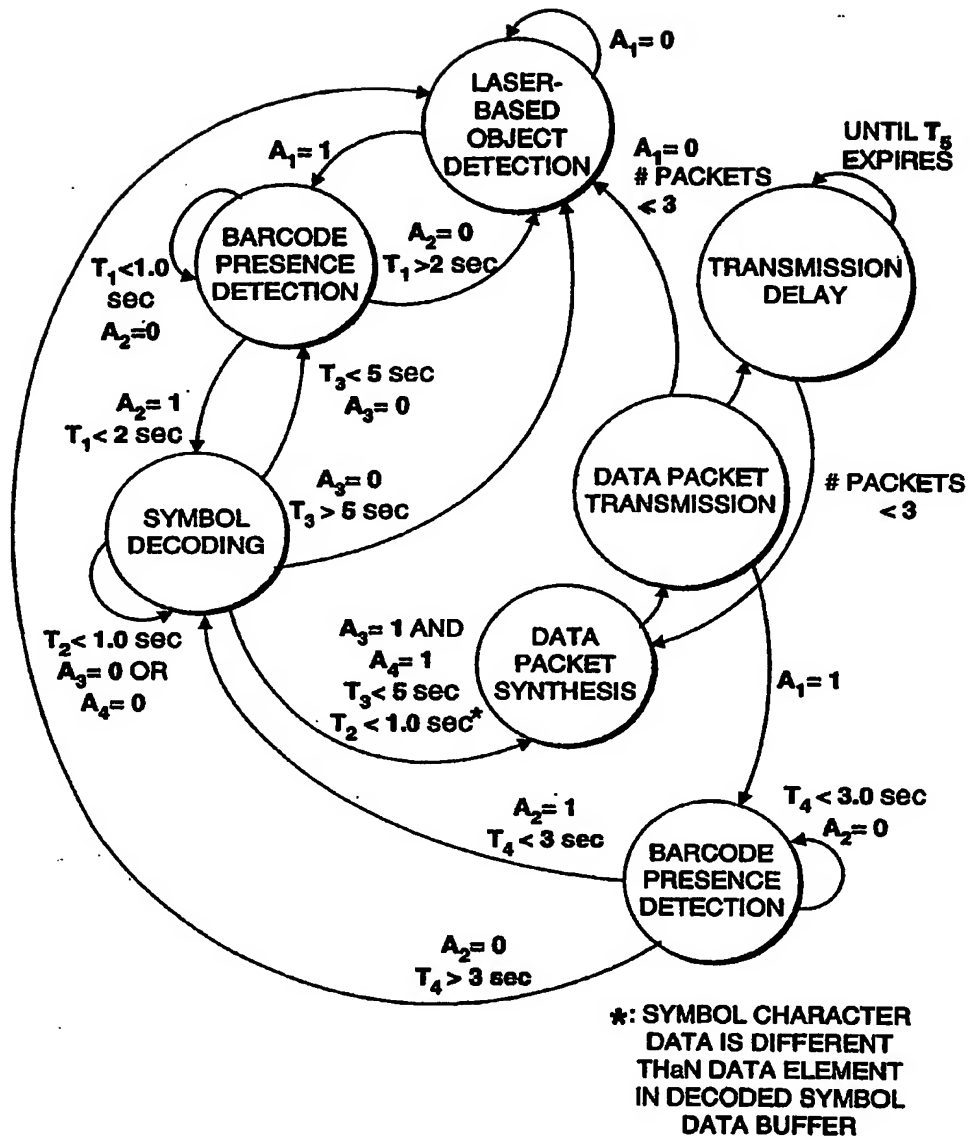


FIG. 24

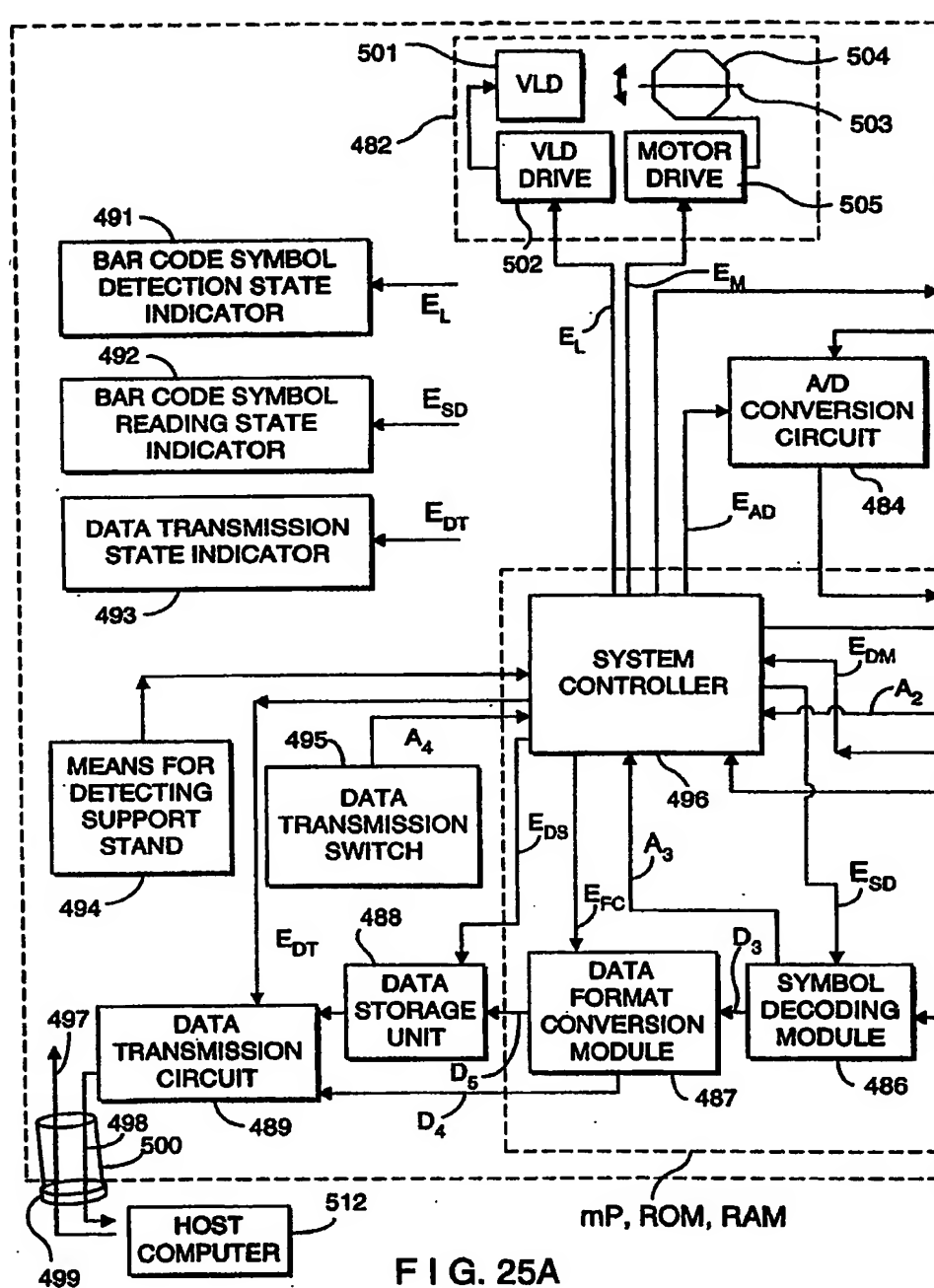


FIG. 25A

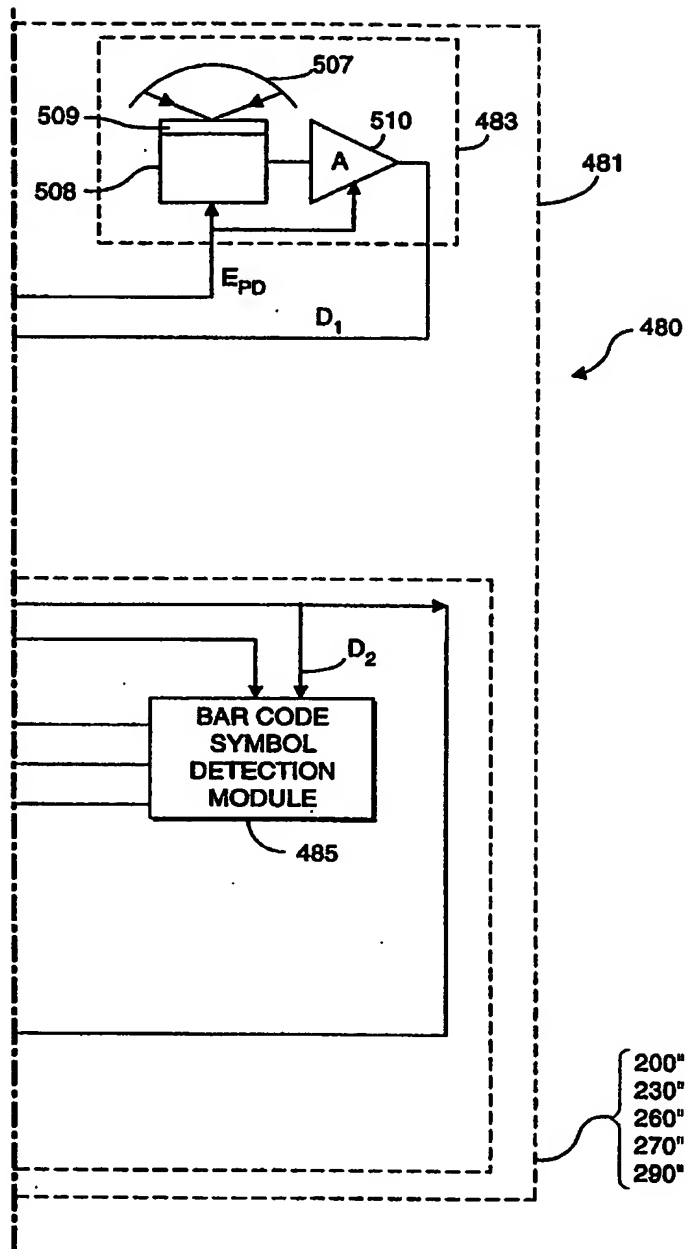


FIG. 25B

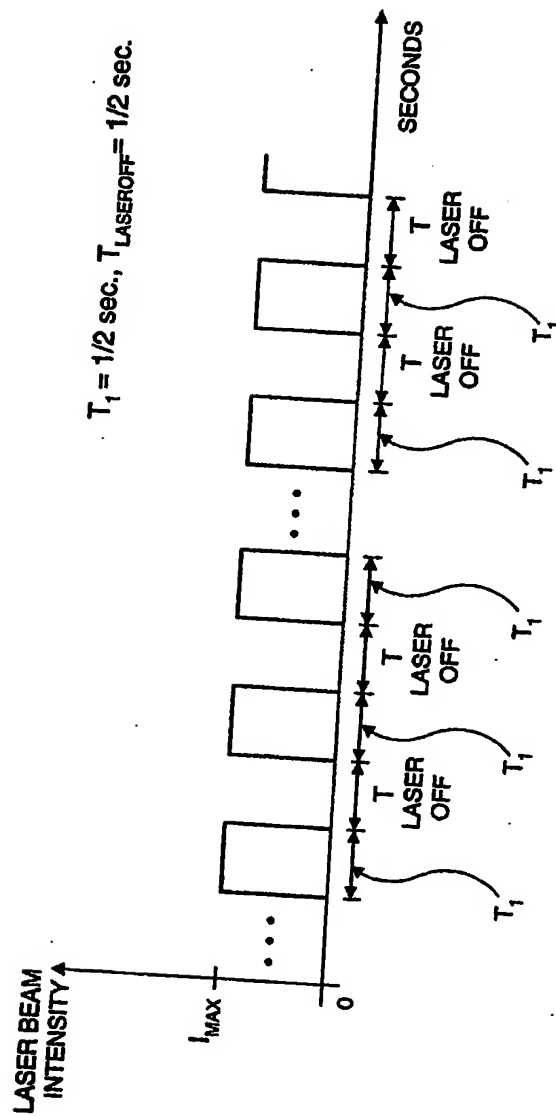


FIG. 26

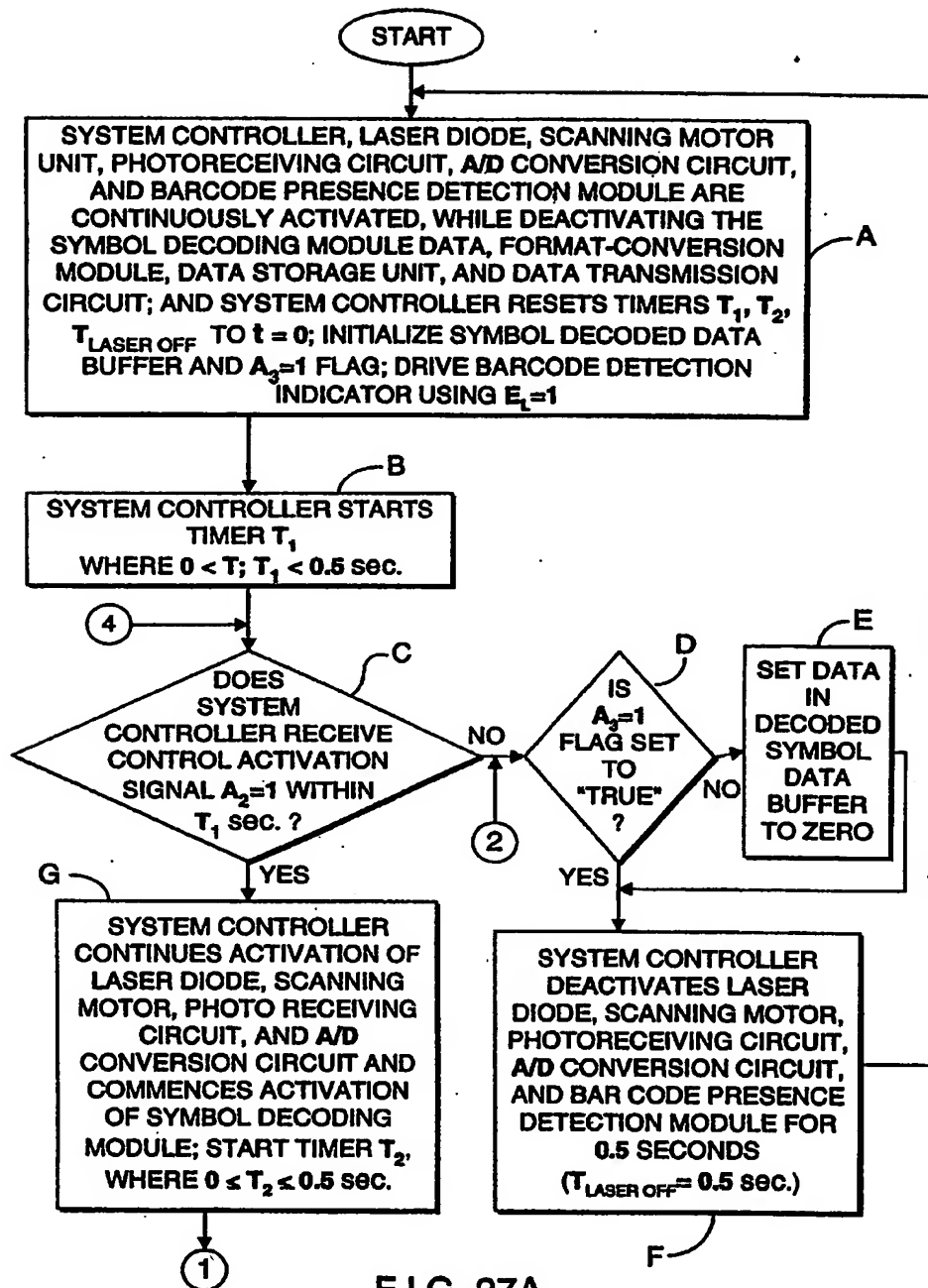


FIG. 27A

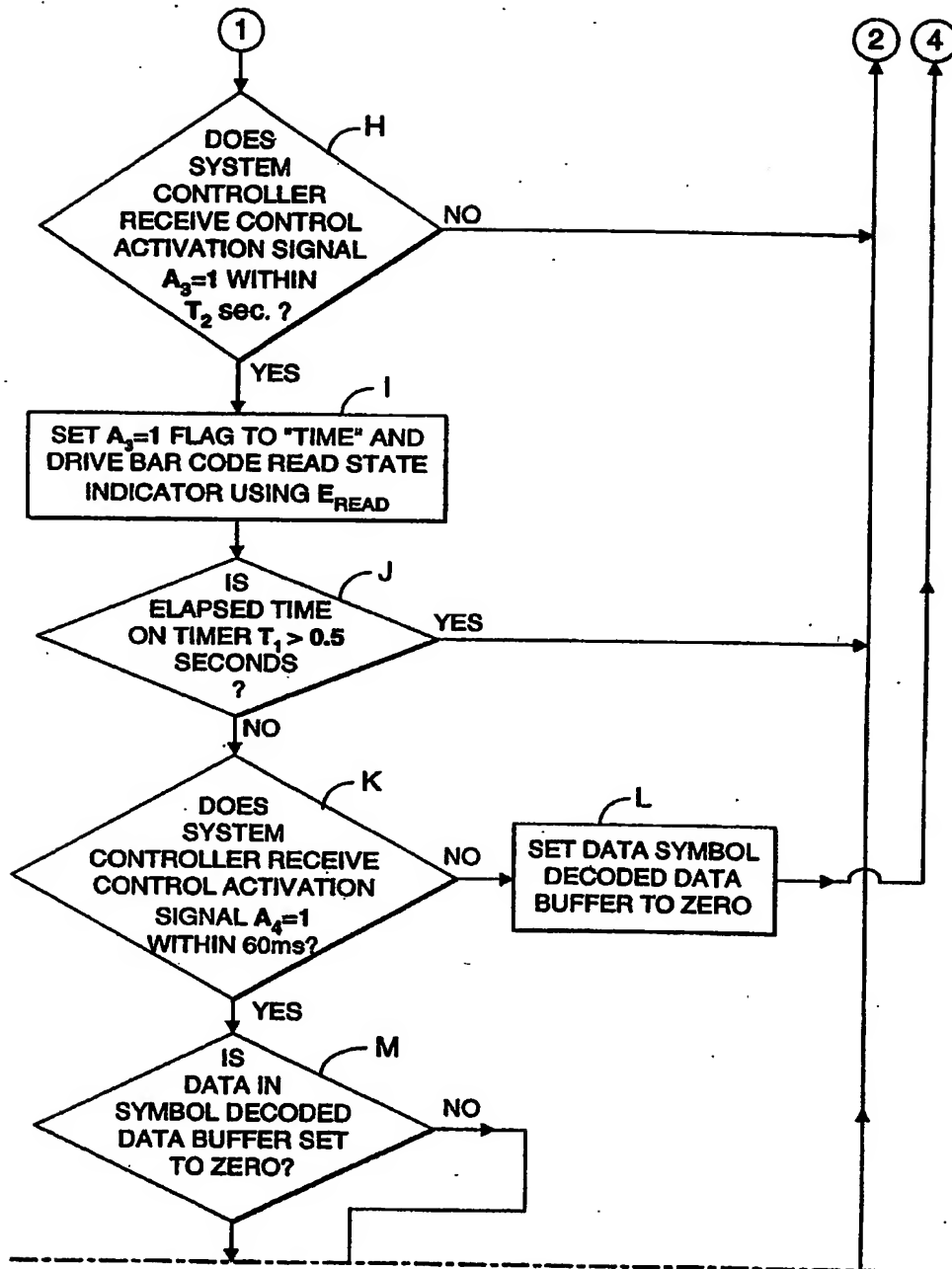


FIG. 27B1



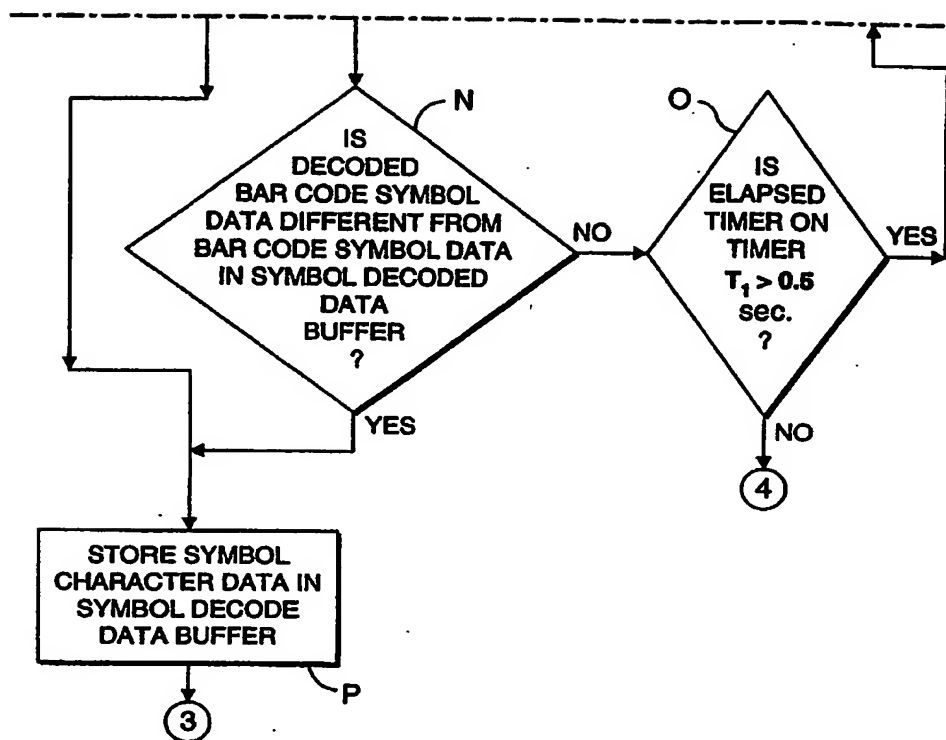


FIG. 27B2

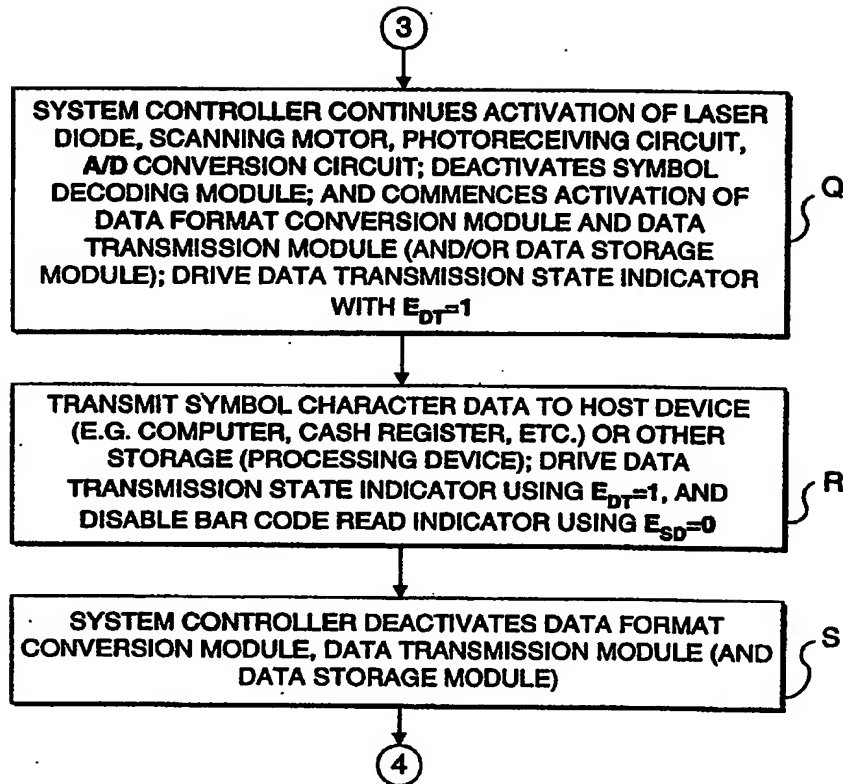


FIG. 27C

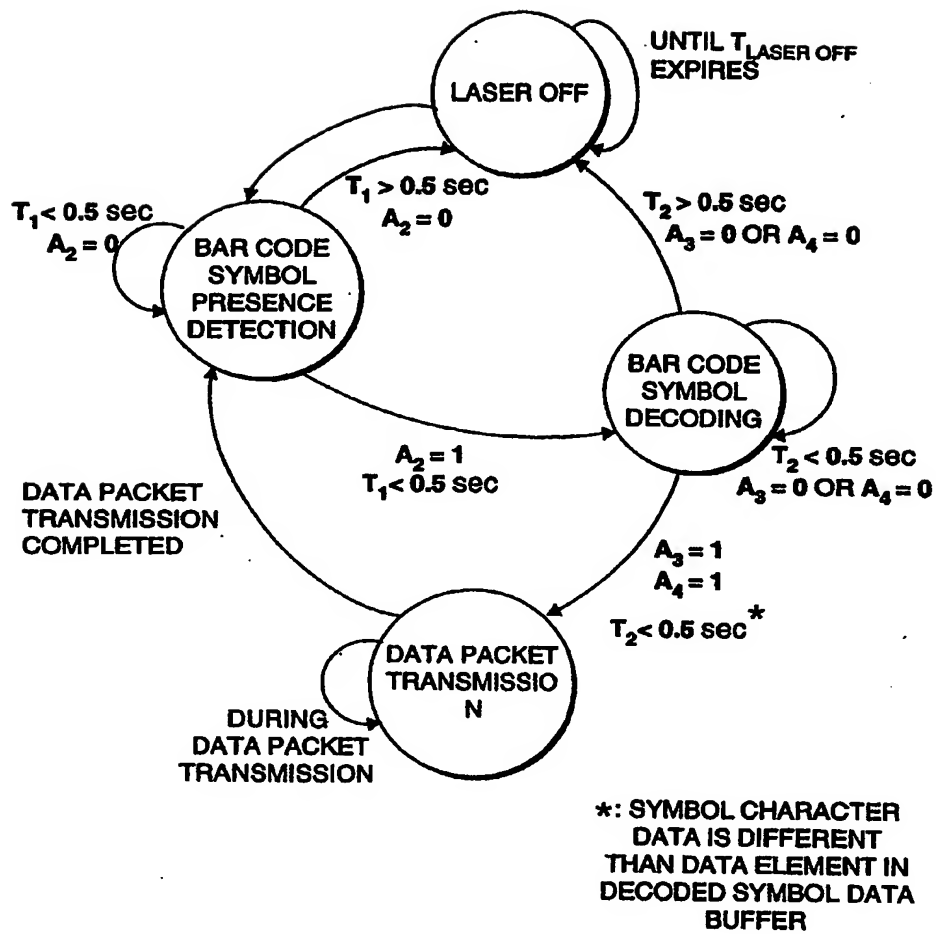


FIG. 28

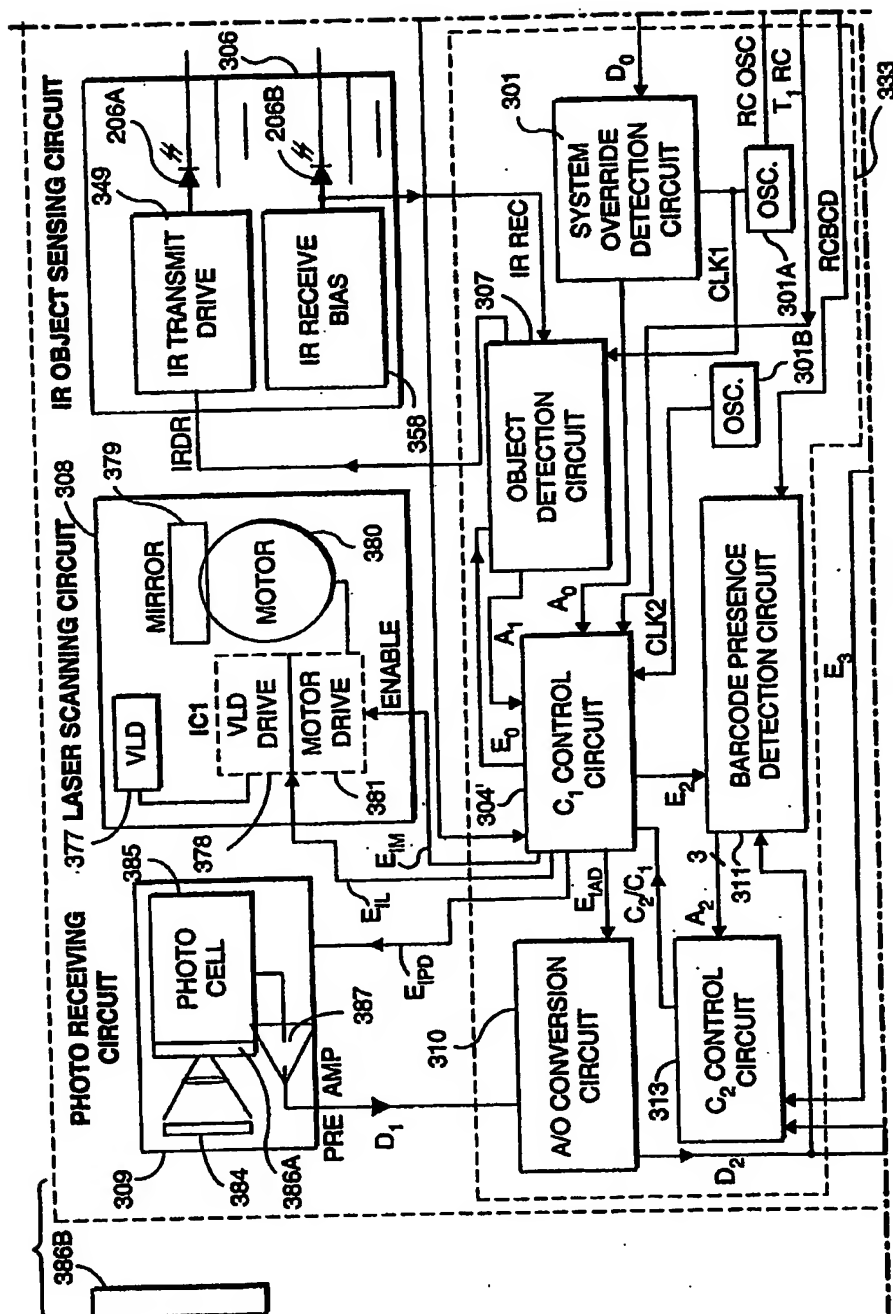


FIG. 29A1

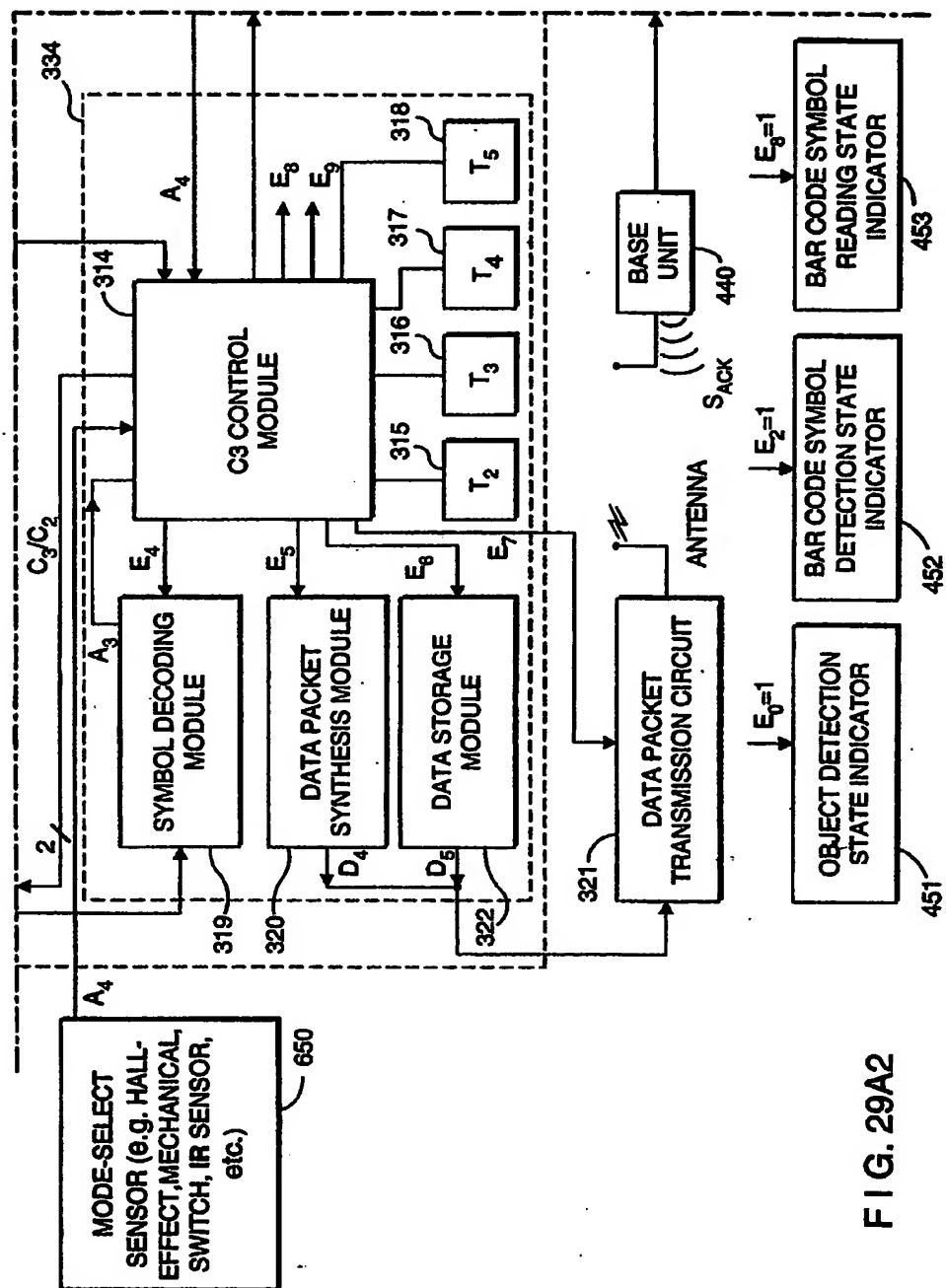


FIG. 29A2

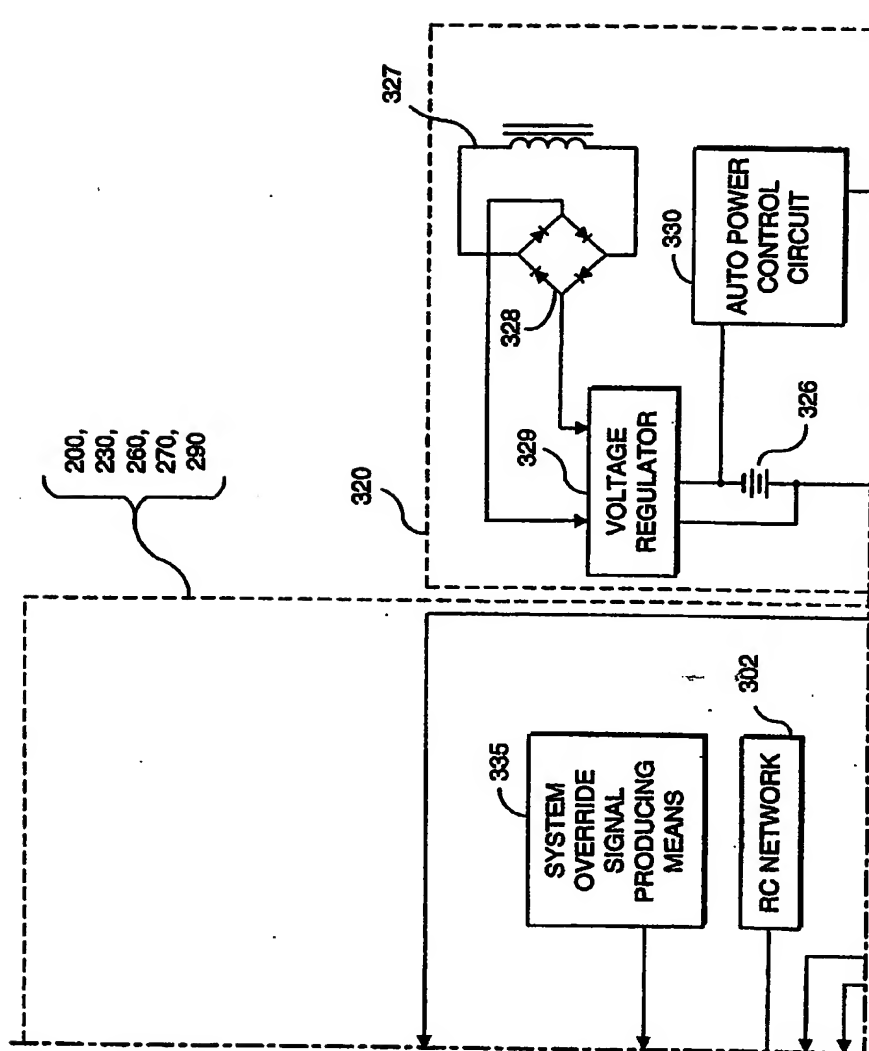


FIG. 29A3

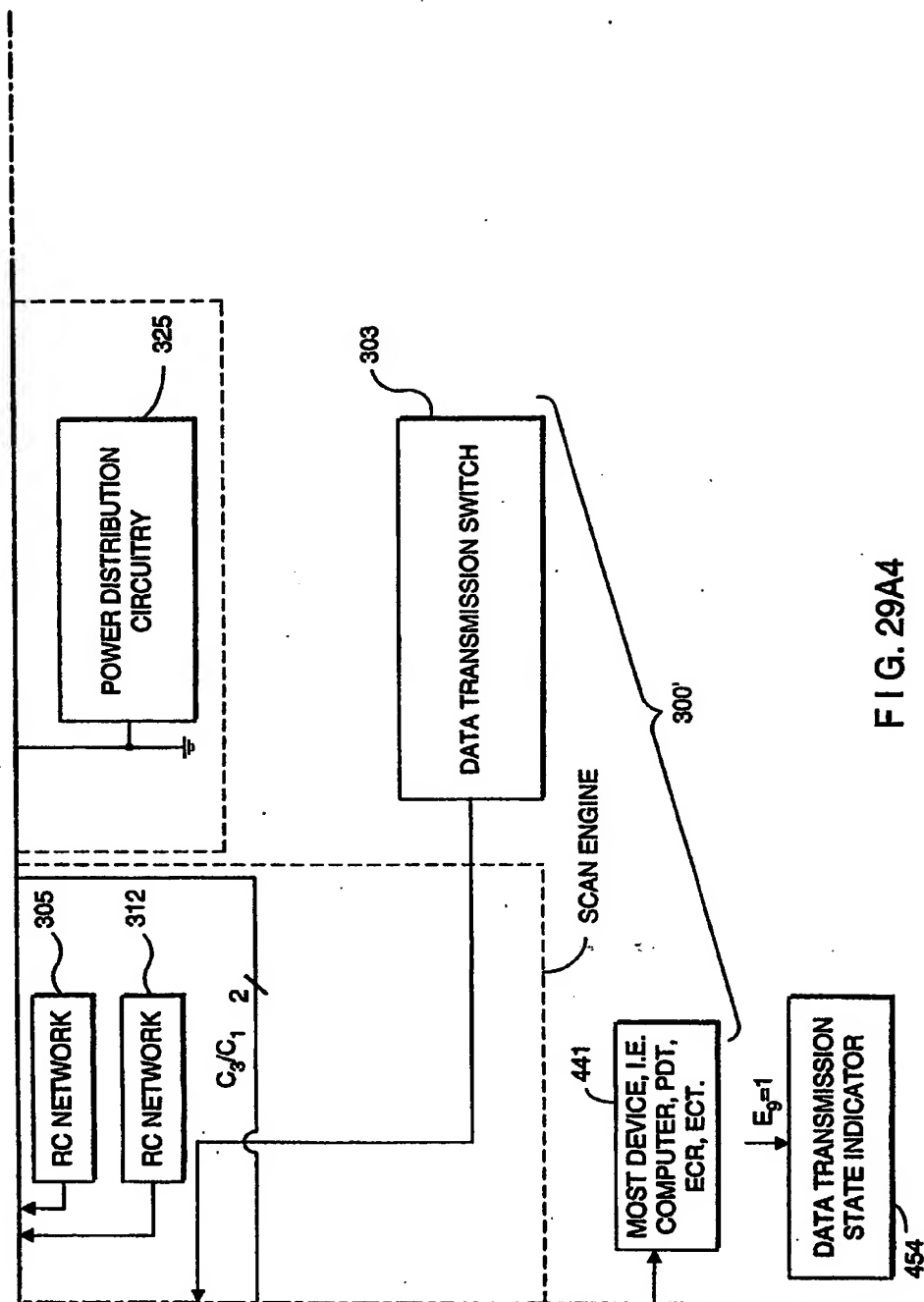


FIG. 29A4

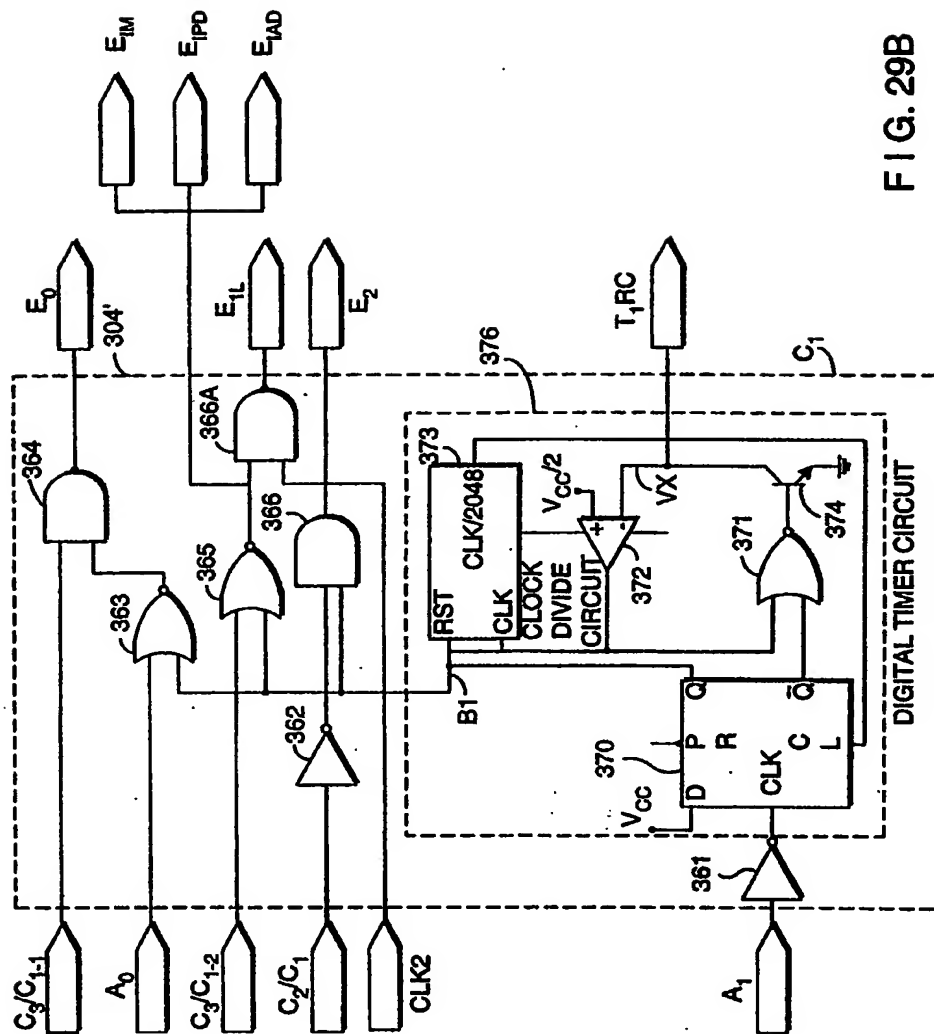


FIG. 29B



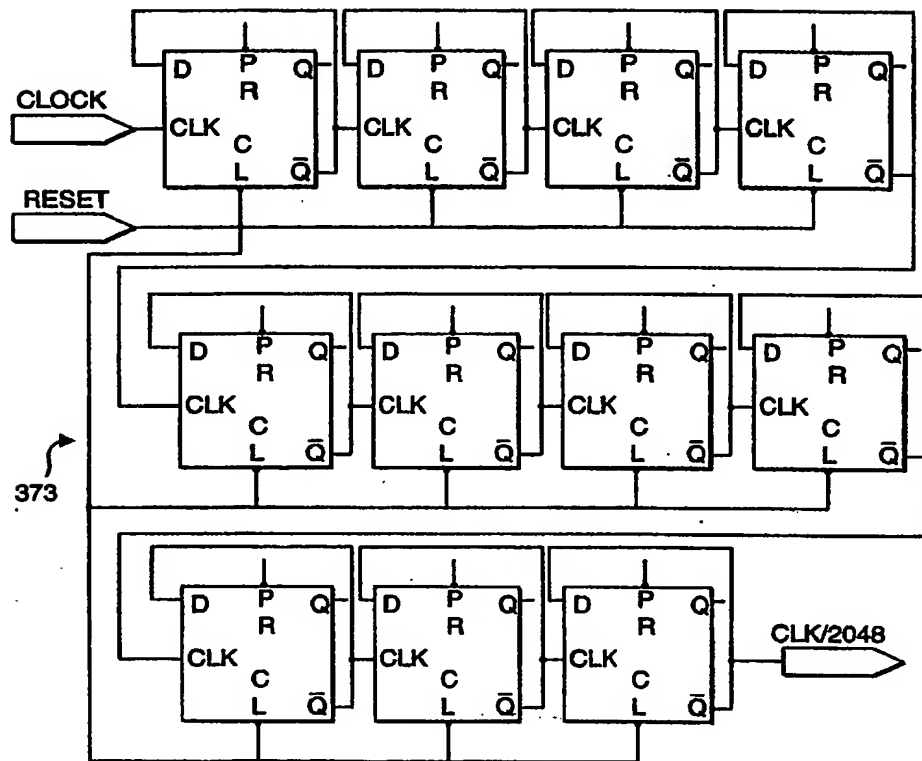


FIG. 29C

$$\left\{ \begin{array}{l} E_0 = \overline{(B1 + A_0) (C_3 / C_{1-1})} \\ E_{IM} = E_{IPD} = E_{IAD} = \overline{(C_3 / C_{1-2}) + B1} \\ E_L = \overline{[(C_3 / C_{1-1}) + B1]} [B2] \\ E_2 = \overline{(C_2 / C_1)} (B1) \end{array} \right.$$

**F I G. 29D**

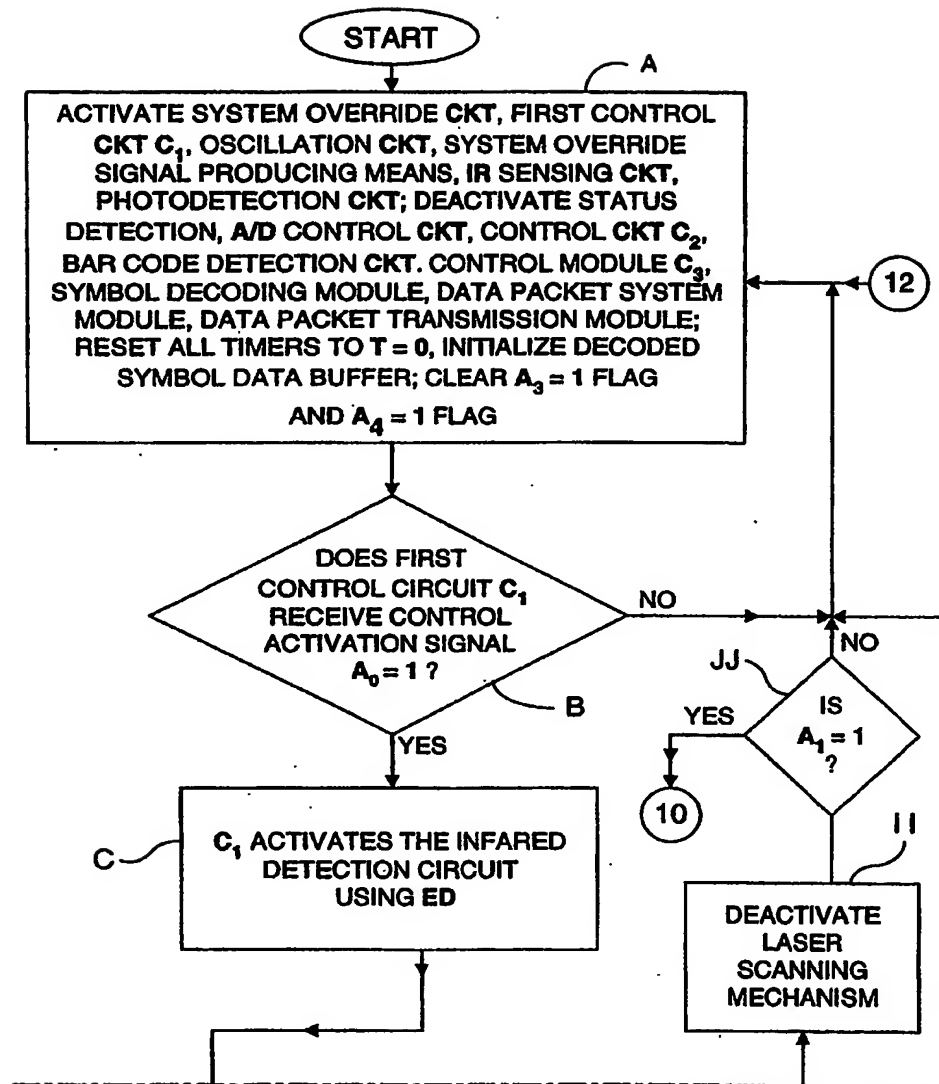
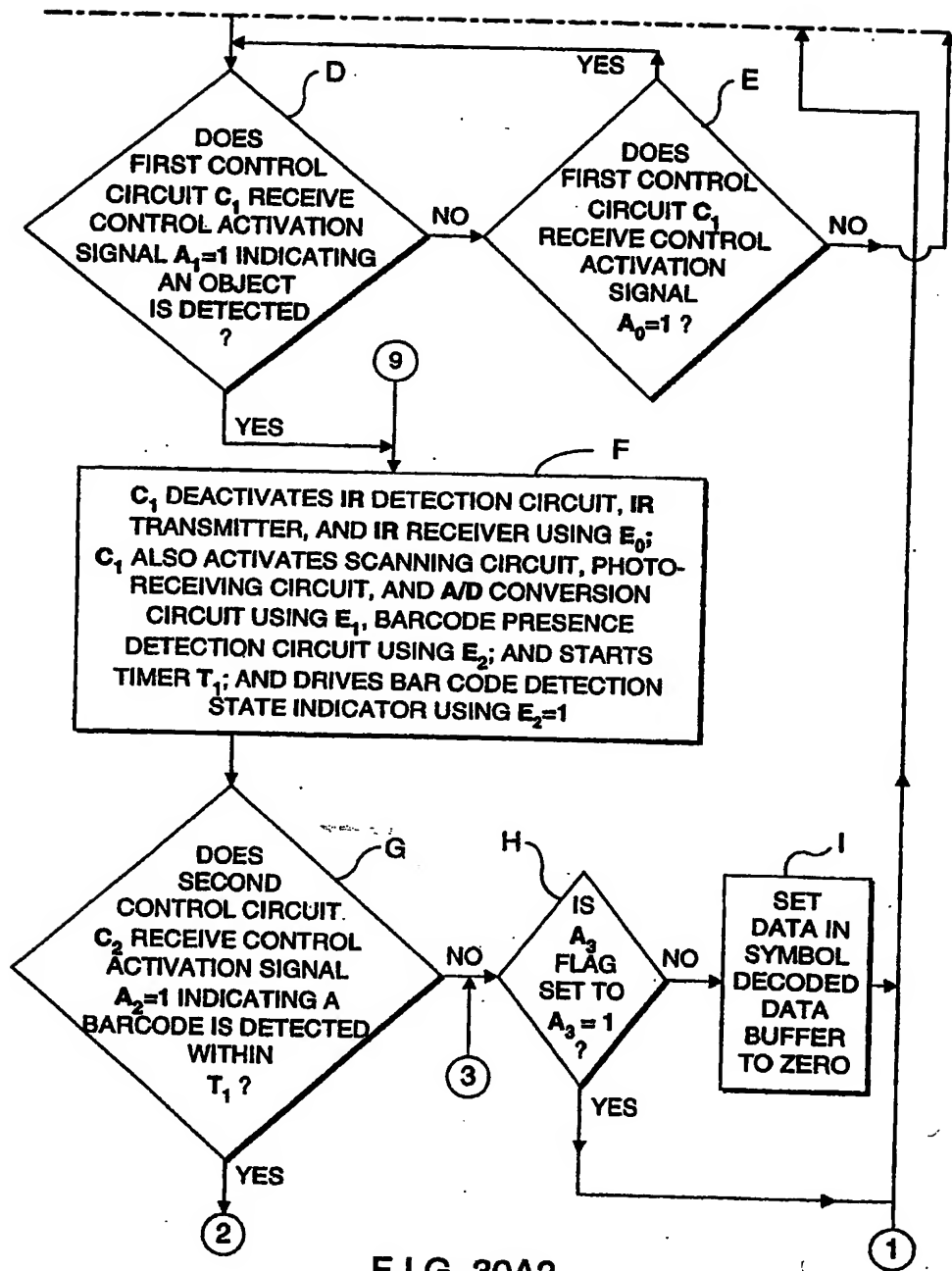


FIG. 30A1



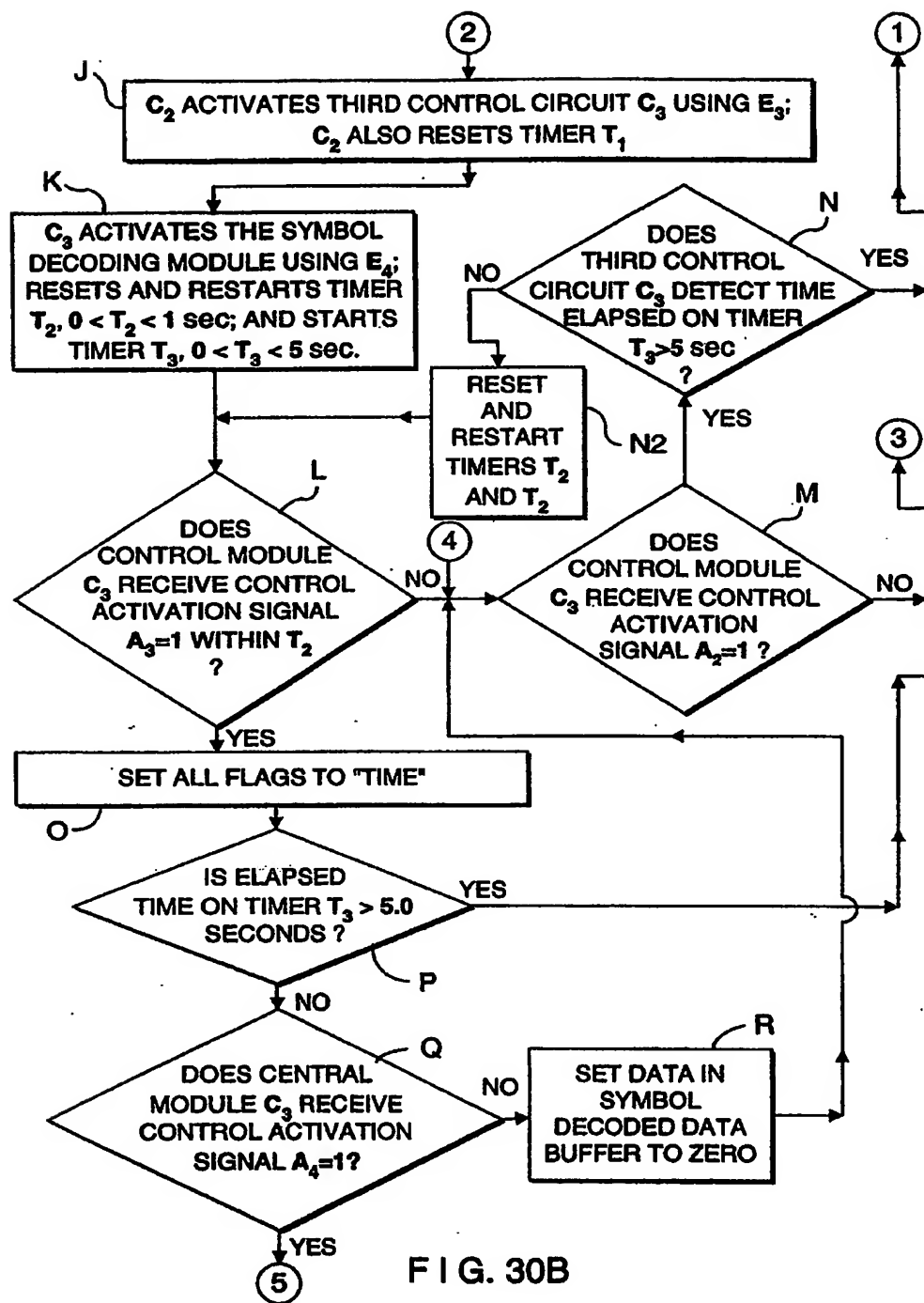


FIG. 30B

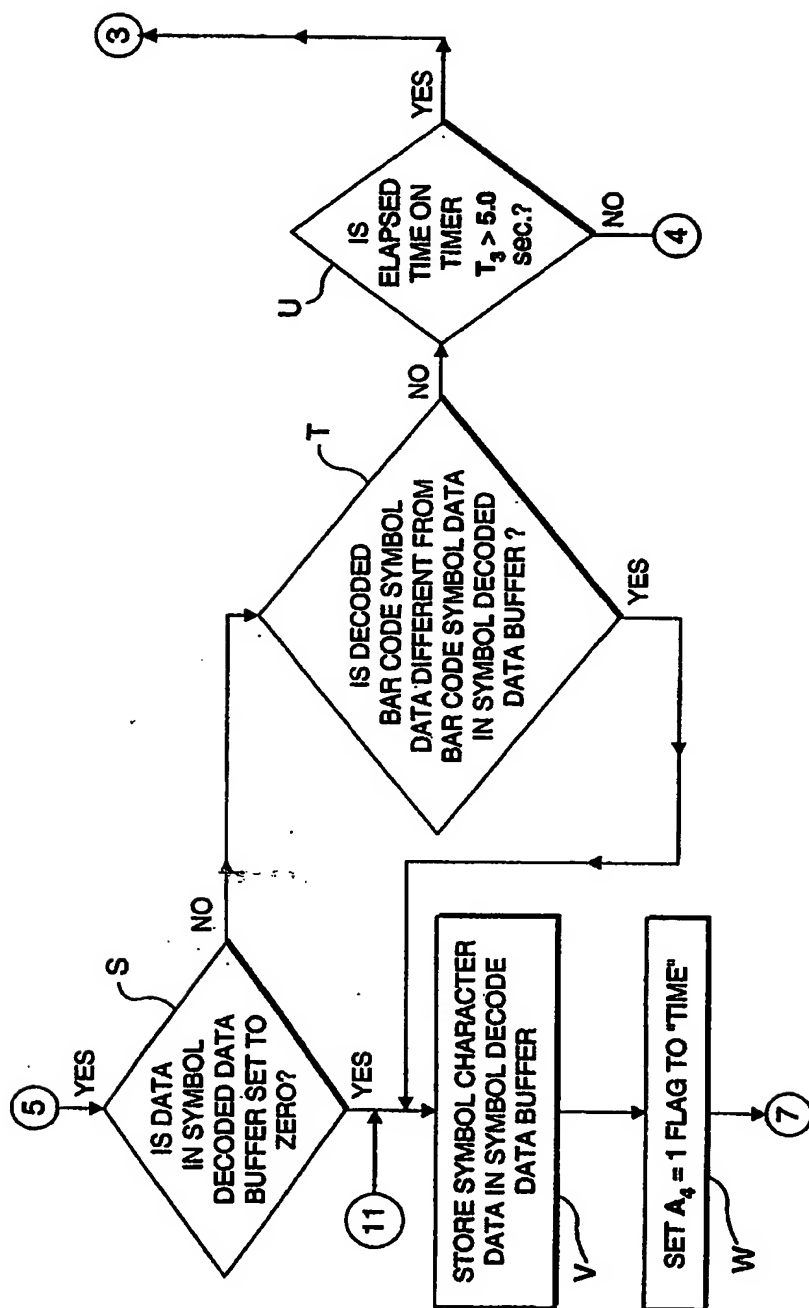


FIG. 30C

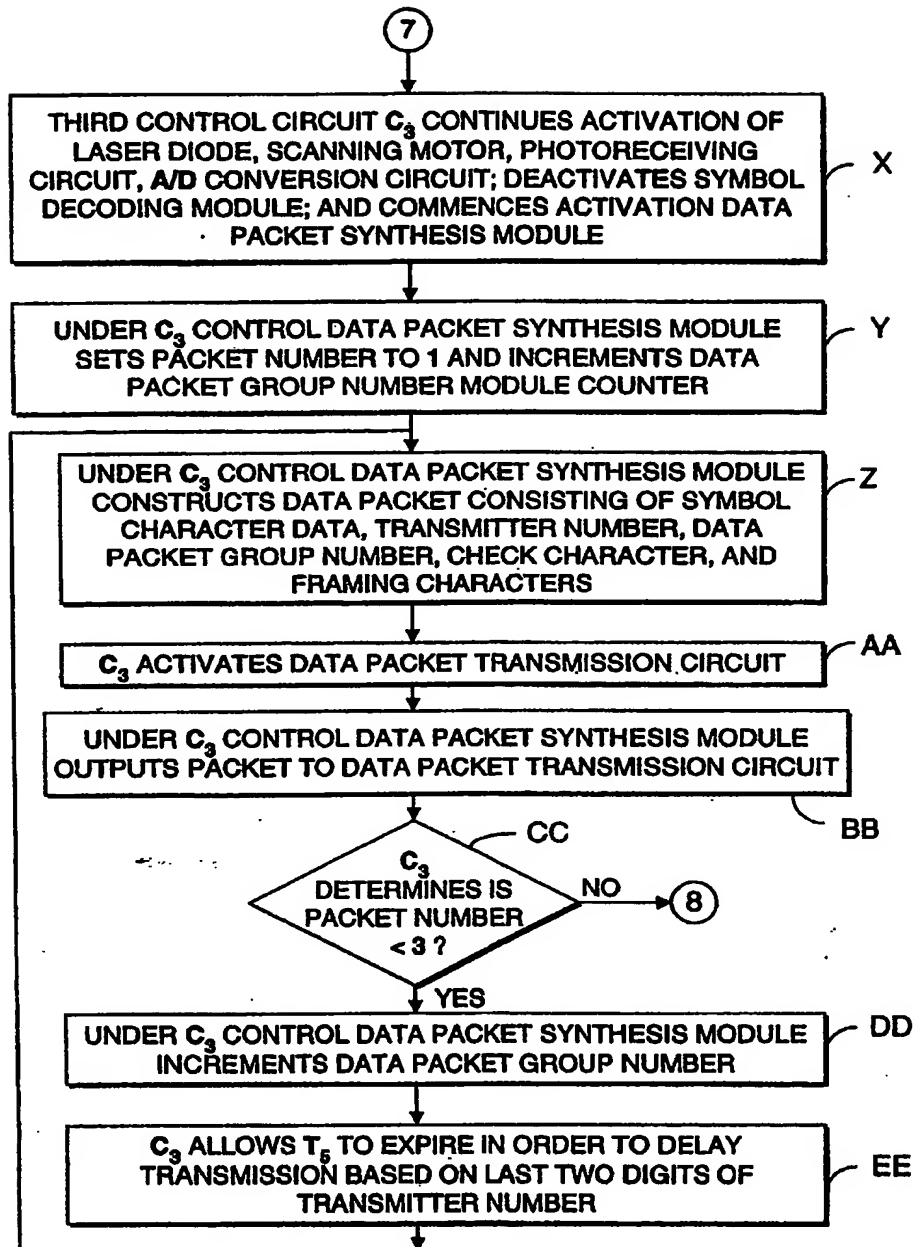


FIG. 30D

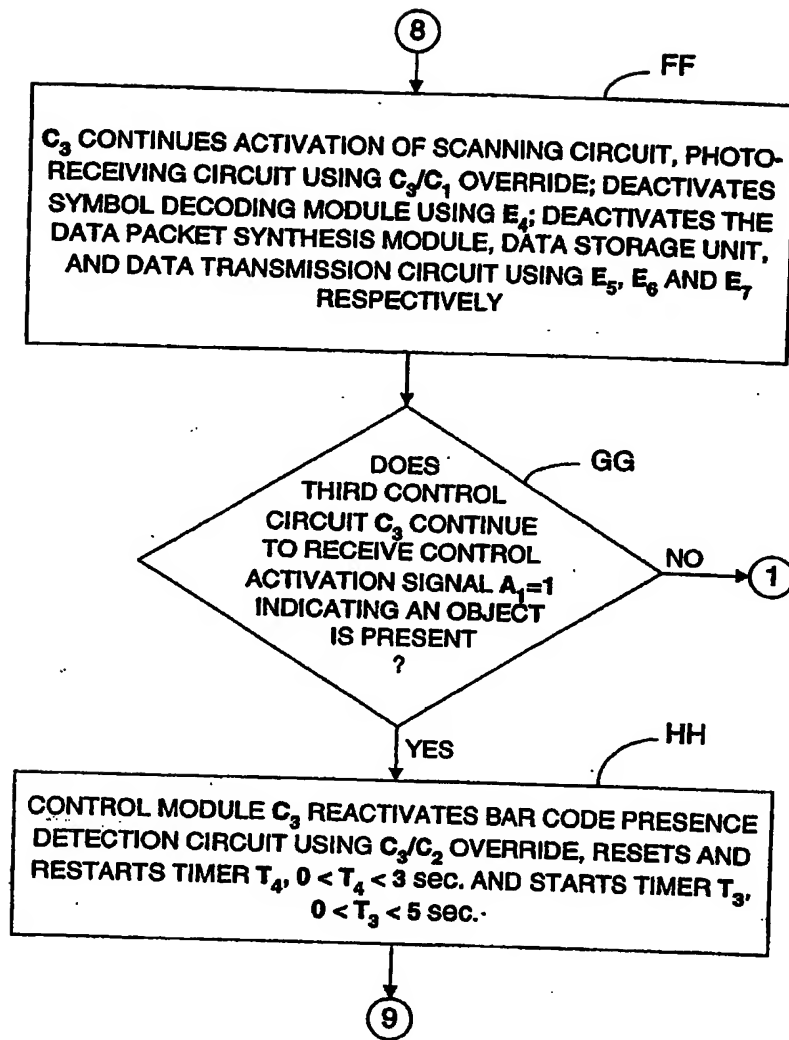


FIG. 30E



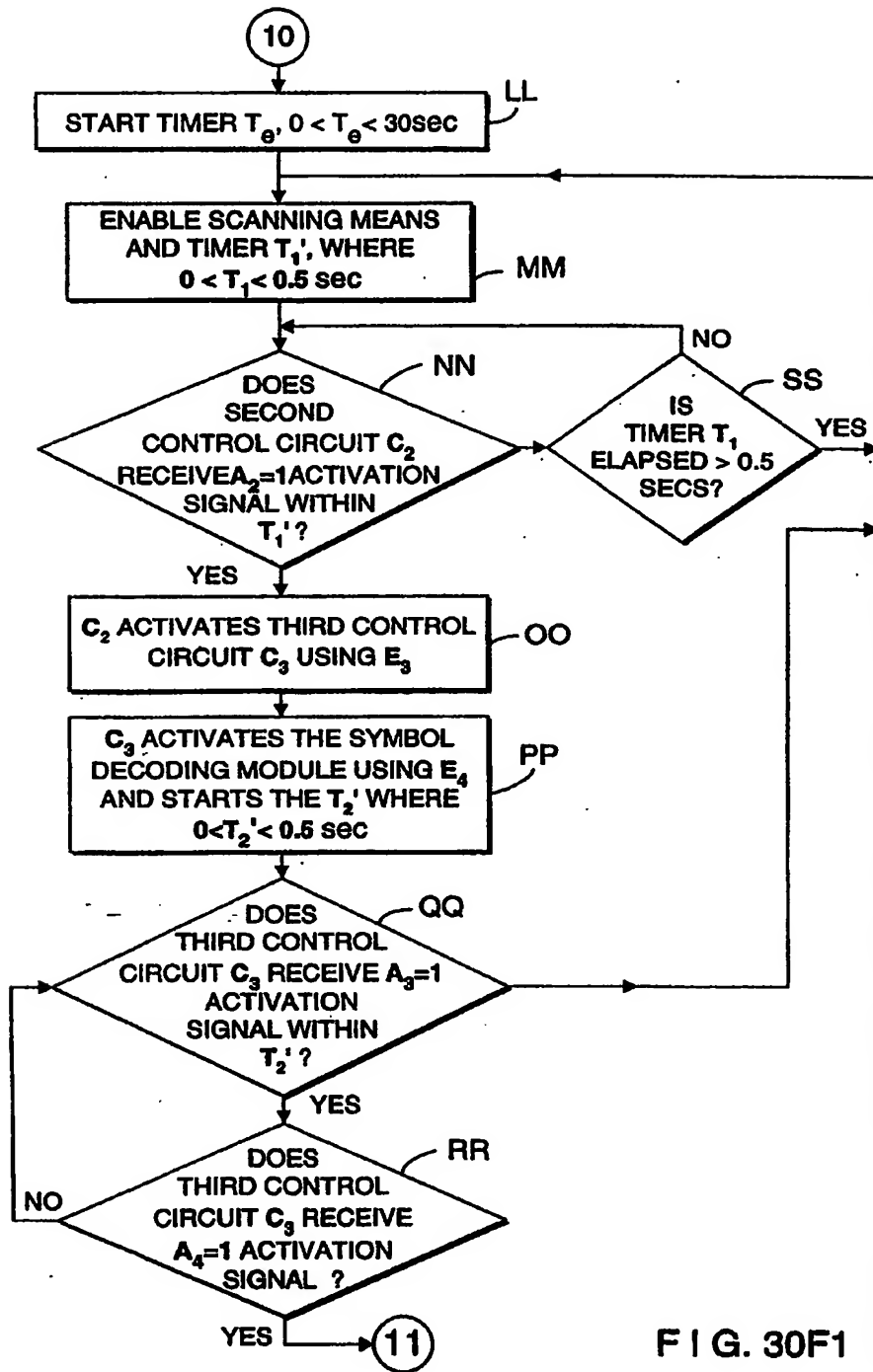
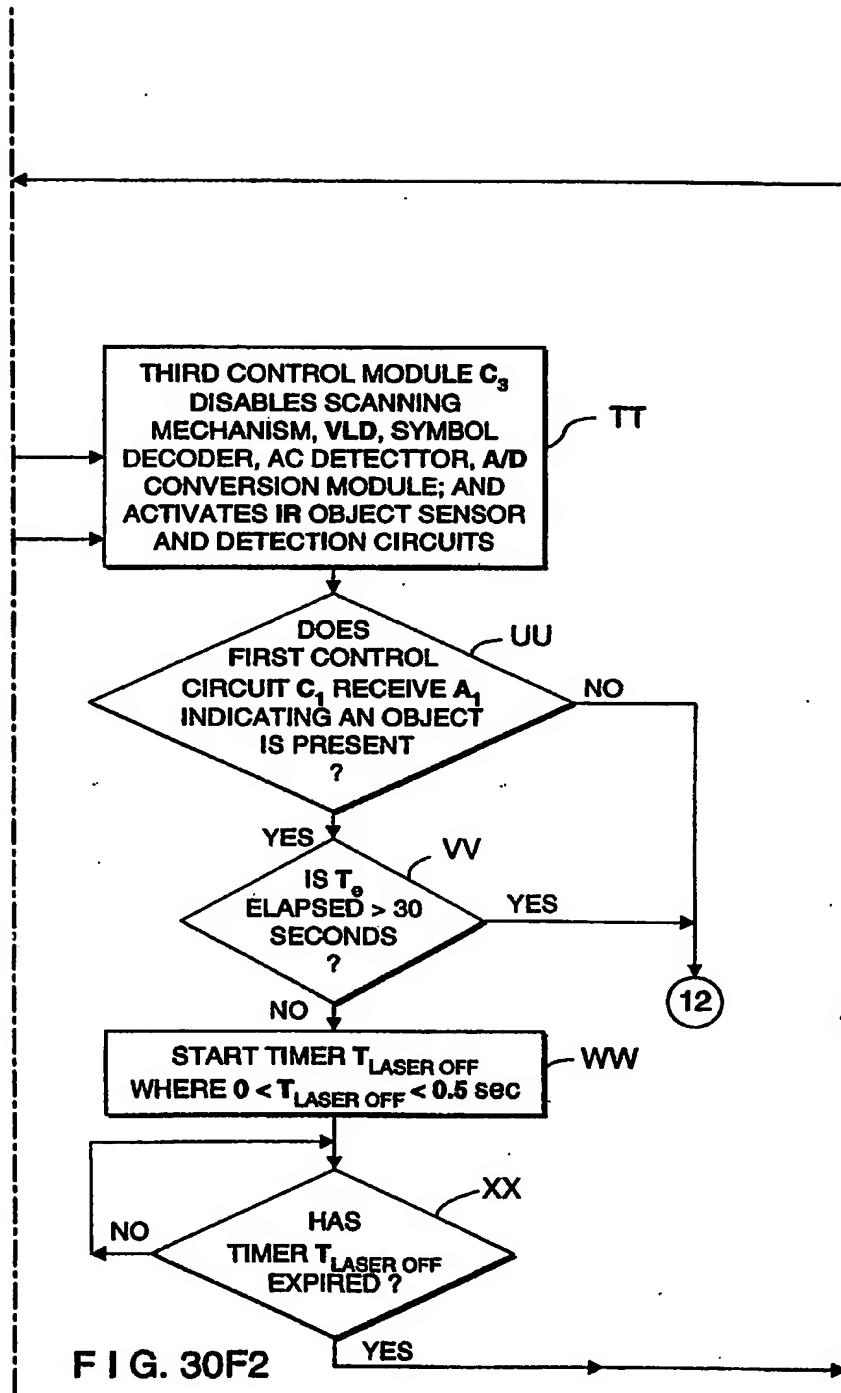


FIG. 30F1



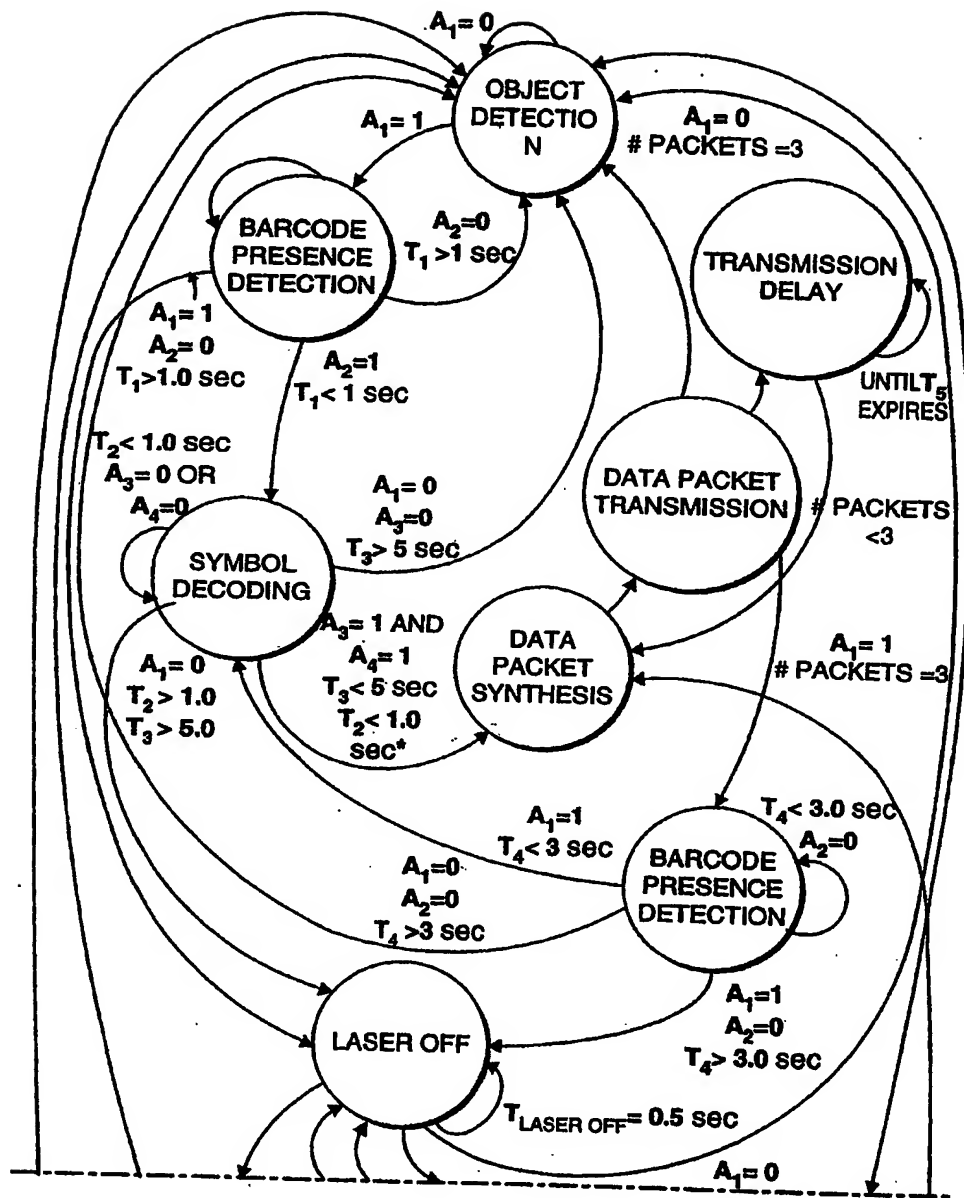
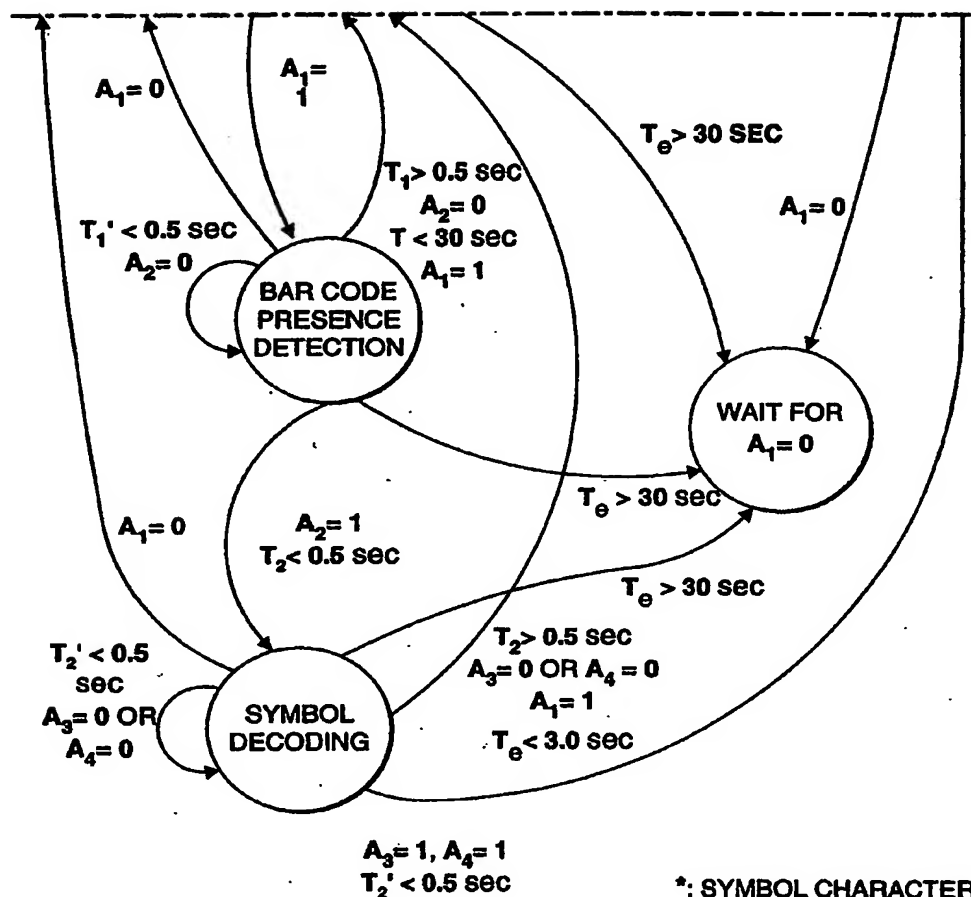


FIG. 31A



\*: SYMBOL CHARACTER DATA IS DIFFERENT THAN DATA ELEMENT IN DECODED SYMBOL DATA BUFFER

FIG. 31B

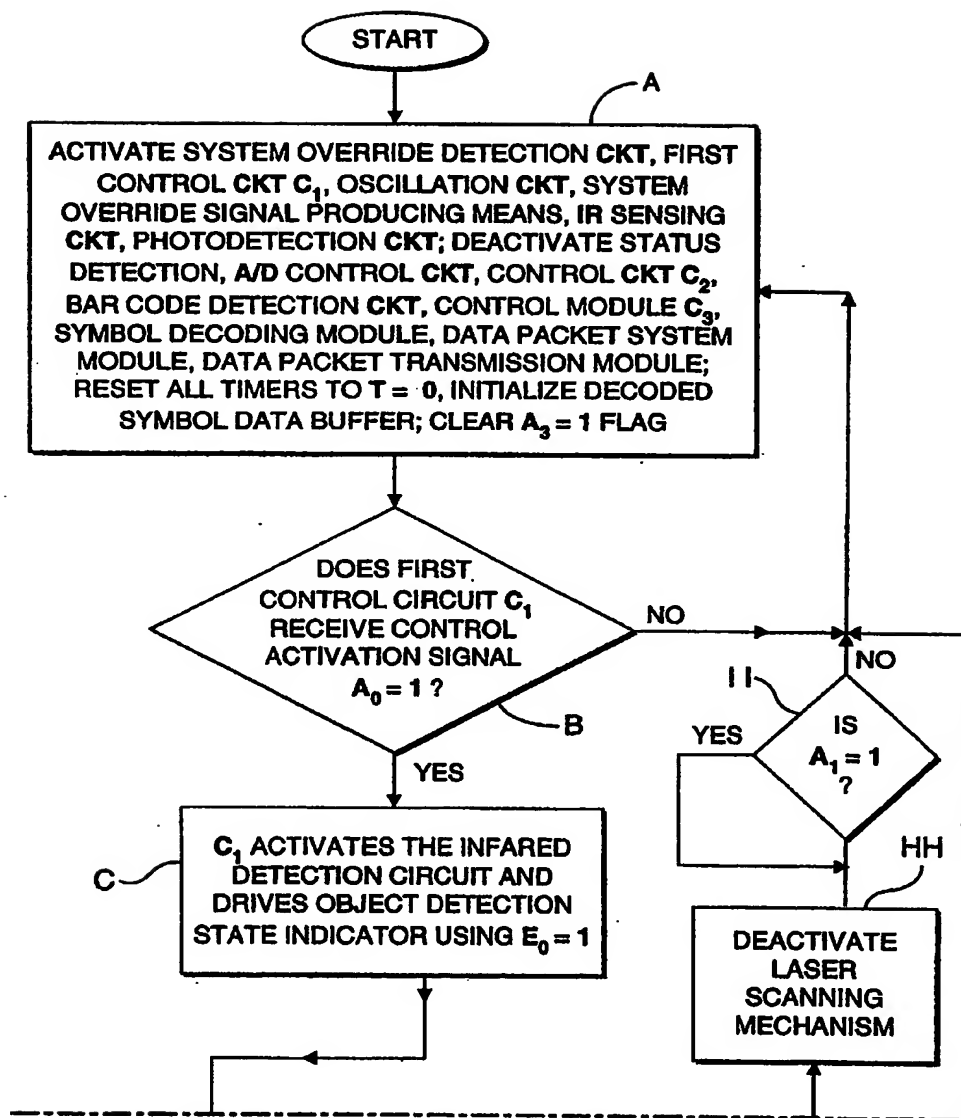


FIG. 32A1

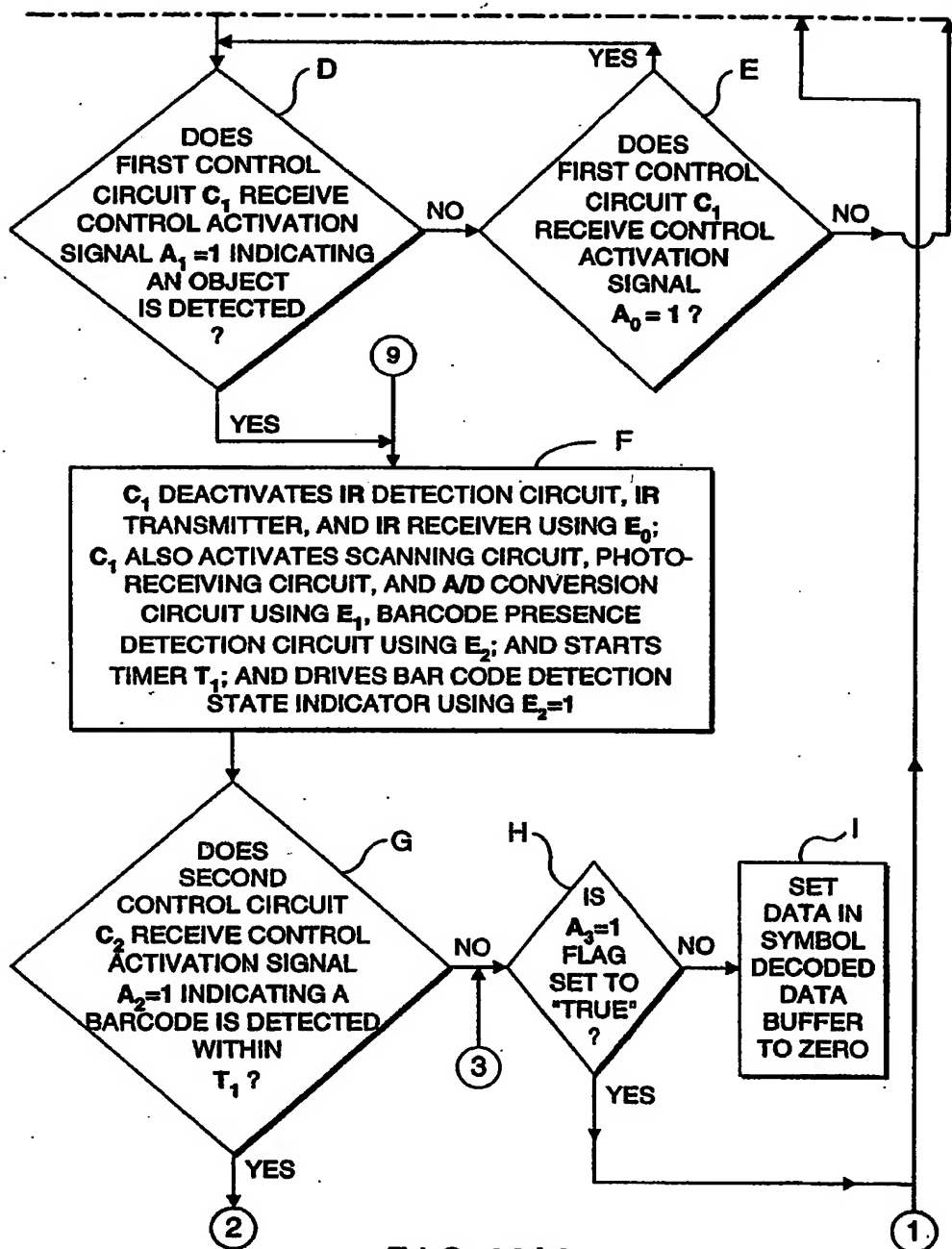


FIG. 32A2

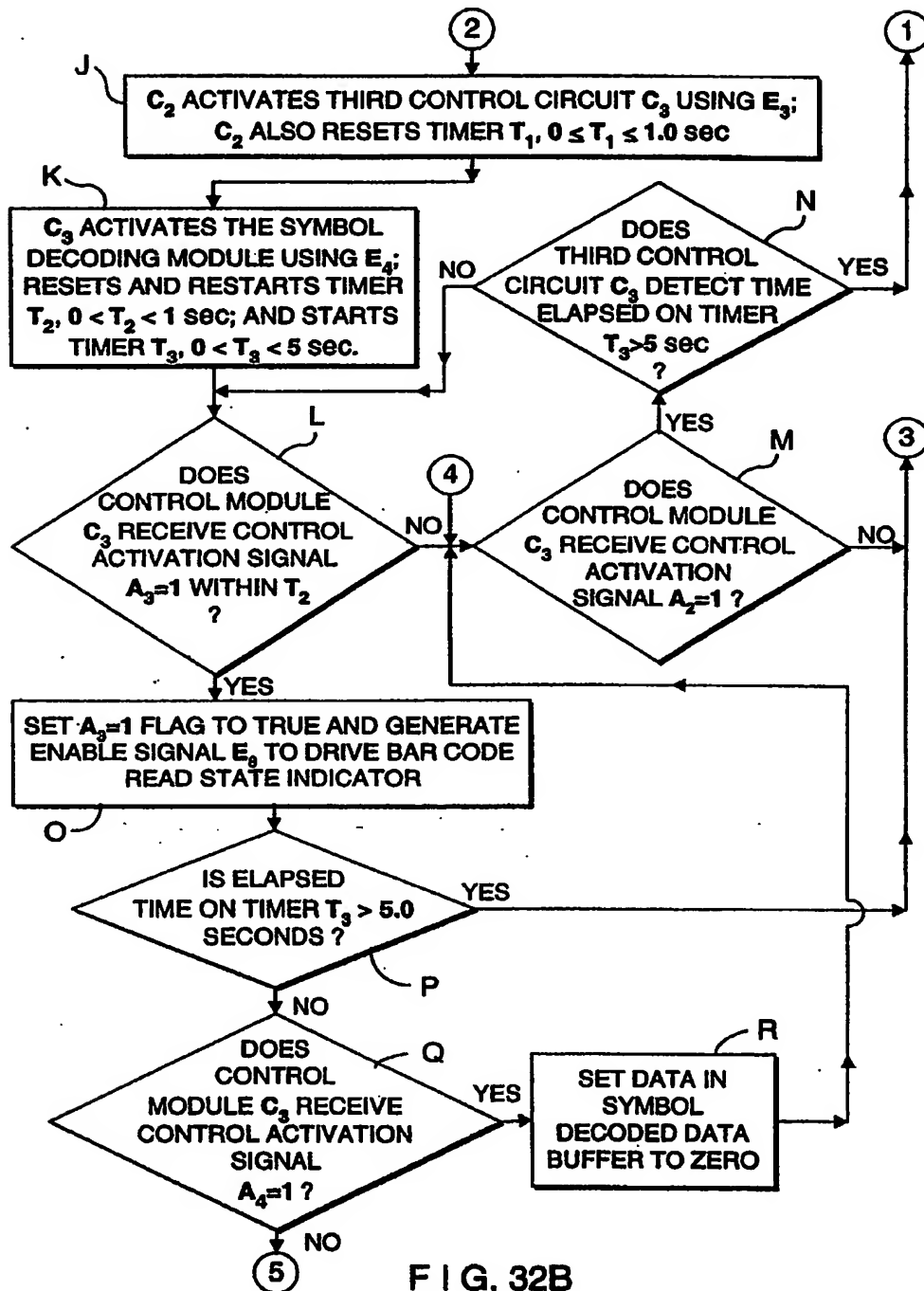


FIG. 32B

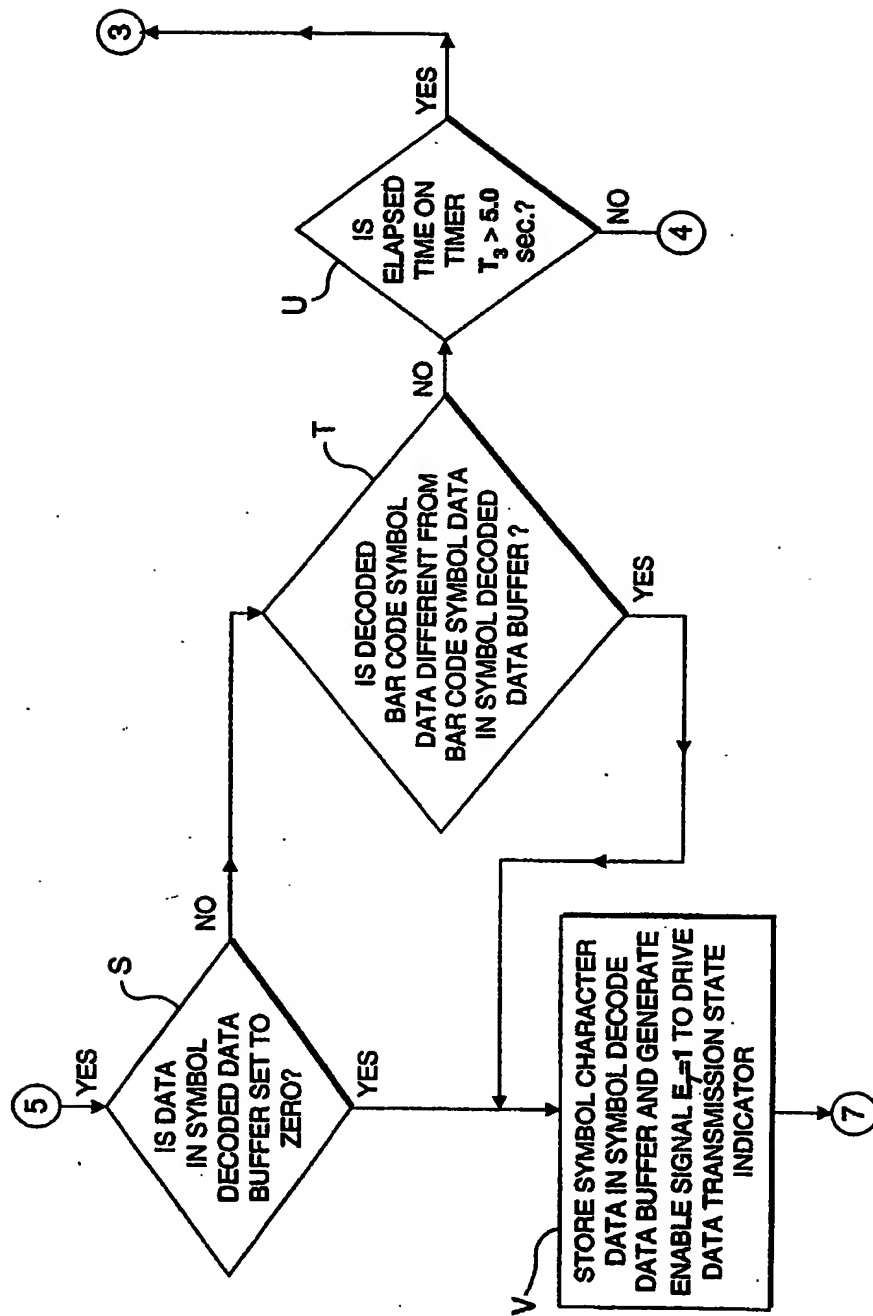


FIG. 32C



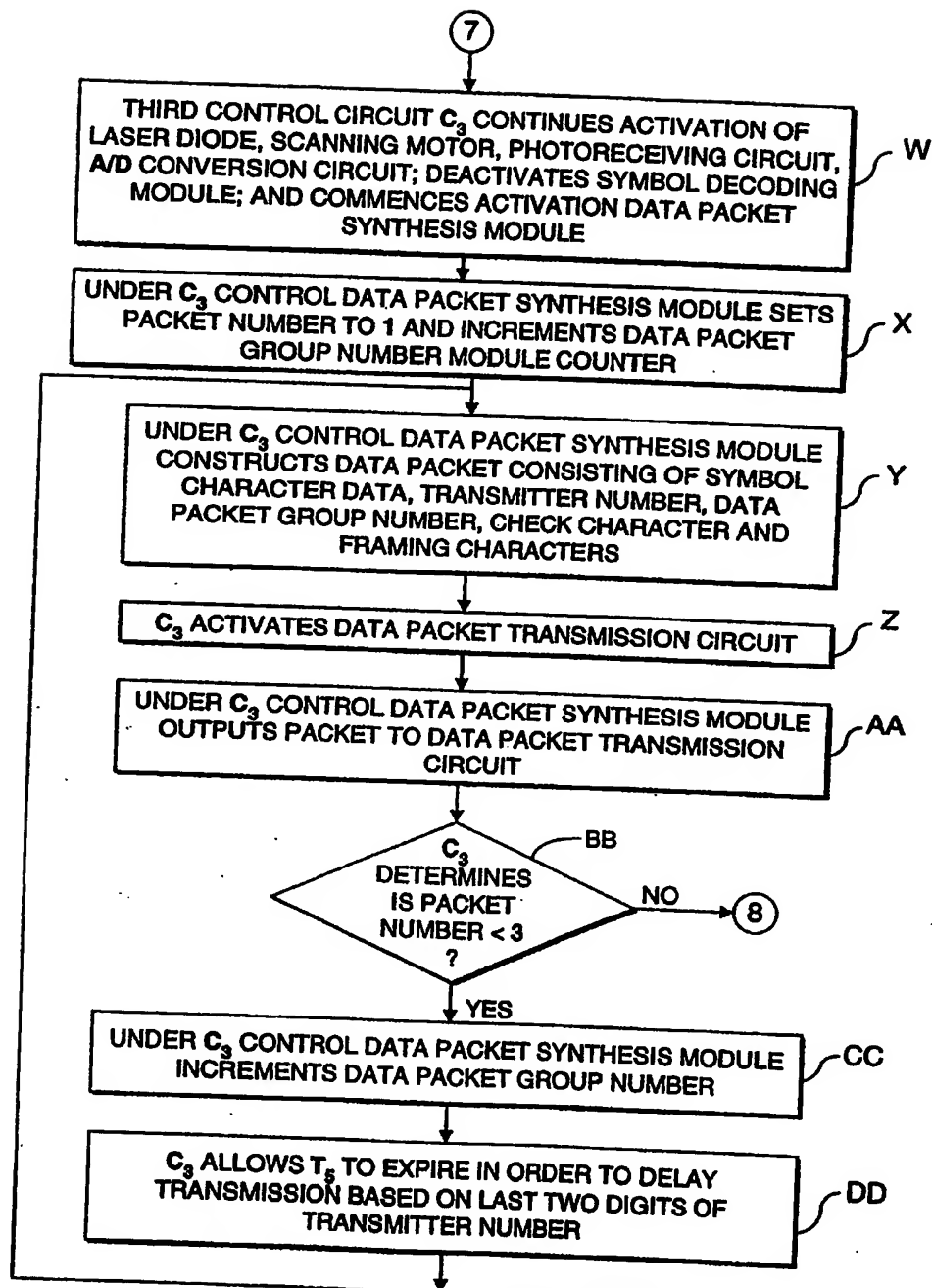


FIG. 32D

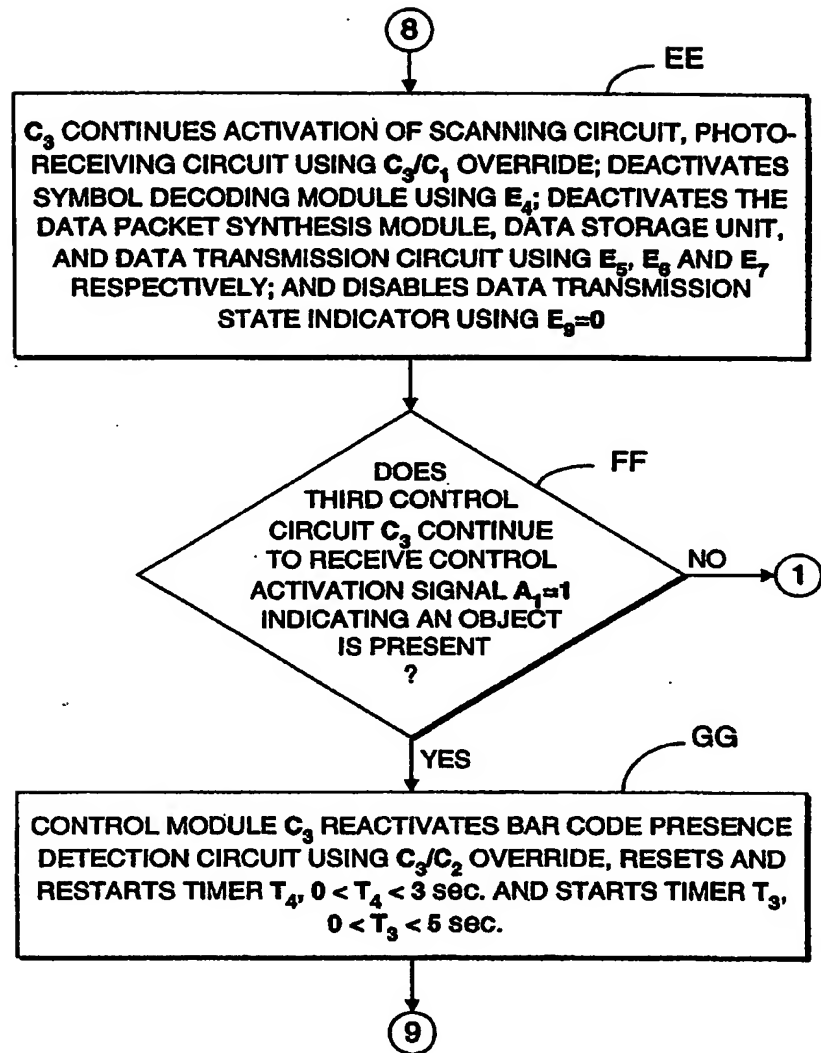


FIG. 32E

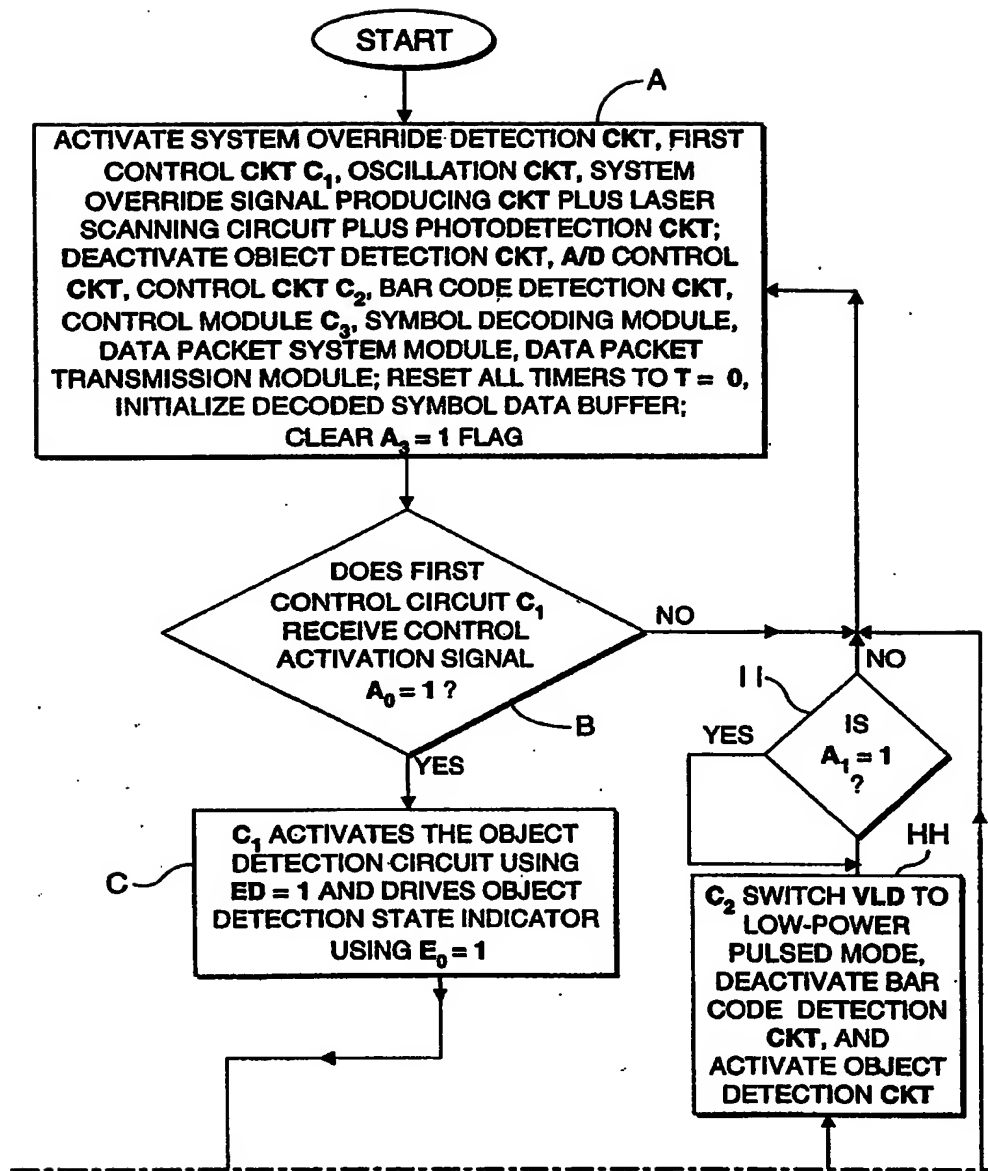


FIG. 33A1

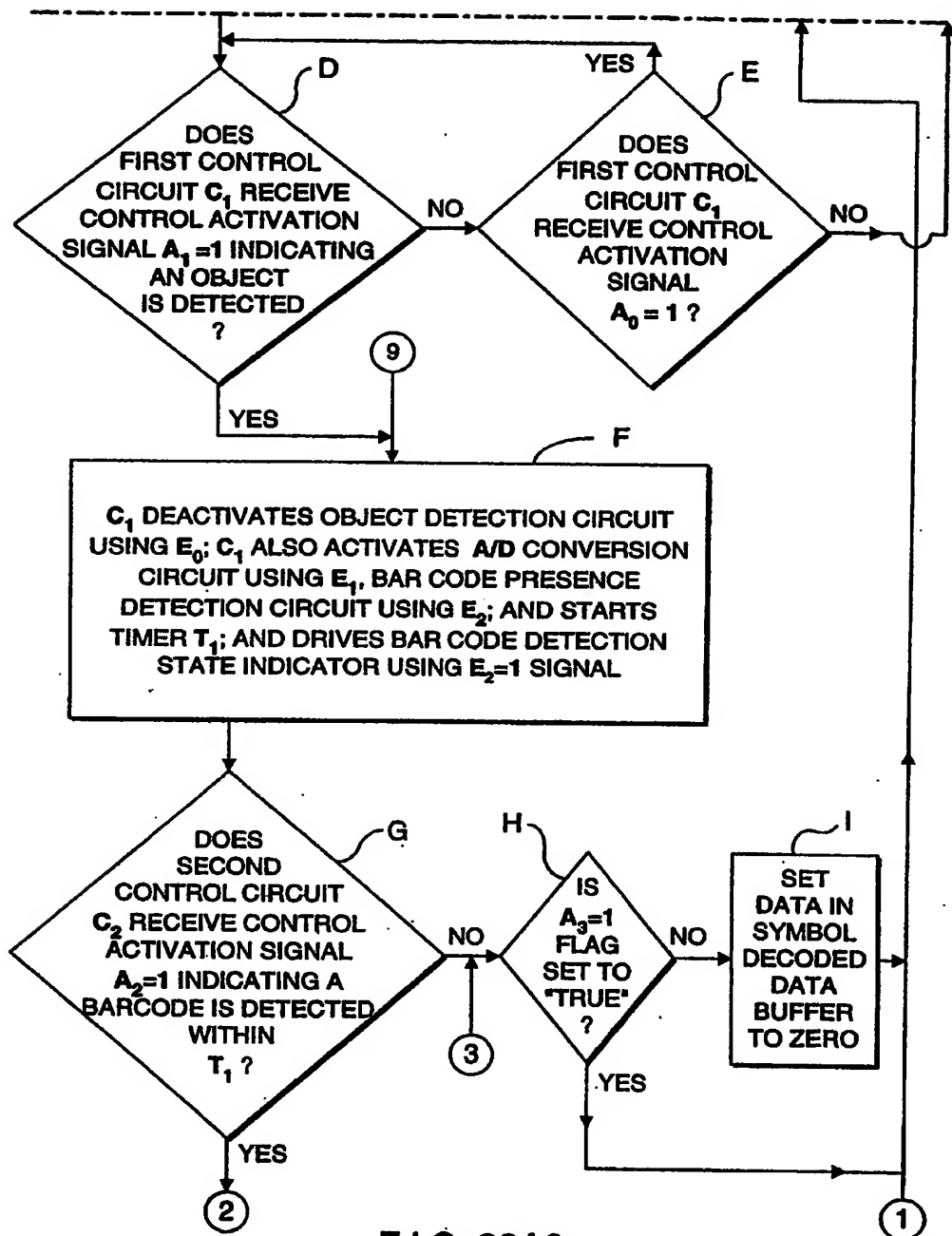


FIG. 33A2

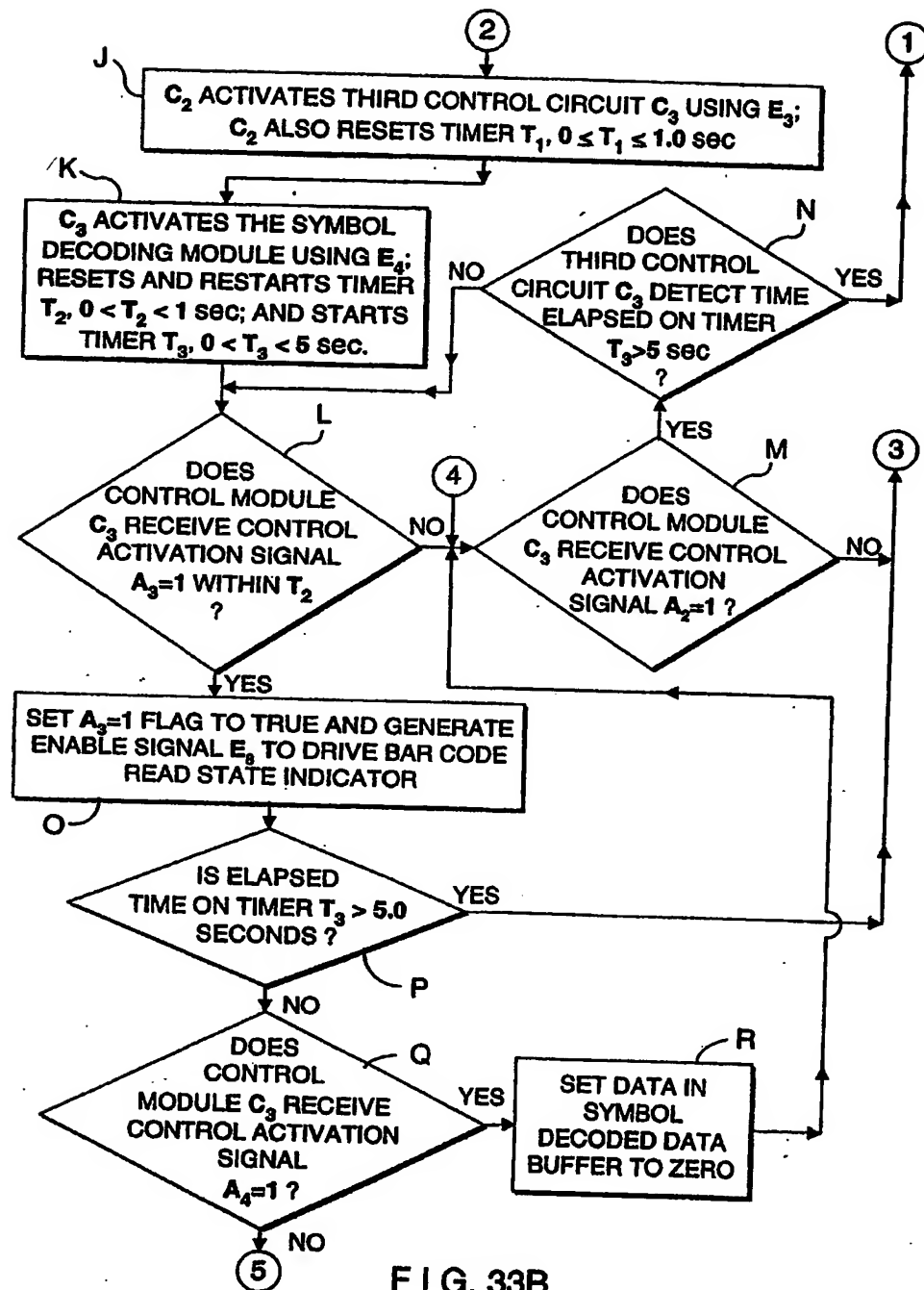


FIG. 33B

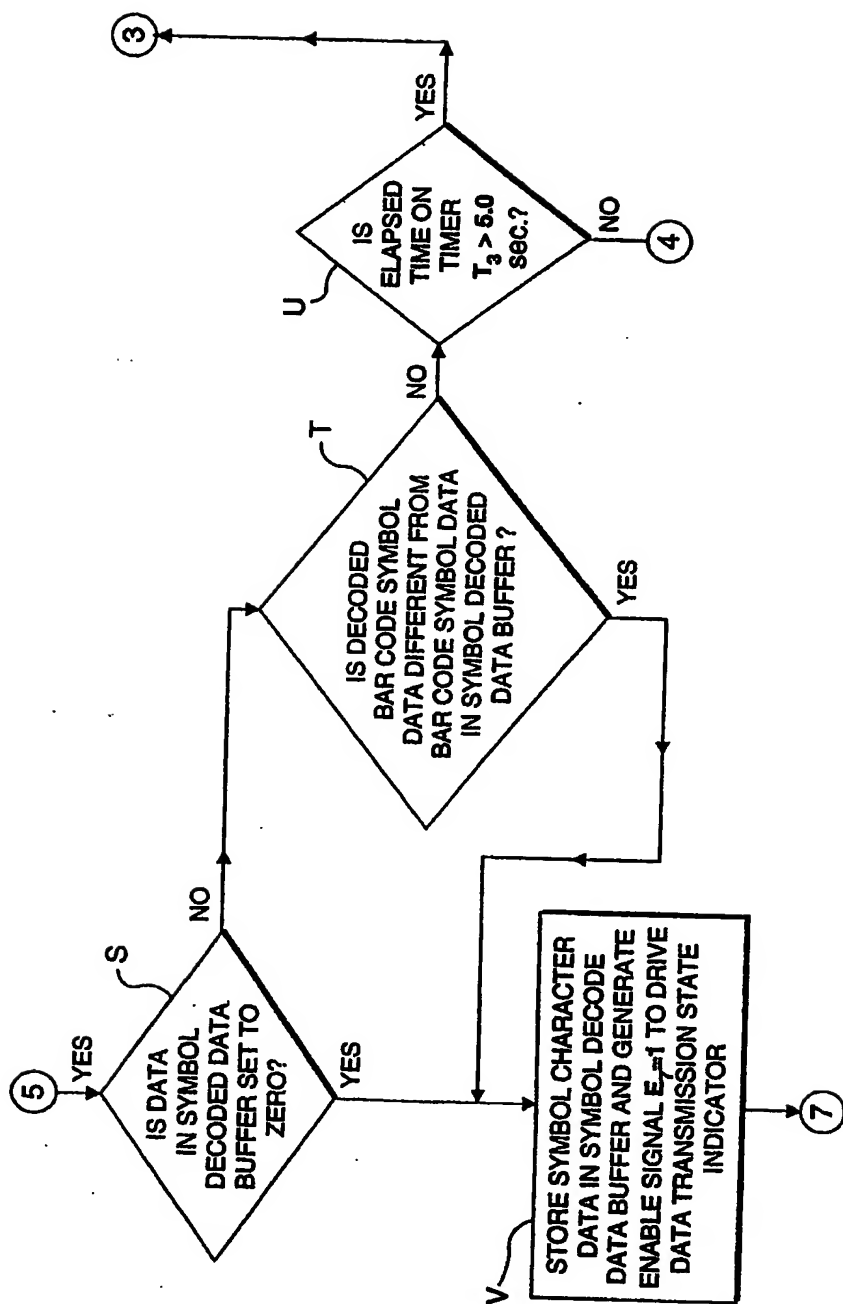


FIG. 33C

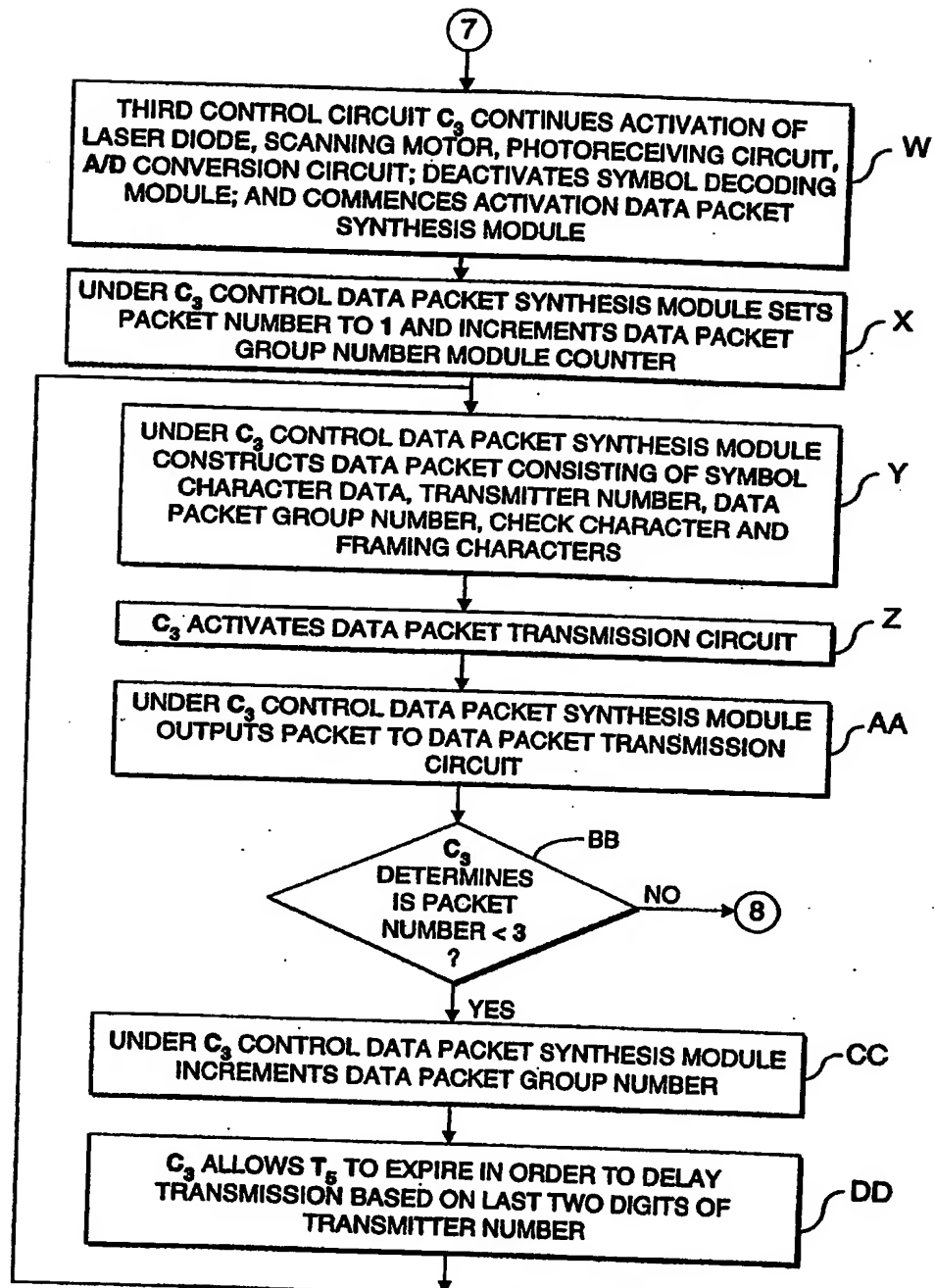


FIG. 33D

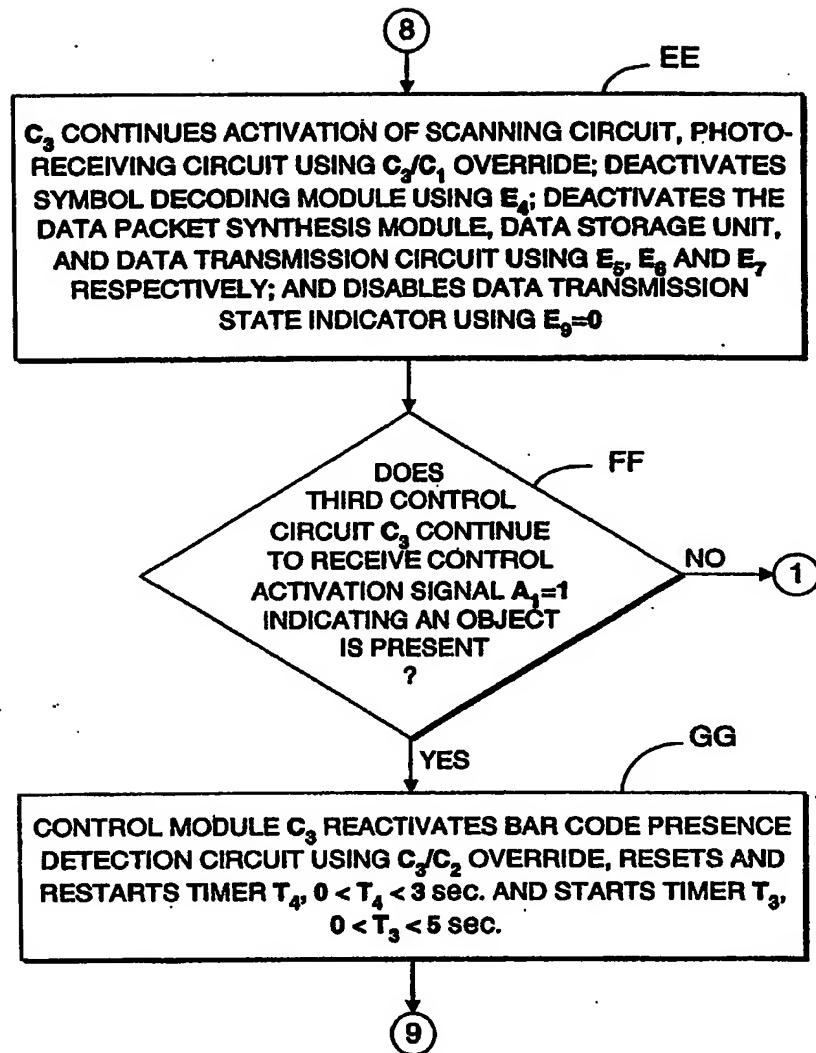


FIG. 33E



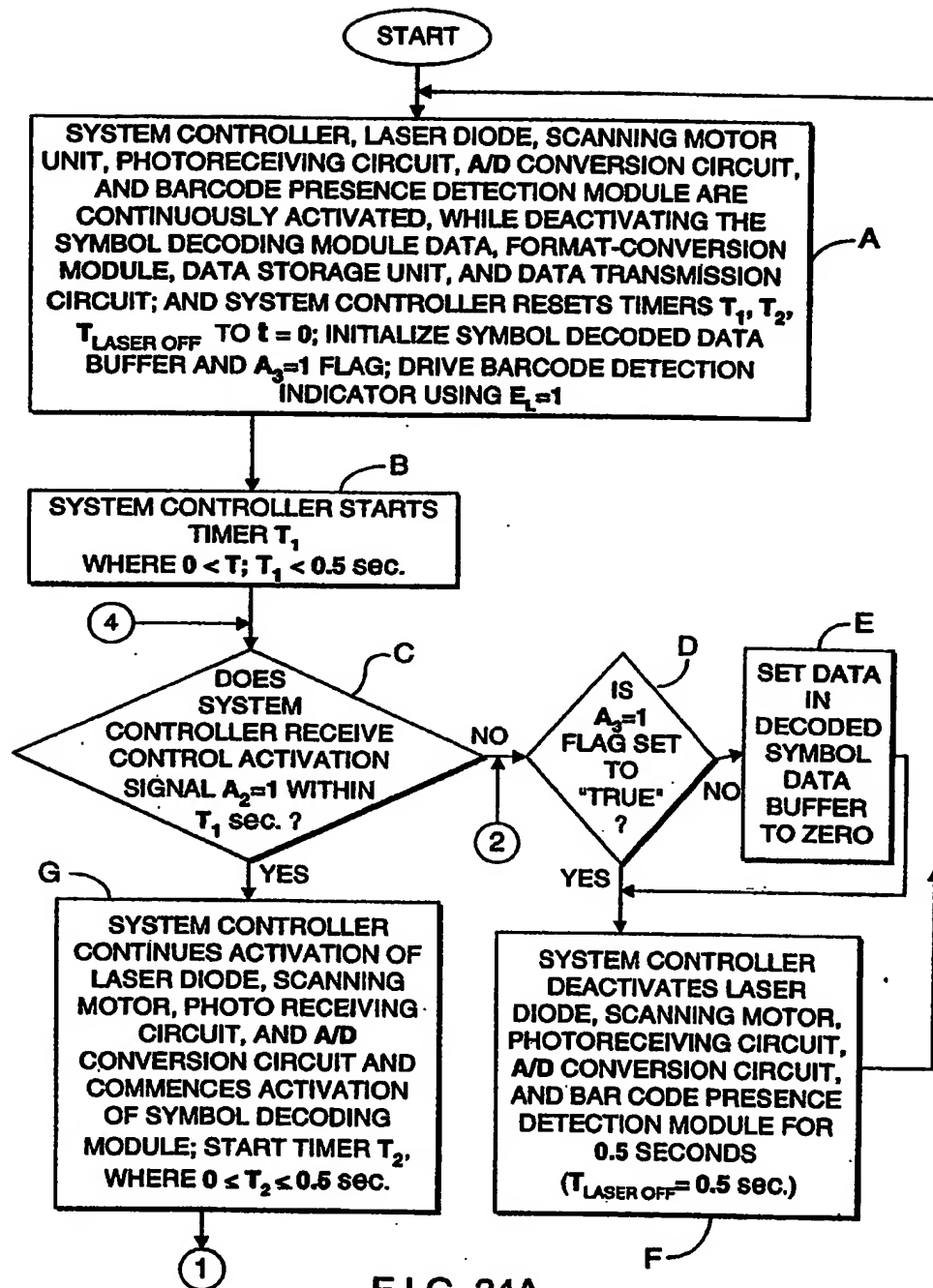


FIG. 34A

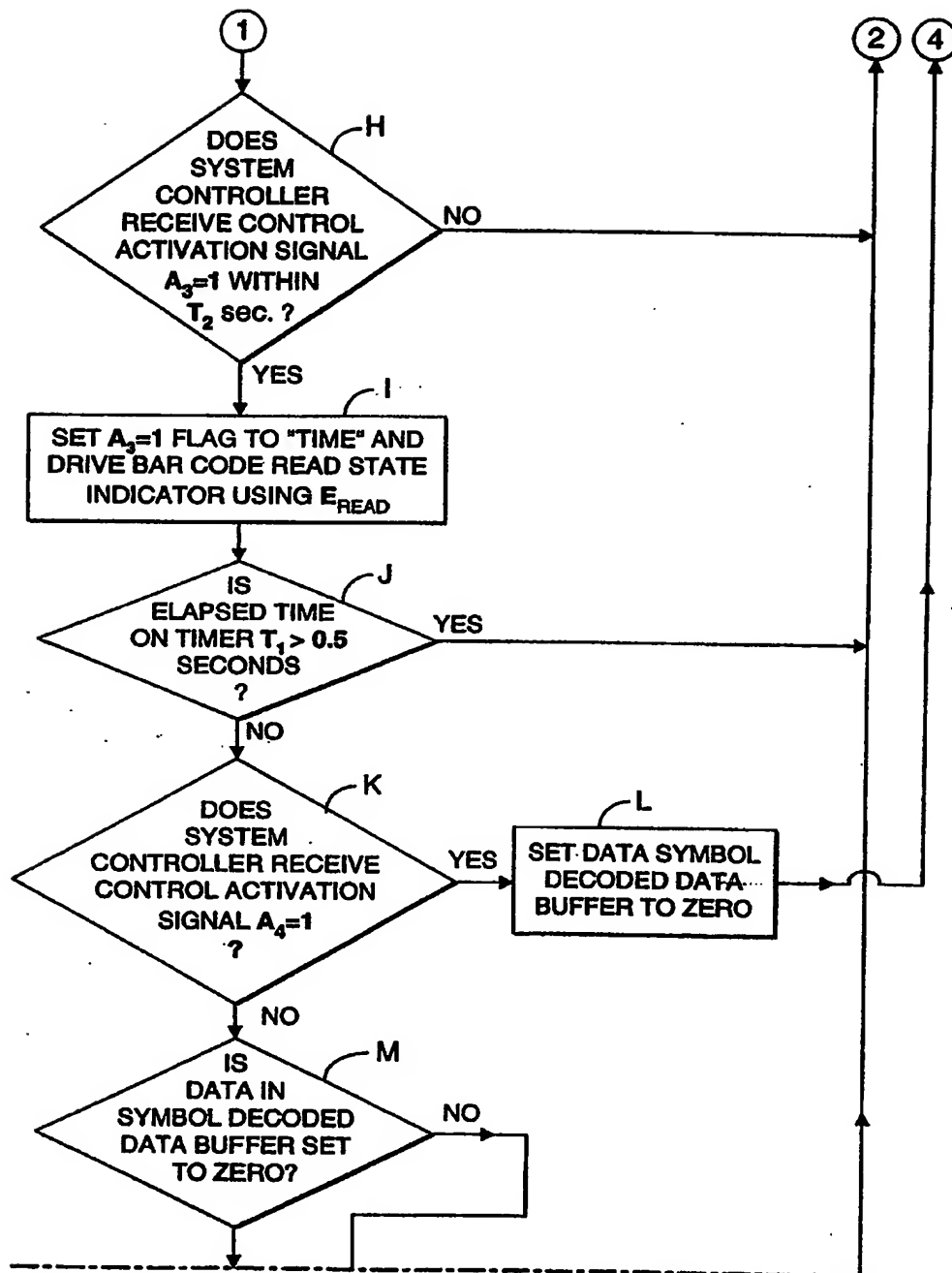


FIG. 34B1

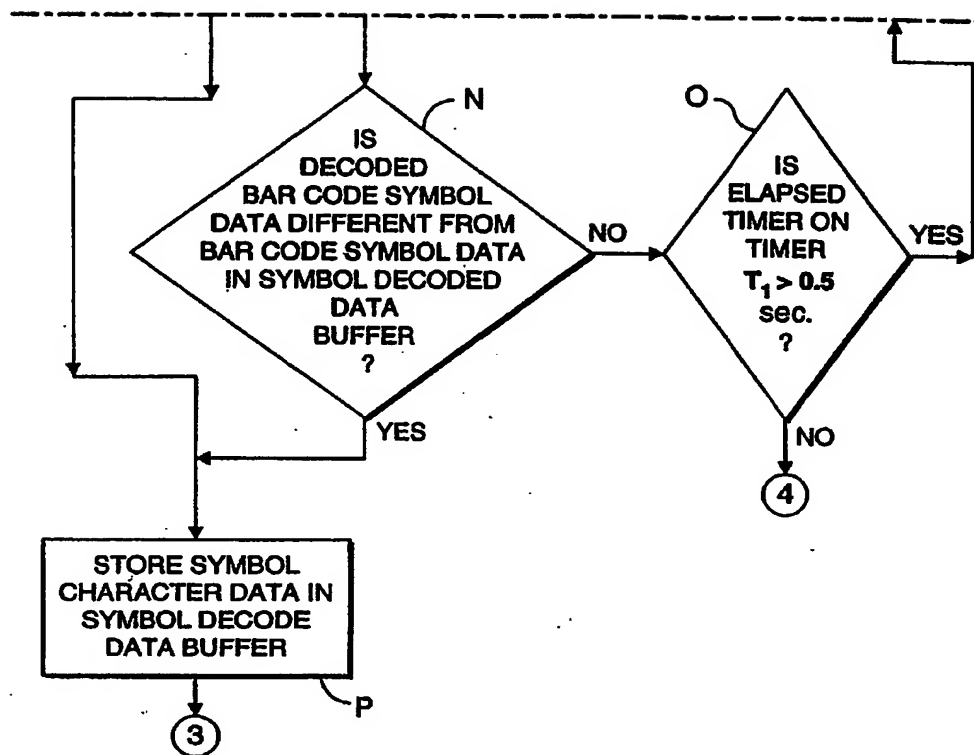


FIG. 34B2

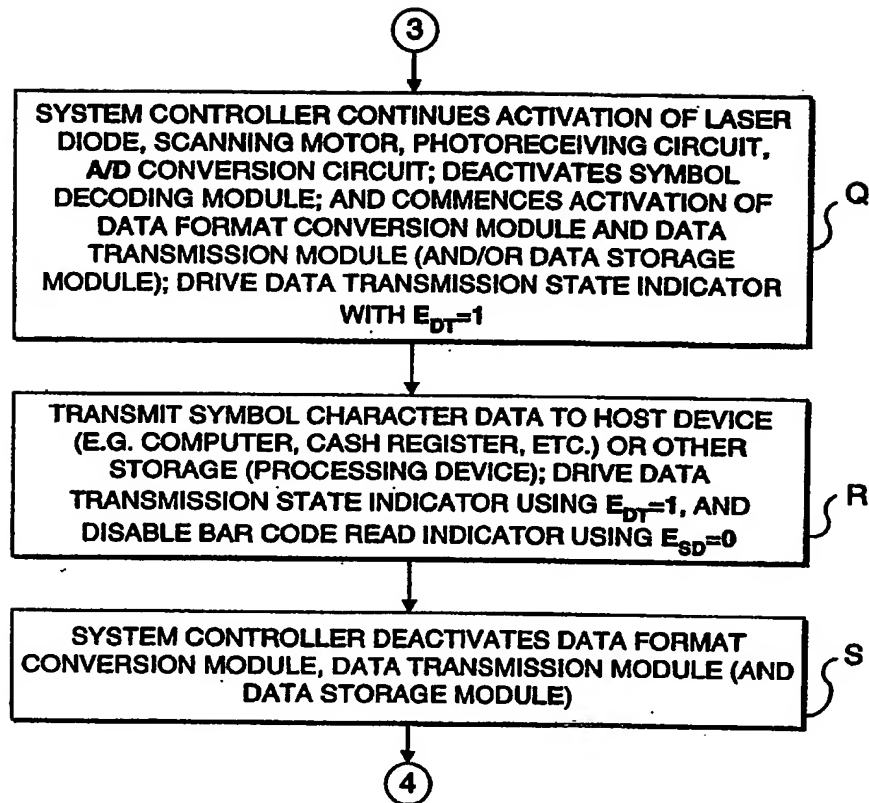


FIG. 34C

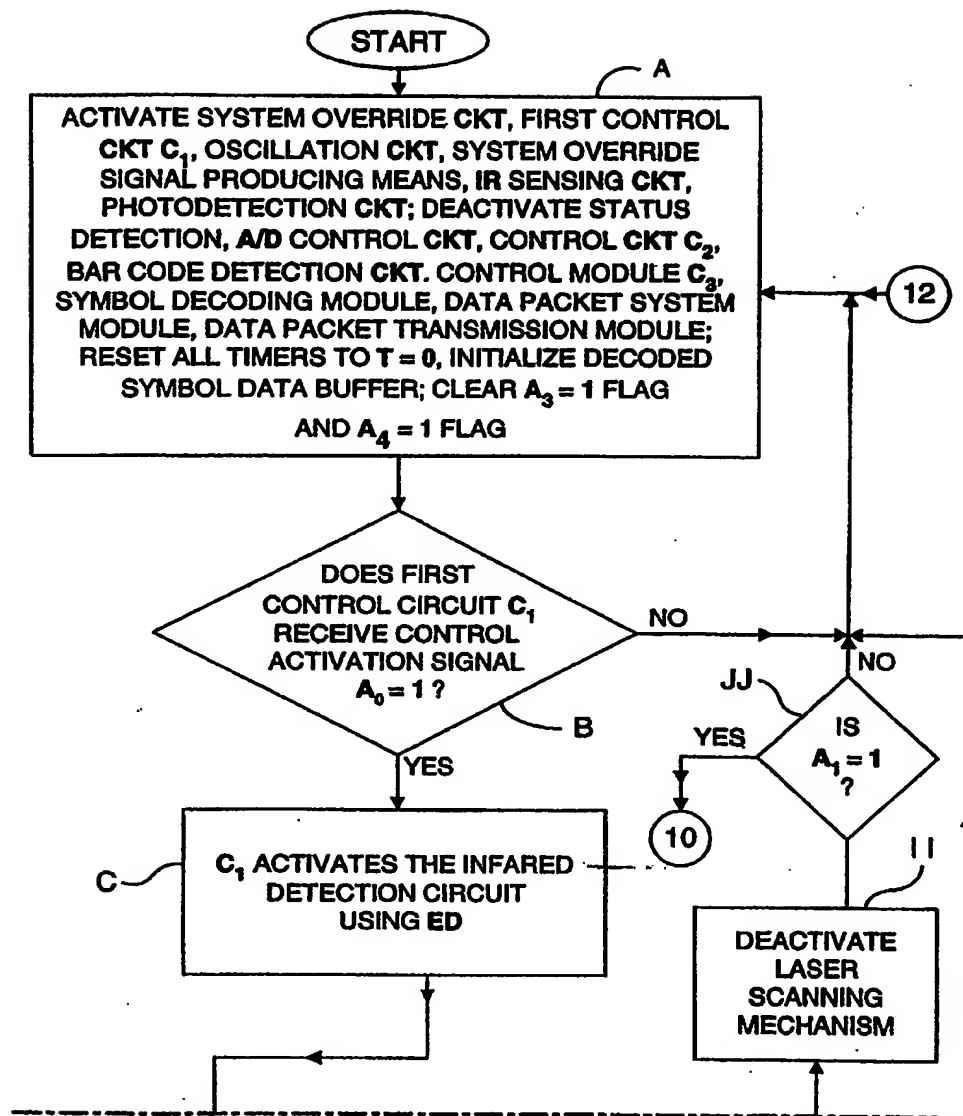


FIG. 35A1

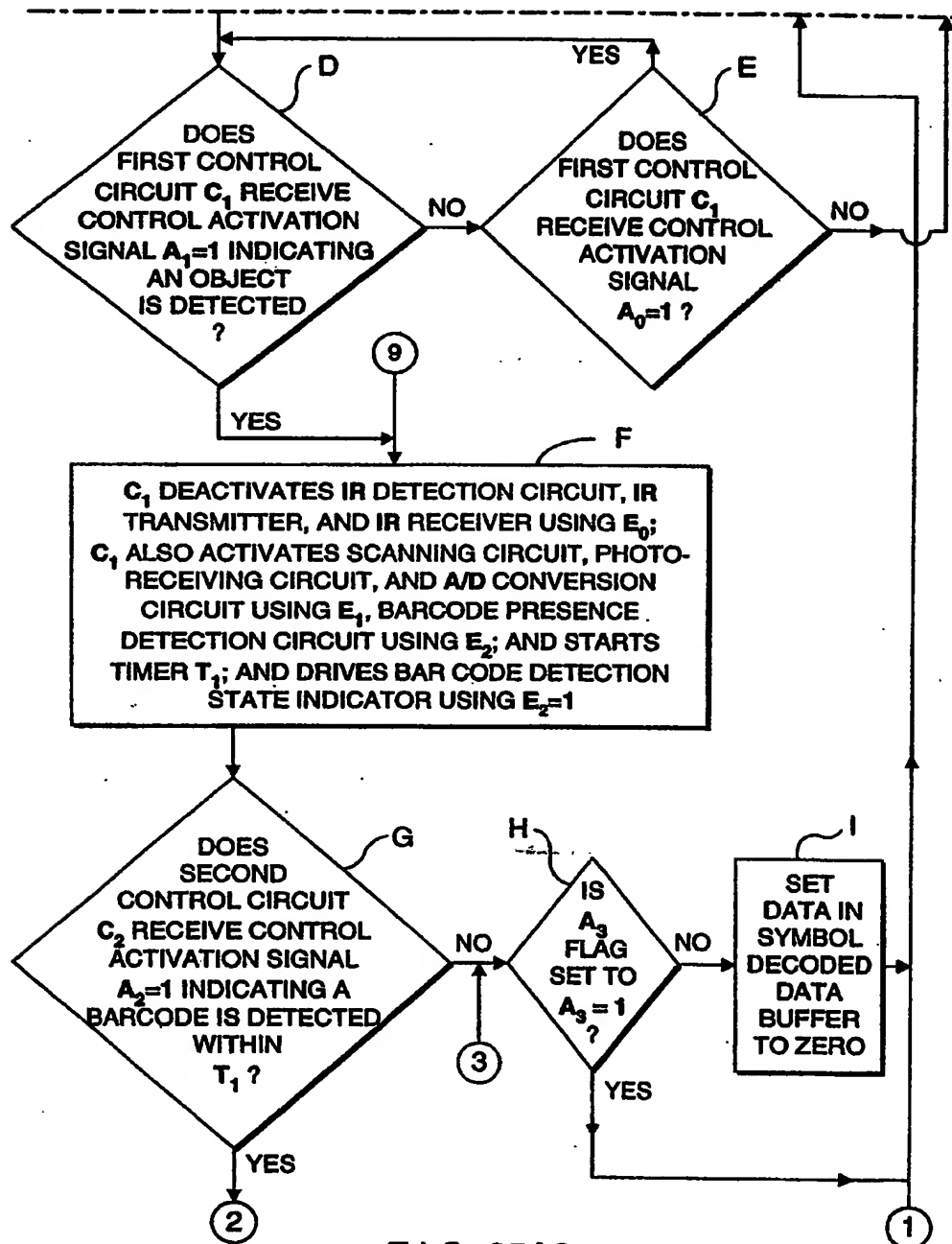


FIG. 35A2

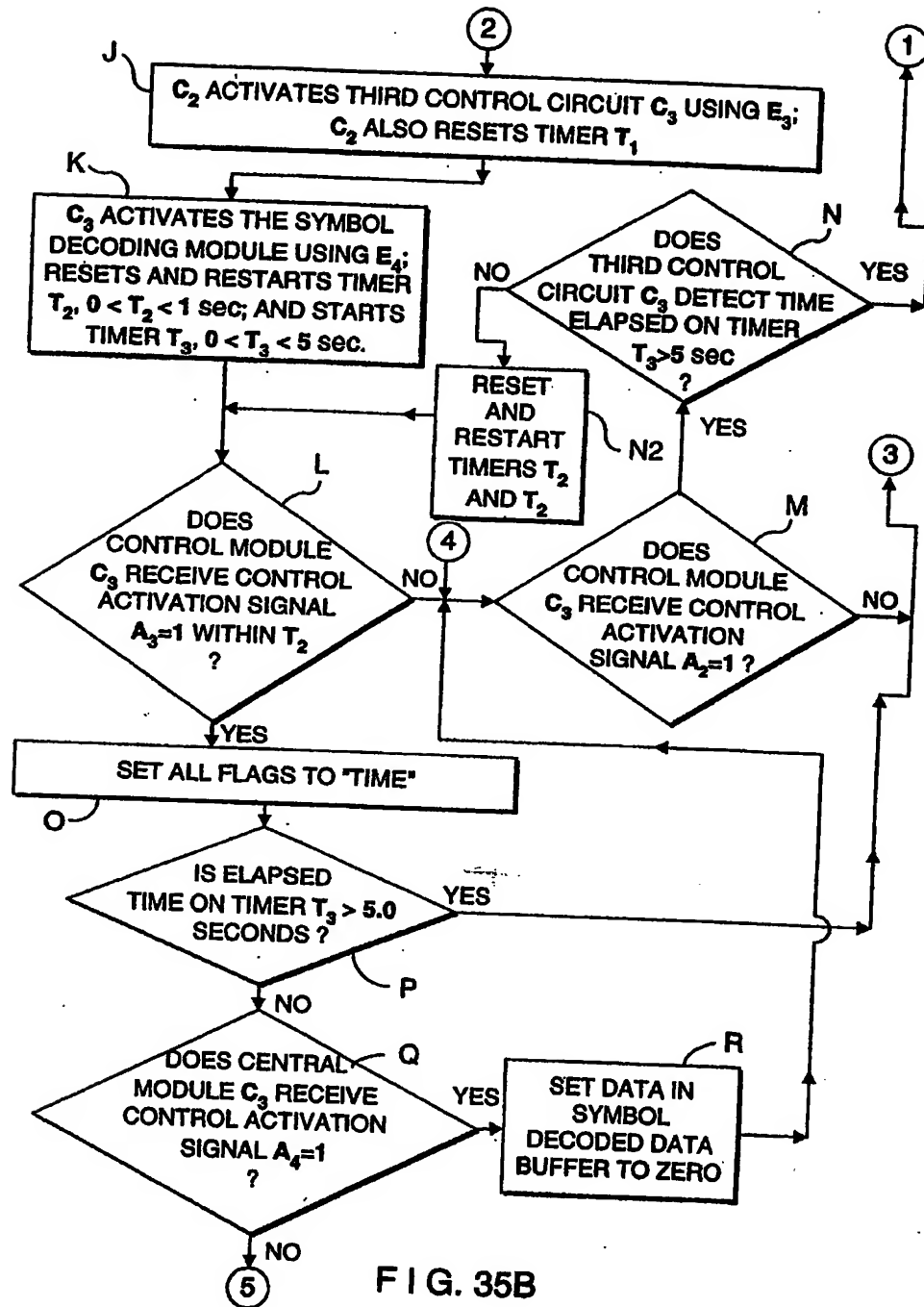


FIG. 35B

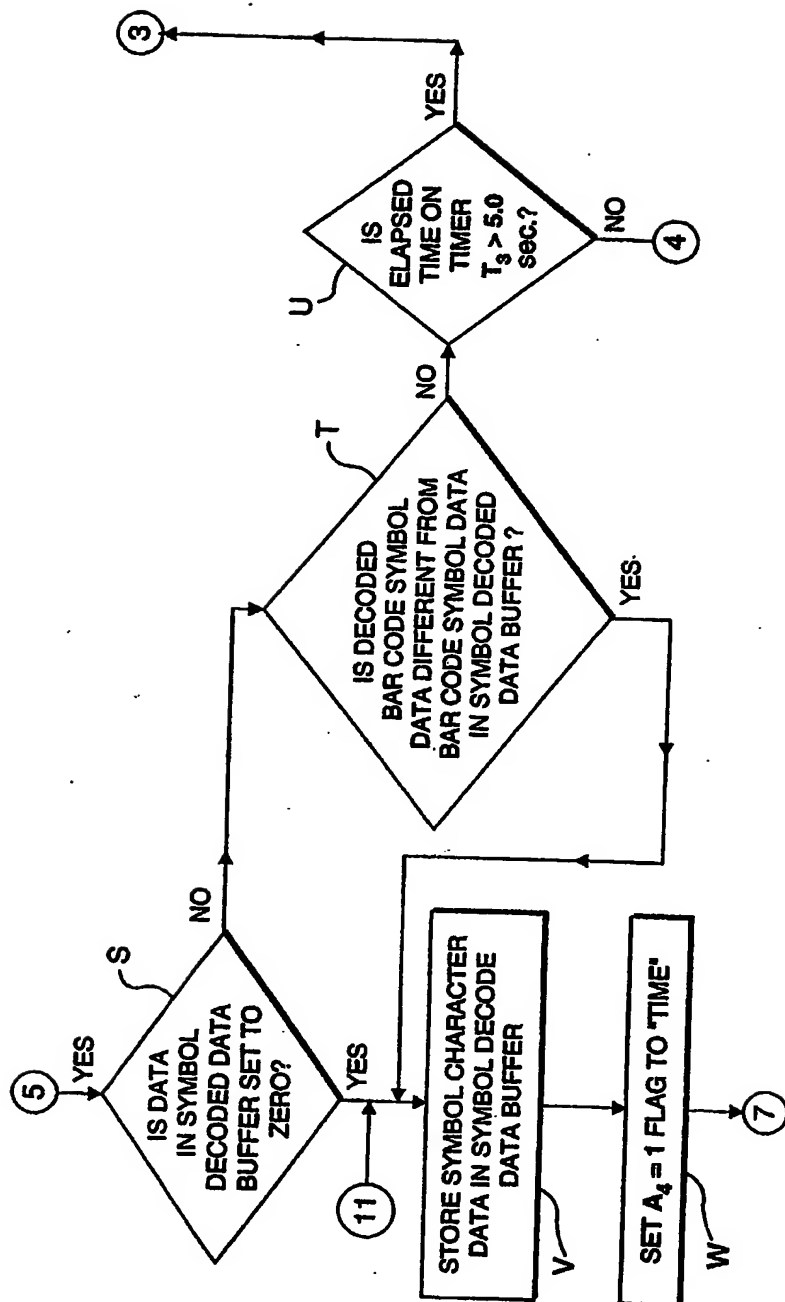


FIG. 35C



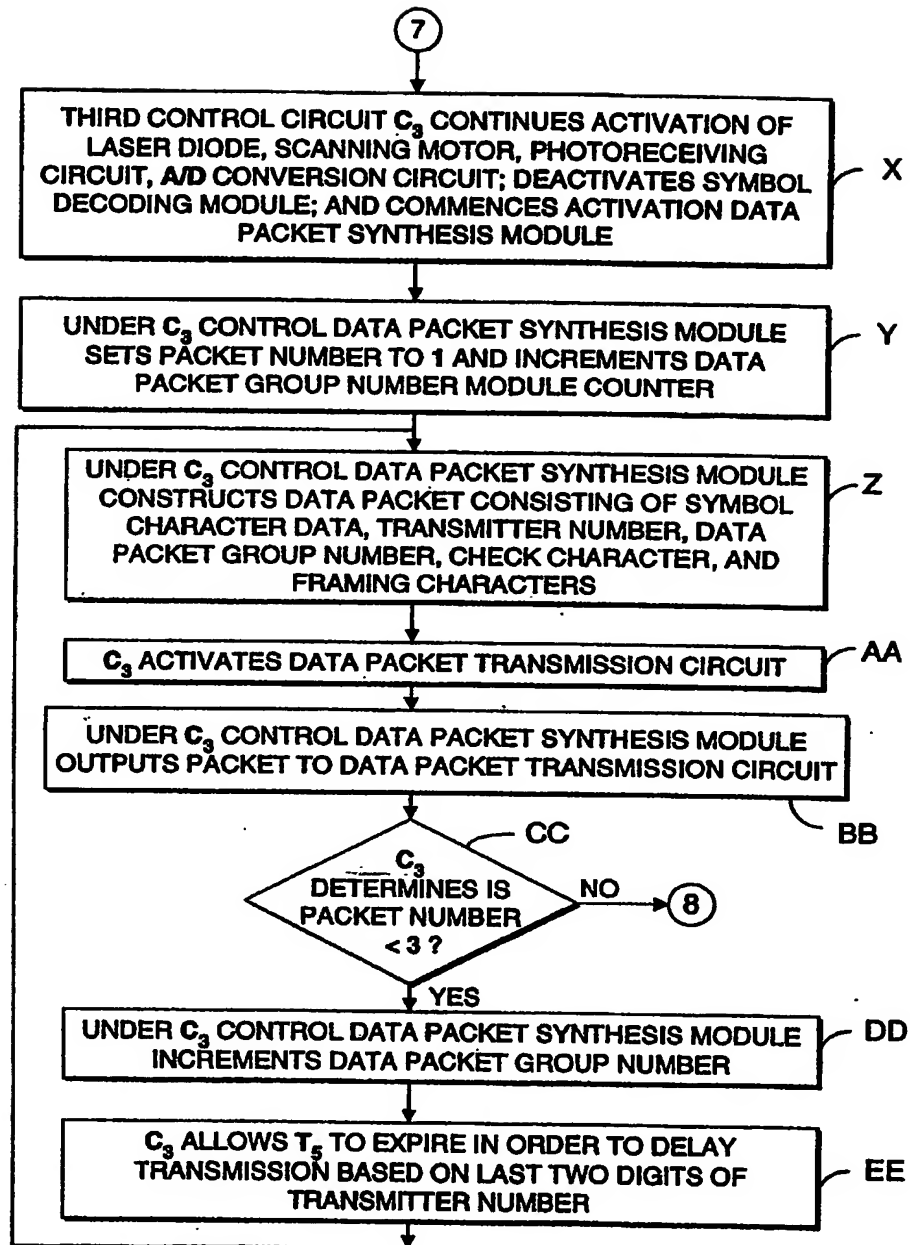
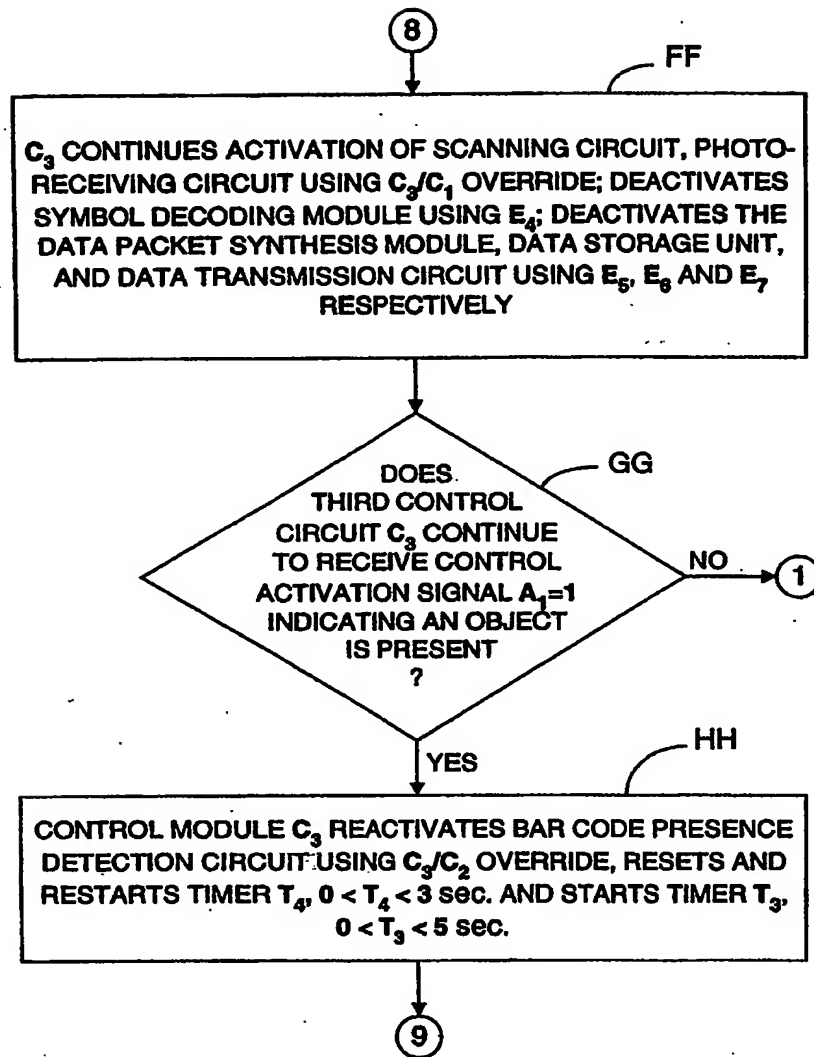


FIG. 35D



**FIG. 35E**

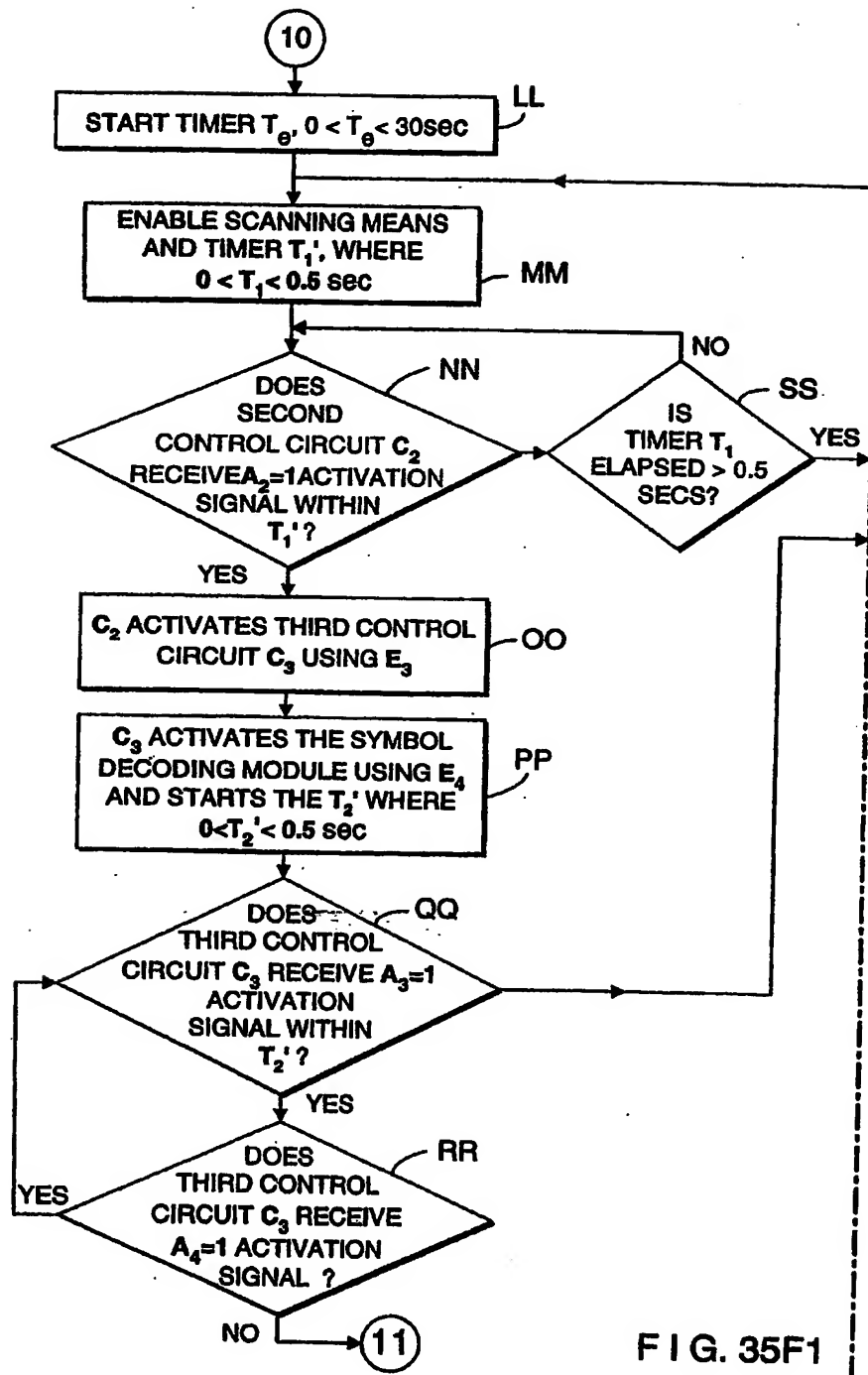


FIG. 35F1

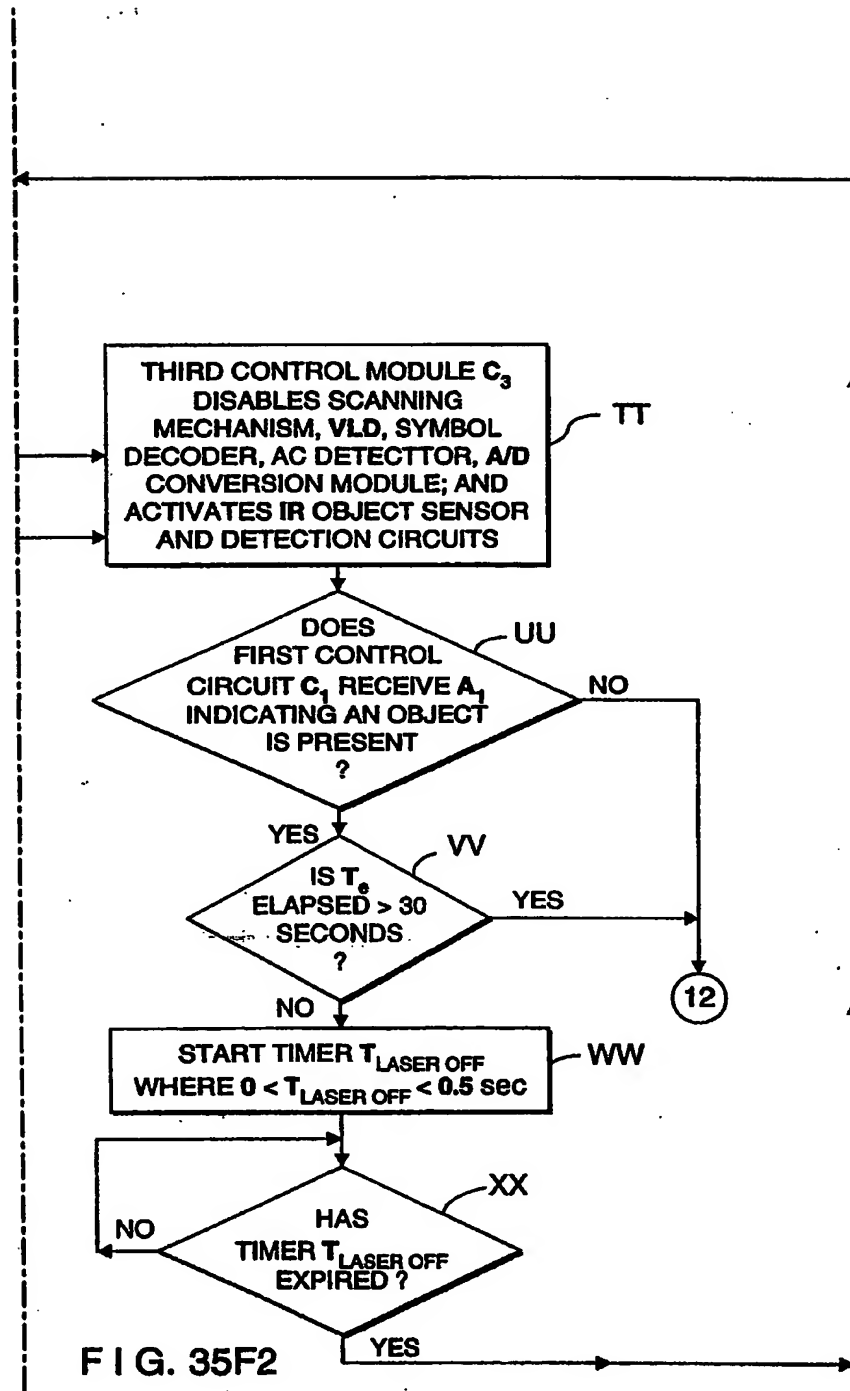
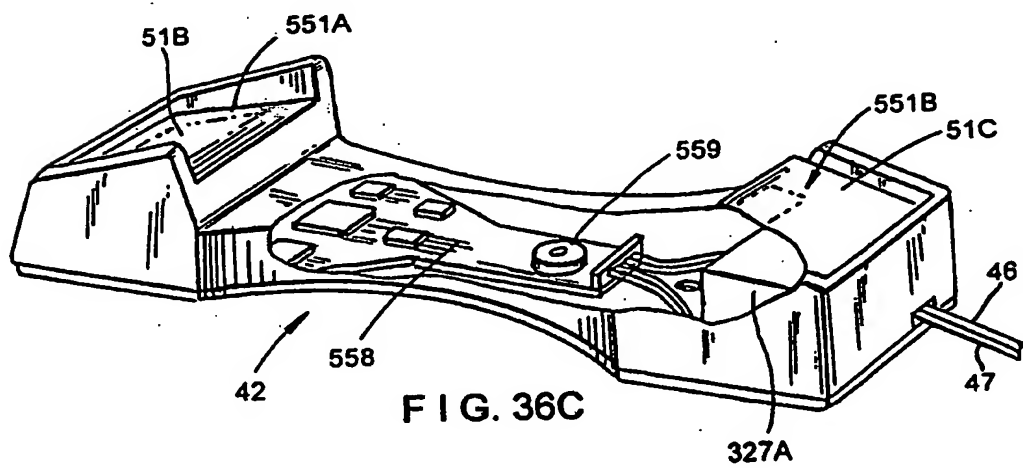
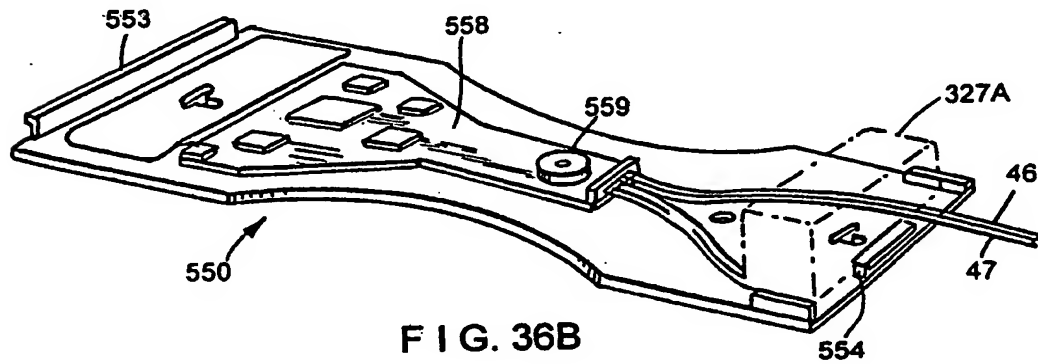
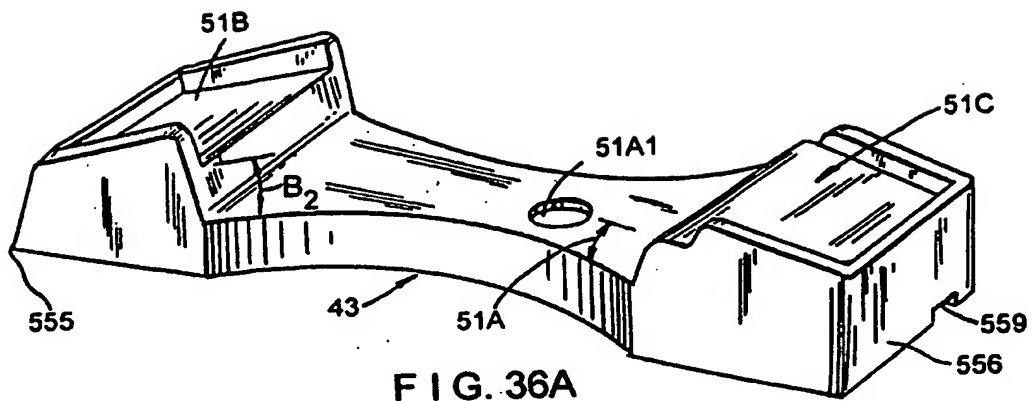


FIG. 35F2



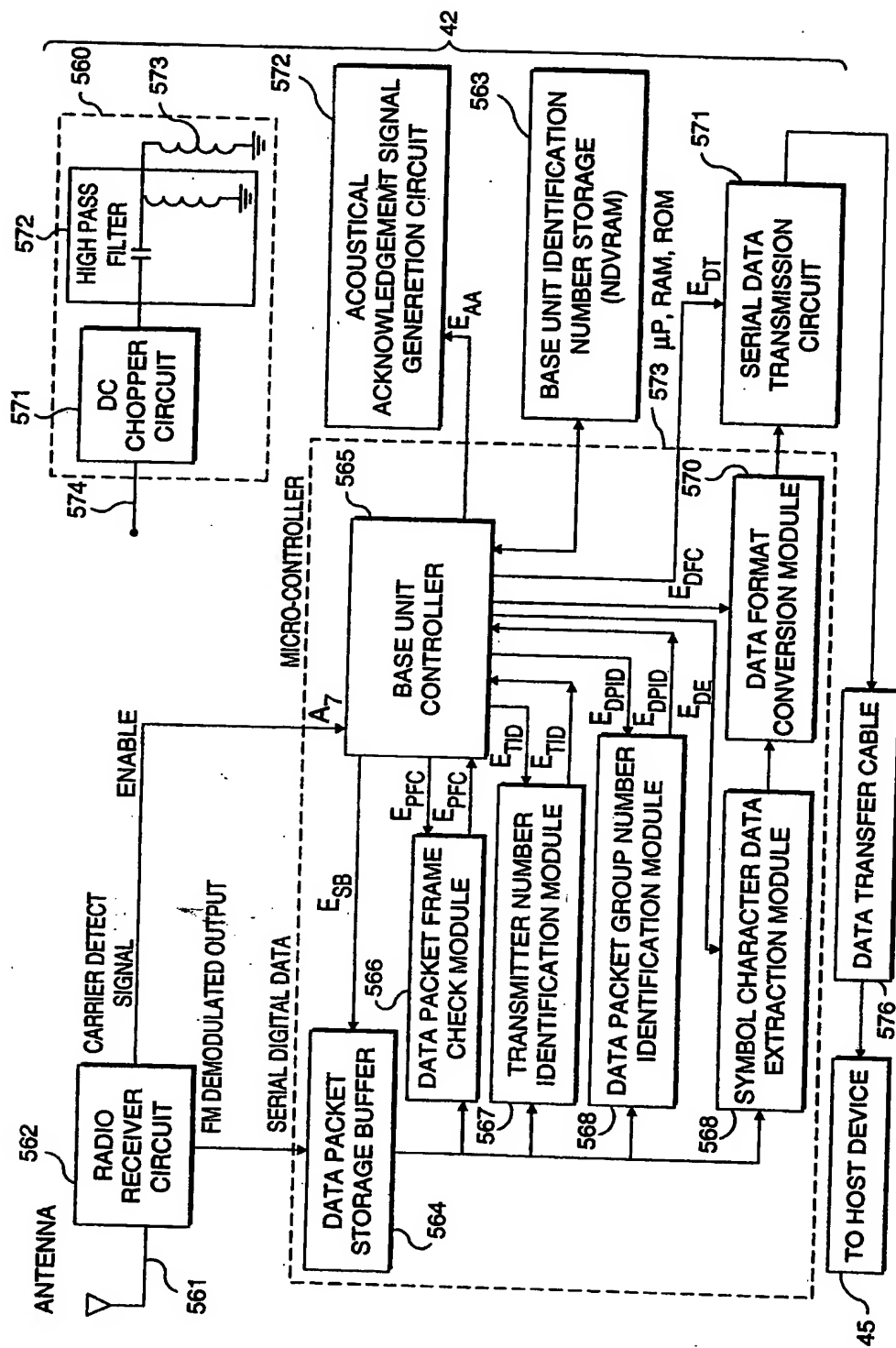


FIG. 37

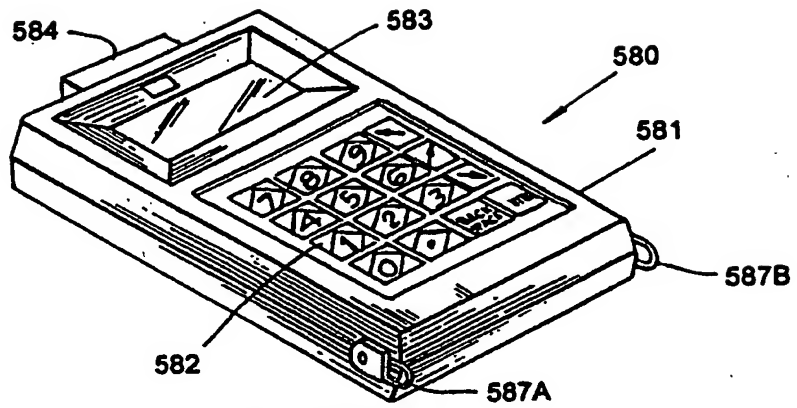


FIG. 38A



FIG. 38B

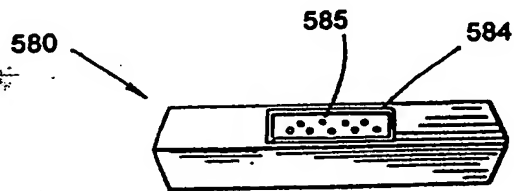


FIG. 38C

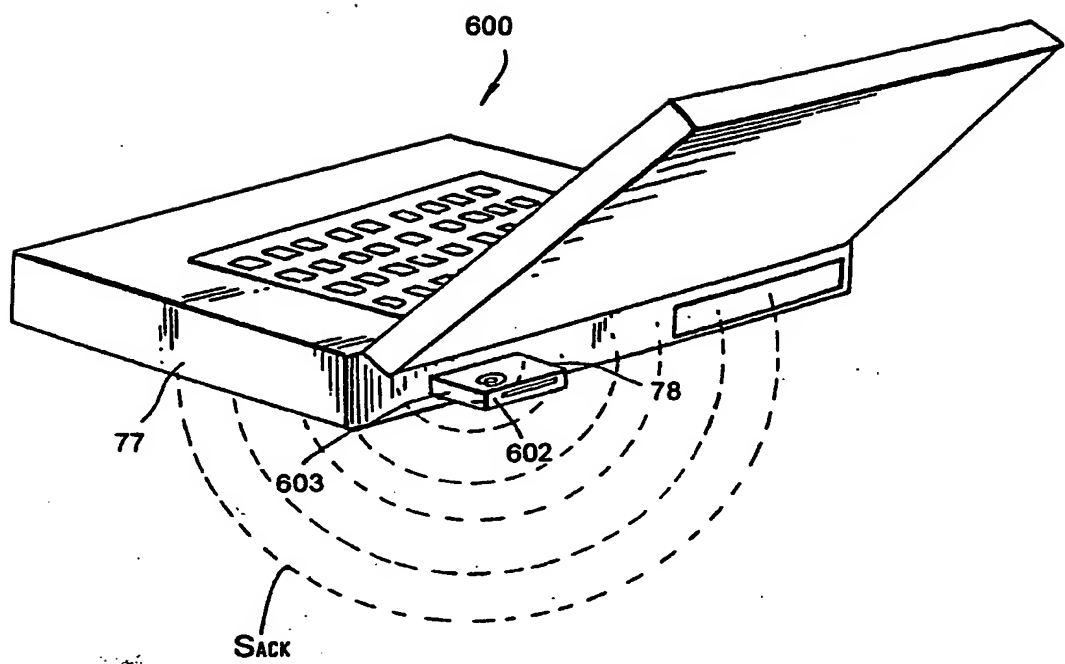
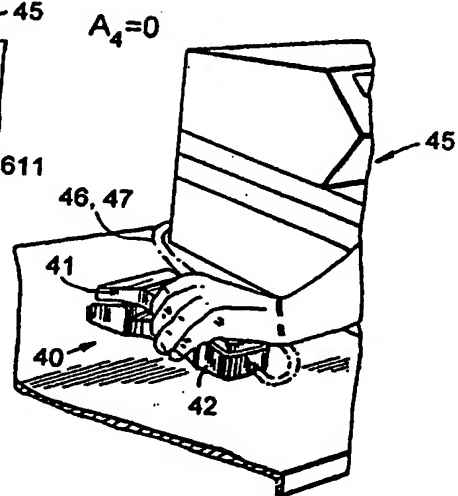
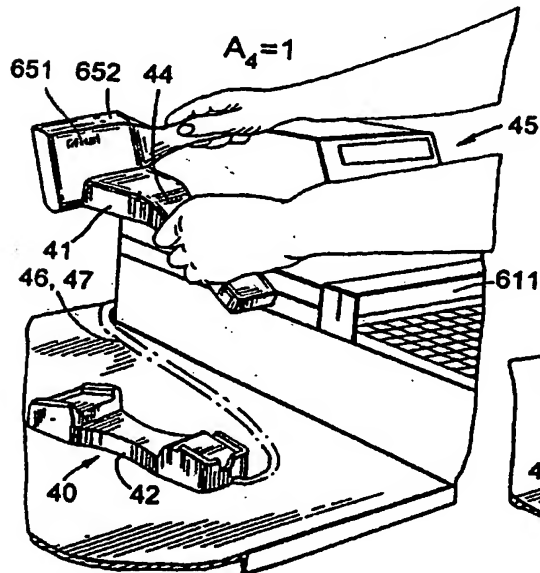
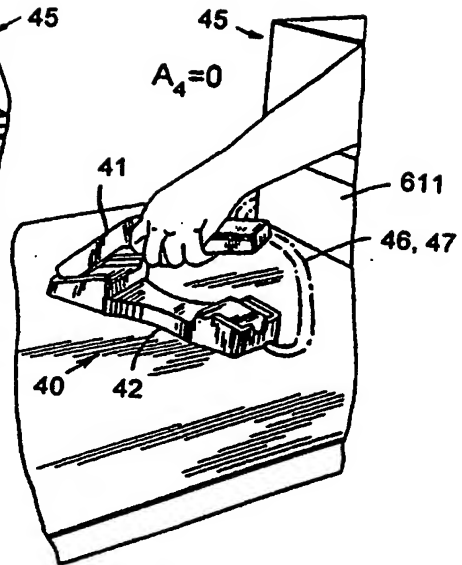
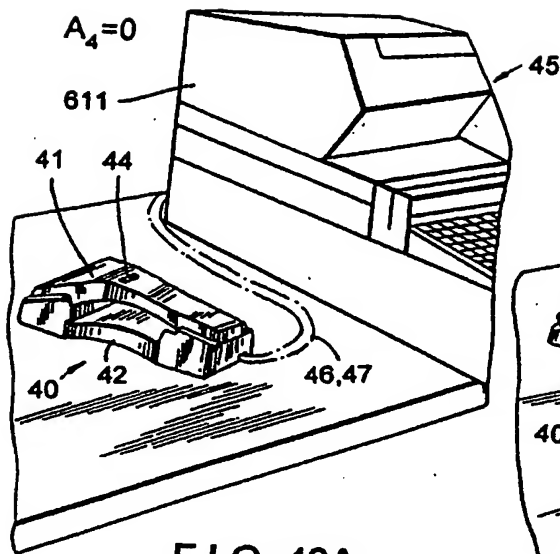


FIG. 39





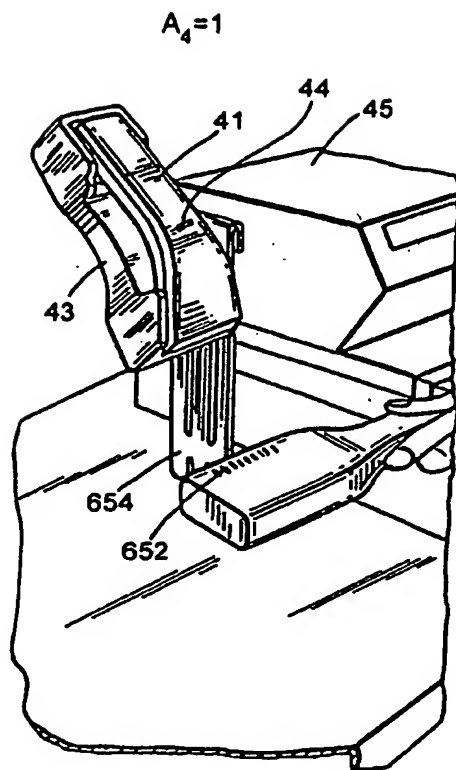


FIG. 41A

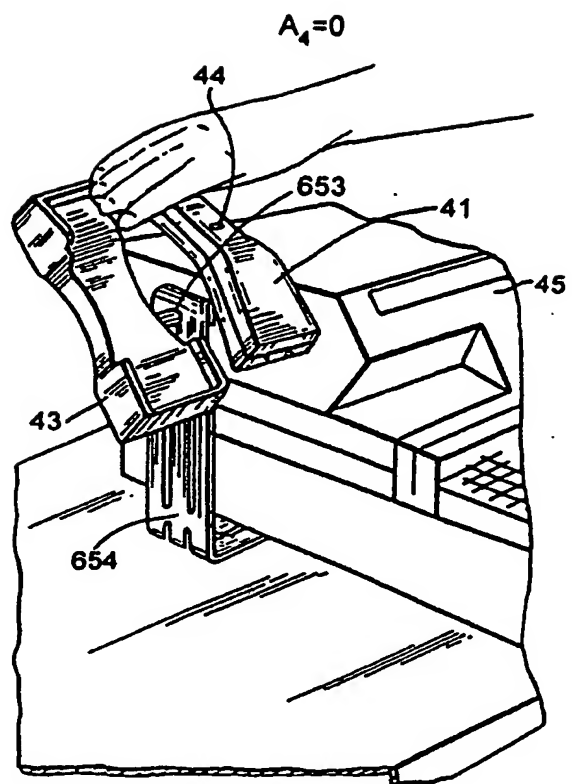


FIG. 41B

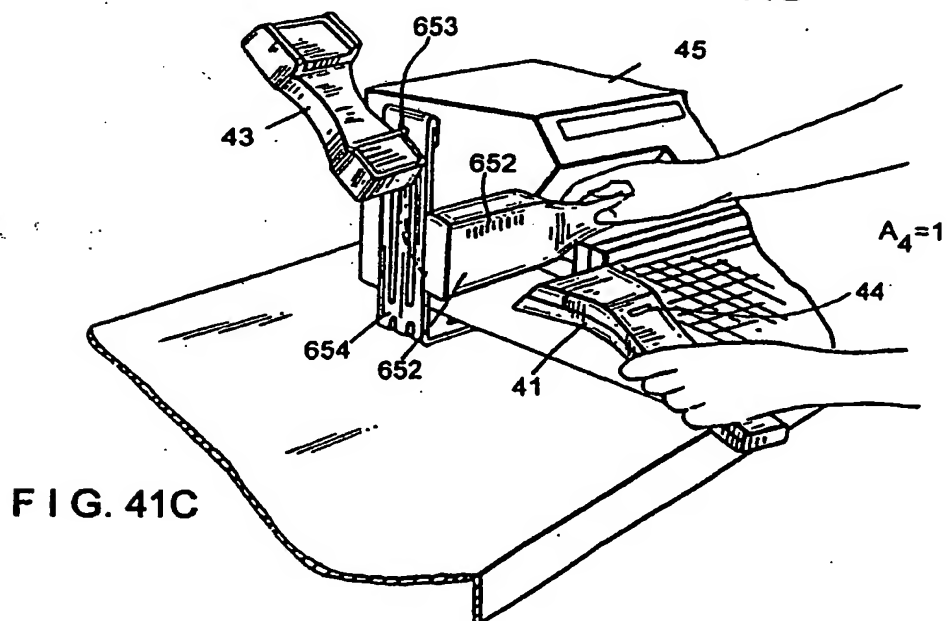
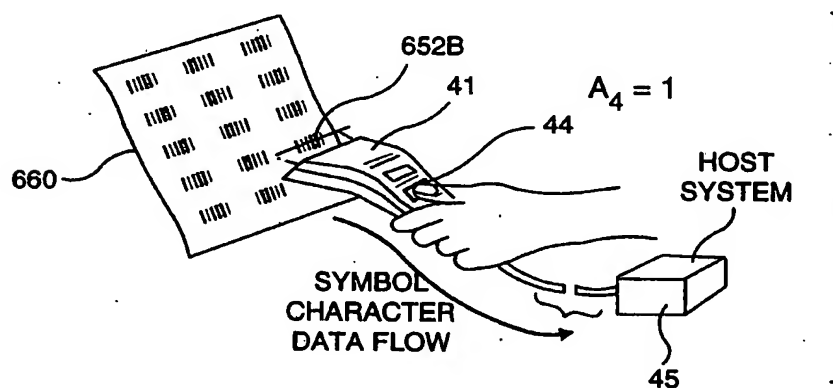
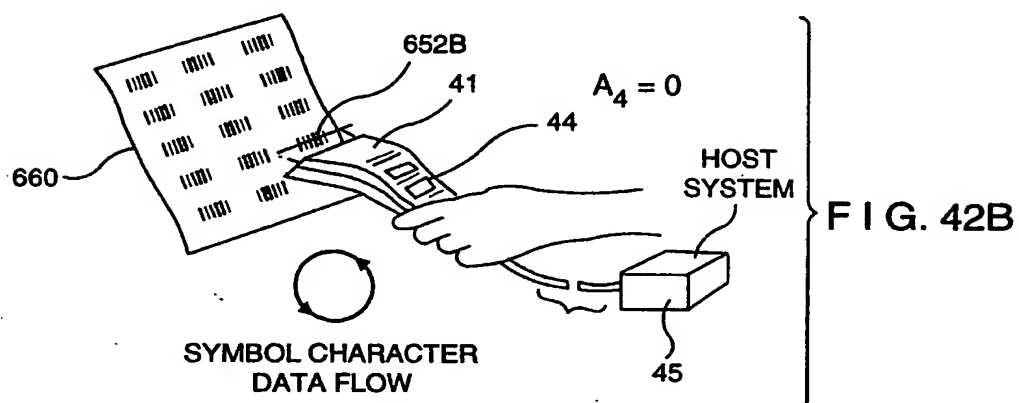
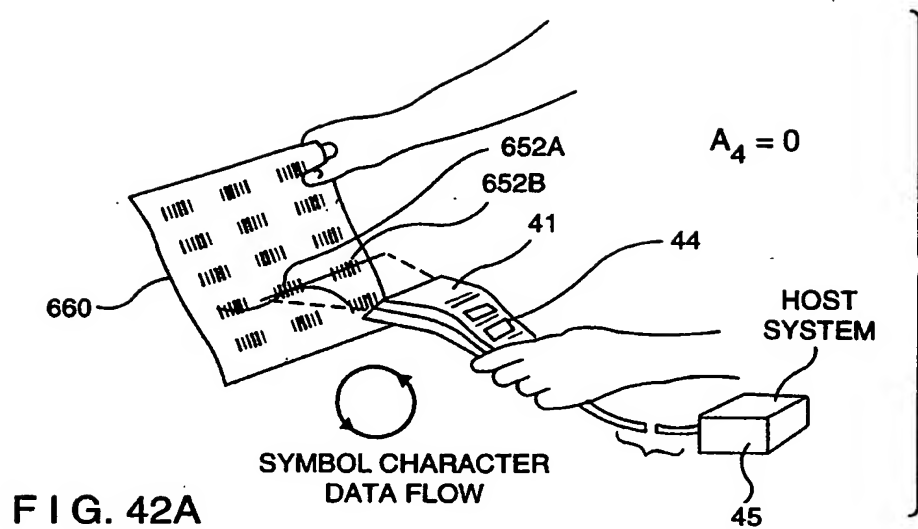


FIG. 41C



Automatic Bar Code Reading System With  
2-Way RF Communication Link

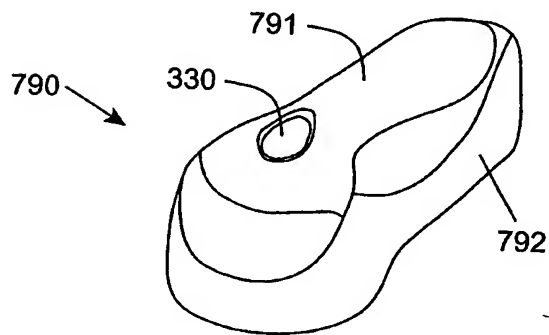


FIG. 43A

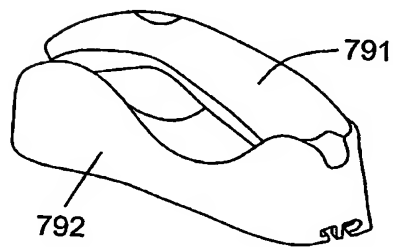


FIG. 43B

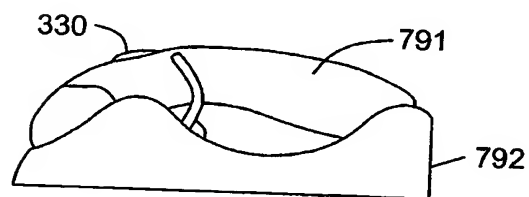


FIG. 43C

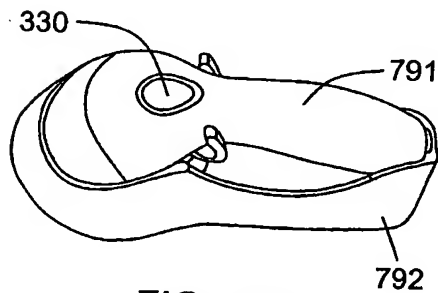


FIG. 43D

Protracted Configuration

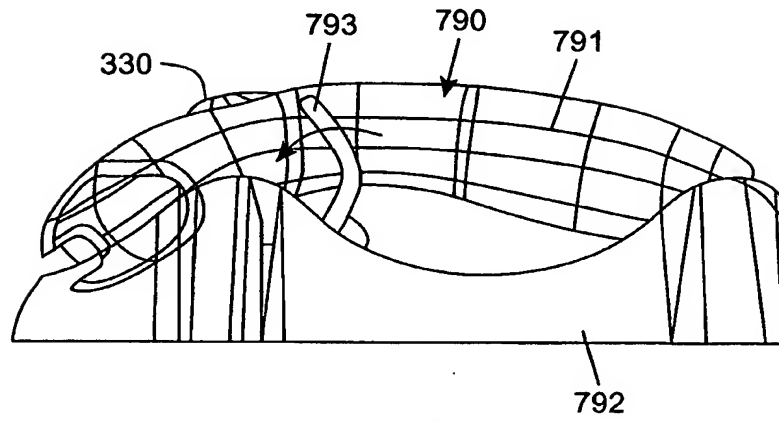


FIG. 43E

Protracted Configuration

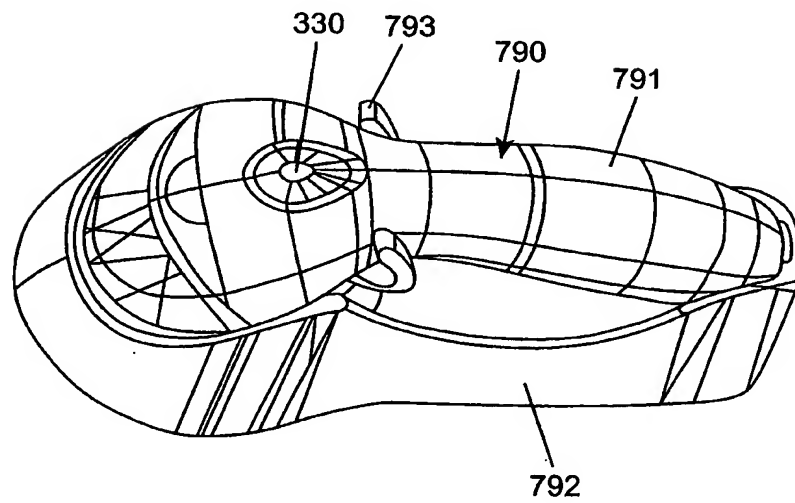


FIG. 43F

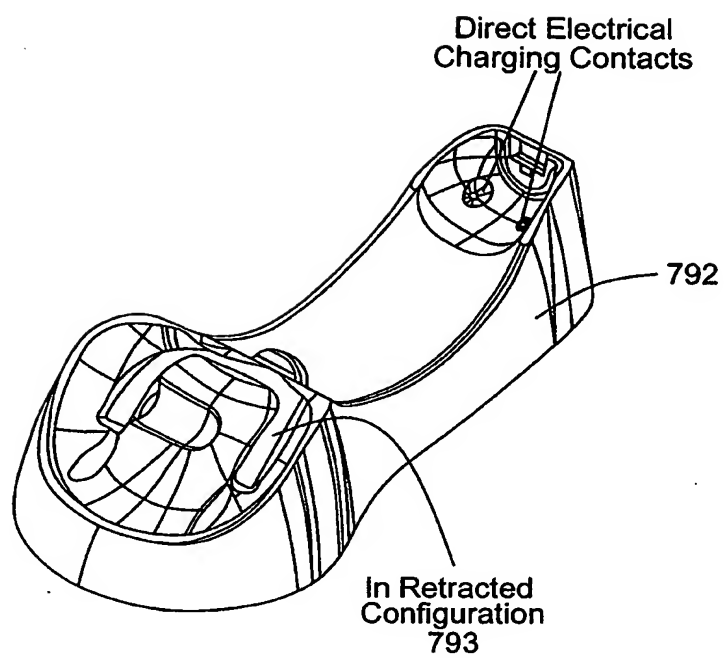


FIG. 43G

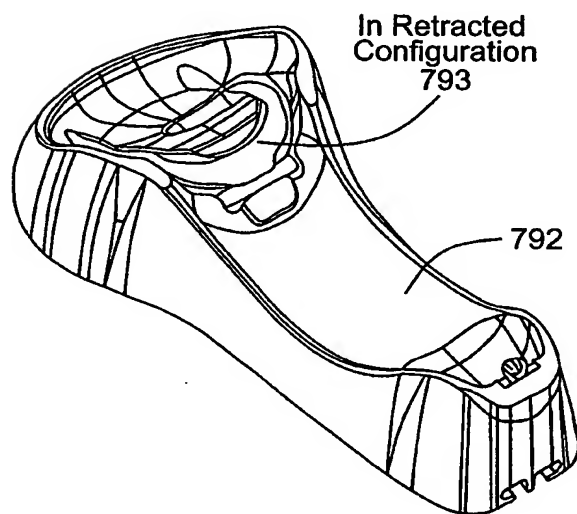


FIG. 43H

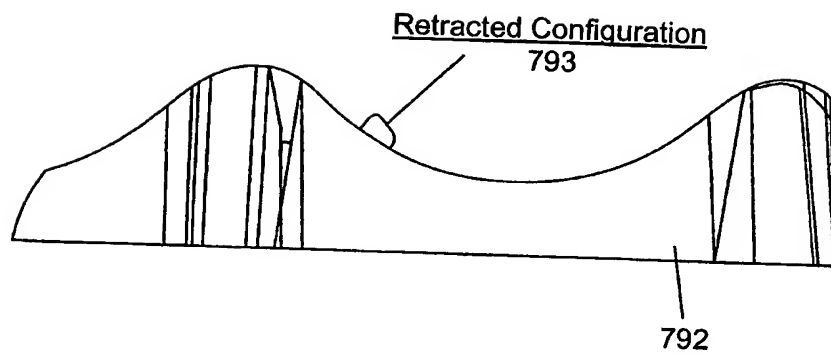


FIG. 43I

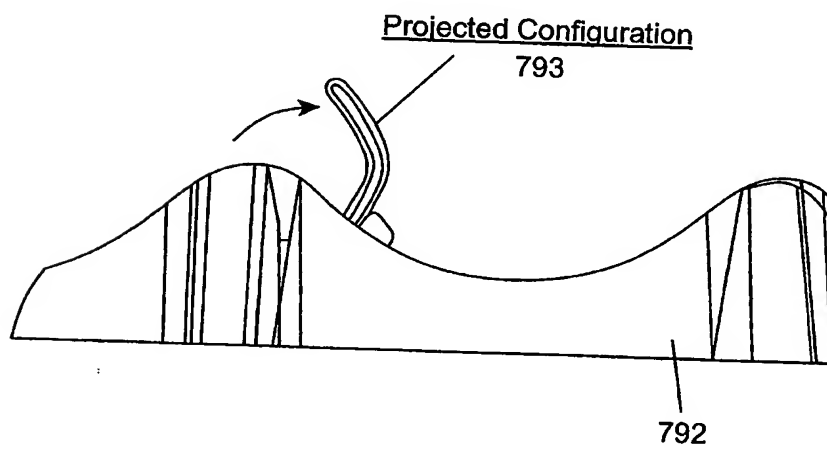


FIG. 43J

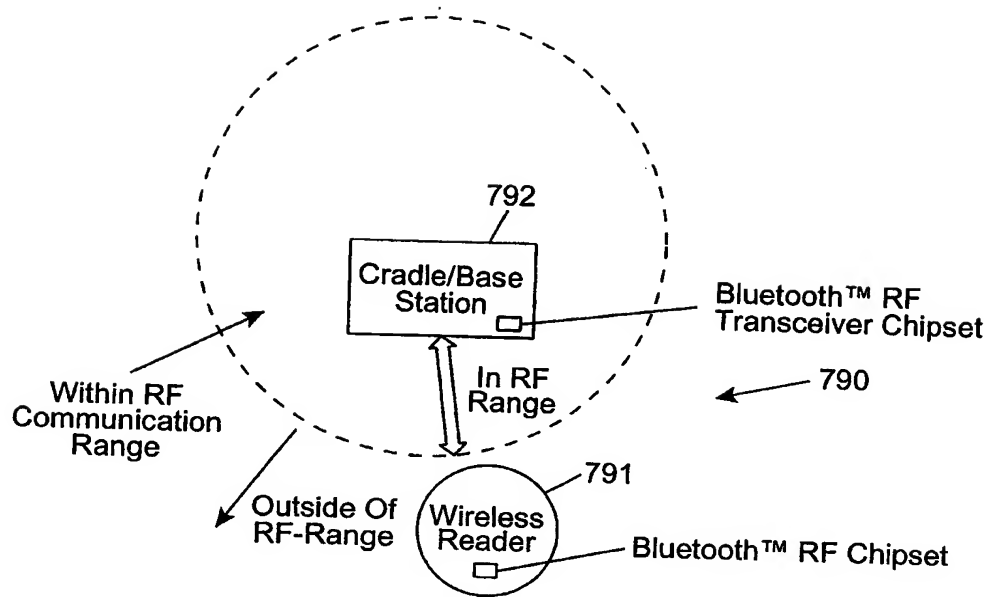


FIG. 44A1

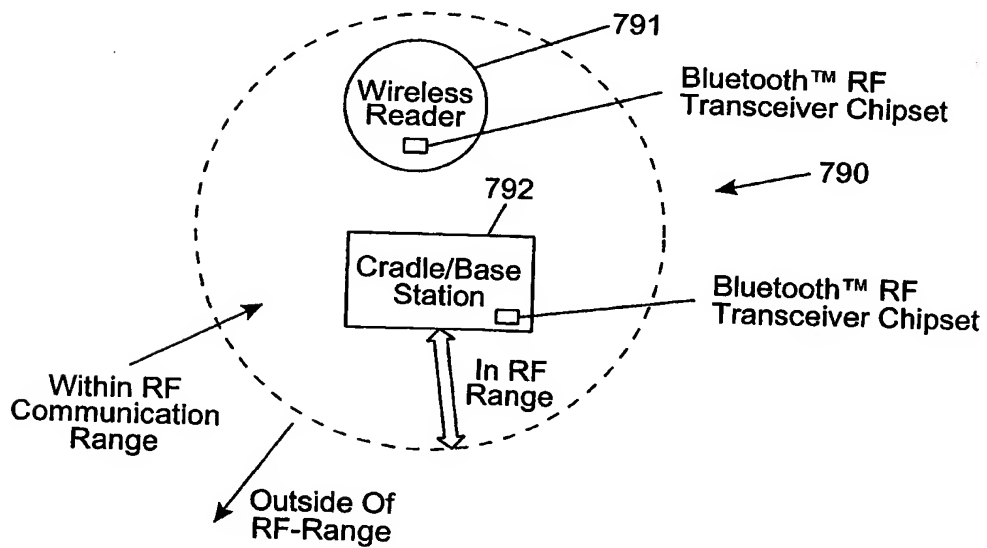


FIG. 44A2



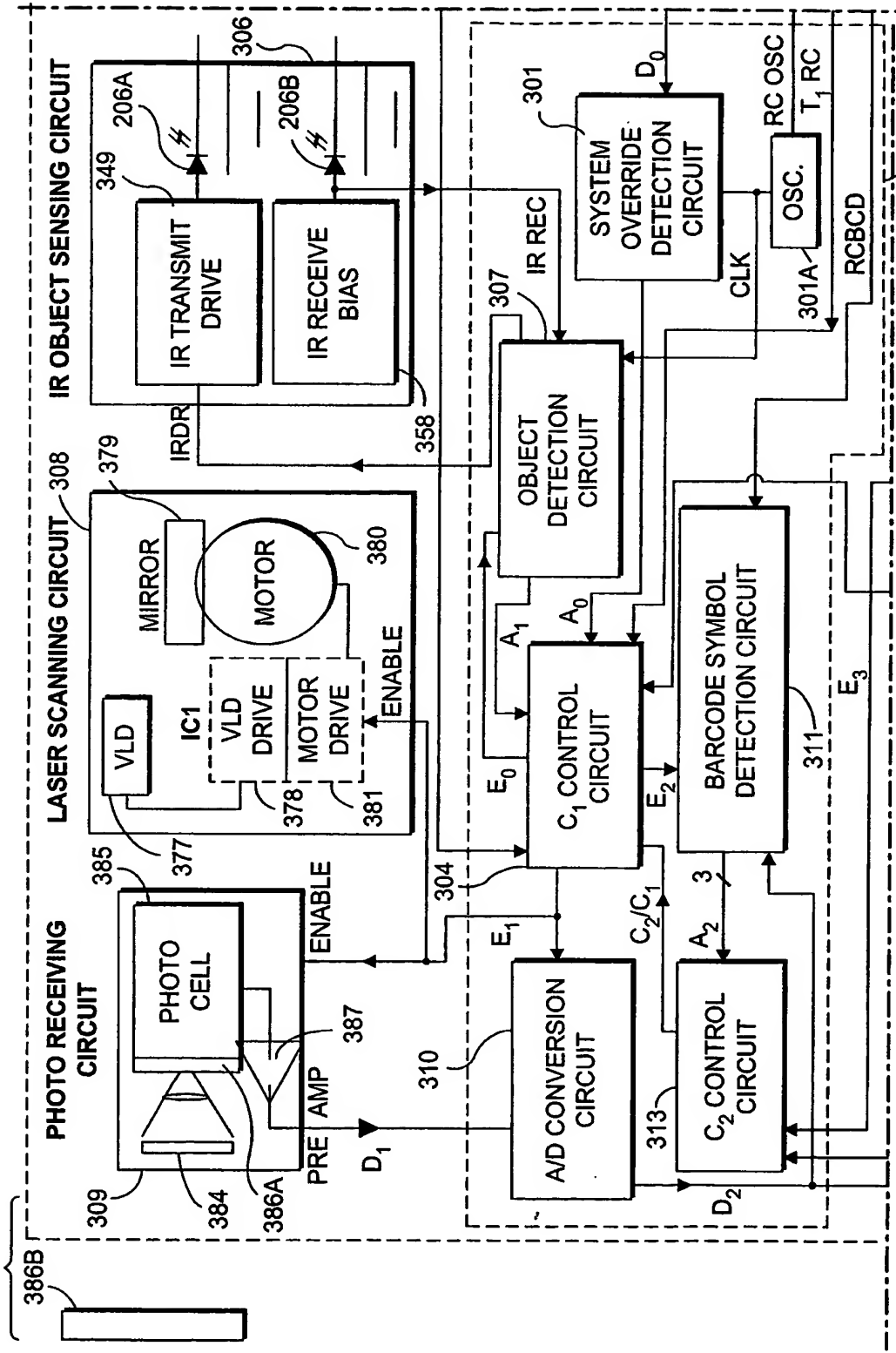
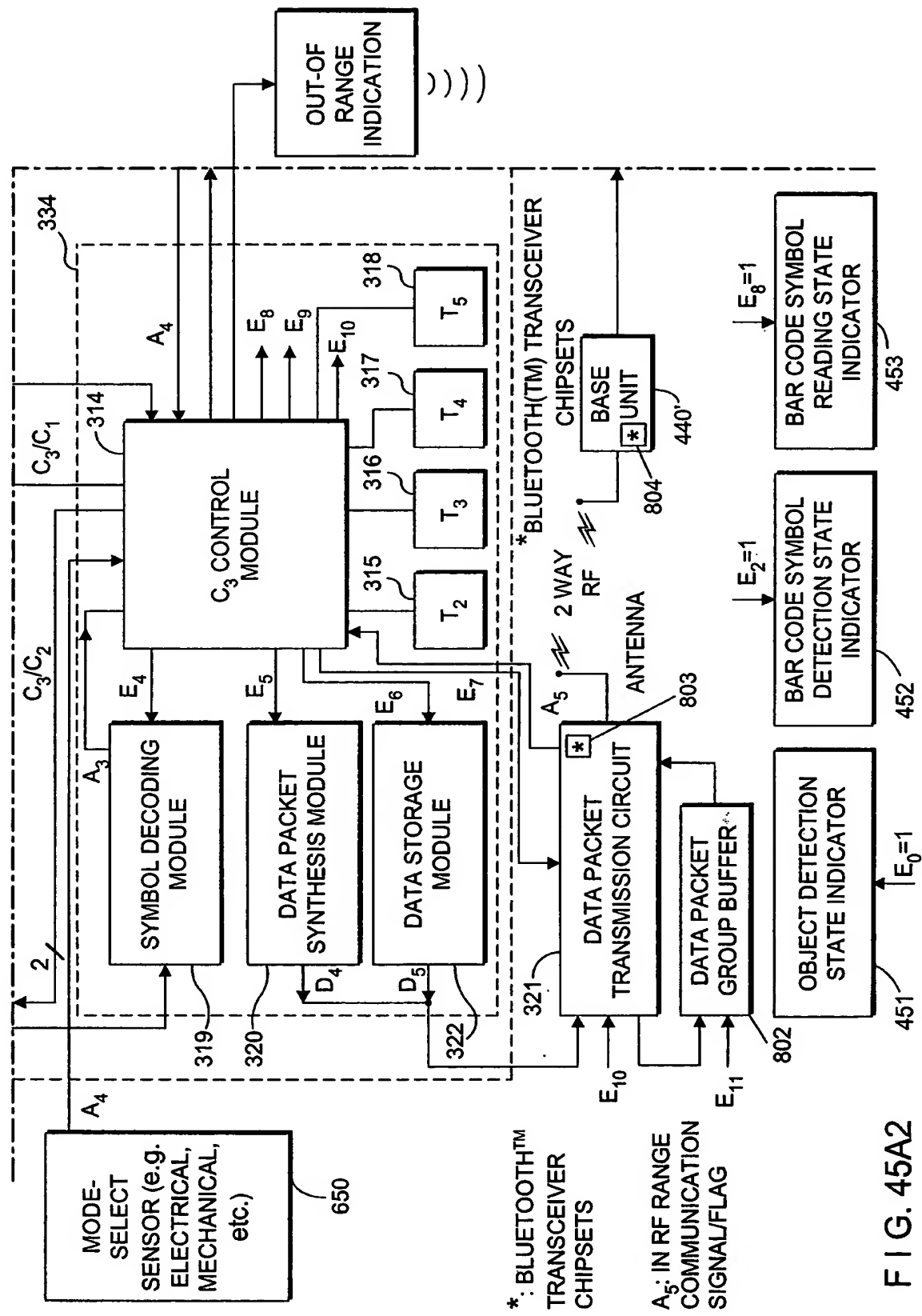


FIG. 45A1



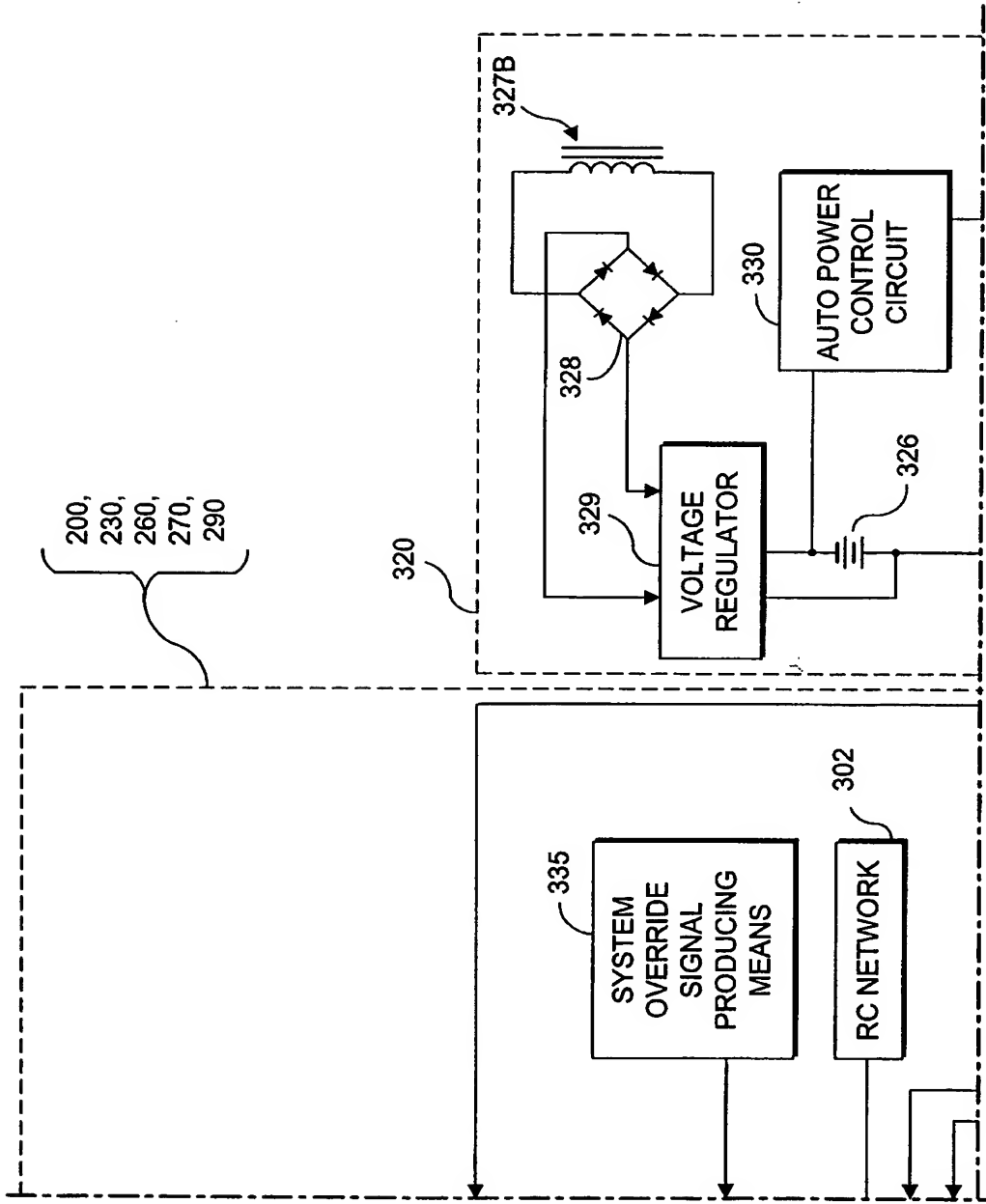


FIG. 45A3

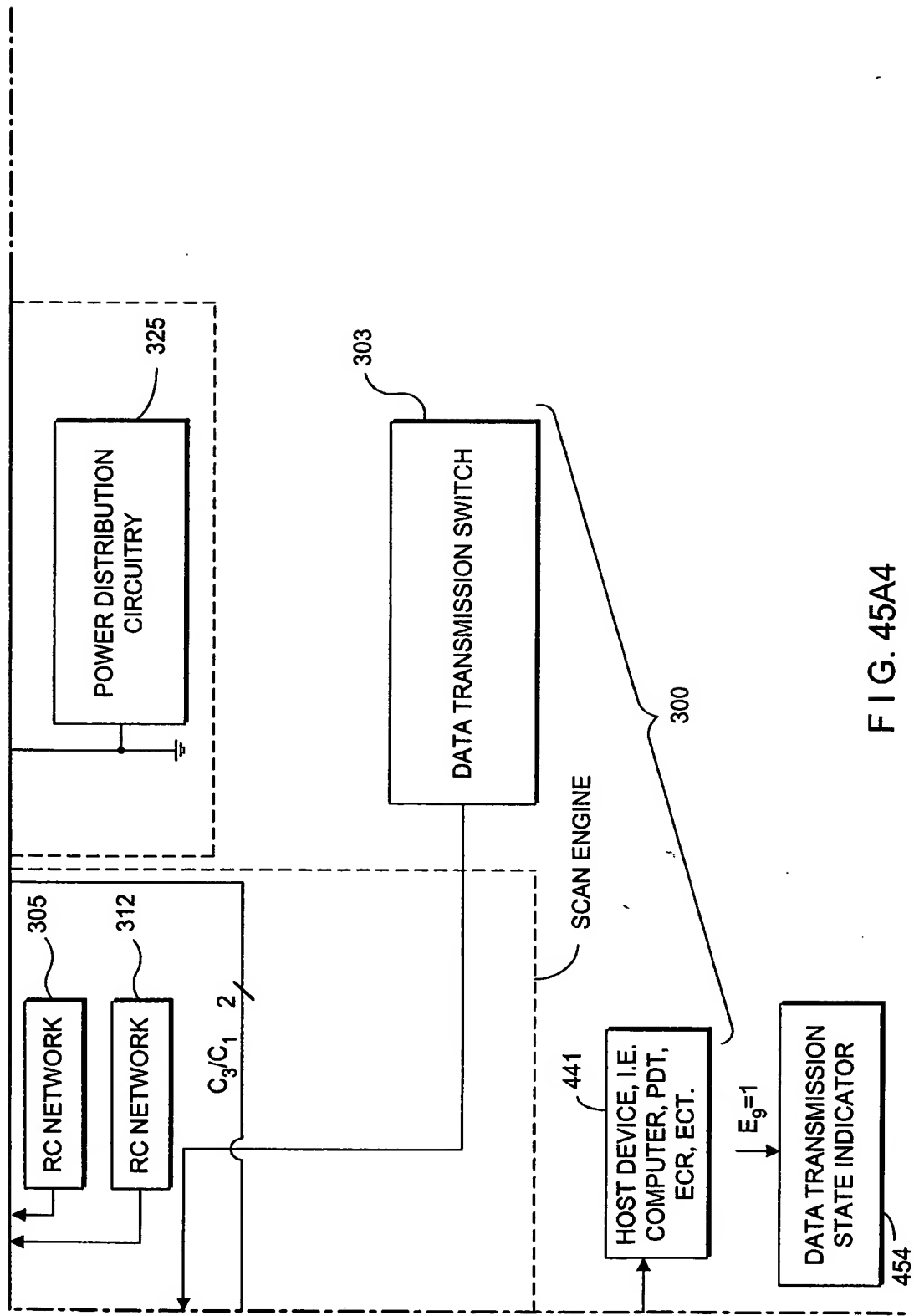


FIG. 45A4

"Direct-Contact Charge Technique"

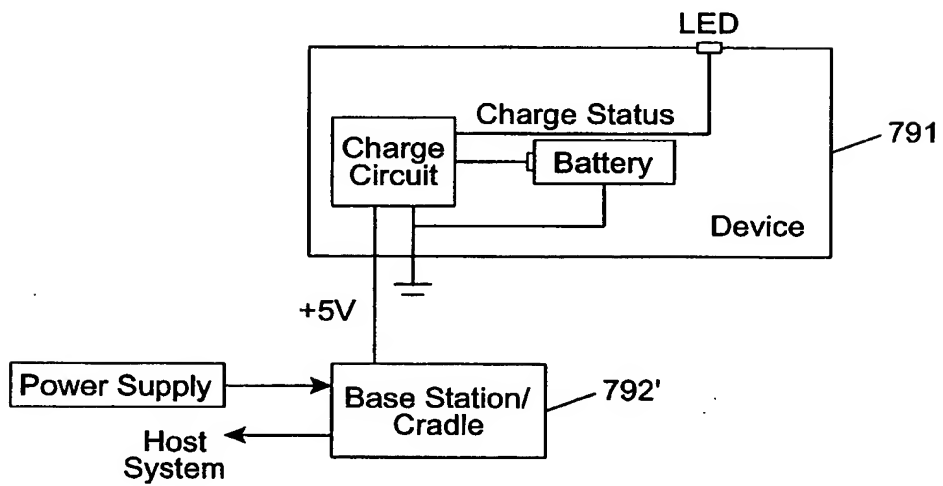


FIG. 45B

DATA PACKET TRANSMISSION VIA 2-WAY RF WITH  
AUTOMATIC RF-RANGE DEPENDENT CONTROL

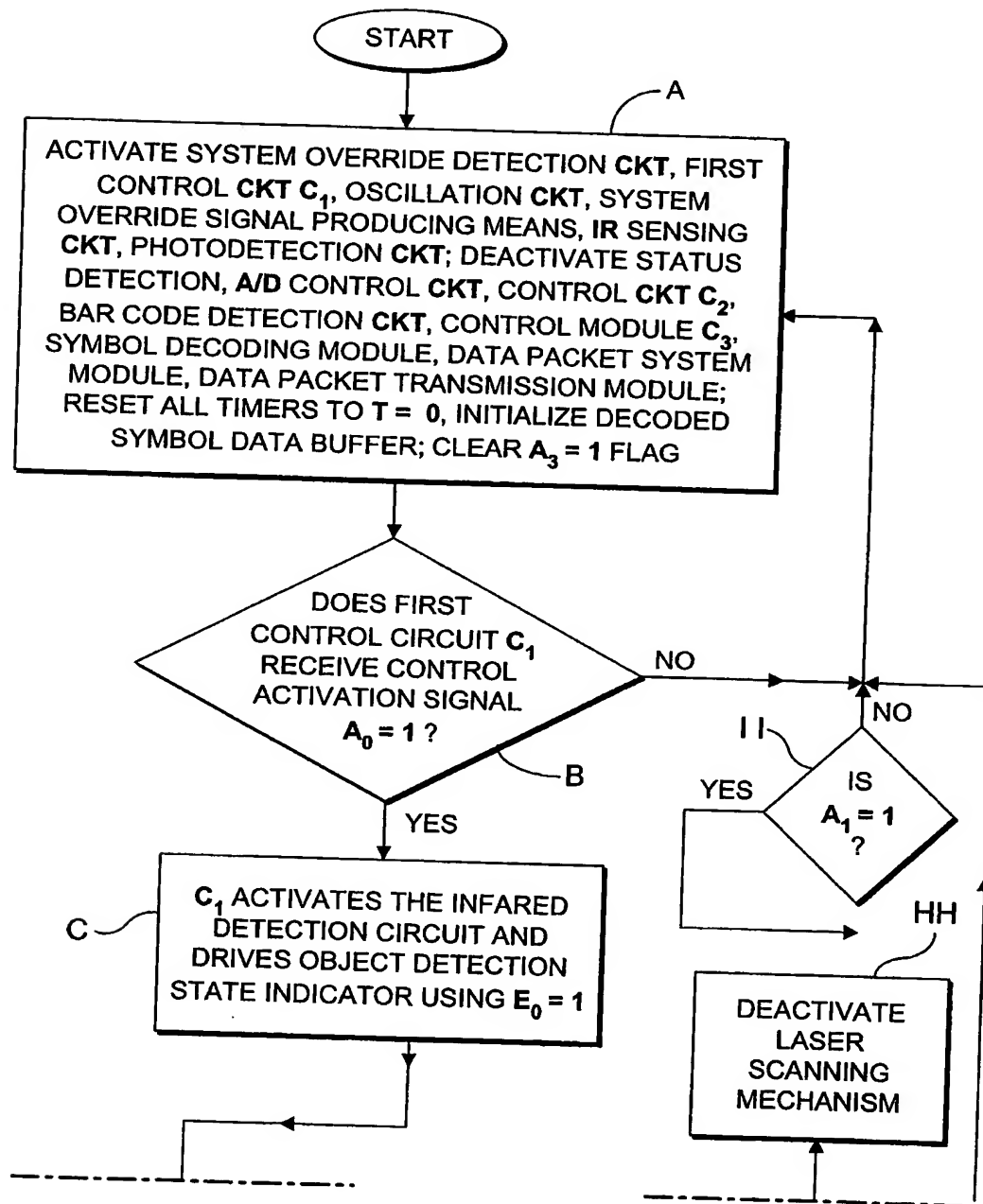


FIG. 46A1

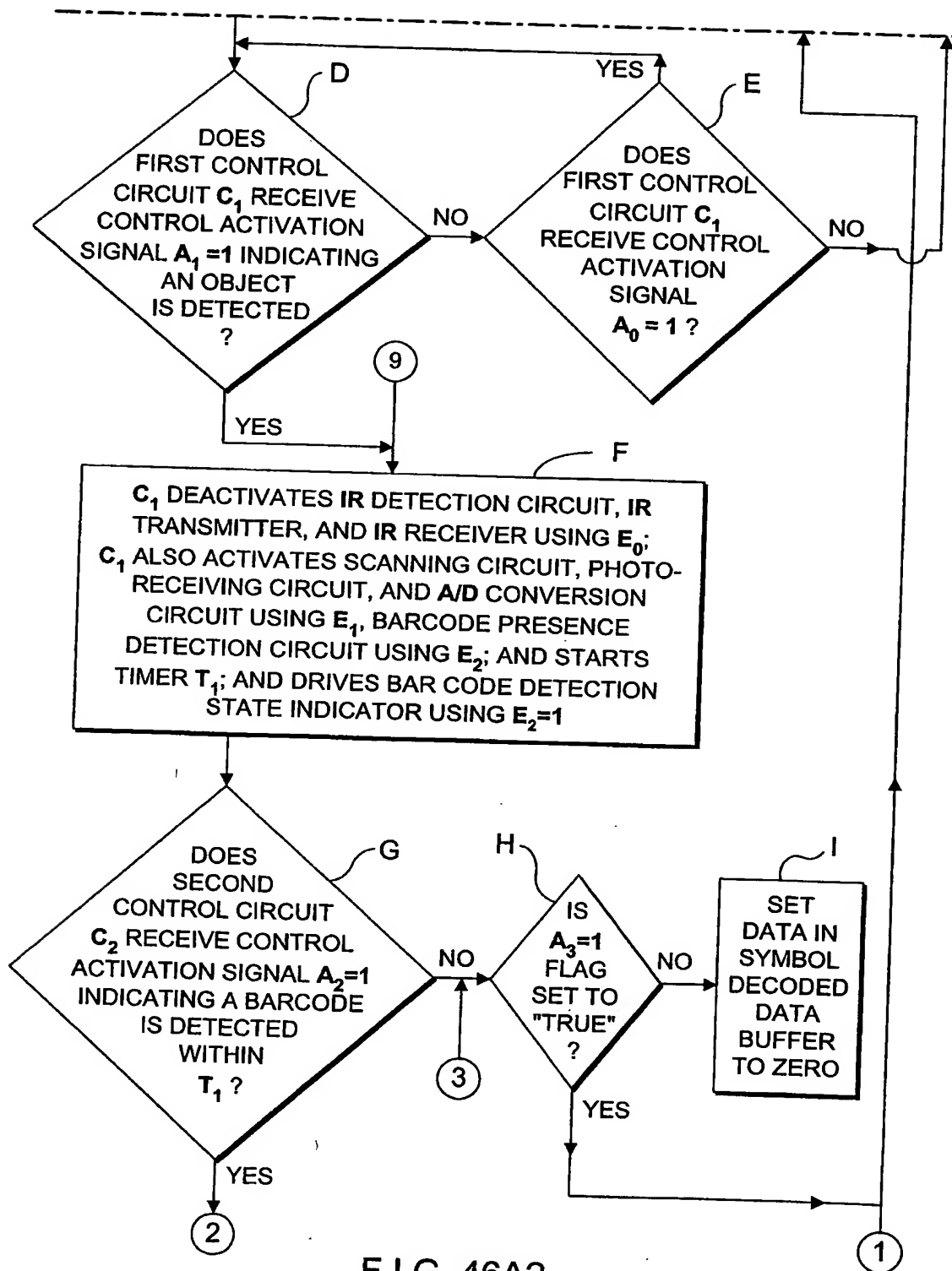


FIG. 46A2

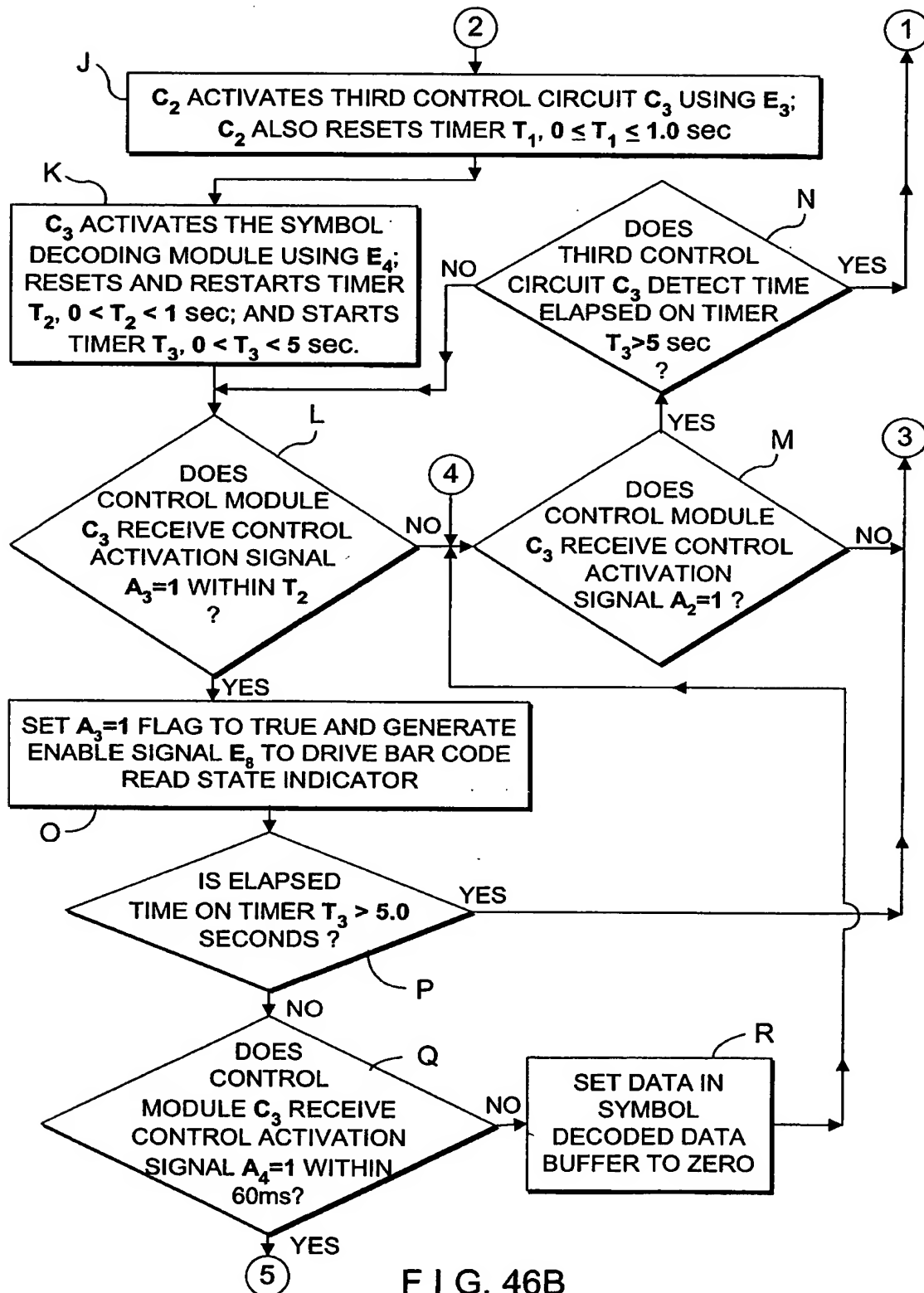


FIG. 46B



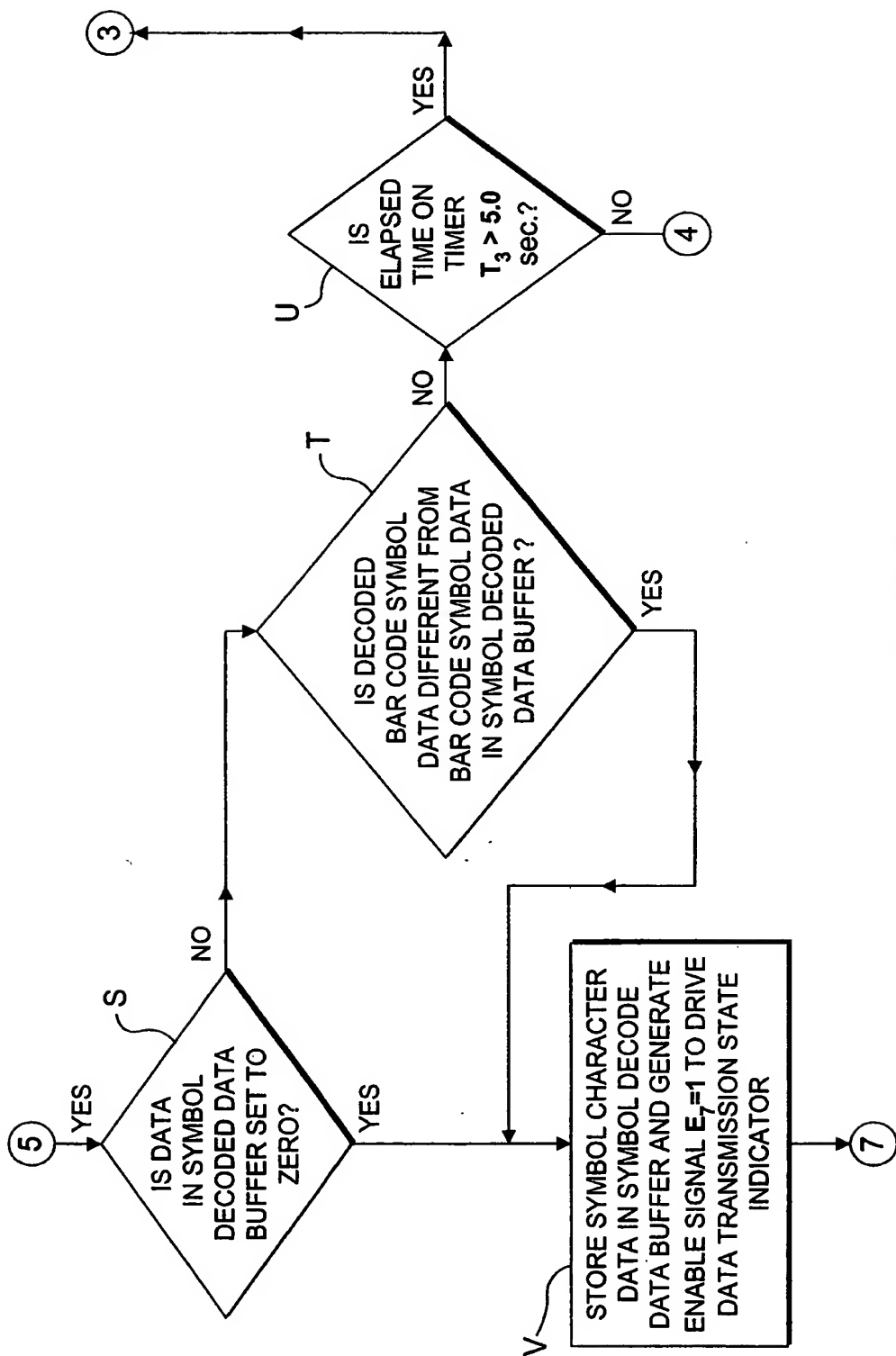


FIG. 46C1

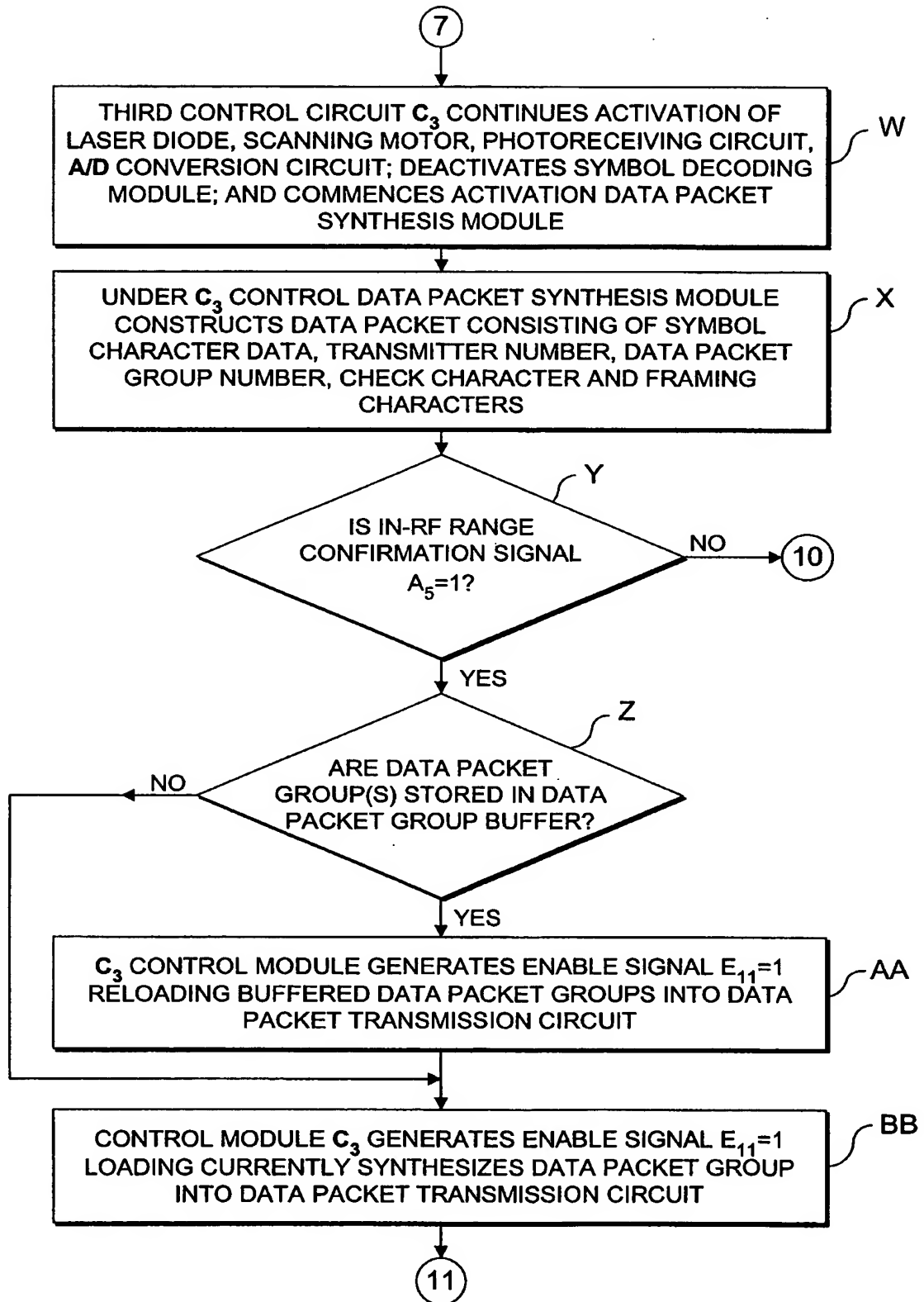


FIG. 46C2

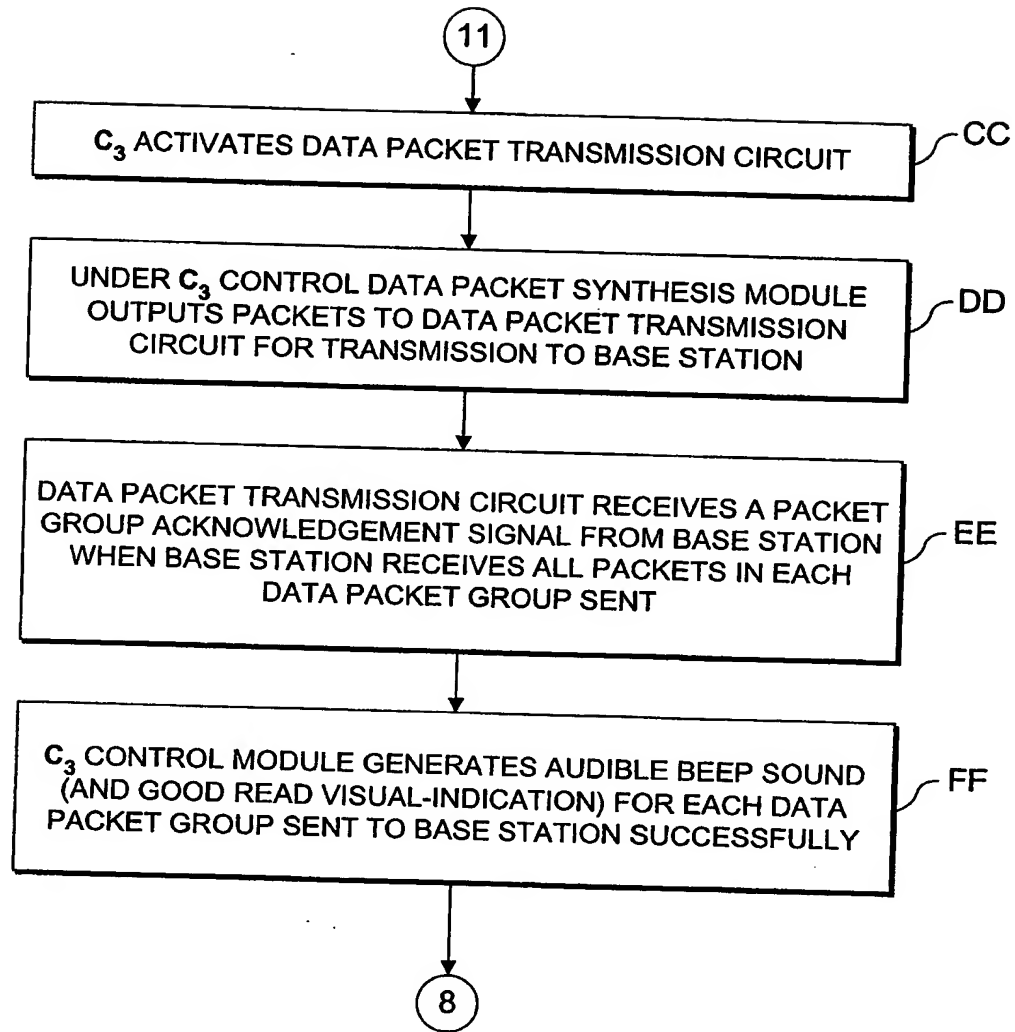


FIG. 46C3

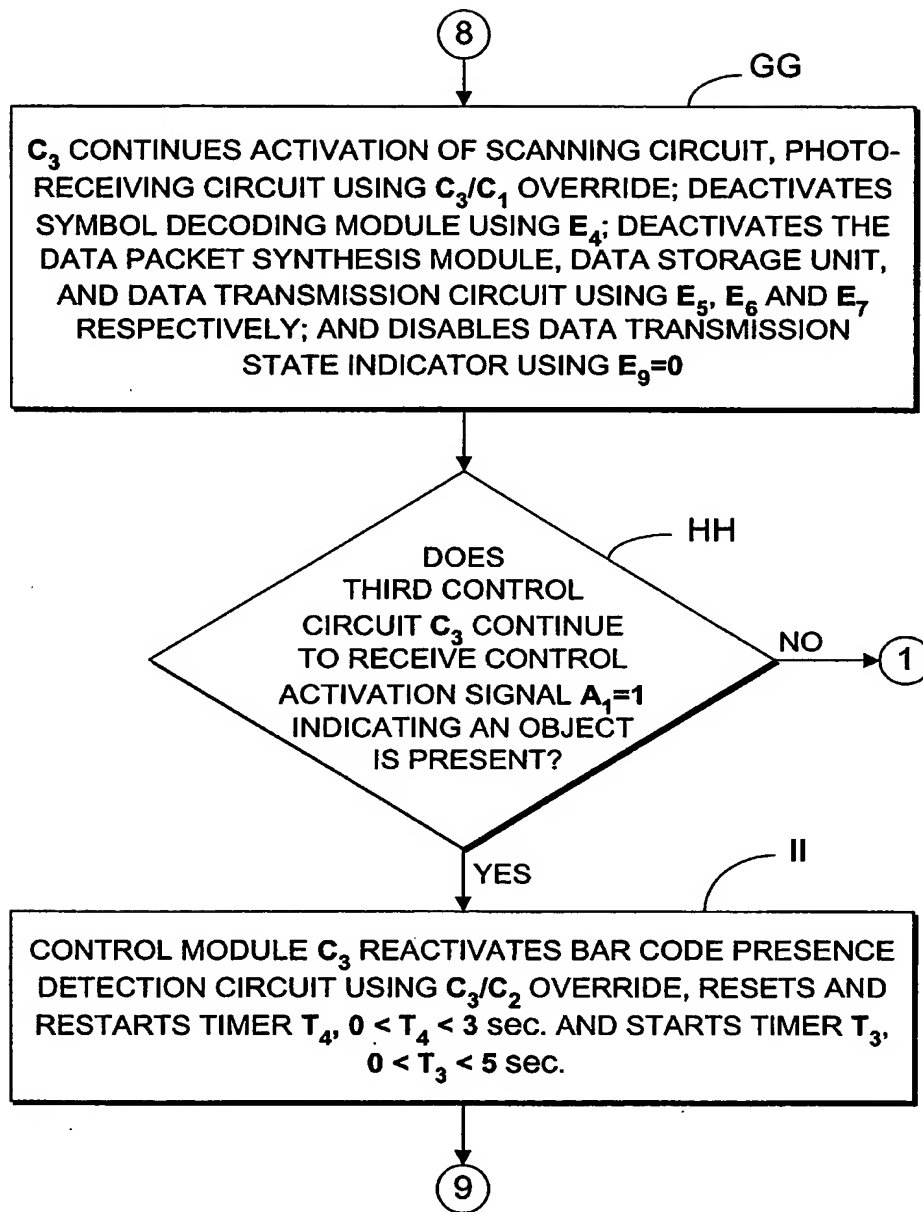


FIG. 46C4

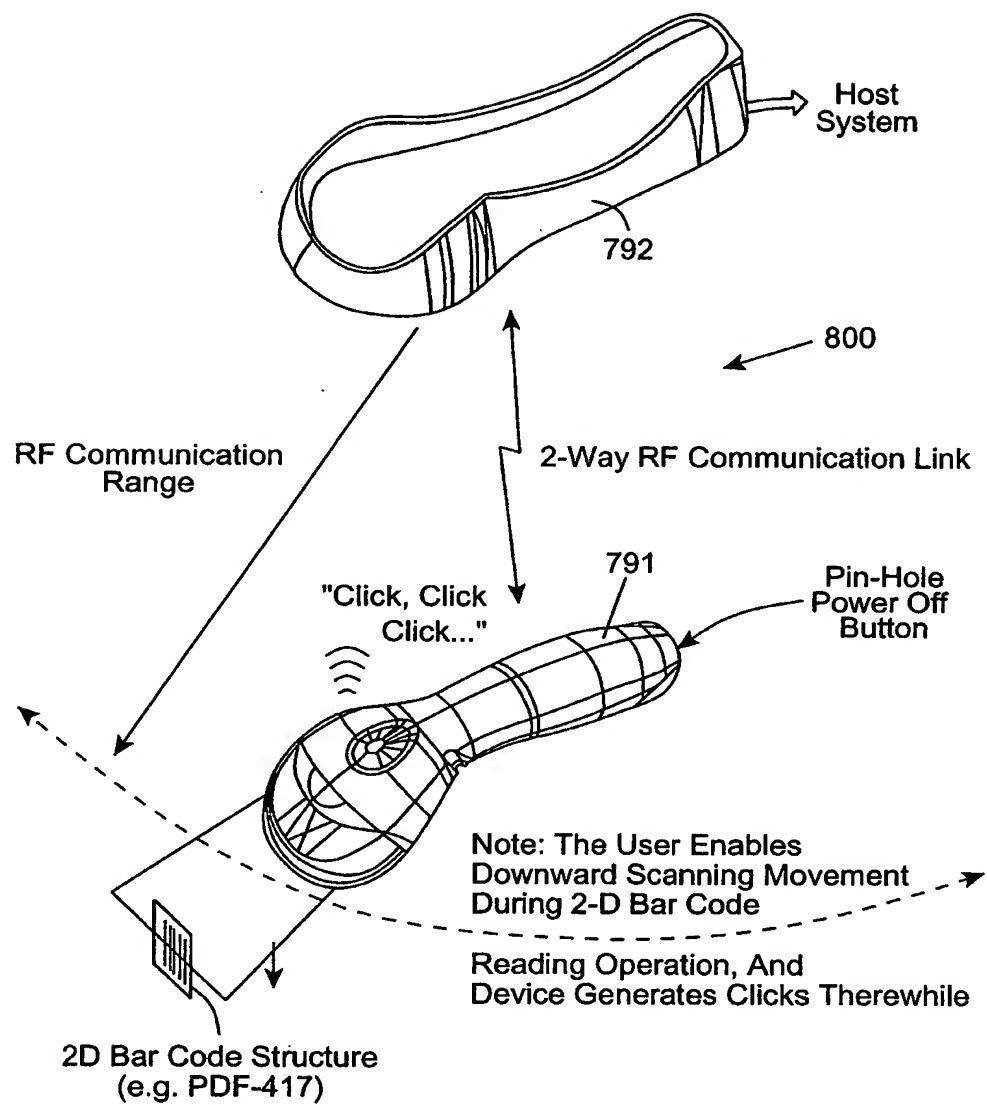


FIG. 47

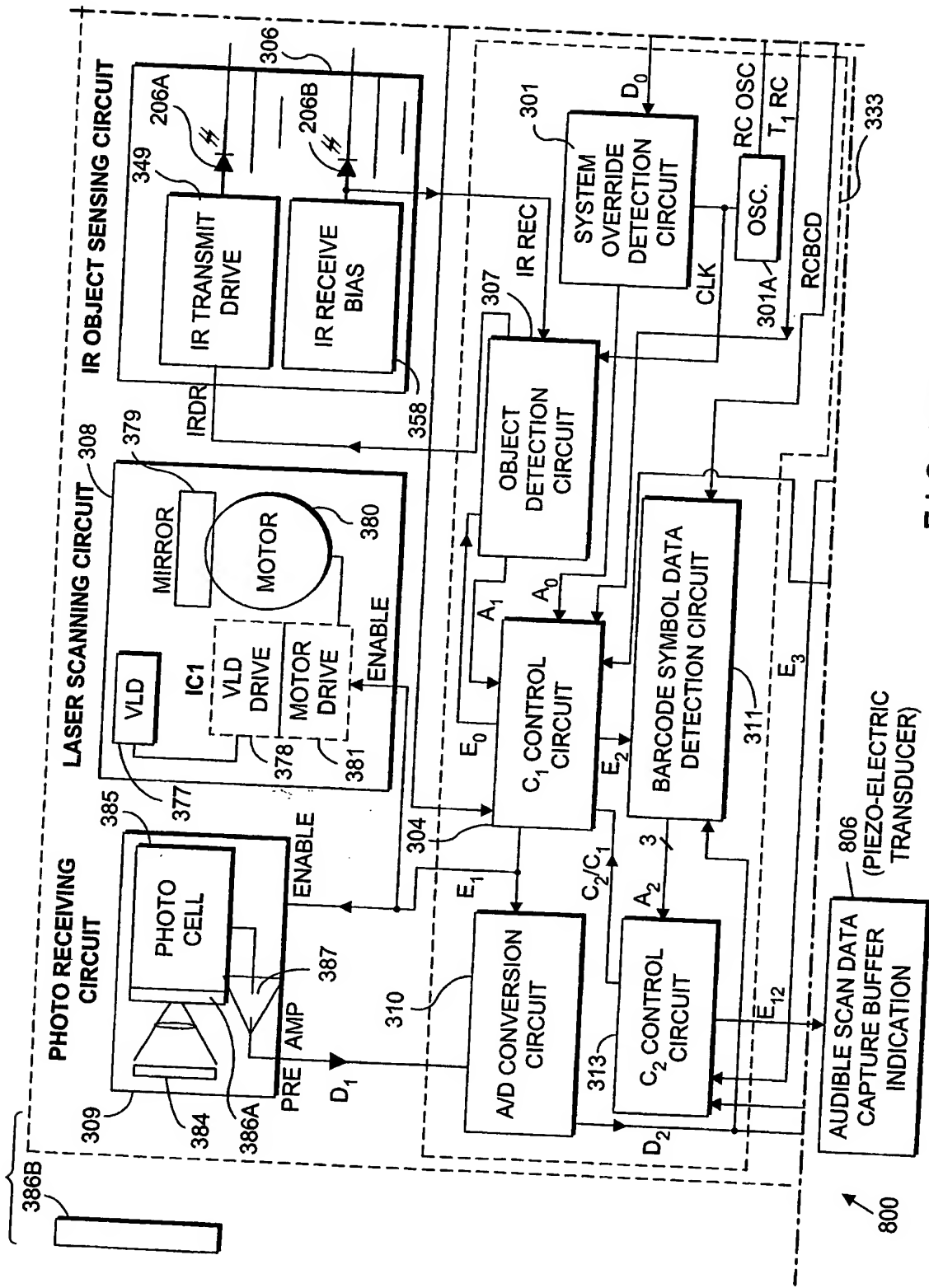
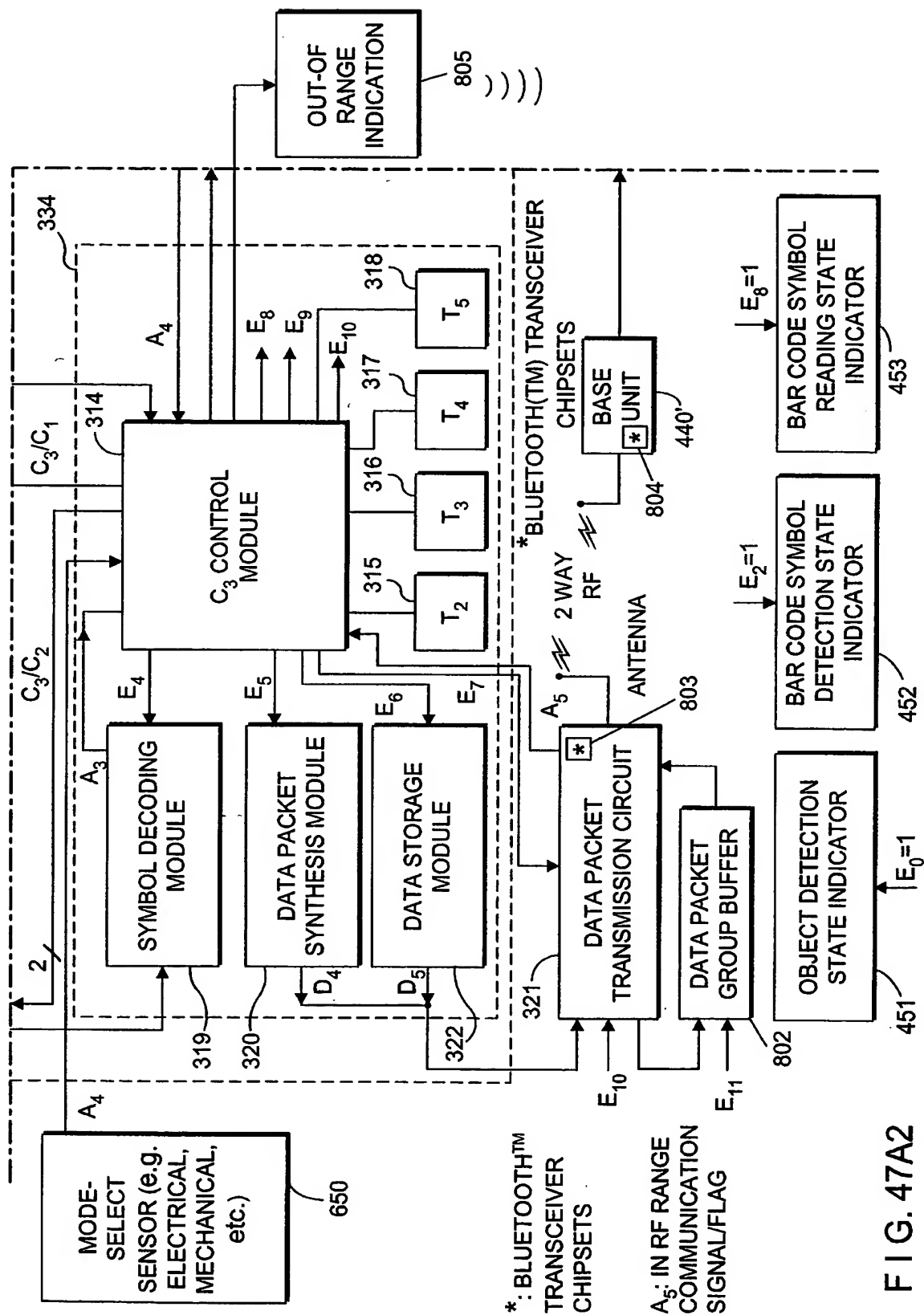


FIG. 47A1



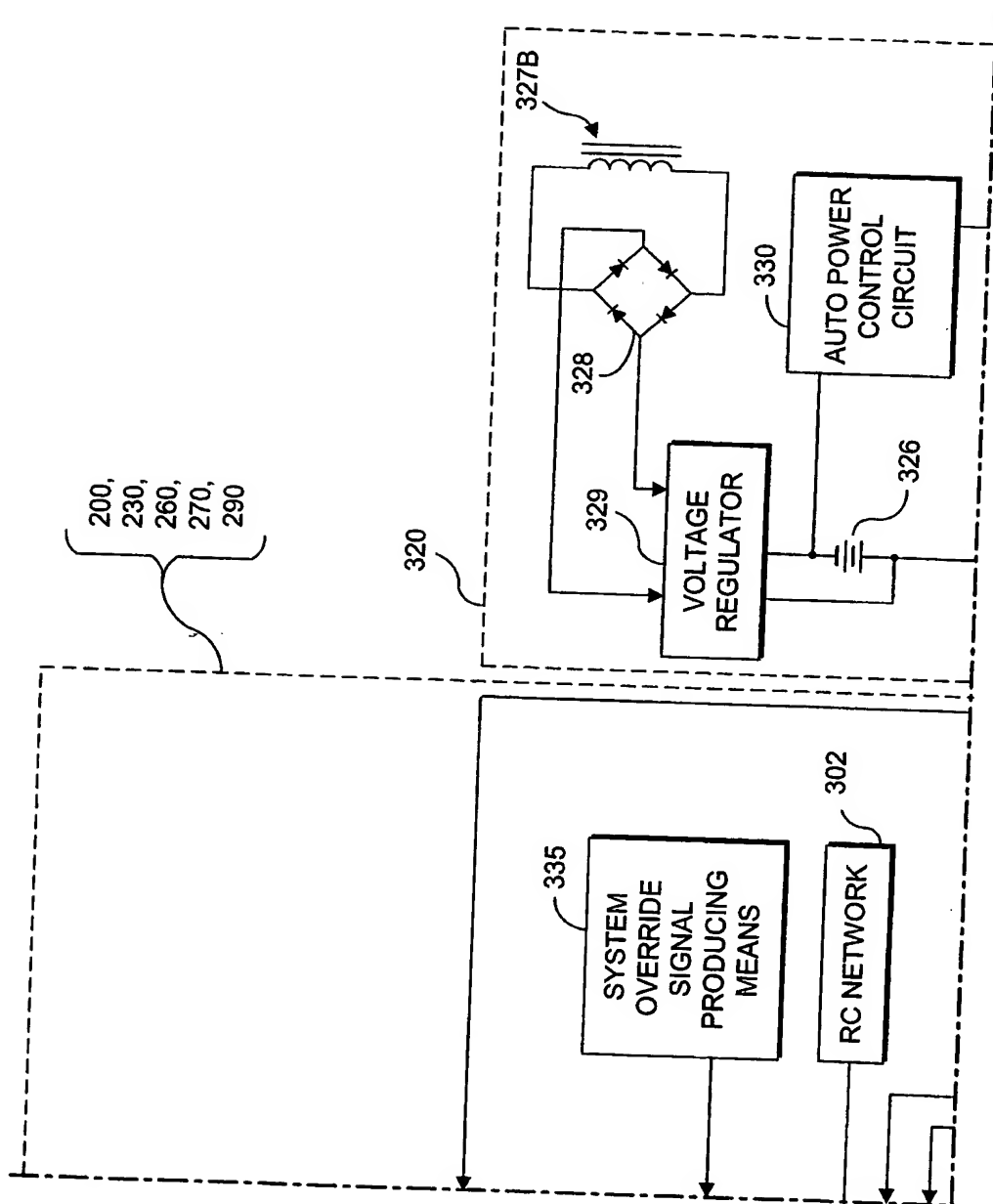
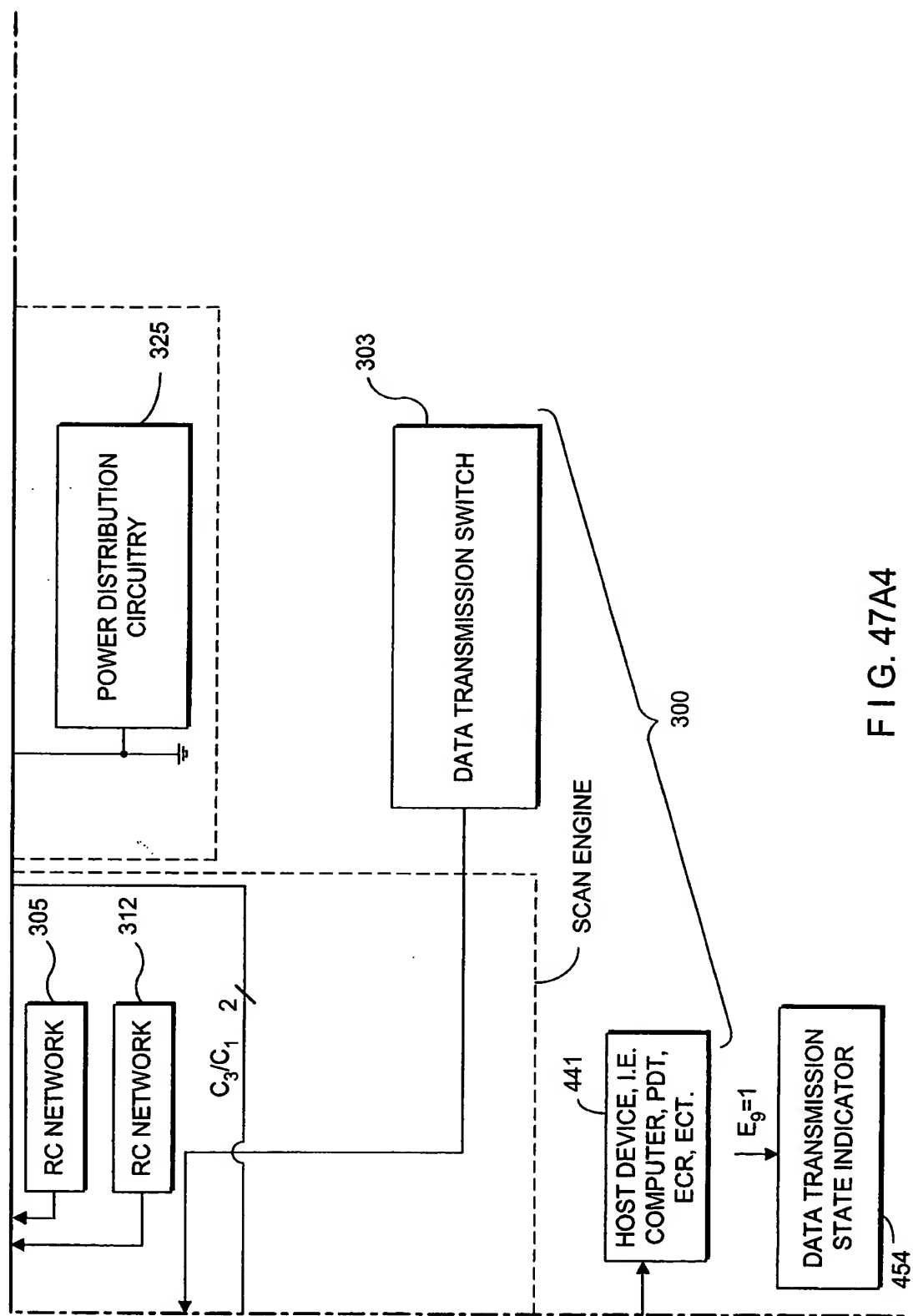


FIG. 47A3





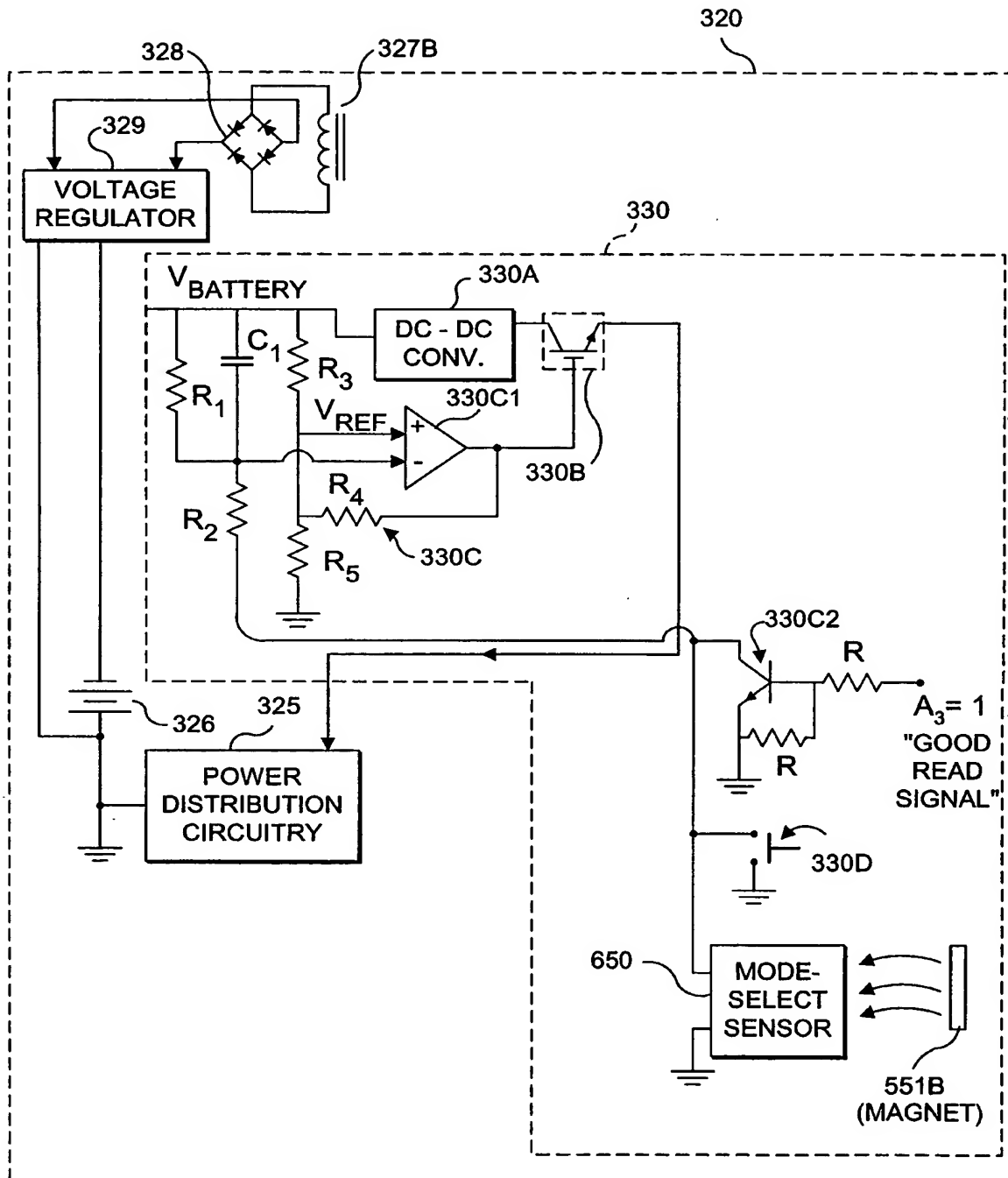


FIG. 47B

PDF DATA PACKET TRANSMISSION VIA 2-WAY RF WITH  
AUTOMATIC RF-RANGE DEPENDENT CONTROL  
(2-D READING MODE)

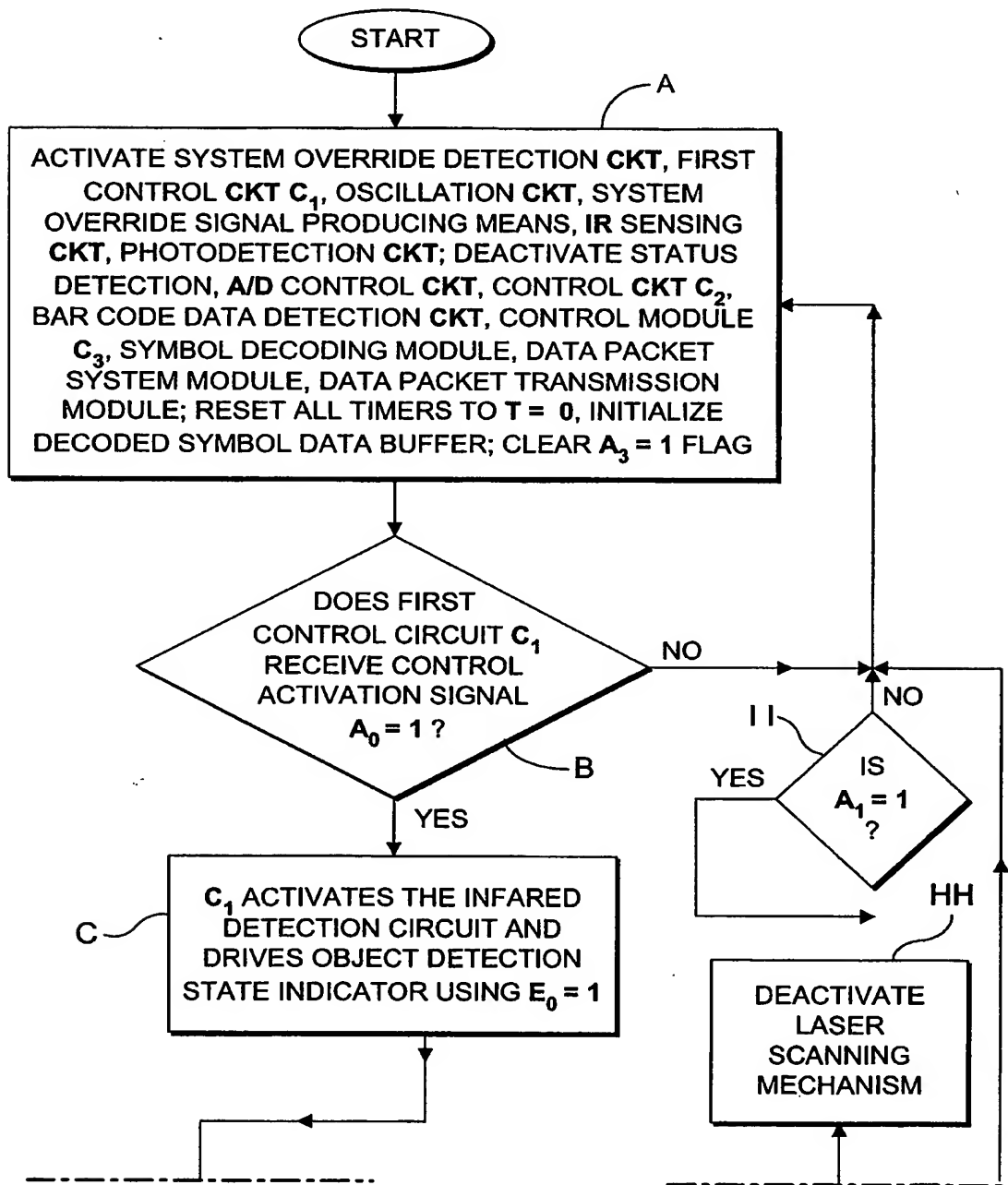


FIG. 48A1

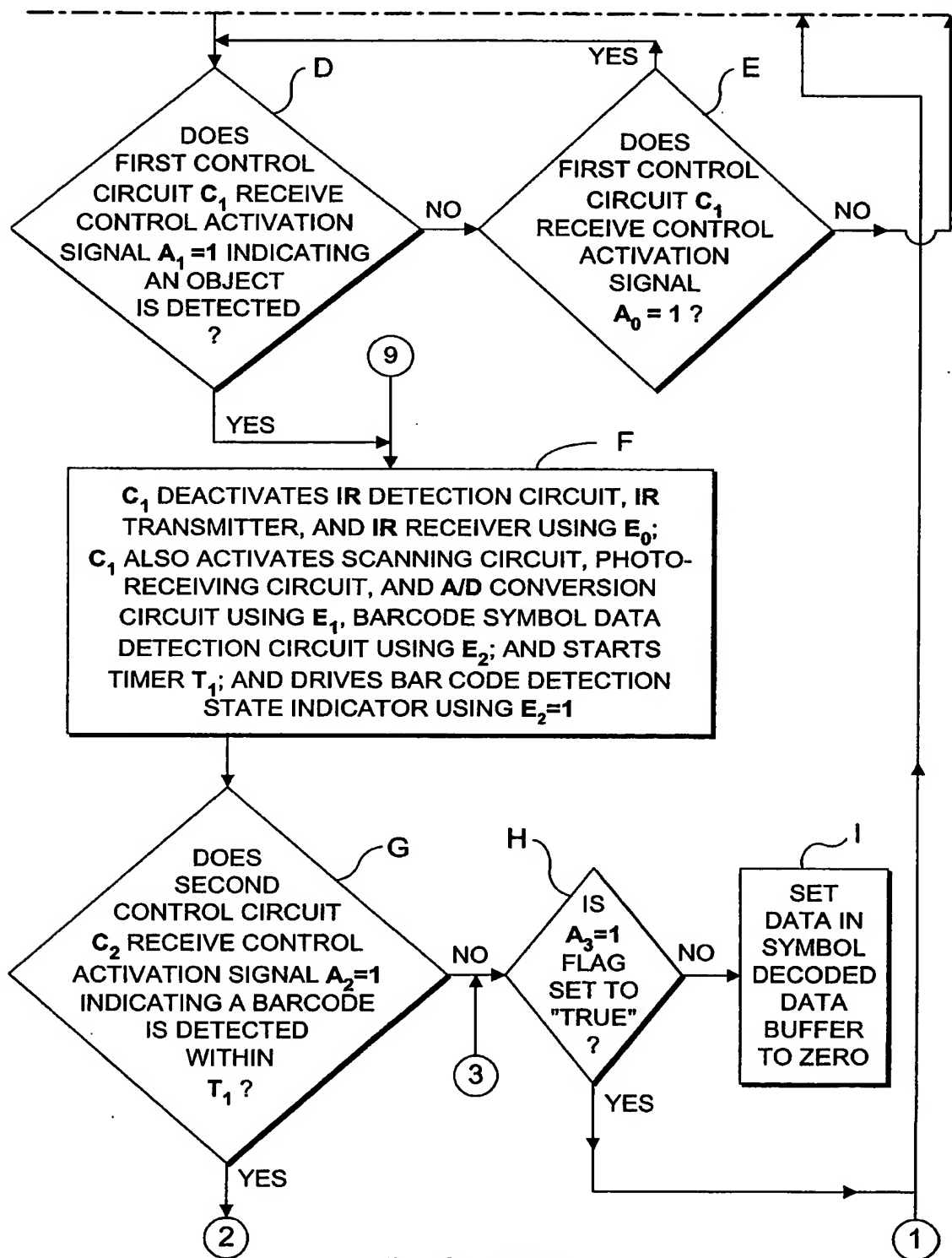


FIG. 48A2

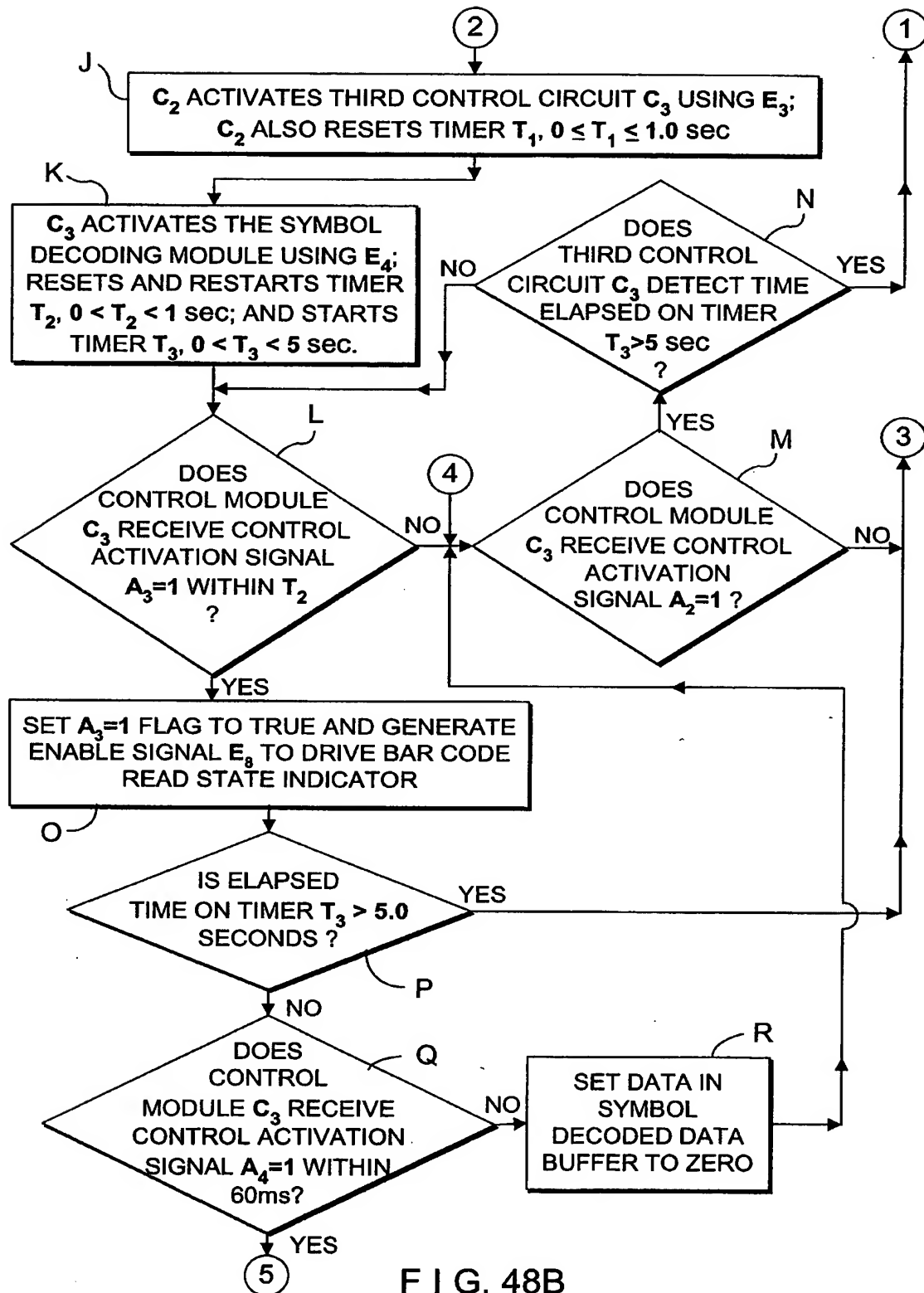


FIG. 48B

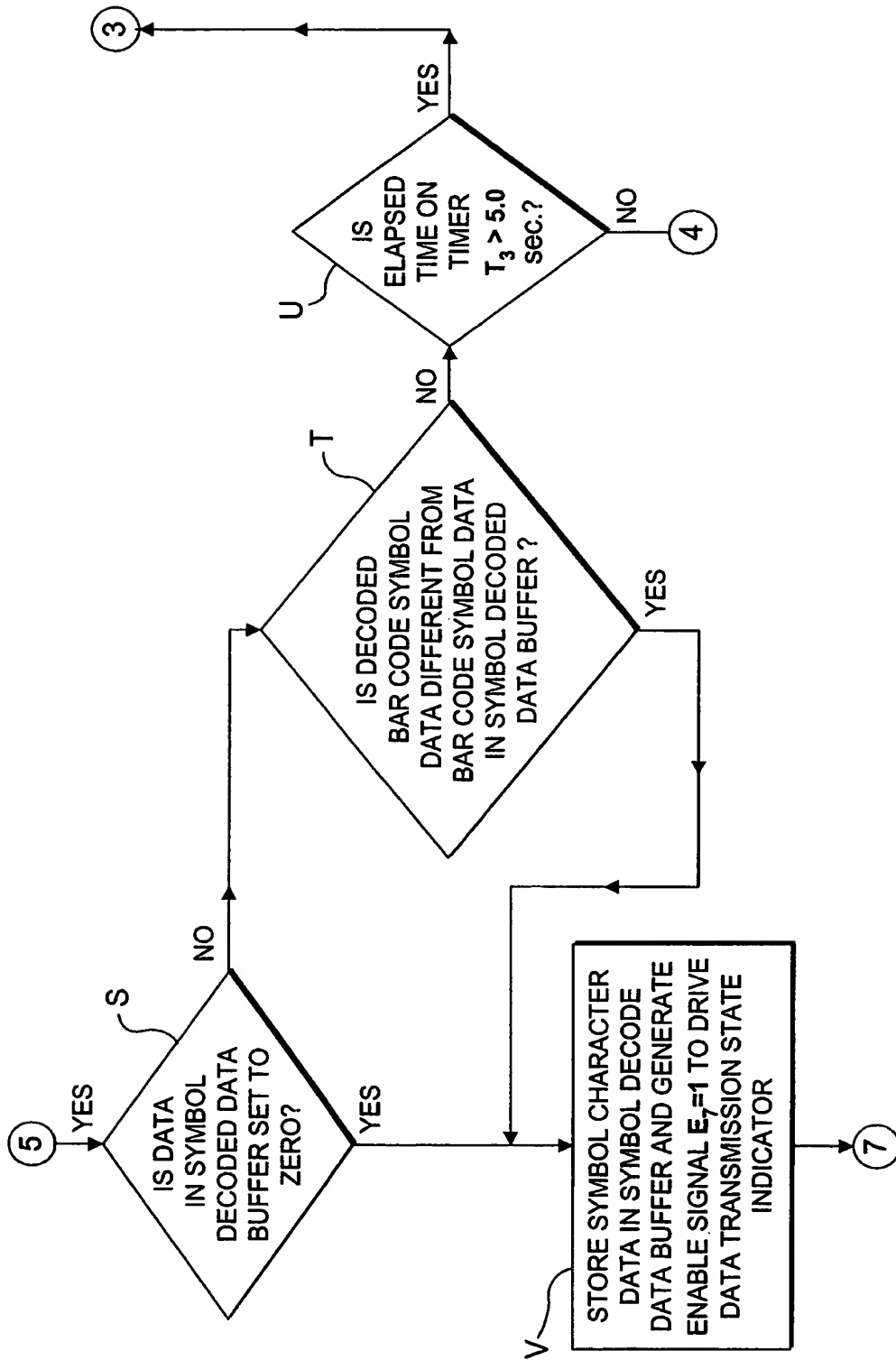


FIG. 48C1

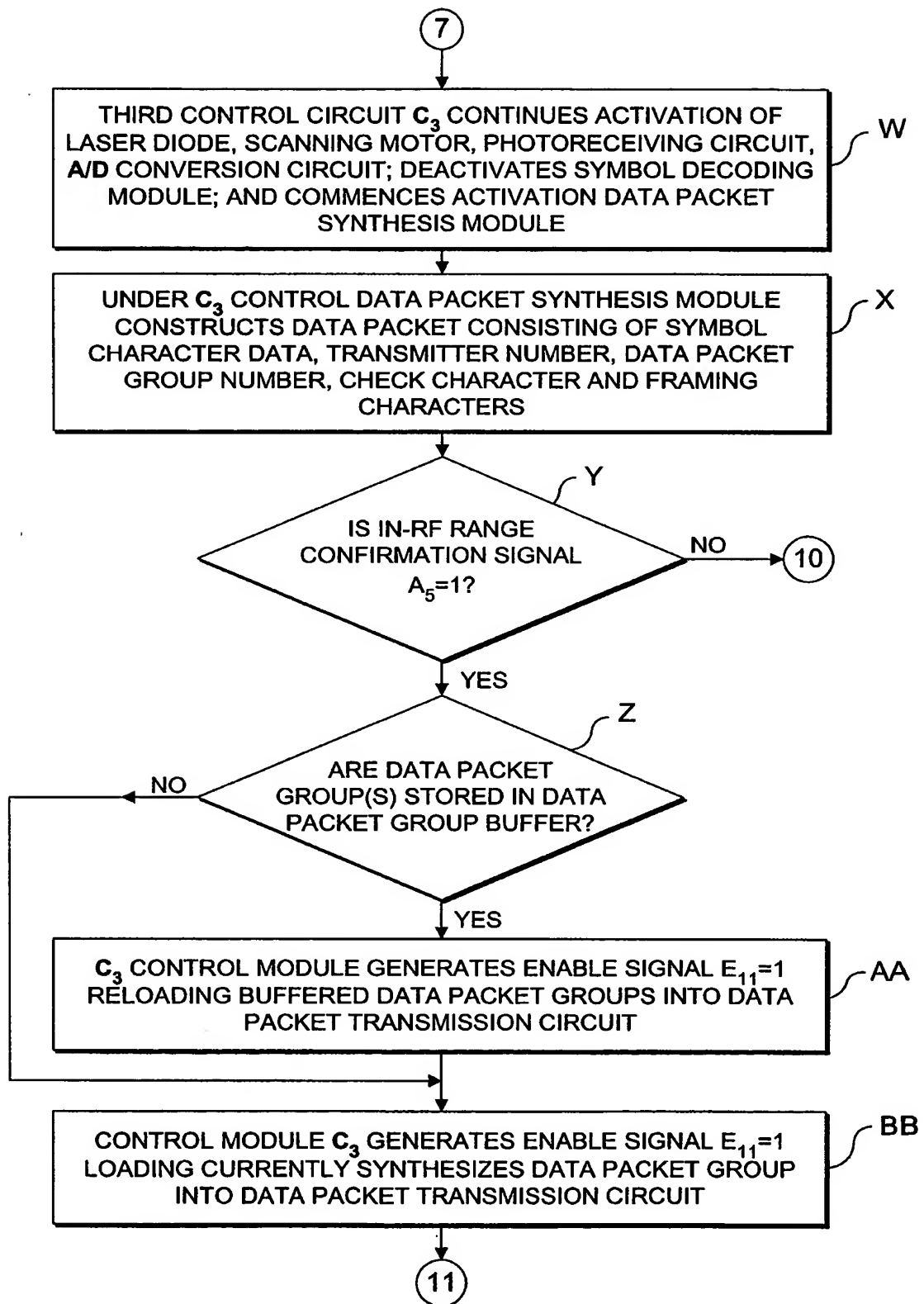


FIG. 48C2

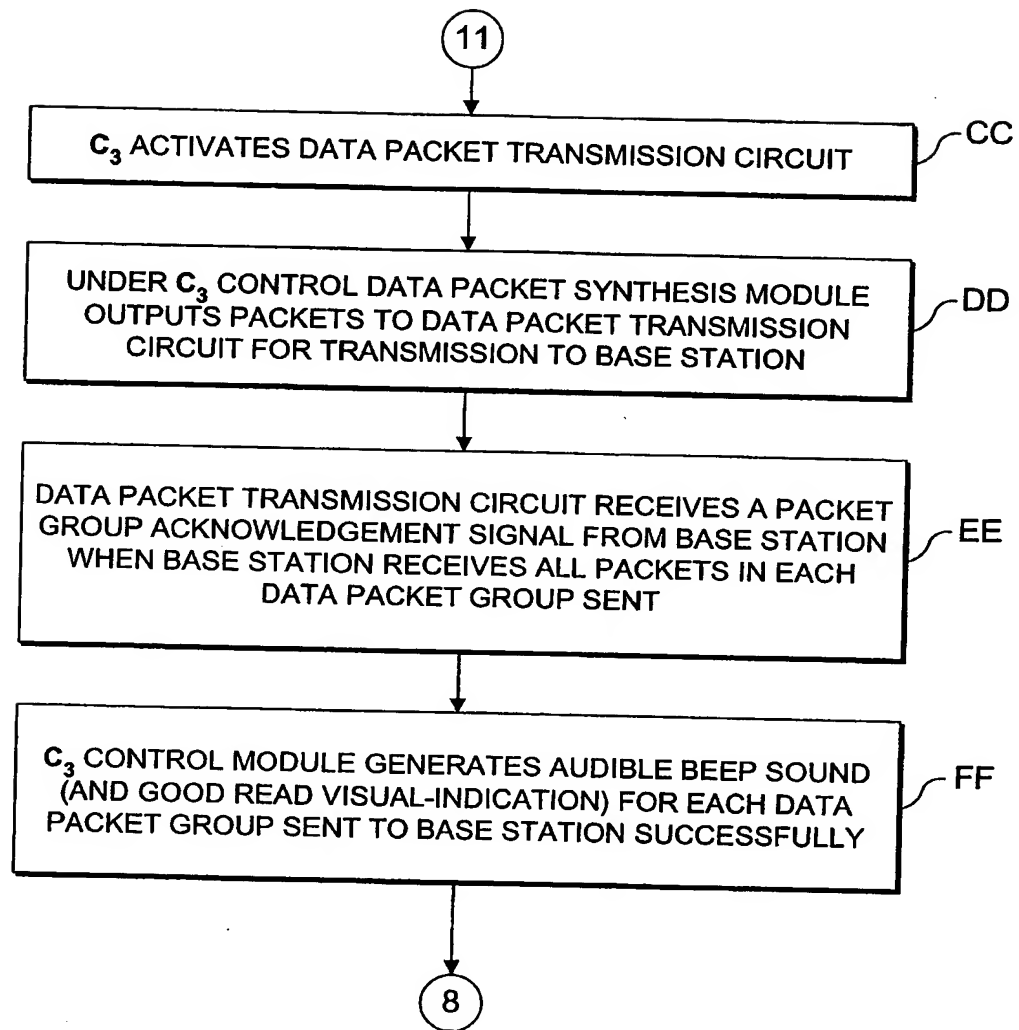


FIG. 48C3



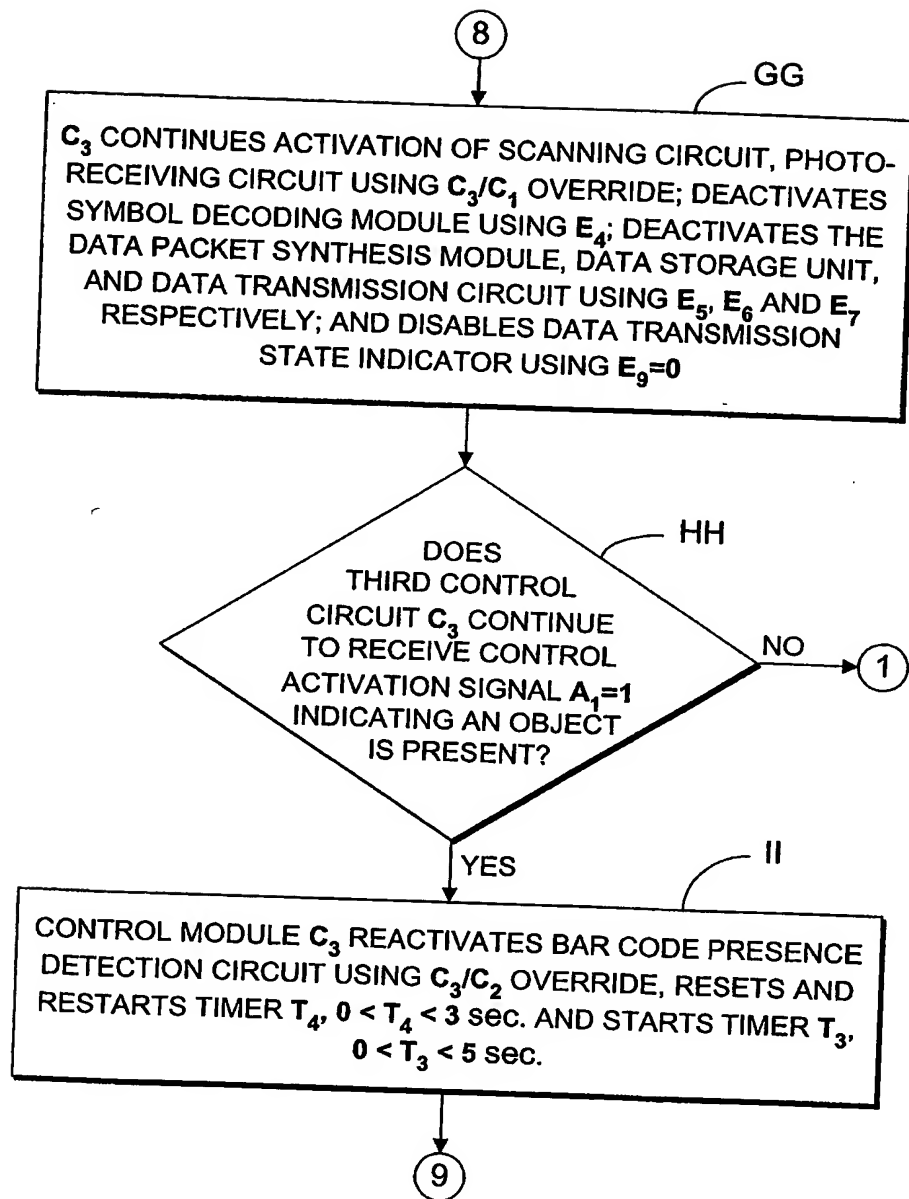


FIG. 48C4